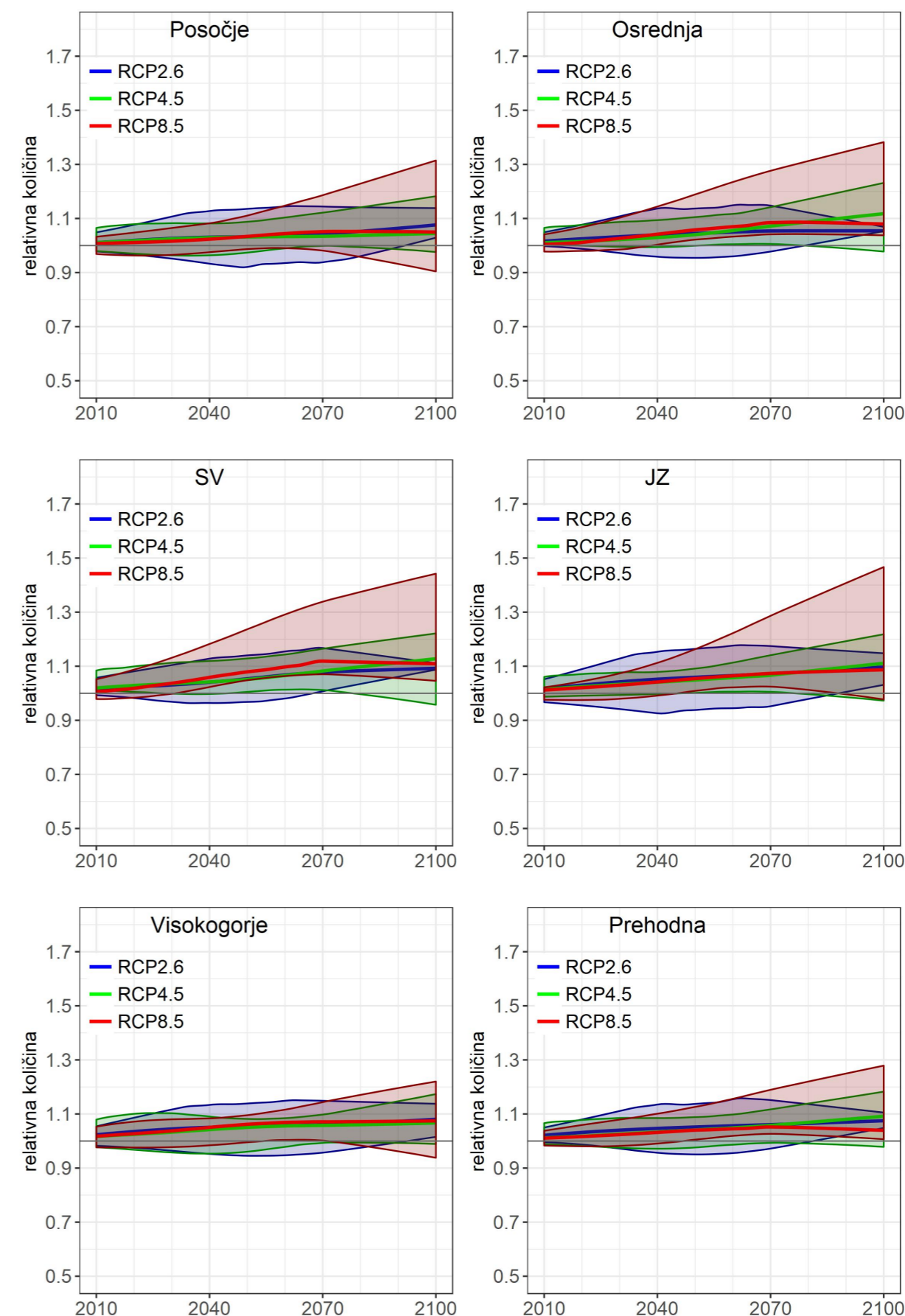


PRILOGA 2: SPREMEMBE PADAVIN

Priloga 2 vsebuje projekcije padavin in z njimi povezanih spremenljivk. Poleg letne in sezone višine padavin obsega padavinske kazalnike in trende izjemnih padavin.

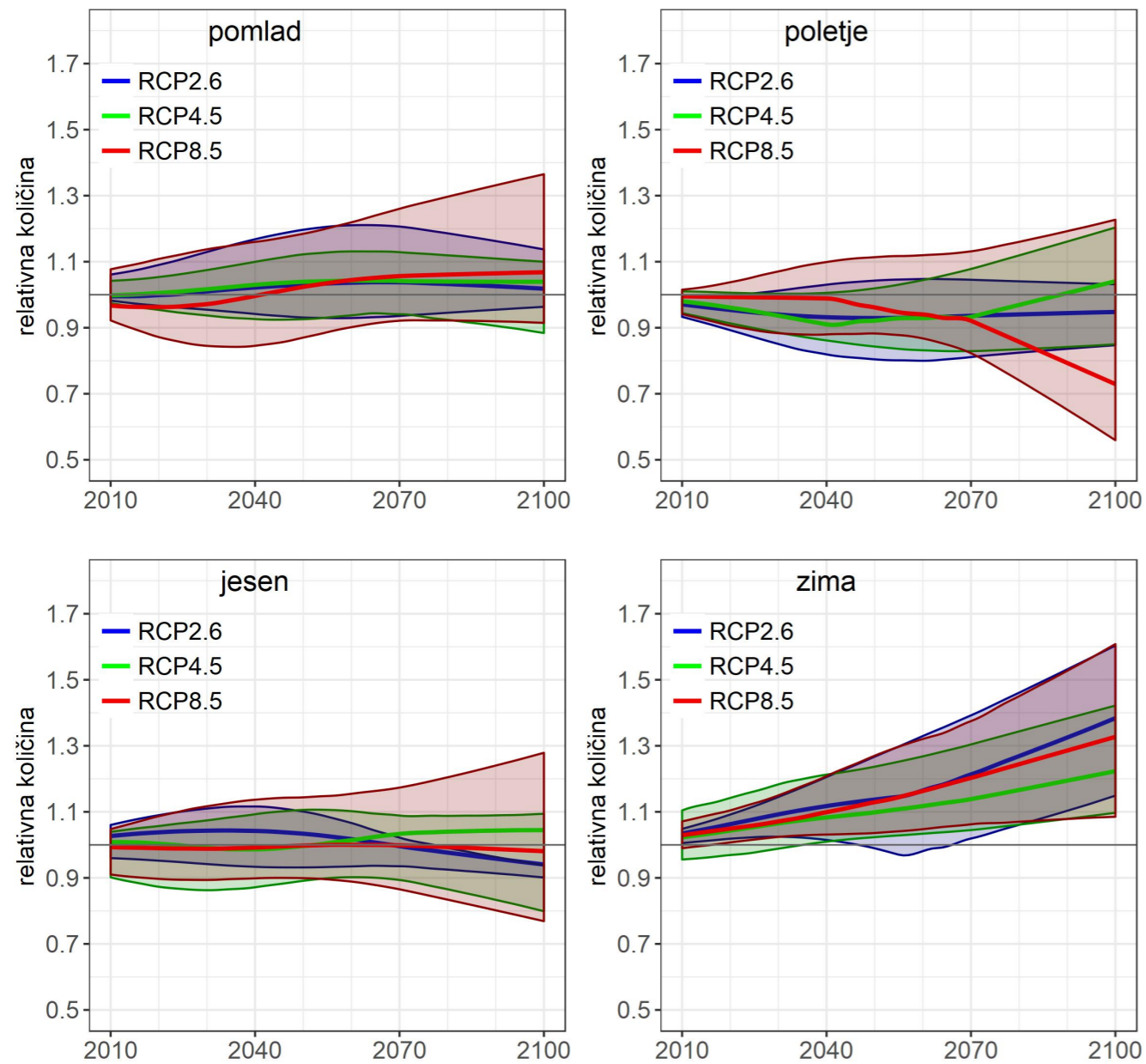
ČASOVNI POTEKI	283
VIŠINA PADAVIN	283
SREDNJE SPREMEMBE Z ZANESLJIVOSTJO	292
VIŠINA PADAVIN	292
PADAVINSKI KAZALNIKI	308
RAZPONI SPREMEMB	362
VIŠINA PADAVIN	362
PADAVINSKI KAZALNIKI	372
POVPREČNI RAZPONI SPREMEMB PO REGIJAH	402
VIŠINA PADAVIN	402
PADAVINSKI KAZALNIKI	403
TRENDI Z ZANESLJIVOSTJO	406
IZJEMNE PADAVINE	406
PREGLEDNICE	430
VIŠINA PADAVIN	430
PADAVINSKI KAZALNIKI	434
TRENDI IZJEMNIH PADAVIN	440

Višina padavin



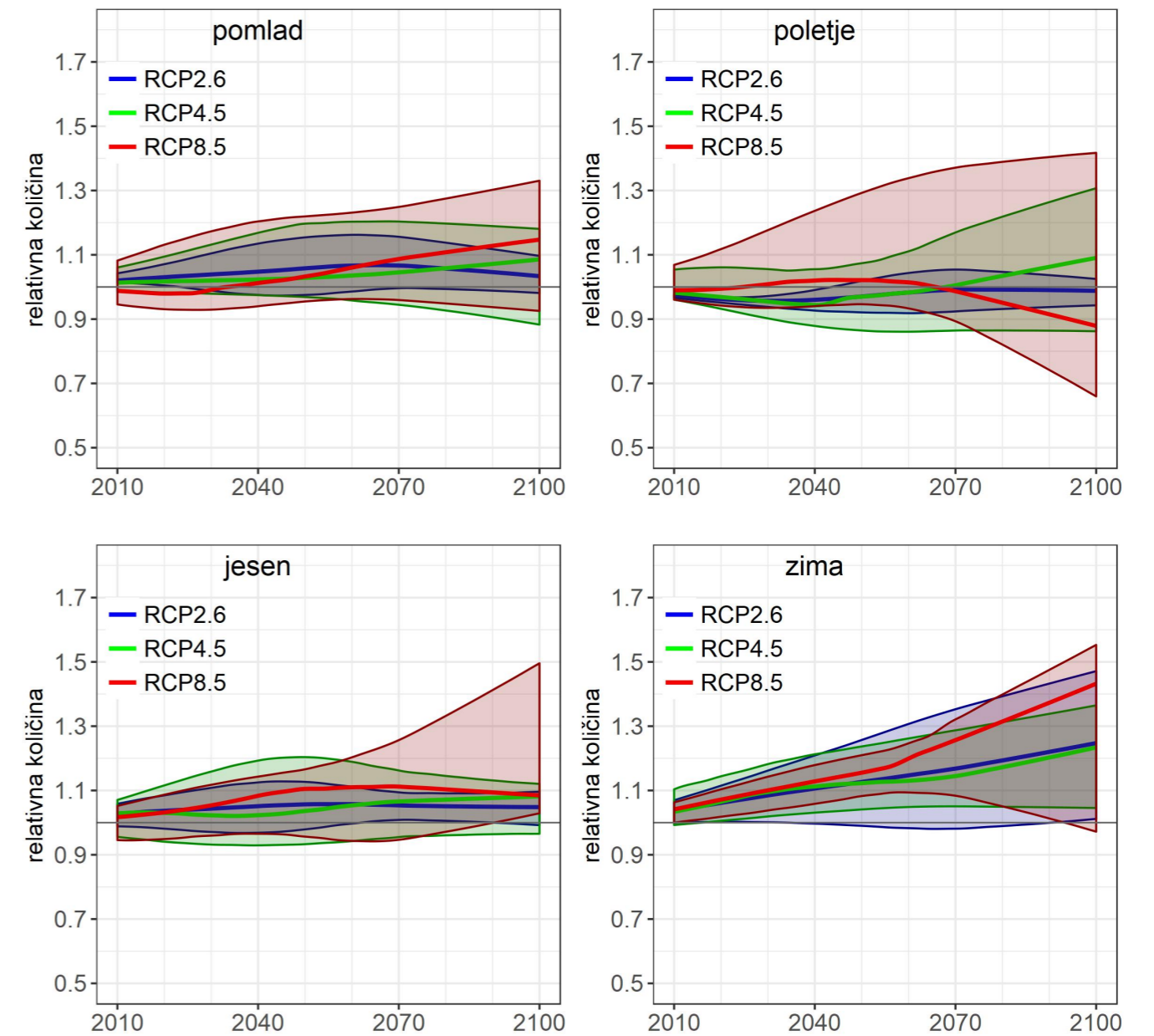
Slika 2.1 | Časovni potek spremembe letne višine padavin do konca 21. stoletja v izbranih regijah Slovenije za tri scenarije, vključno z razponi odstopanj. Prikazana je relativna vrednost glede na povprečje v obdobju 1981–2010. Črte prikazujejo glajeno mediano modelskih projekcij, zgornji in spodnji rob ovojníc največjo in najmanjšo vrednost modelskih projekcij.

Višina padavin, Posočje



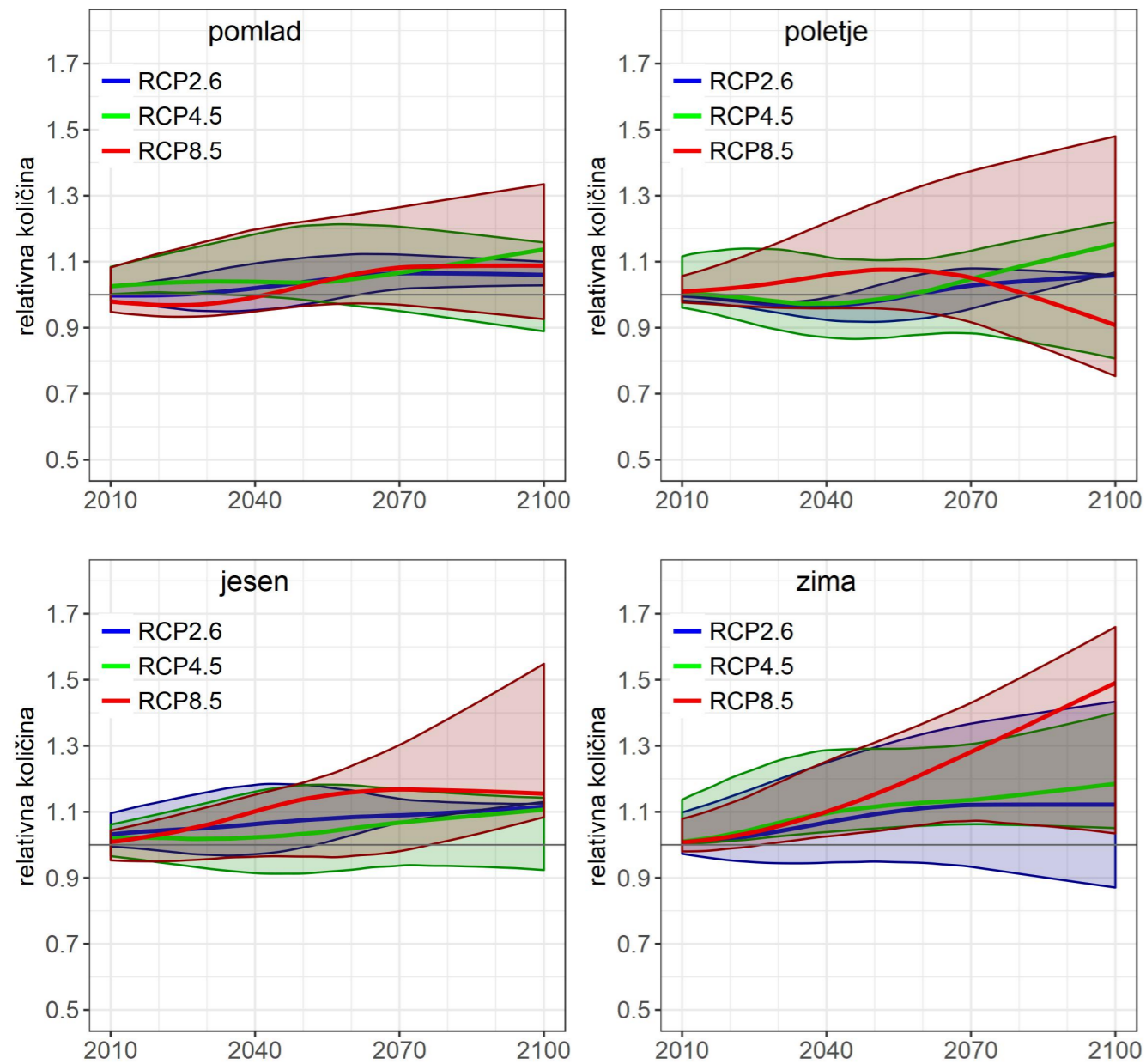
Slika 2.2 | Časovni potek spremembe višine padavin po meteoroloških letnih časih do konca 21. stoletja v regiji Posočje za tri scenarije, vključno z razponi odstopanj. Prikazana je relativna vrednost glede na povprečje v obdobju 1981–2010. Črte prikazujejo glajeno mediano modelskih projekcij, zgornji in spodnji rob ovojníc največjo in najmanjšo vrednost modelskih projekcij.

Višina padavin, osrednja regija



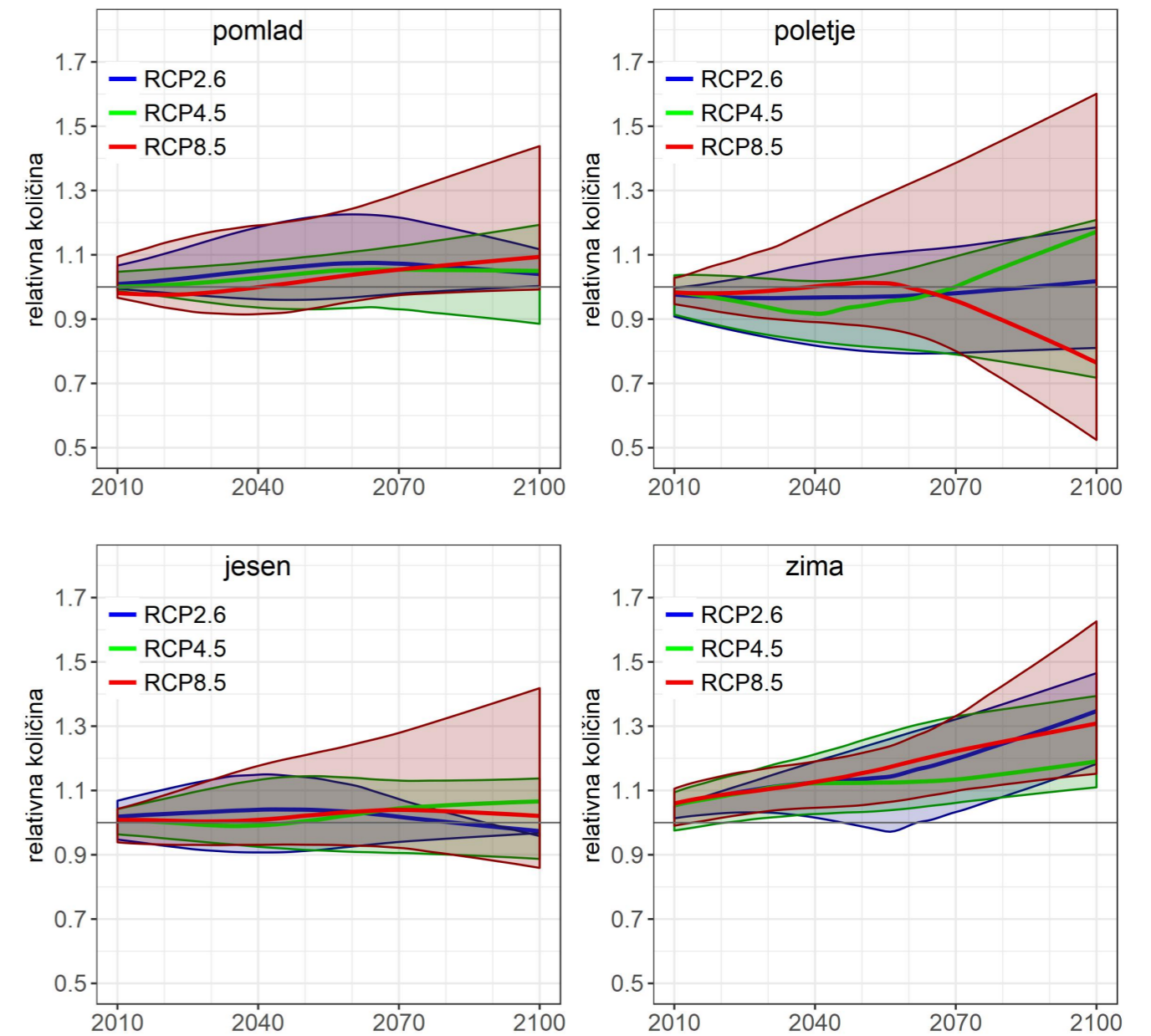
Slika 2.3 | Časovni potek spremembe višine padavin po meteoroloških letnih časih do konca 21. stoletja v osrednji regiji za tri scenarije, vključno z razponi odstopanj. Prikazana je relativna vrednost glede na povprečje v obdobju 1981–2010. Črte prikazujejo glajeno mediano modelskih projekcij, zgornji in spodnji rob ovojníc največjo in najmanjšo vrednost modelskih projekcij.

Višina padavin, severovzhodna regija



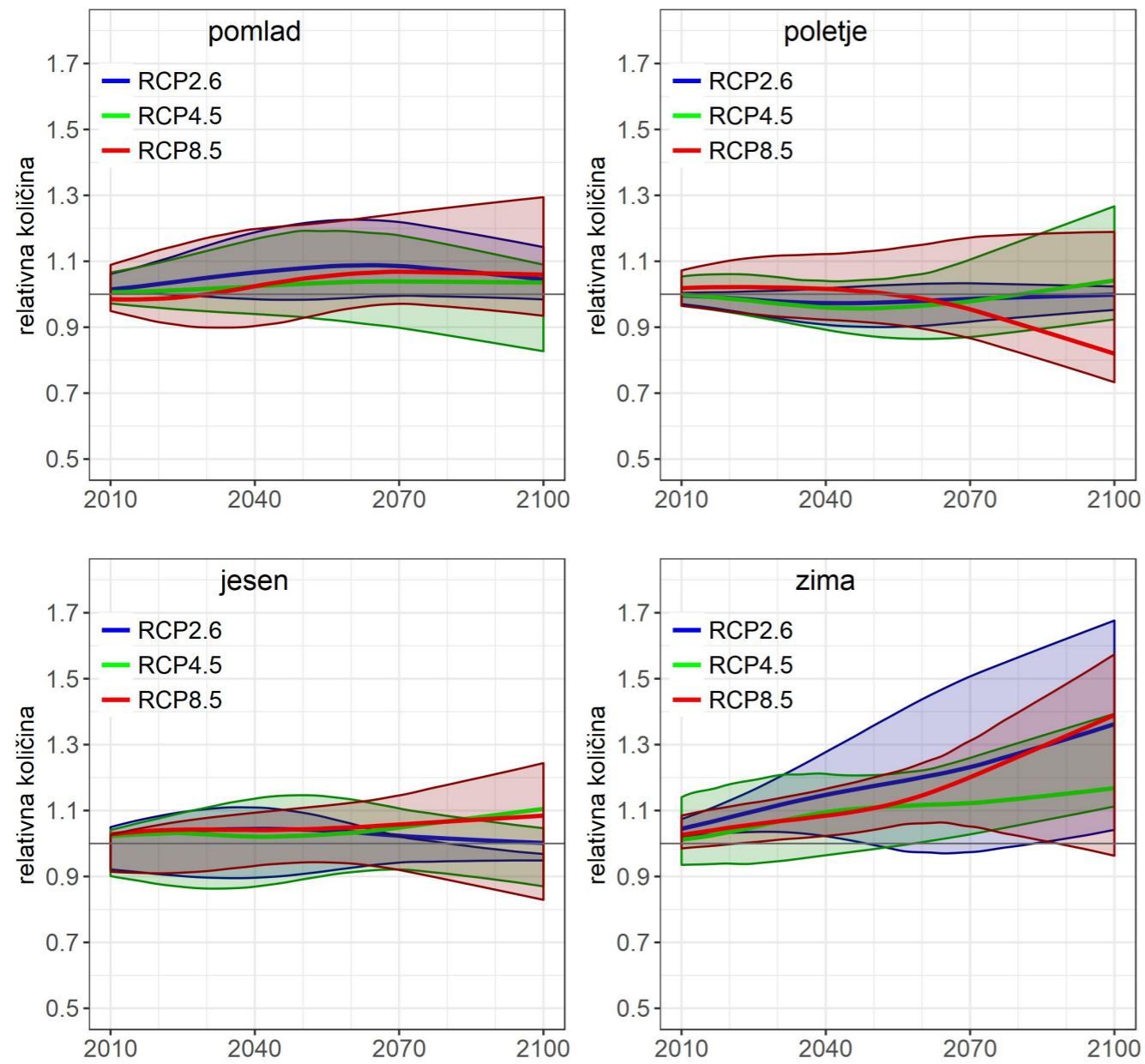
Slika 2.4 | Časovni potek spremembe višine padavin po meteoroloških letnih časih do konca 21. stoletja v severovzhodni regiji za tri scenarije, vključno z razponi odstopanj. Prikazana je relativna vrednost glede na povprečje v obdobju 1981–2010. Črte prikazujejo glajeno mediano modelskih projekcij, zgornji in spodnji rob ovojníc največjo in najmanjšo vrednost modelskih projekcij.

Višina padavin, jugozahodna regija



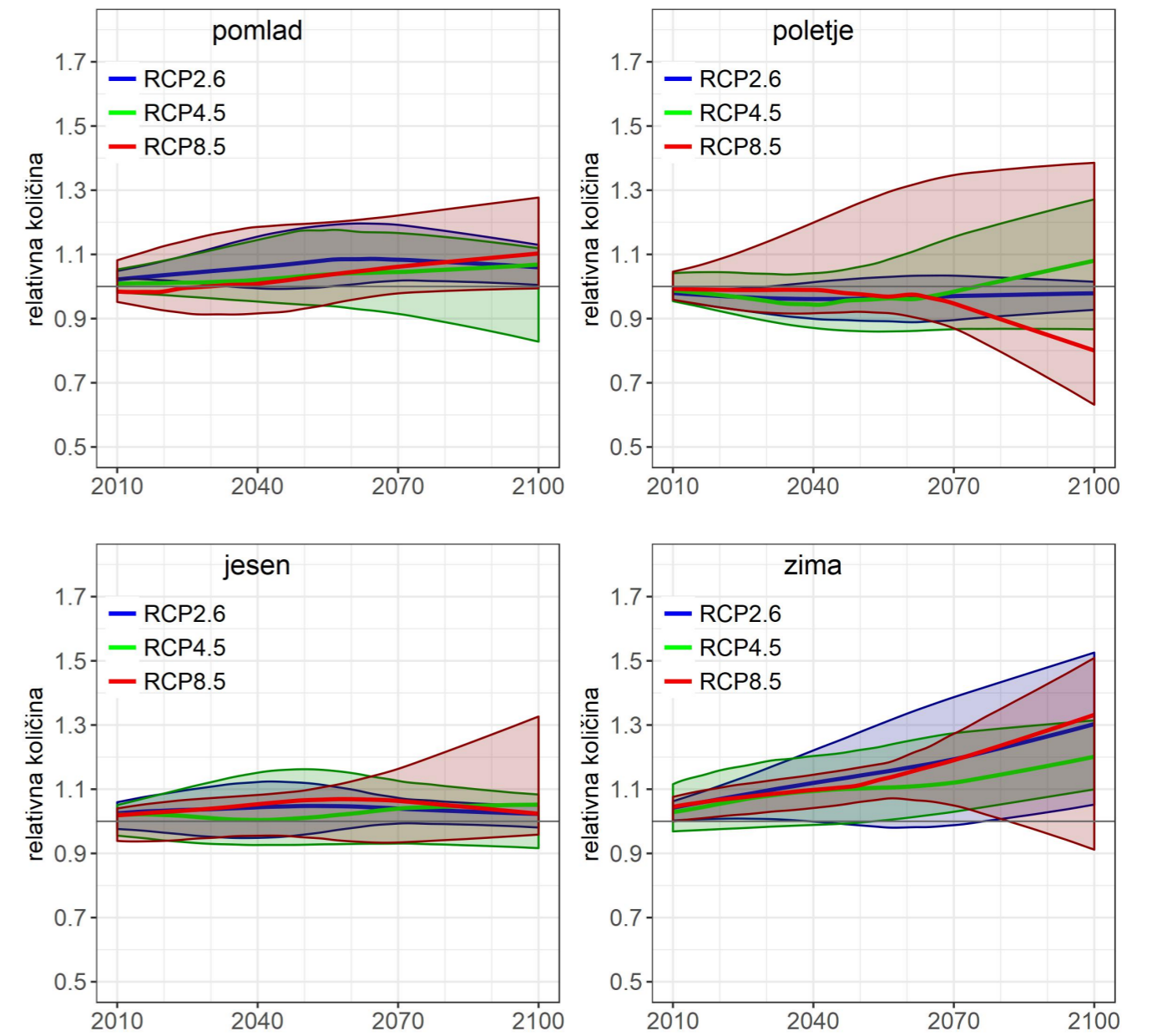
Slika 2.5 | Časovni potek spremembe višine padavin po meteoroloških letnih časih do konca 21. stoletja v jugozahodni regiji za tri scenarije, vključno z razponi odstopanj. Prikazana je relativna vrednost glede na povprečje v obdobju 1981–2010. Črte prikazujejo glajeno mediano modelskih projekcij, zgornji in spodnji rob ovojníc največjo in najmanjšo vrednost modelskih projekcij.

Višina padavin, visokogorje



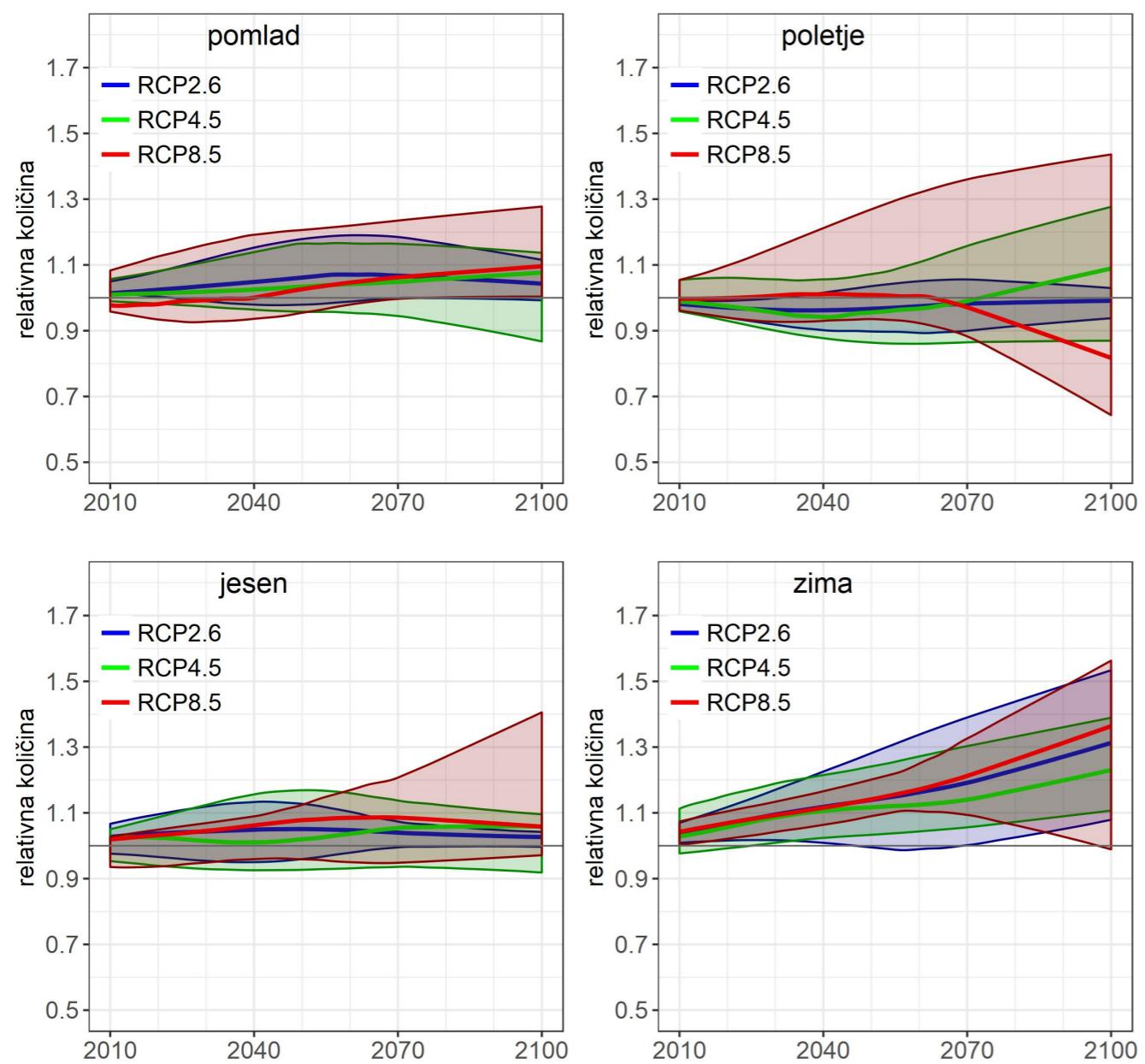
Slika 2.6 | Časovni potek spremembe višine padavin po meteoroloških letnih časih do konca 21. stoletja v regiji visokogorje za tri scenarije, vključno z razponi odstopanj. Prikazana je relativna vrednost glede na povprečje v obdobju 1981–2010. Črte prikazujejo glajeno mediano modelskih projekcij, zgornji in spodnji rob ovojníc največjo in najmanjšo vrednost modelskih projekcij.

Višina padavin, prehodna regija



Slika 2.7 | Časovni potek spremembe višine padavin po meteoroloških letnih časih do konca 21. stoletja v prehodni regiji za tri scenarije, vključno z razponi odstopanj. Prikazana je relativna vrednost glede na povprečje v obdobju 1981–2010. Črte prikazujejo glajeno mediano modelskih projekcij, zgornji in spodnji rob ovojníc največjo in najmanjšo vrednost modelskih projekcij.

Višina padavin, Slovenija



Slika 2.8 | Časovni potek spremembe višine padavin po meteoroloških letnih časih do konca 21. stoletja v Sloveniji za tri scenarije, vključno z razponi odstopanj. Prikazana je relativna vrednost glede na povprečje v obdobju 1981–2010. Črte prikazujejo glajeno mediano modelskih projekcij, zgornji in spodnji rob ovojníc največjo in najmanjšo vrednost modelskih projekcij.

Padavine, RCP2.6, leto

Padavine, RCP2.6, pomlad

Odklon glede na obdobje 1981–2010

Zanesljivost

Odklon glede na obdobje 1981–2010

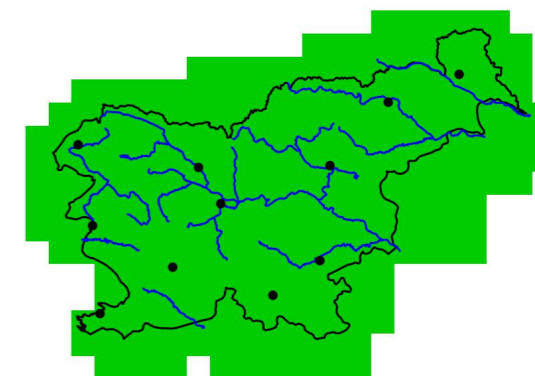
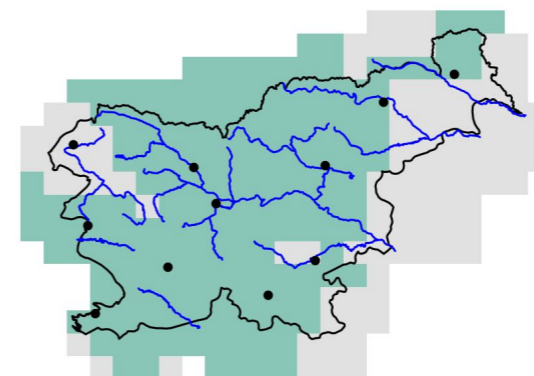
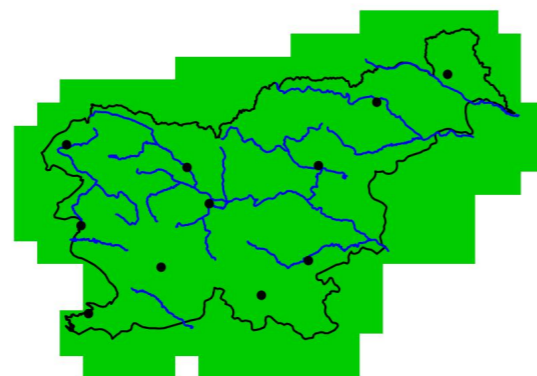
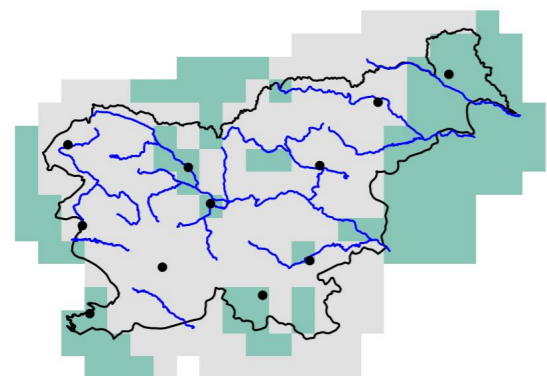
Zanesljivost

2011–2040

2011–2040

2011–2040

2011–2040

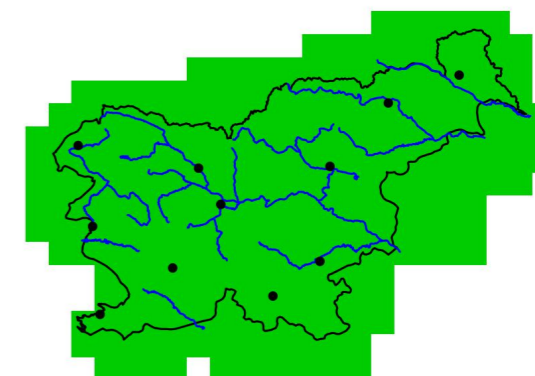
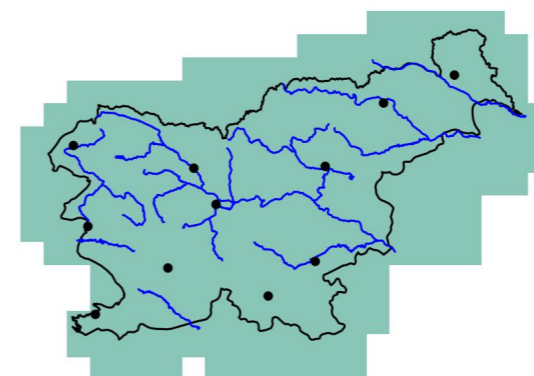
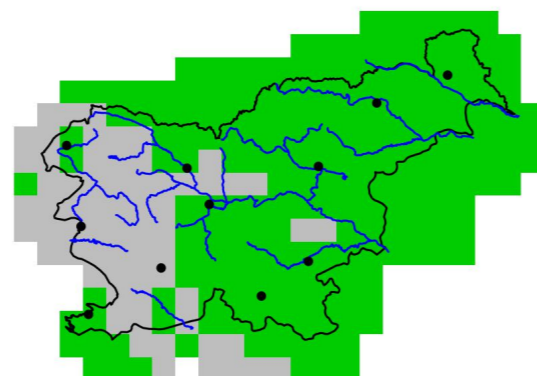
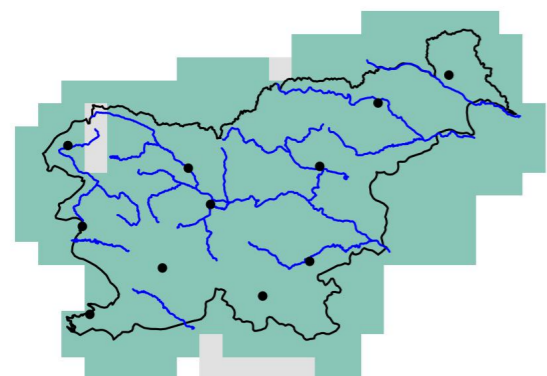


2041–2070

2041–2070

2041–2070

2041–2070

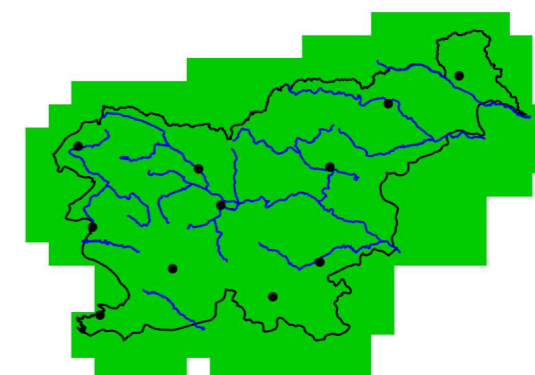
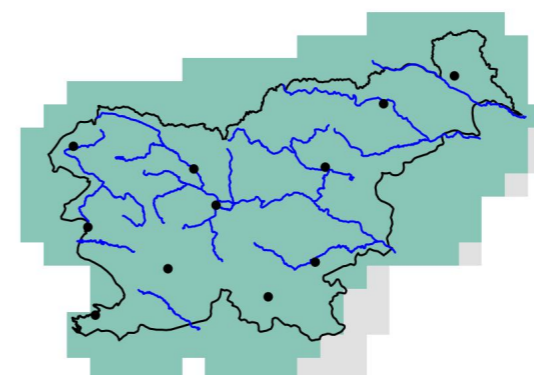
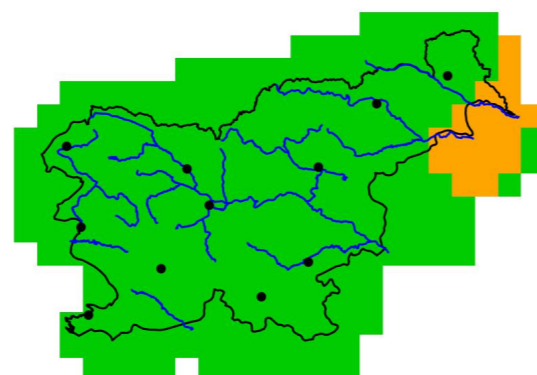
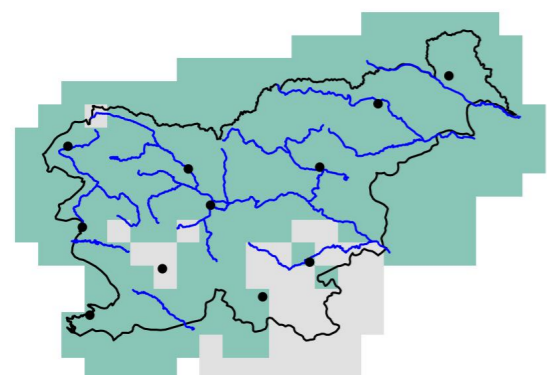


2071–2100

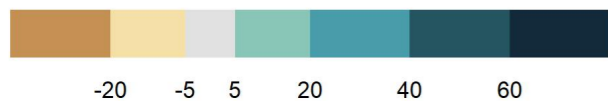
2071–2100

2071–2100

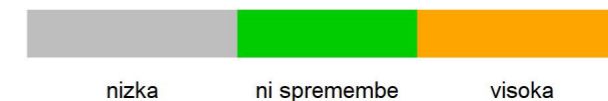
2071–2100



%



%



Slika 2.9 | Sprememba povprečne letne višine padavin v treh projekcijskih obdobjih glede na obdobje 1981–2010 in pripadajoča zanesljivost spremembe za scenarij RCP2.6

Slika 2.10 | Sprememba povprečne višine padavin spomladi v treh projekcijskih obdobjih glede na obdobje 1981–2010 in pripadajoča zanesljivost spremembe za scenarij RCP2.6

Padavine, RCP2.6, poletje

Padavine, RCP2.6, jesen

Odklon glede na obdobje 1981–2010

Zanesljivost

Odklon glede na obdobje 1981–2010

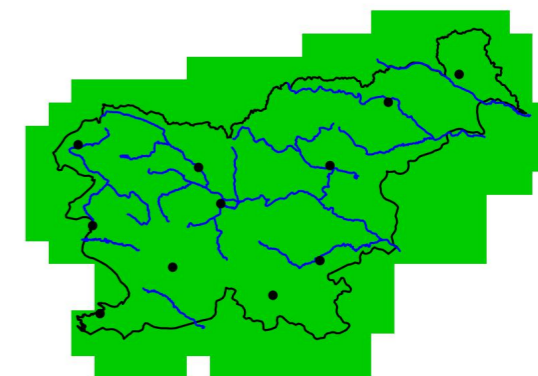
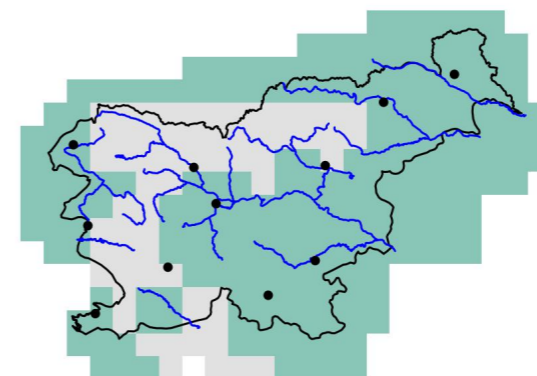
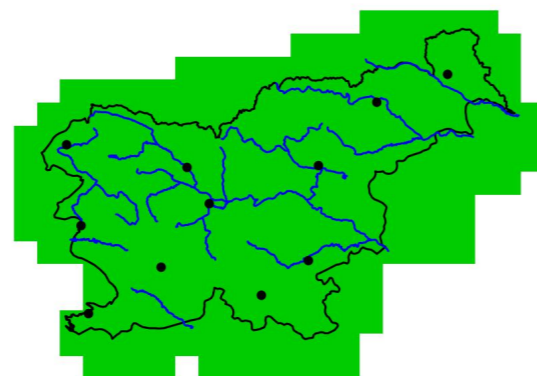
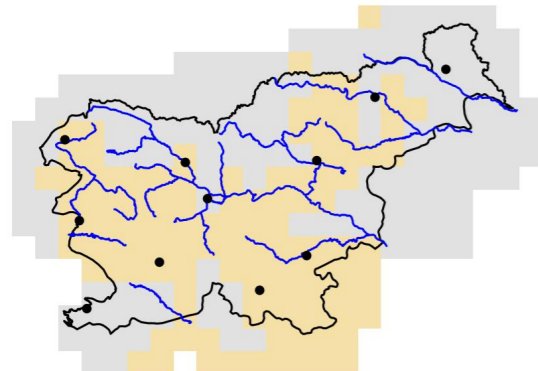
Zanesljivost

2011–2040

2011–2040

2011–2040

2011–2040

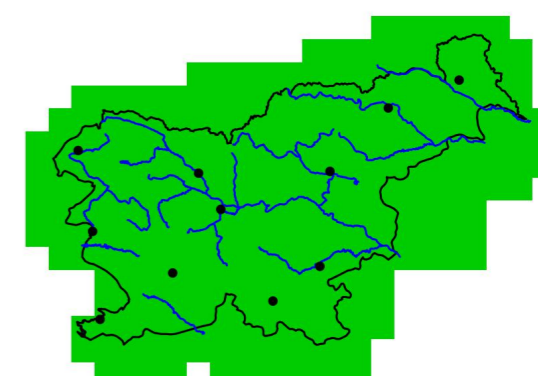
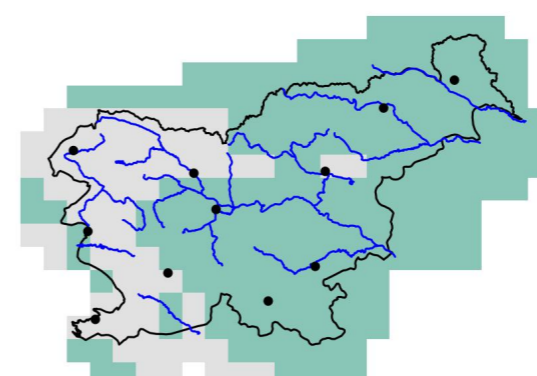
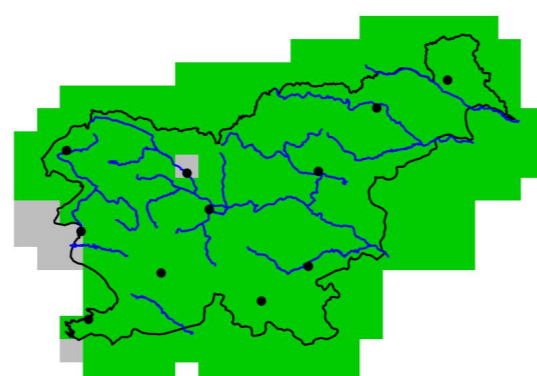
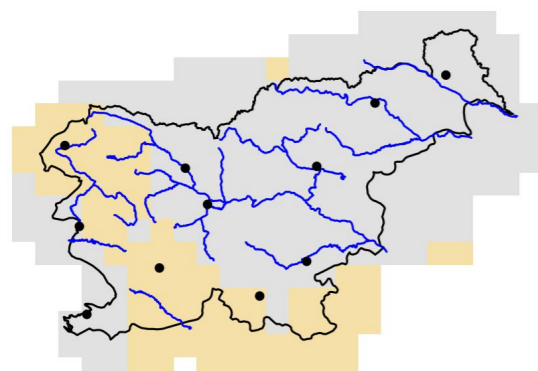


2041–2070

2041–2070

2041–2070

2041–2070

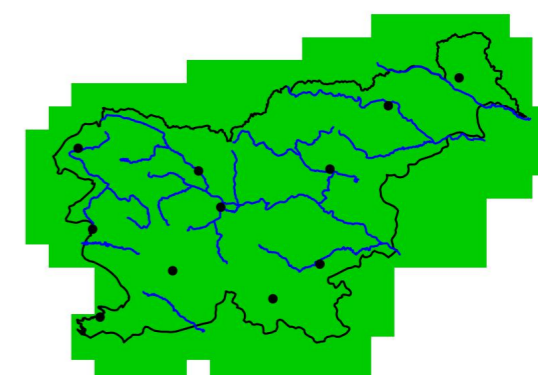
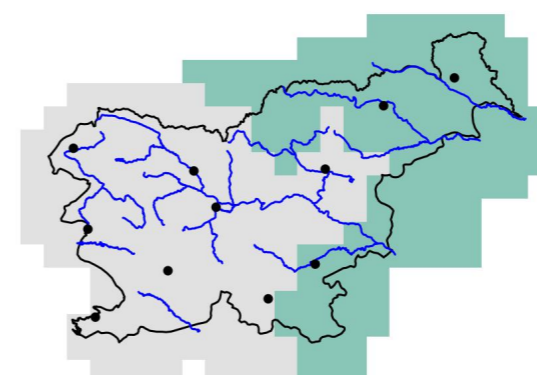
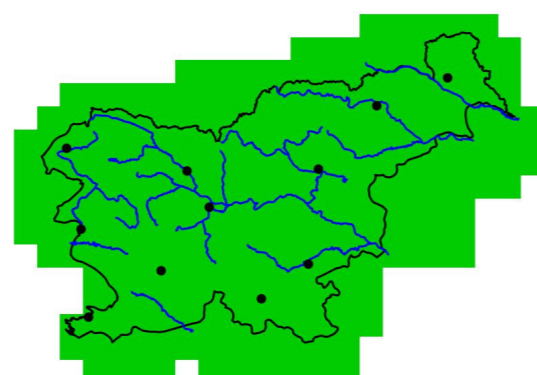
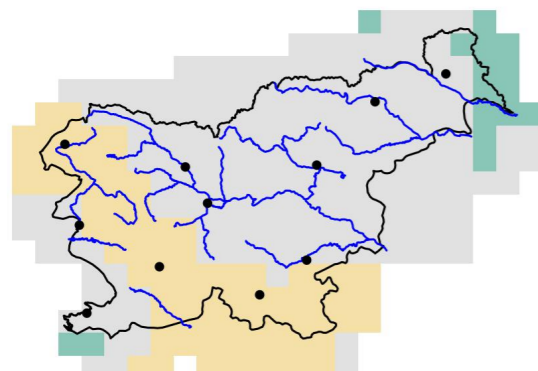


2071–2100

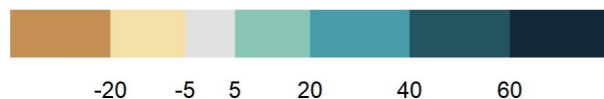
2071–2100

2071–2100

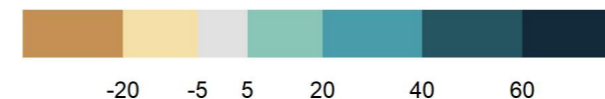
2071–2100



%



%



Slika 2.11 | Sprememba povprečne višine padavin poletja v treh projekcijskih obdobjih glede na obdobje 1981–2010 in pripadajoča zanesljivost spremembe za scenarij RCP2.6

Slika 2.12 | Sprememba povprečne višine padavin jeseni v treh projekcijskih obdobjih glede na obdobje 1981–2010 in pripadajoča zanesljivost spremembe za scenarij RCP2.6

Padavine, RCP2.6, zima

Padavine, RCP4.5, leto

Odklon glede na obdobje 1981–2010

Zanesljivost

Odklon glede na obdobje 1981–2010

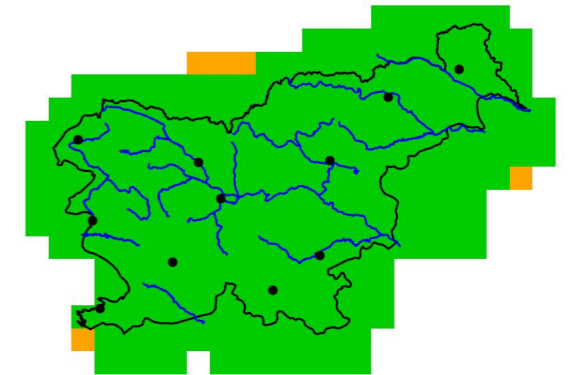
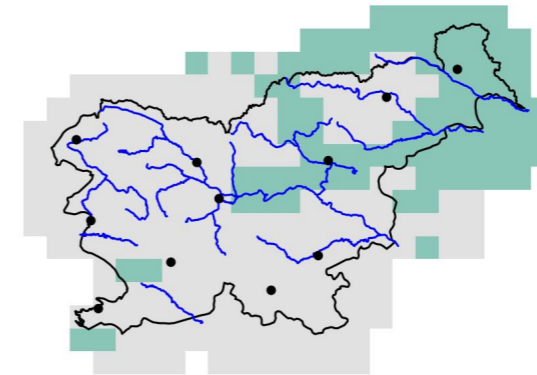
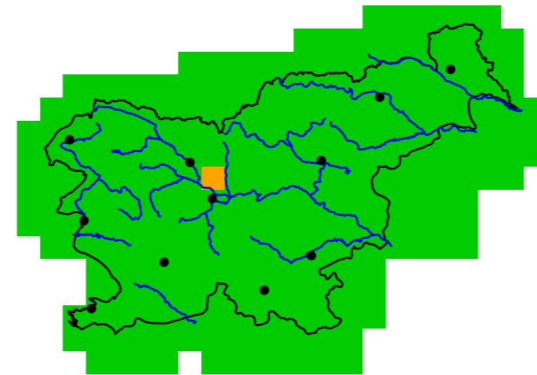
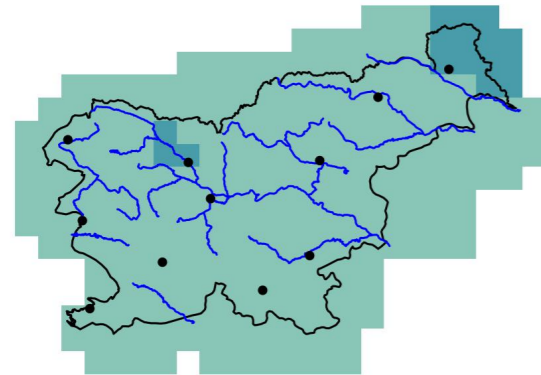
Zanesljivost

2011–2040

2011–2040

2011–2040

2011–2040

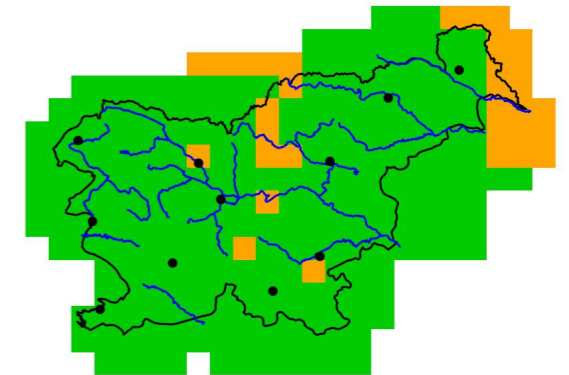
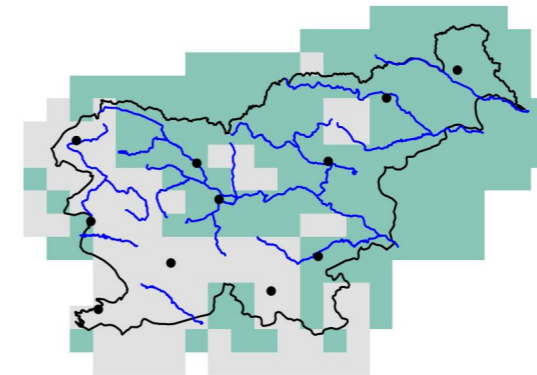
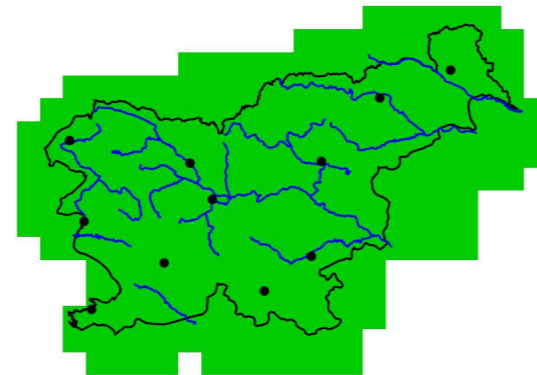
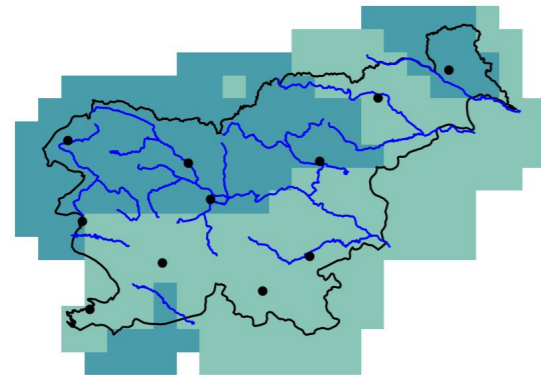


2041–2070

2041–2070

2041–2070

2041–2070

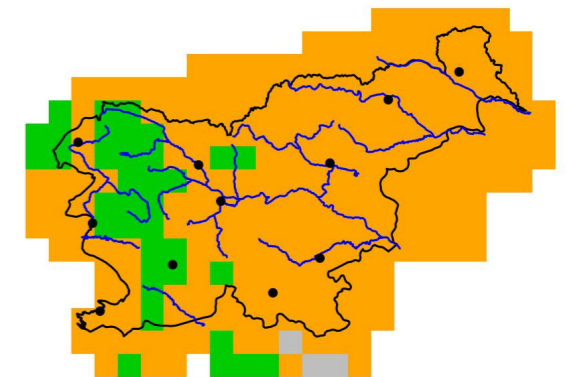
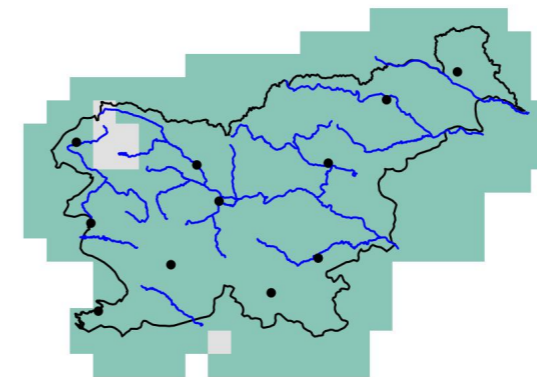
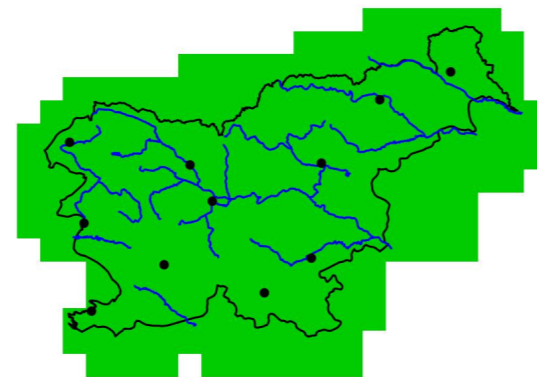
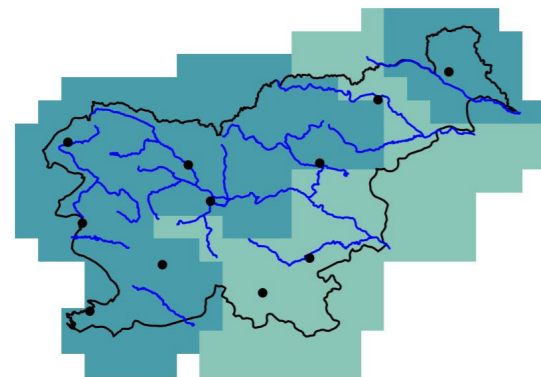


2071–2100

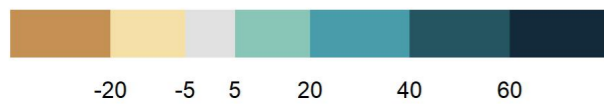
2071–2100

2071–2100

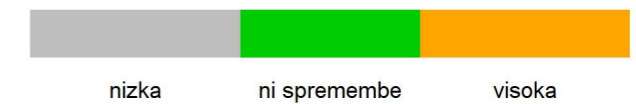
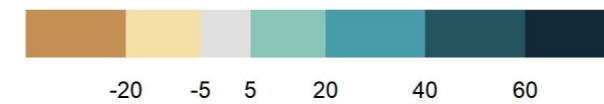
2071–2100



%



%



Slika 2.13 | Sprememba povprečne višine padavin pozimi v treh projekcijskih obdobjih glede na obdobje 1981–2010 in pripadajoča zanesljivost spremembe za scenarij RCP2.6

Slika 2.14 | Sprememba povprečne letne višine padavin v treh projekcijskih obdobjih glede na obdobje 1981–2010 in pripadajoča zanesljivost spremembe za scenarij RCP4.5

Padavine, RCP4.5, pomlad

Padavine, RCP4.5, poletje

Odklon glede na obdobje 1981–2010

Zanesljivost

Odklon glede na obdobje 1981–2010

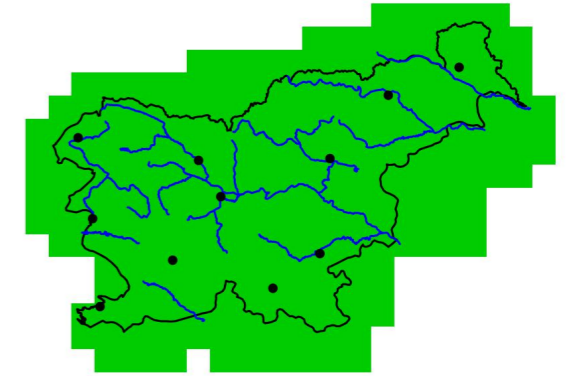
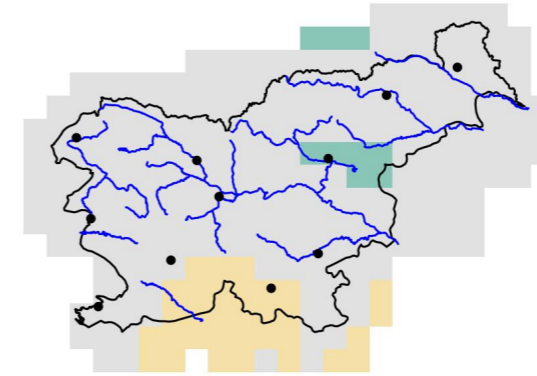
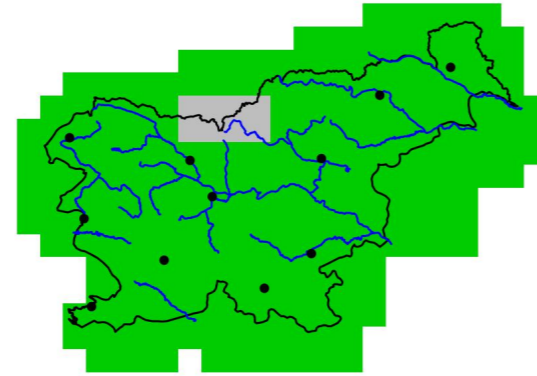
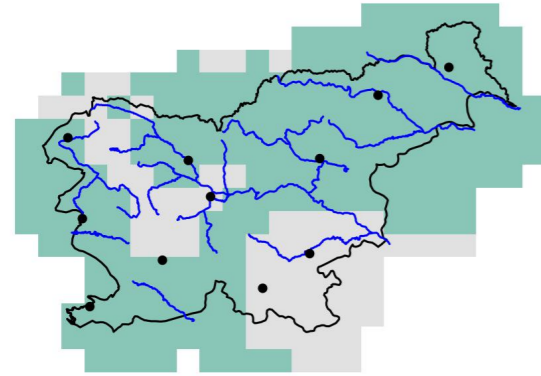
Zanesljivost

2011–2040

2011–2040

2011–2040

2011–2040

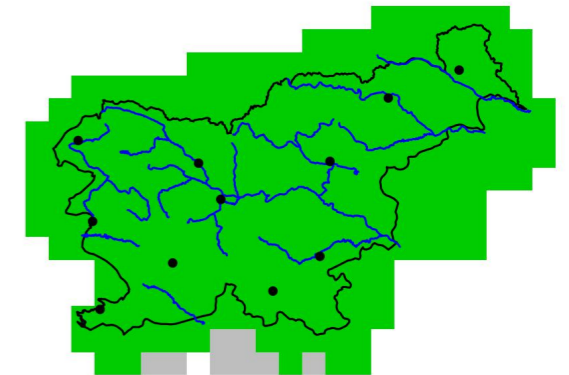
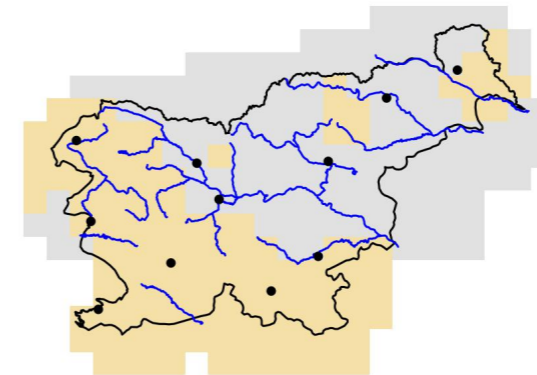
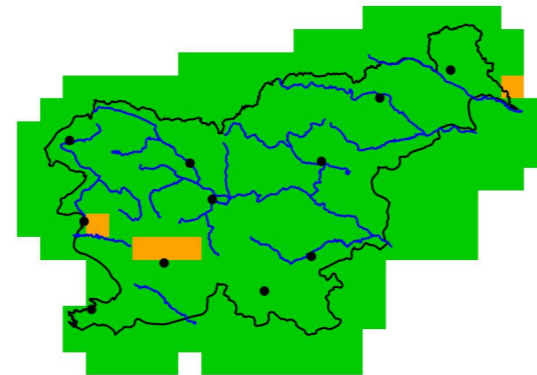
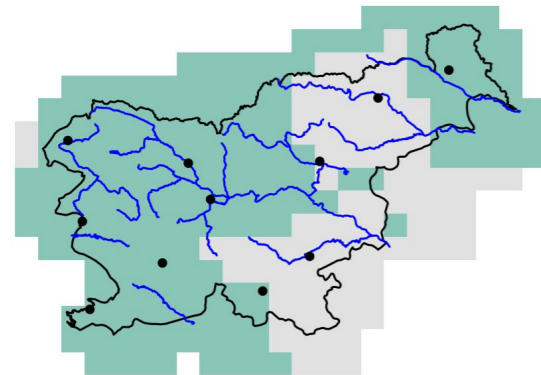


2041–2070

2041–2070

2041–2070

2041–2070

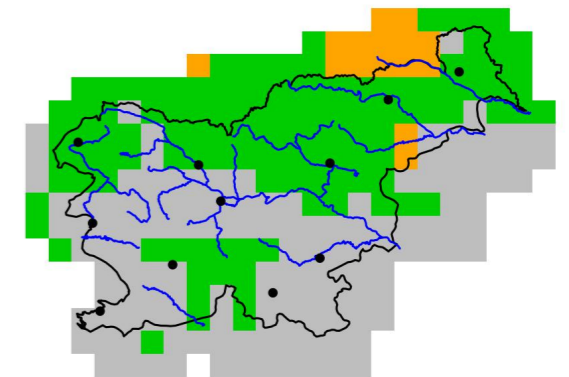
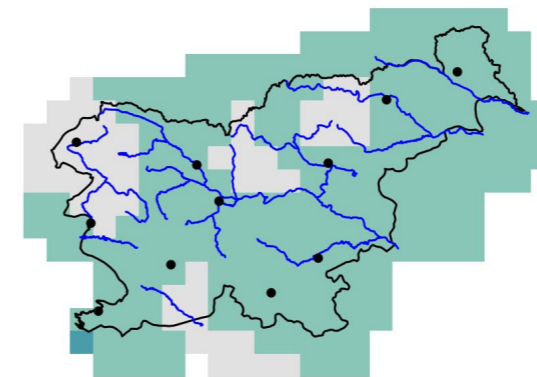
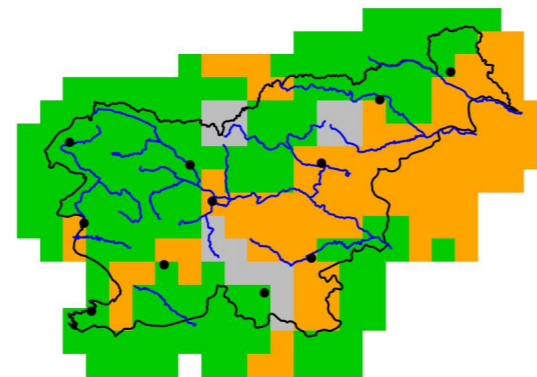
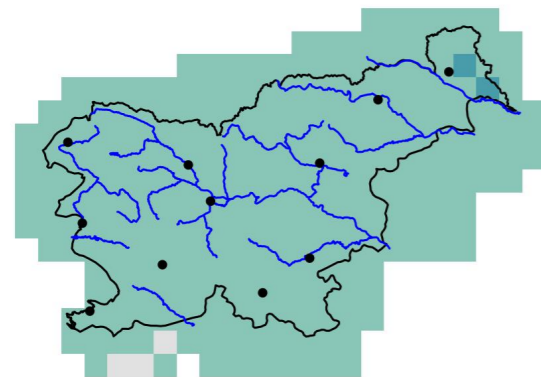


2071–2100

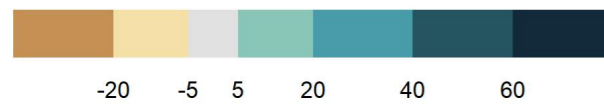
2071–2100

2071–2100

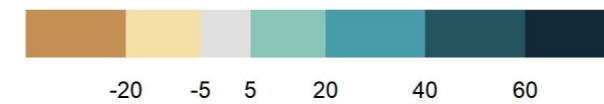
2071–2100



%



%



Slika 2.15 | Sprememba povprečne višine padavin spomladi v treh projekcijskih obdobjih glede na obdobje 1981–2010 in pripadajoča zanesljivost spremembe za scenarij RCP4.5

Slika 2.16 | Sprememba povprečne višine padavin poleti v treh projekcijskih obdobjih glede na obdobje 1981–2010 in pripadajoča zanesljivost spremembe za scenarij RCP4.5

Padavine, RCP4.5, jesen

Padavine, RCP4.5, zima

Odklon glede na obdobje 1981–2010

Zanesljivost

Odklon glede na obdobje 1981–2010

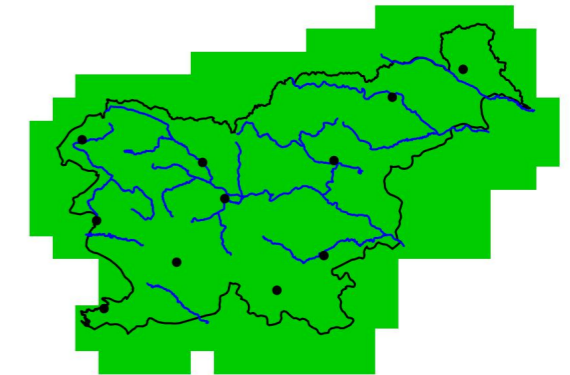
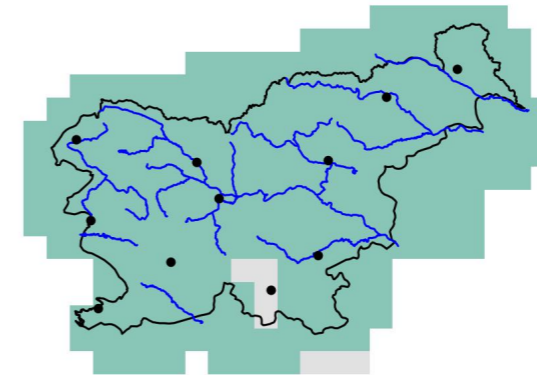
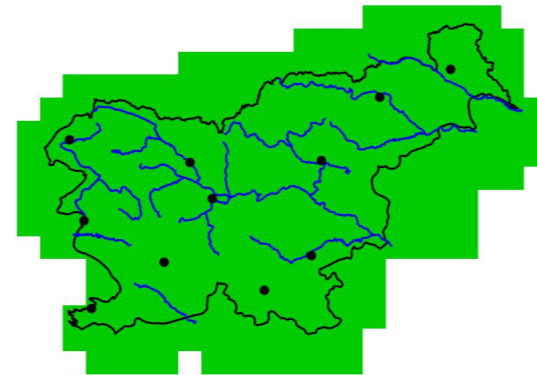
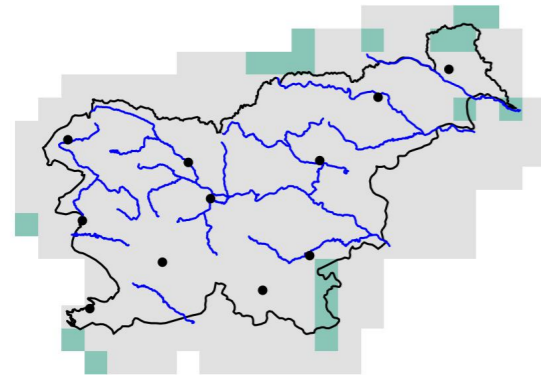
Zanesljivost

2011–2040

2011–2040

2011–2040

2011–2040

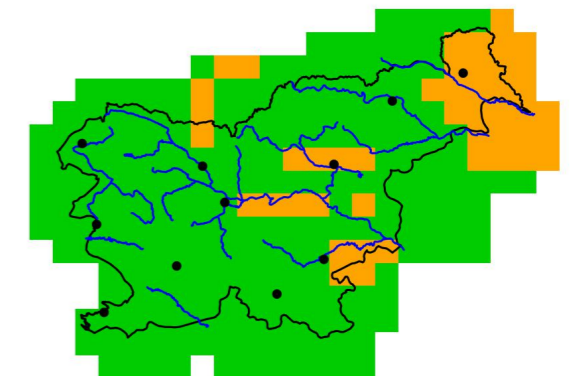
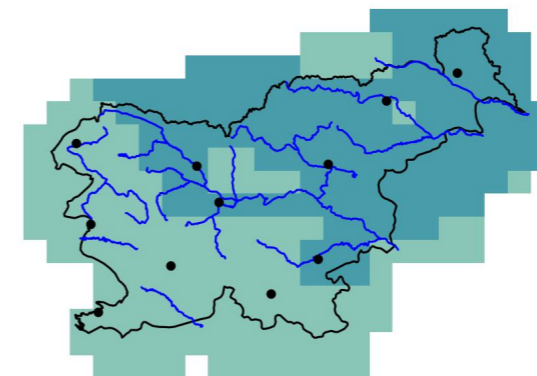
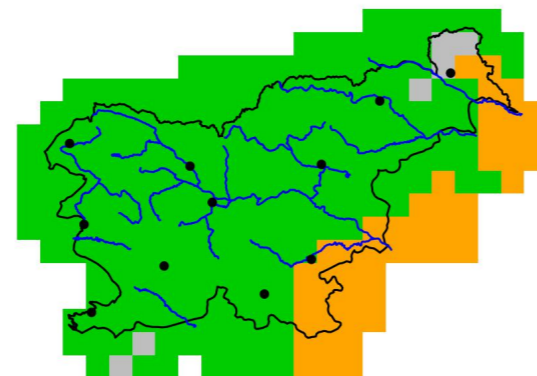
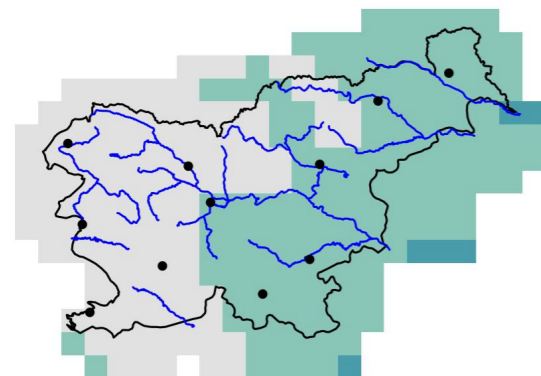


2041–2070

2041–2070

2041–2070

2041–2070

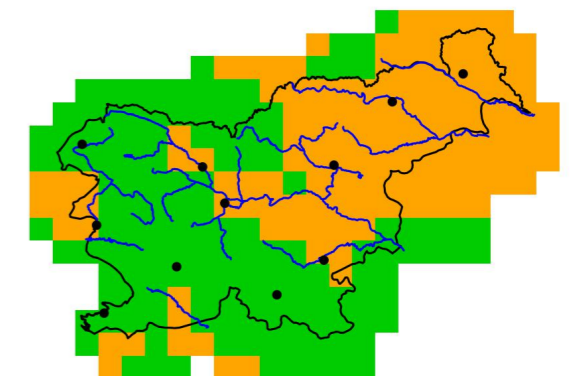
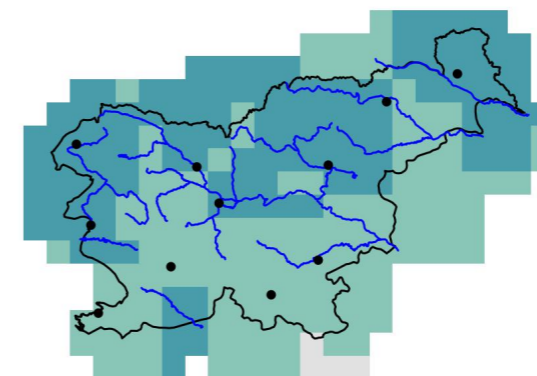
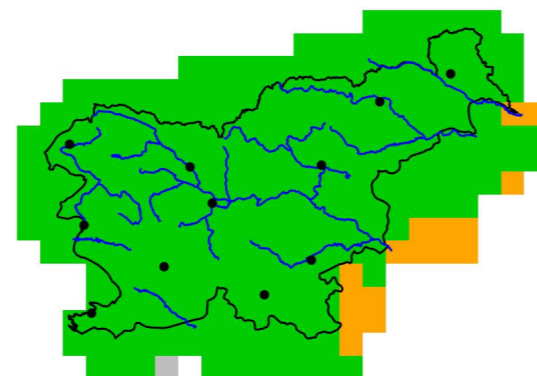
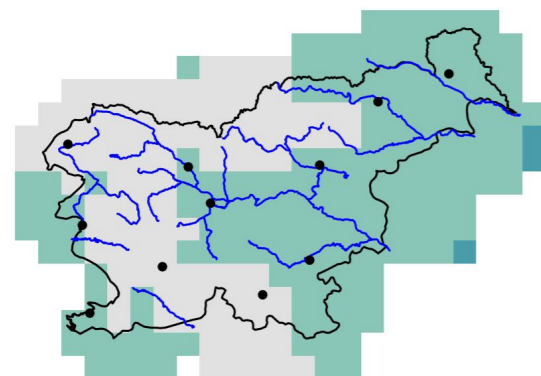


2071–2100

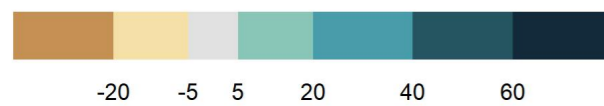
2071–2100

2071–2100

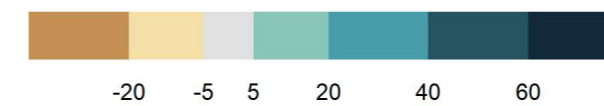
2071–2100



%



%



Slika 2.17 | Sprememba povprečne višine padavin jeseni v treh projekcijskih obdobjih glede na obdobje 1981–2010 in pripadajoča zanesljivost spremembe za scenarij RCP4.5

Slika 2.18 | Sprememba povprečne višine padavin pozimi v treh projekcijskih obdobjih glede na obdobje 1981–2010 in pripadajoča zanesljivost spremembe za scenarij RCP4.5

Padavine, RCP8.5, leto

Padavine, RCP8.5, pomlad

Odklon glede na obdobje 1981–2010

Zanesljivost

Odklon glede na obdobje 1981–2010

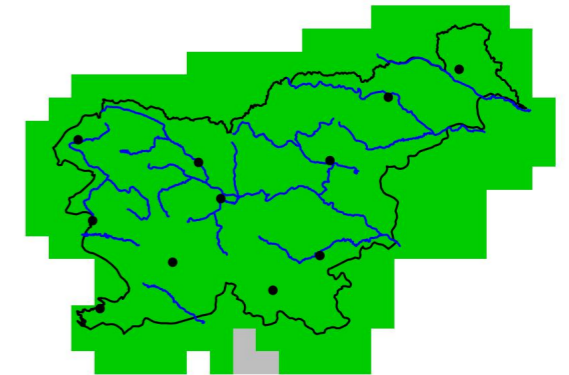
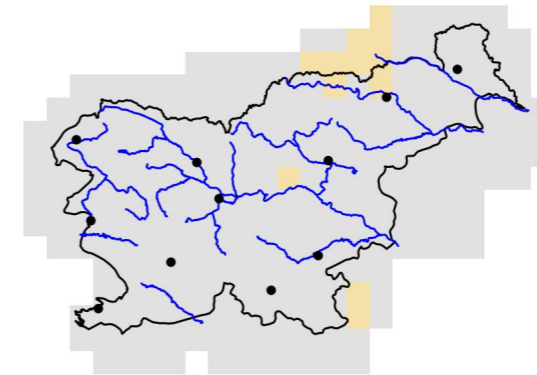
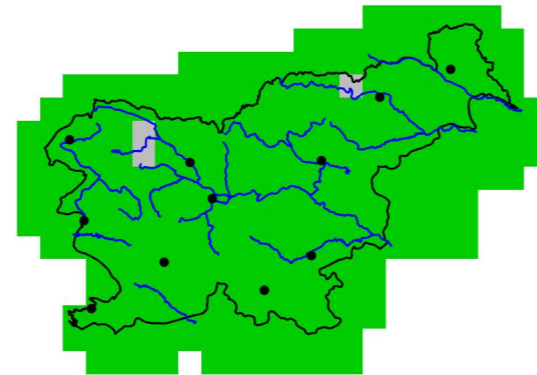
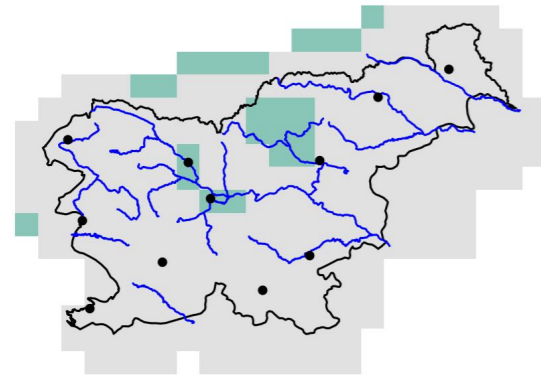
Zanesljivost

2011–2040

2011–2040

2011–2040

2011–2040

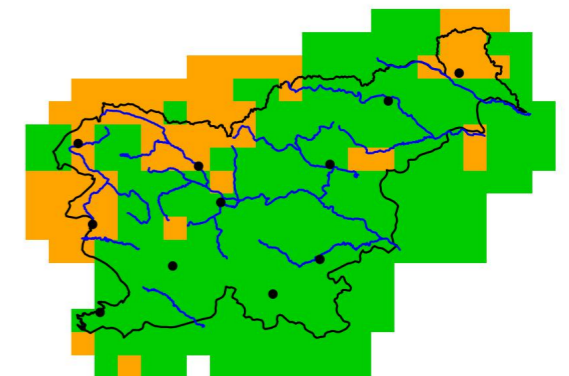
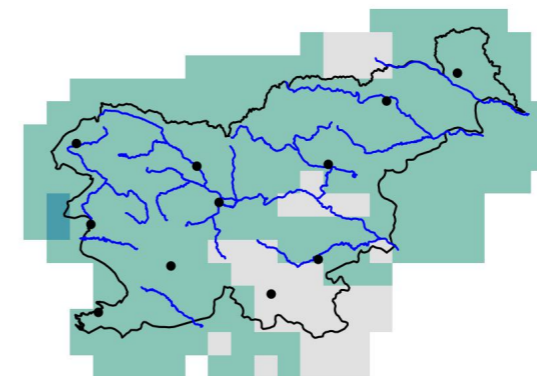
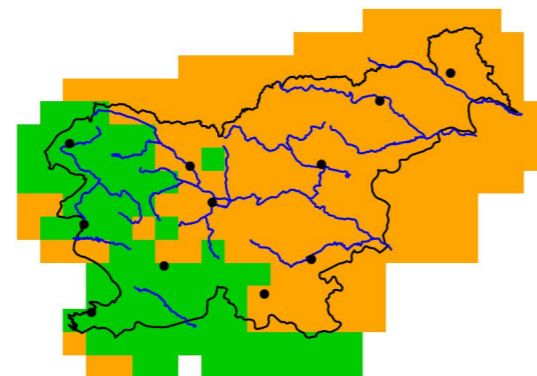
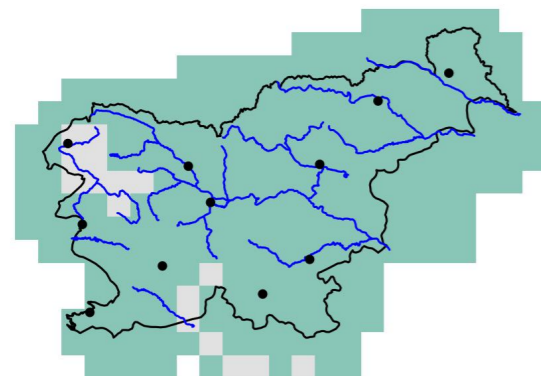


2041–2070

2041–2070

2041–2070

2041–2070

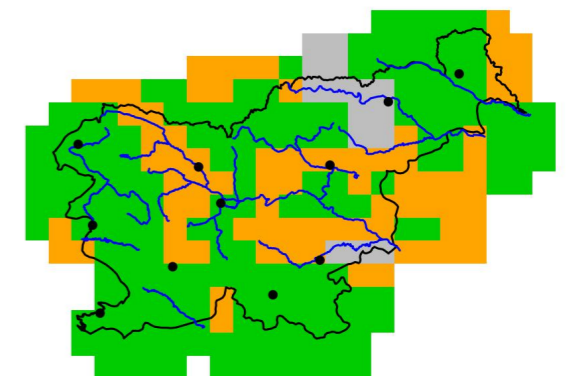
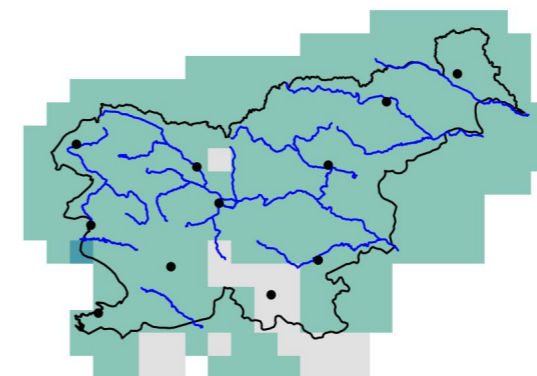
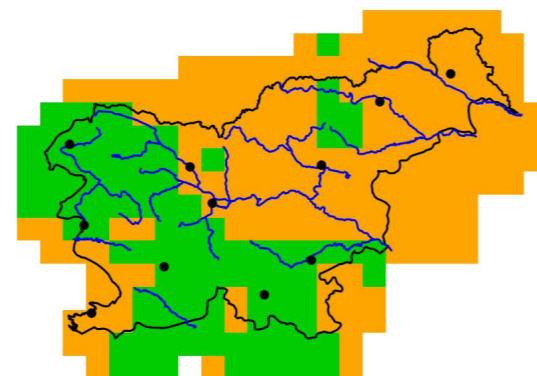
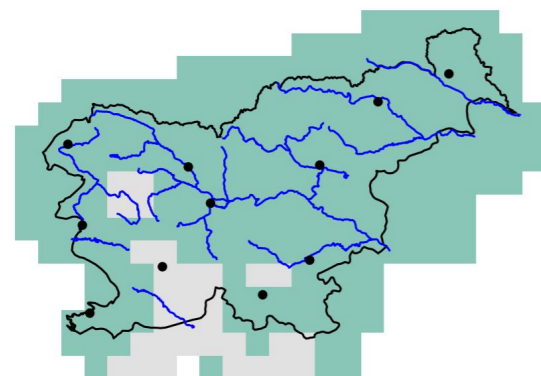


2071–2100

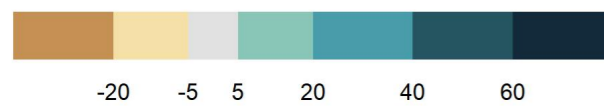
2071–2100

2071–2100

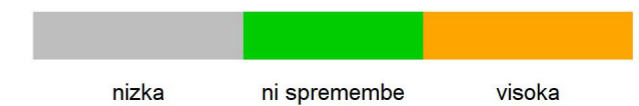
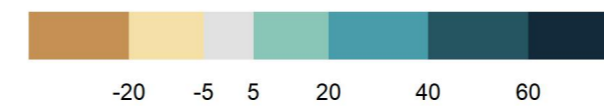
2071–2100



%



%



Slika 2.19 | Sprememba povprečne letne višine padavin v treh projekcijskih obdobjih glede na obdobje 1981–2010 in pripadajoča zanesljivost spremembe za scenarij RCP8.5

Slika 2.20 | Sprememba povprečne višine padavin spomladi v treh projekcijskih obdobjih glede na obdobje 1981–2010 in pripadajoča zanesljivost spremembe za scenarij RCP8.5

Padavine, RCP8.5, poletje

Padavine, RCP8.5, jesen

Odklon glede na obdobje 1981–2010

Zanesljivost

Odklon glede na obdobje 1981–2010

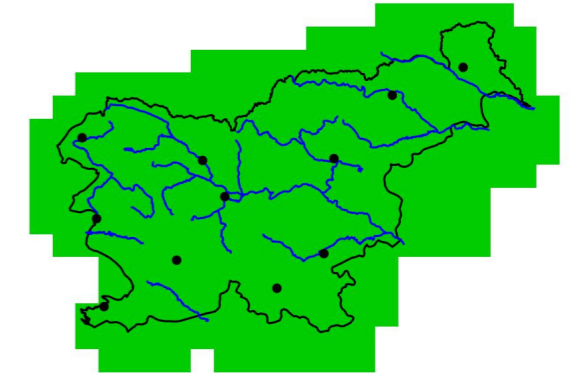
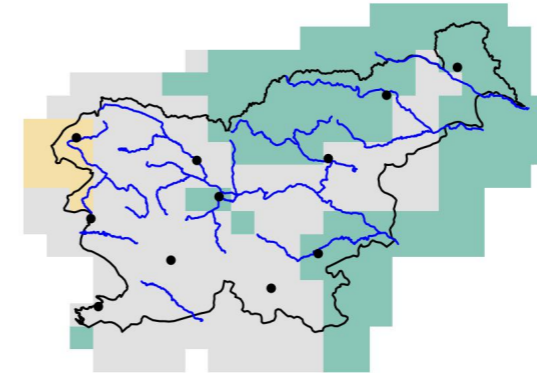
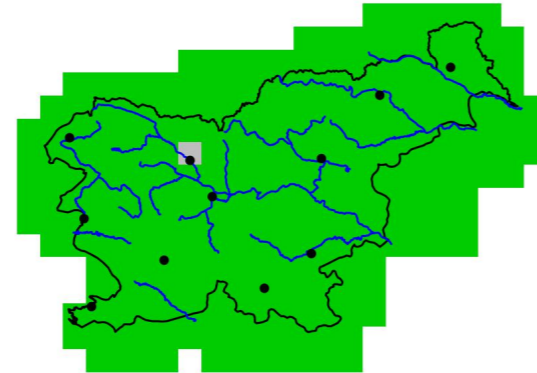
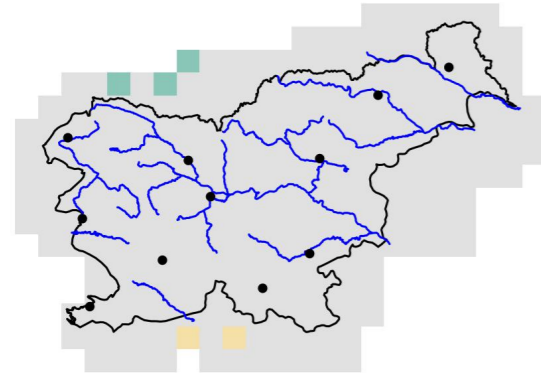
Zanesljivost

2011–2040

2011–2040

2011–2040

2011–2040

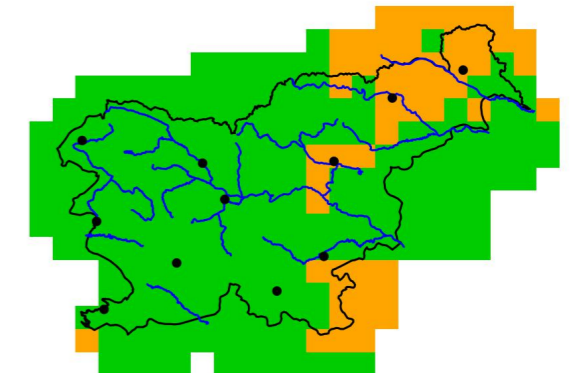
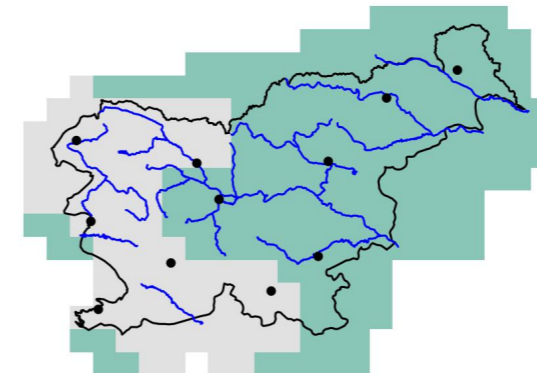
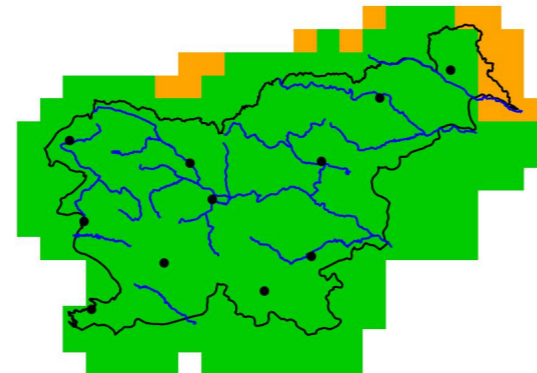
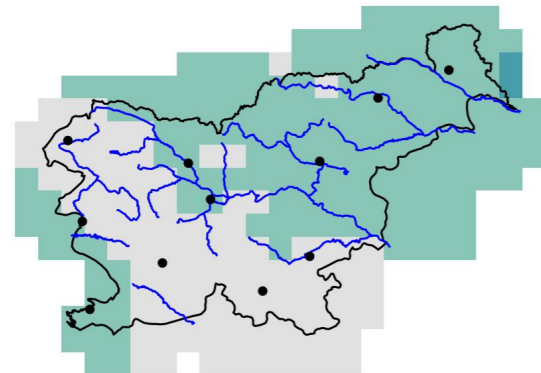


2041–2070

2041–2070

2041–2070

2041–2070

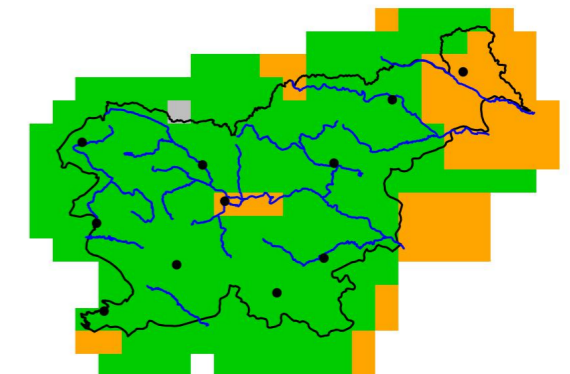
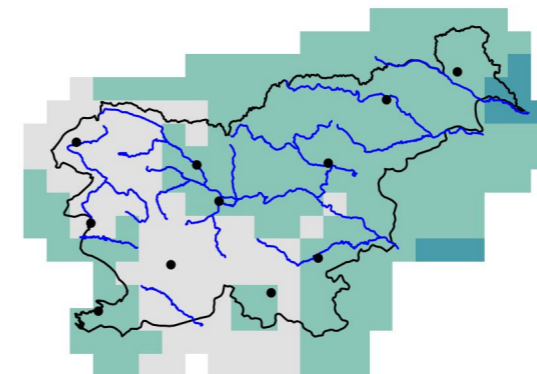
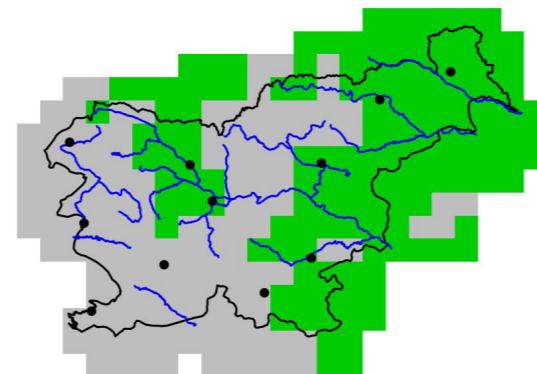
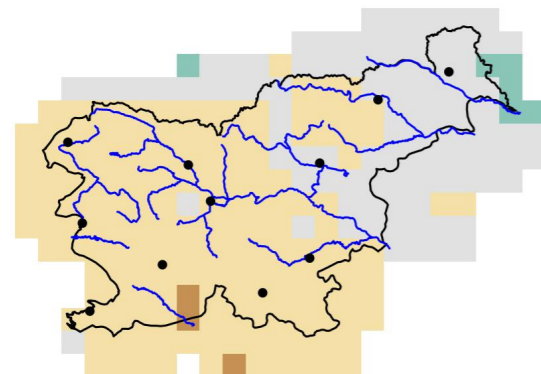


2071–2100

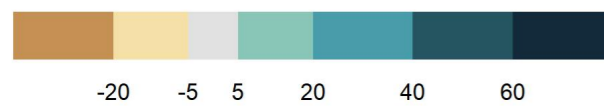
2071–2100

2071–2100

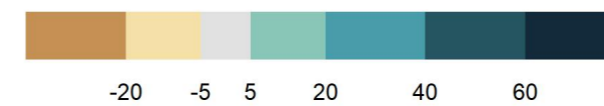
2071–2100



%



%



Slika 2.21 | Sprememba povprečne višine padavin poletja v treh projekcijskih obdobjih glede na obdobje 1981–2010 in pripadajoča zanesljivost spremembe za scenarij RCP8.5

Slika 2.22 | Sprememba povprečne višine padavin jeseni v treh projekcijskih obdobjih glede na obdobje 1981–2010 in pripadajoča zanesljivost spremembe za scenarij RCP8.5

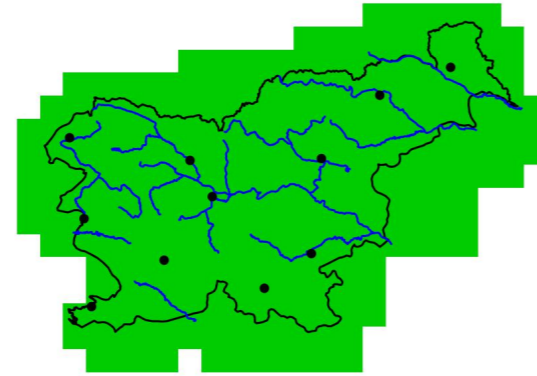
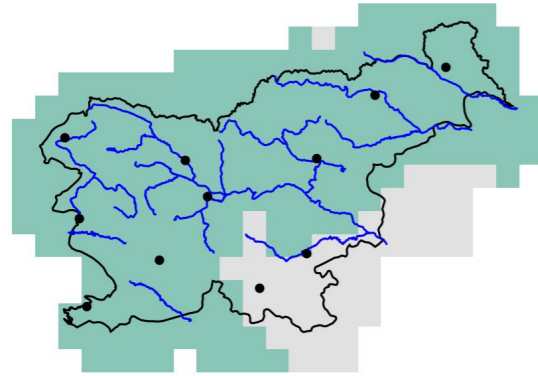
Padavine, RCP8.5, zima

Odklon glede na obdobje 1981–2010

Zanesljivost

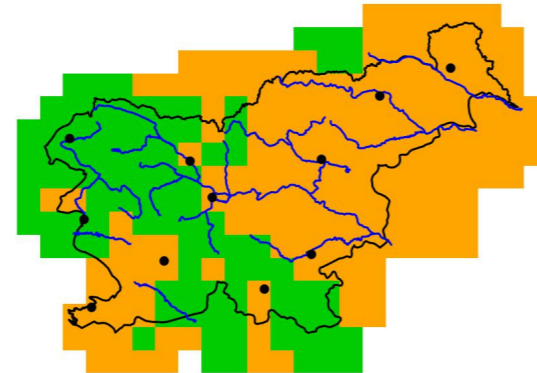
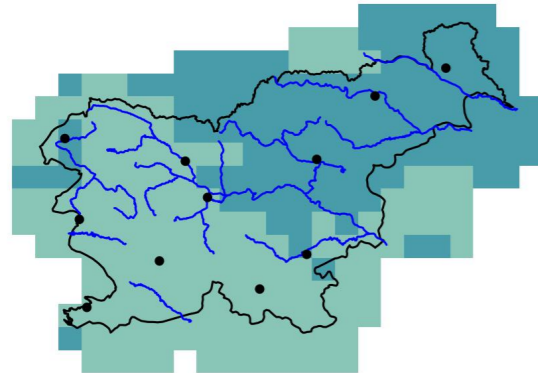
2011–2040

2011–2040



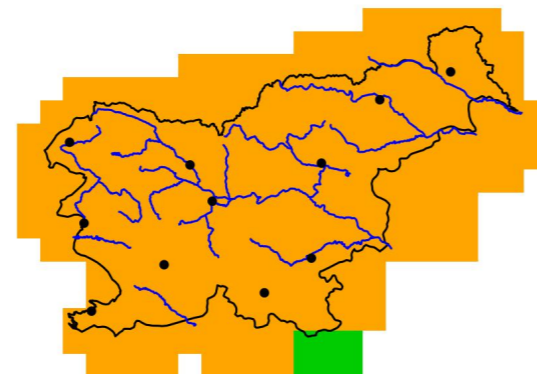
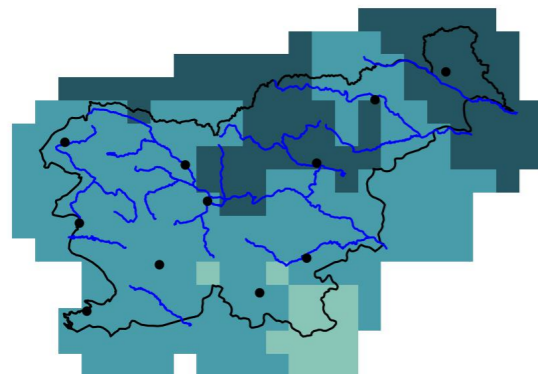
2041–2070

2041–2070

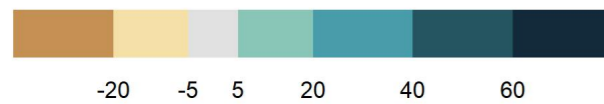


2071–2100

2071–2100



%



Slika 2.23 | Sprememba povprečne višine padavin pozimi v treh projekcijskih obdobjih glede na obdobje 1981–2010 in pripadajoča zanesljivost spremembe za scenarij RCP8.5

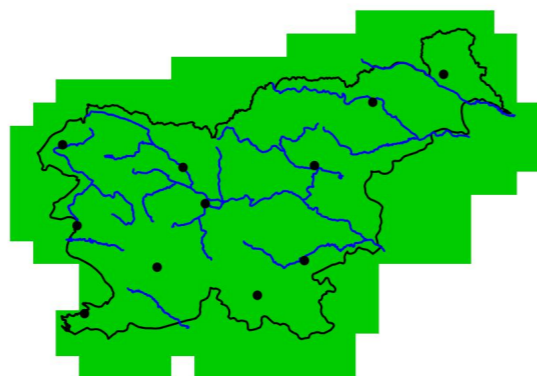
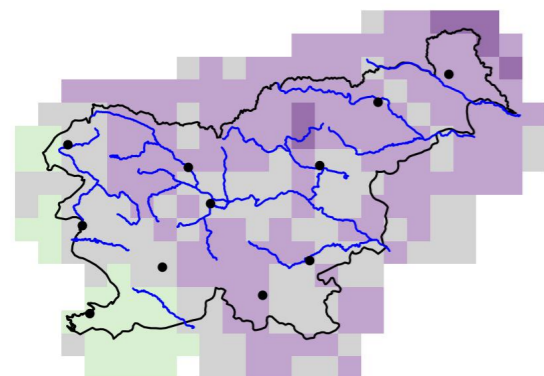
Dolžina najdaljšega suhega obdobja v letu (CDD), RCP2.6

Odklon glede na obdobje 1981–2010

Zanesljivost

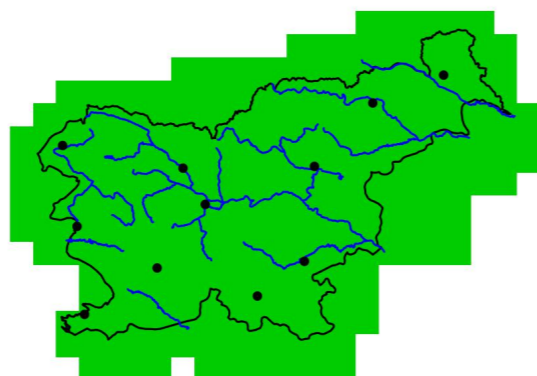
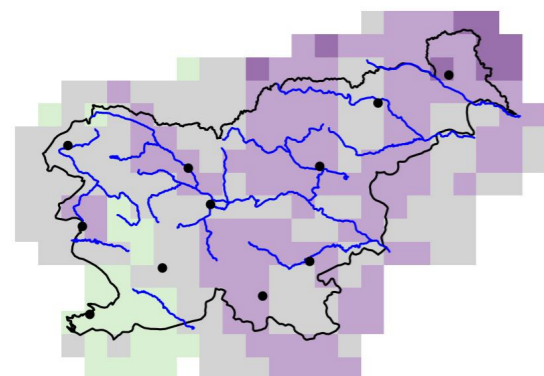
2011–2040

2011–2040



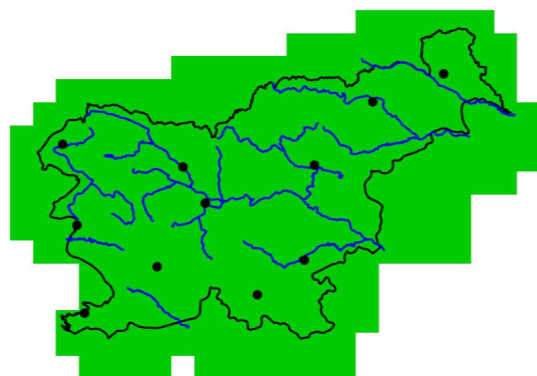
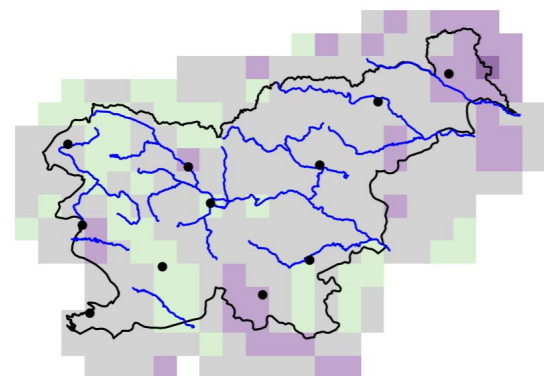
2041–2070

2041–2070

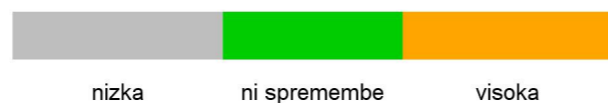
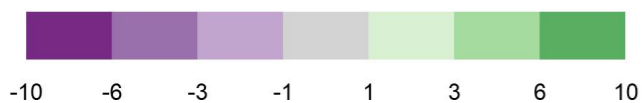


2071–2100

2071–2100



število dni



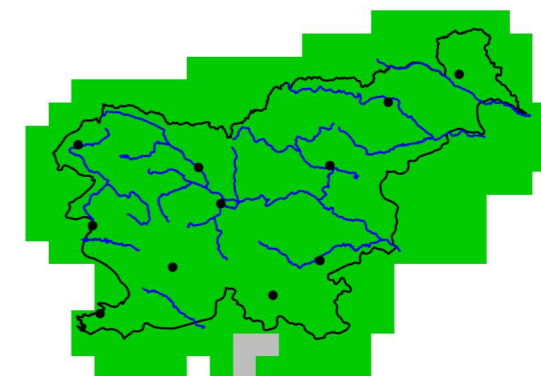
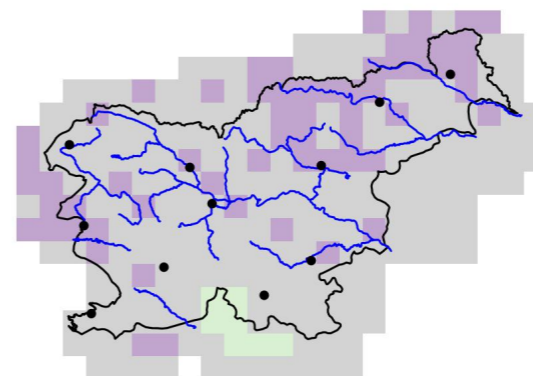
Dolžina najdaljšega suhega obdobja v letu (CDD), RCP4.5

Odklon glede na obdobje 1981–2010

Zanesljivost

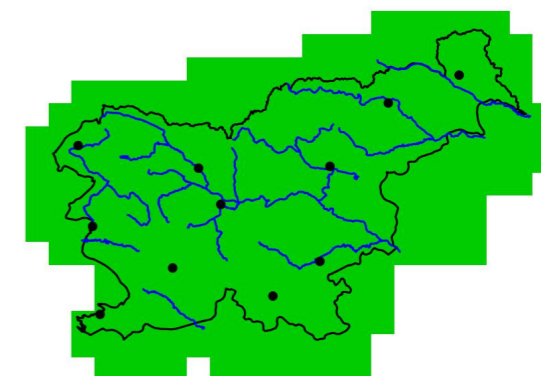
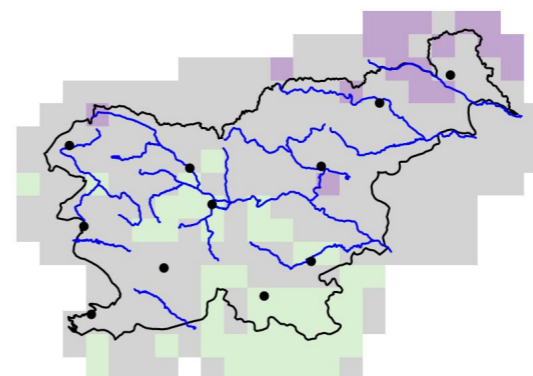
2011–2040

2011–2040



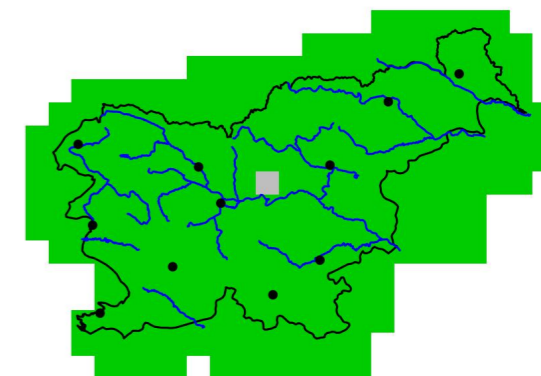
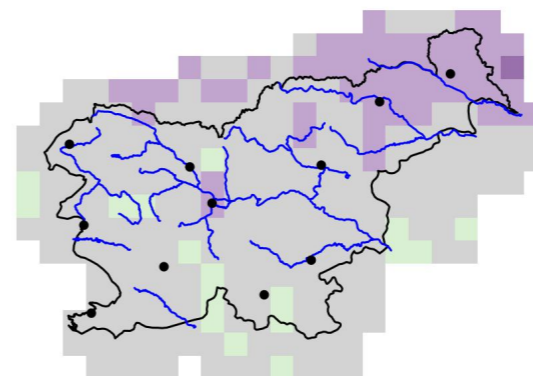
2041–2070

2041–2070

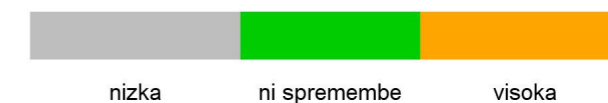
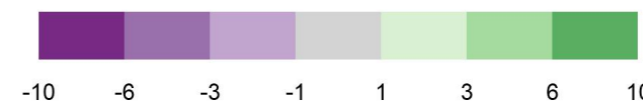


2071–2100

2071–2100



število dni



Slika 2.24 | Sprememba povprečne dolžine najdaljšega suhega obdobja v letu (CDD) v treh projekcijskih obdobjih glede na obdobje 1981–2010 in pripadajoča zanesljivost spremembe za scenarij RCP2.6

Slika 2.25 | Sprememba povprečne dolžine najdaljšega suhega obdobja v letu (CDD) v treh projekcijskih obdobjih glede na obdobje 1981–2010 in pripadajoča zanesljivost spremembe za scenarij RCP4.5

Dolžina najdaljšega suhega obdobja v letu (CDD), RCP8.5

Dolžina najdaljšega mokrega obdobja v letu (CWD), RCP2.6

Odklon glede na obdobje 1981–2010

Zanesljivost

Odklon glede na obdobje 1981–2010

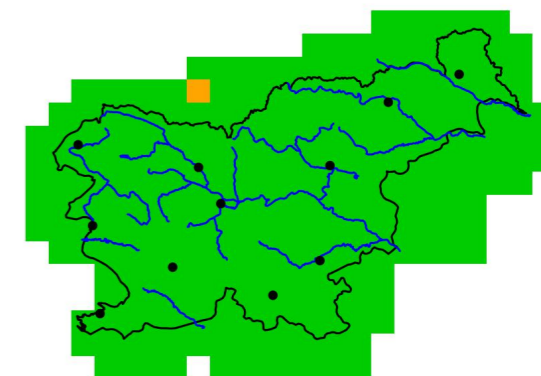
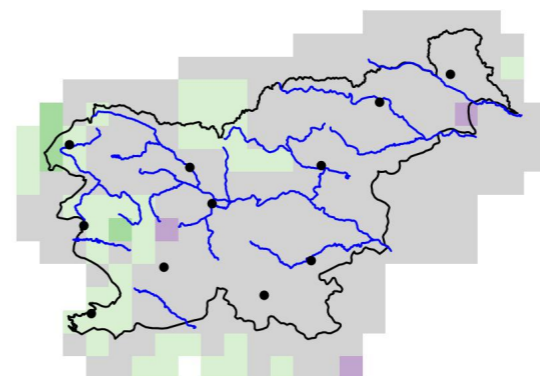
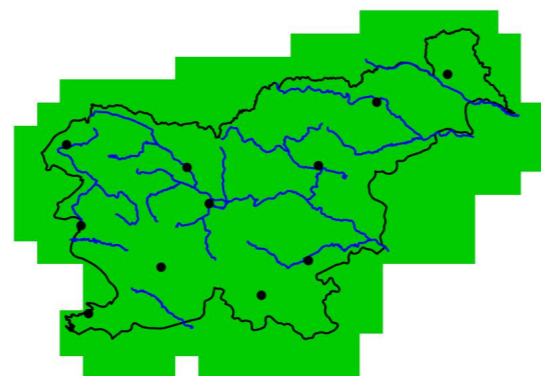
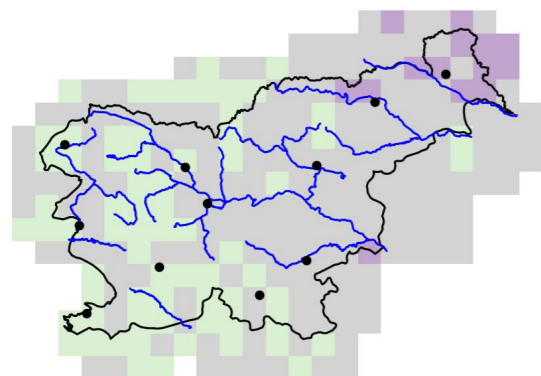
Zanesljivost

2011–2040

2011–2040

2011–2040

2011–2040

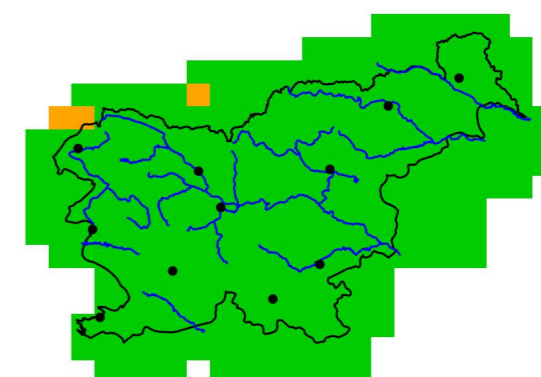
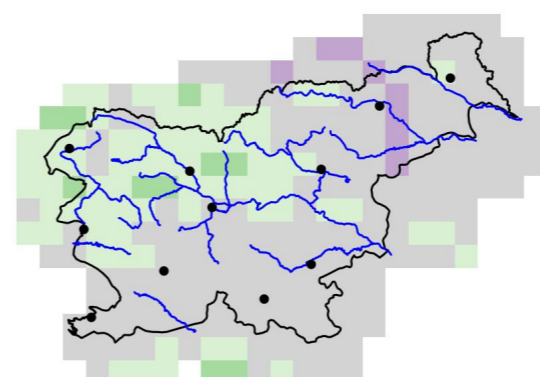
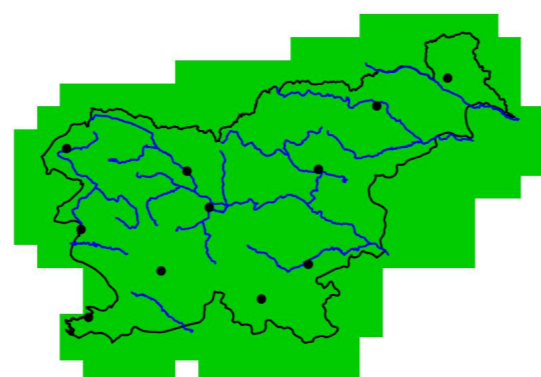
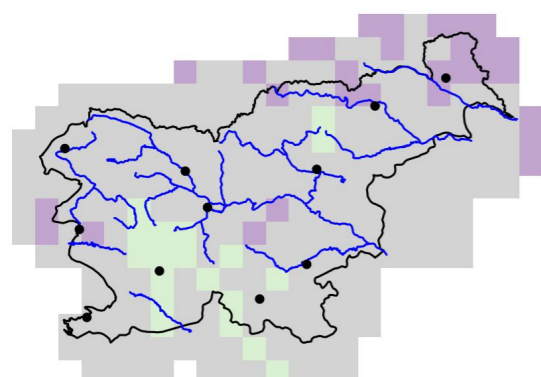


2041–2070

2041–2070

2041–2070

2041–2070

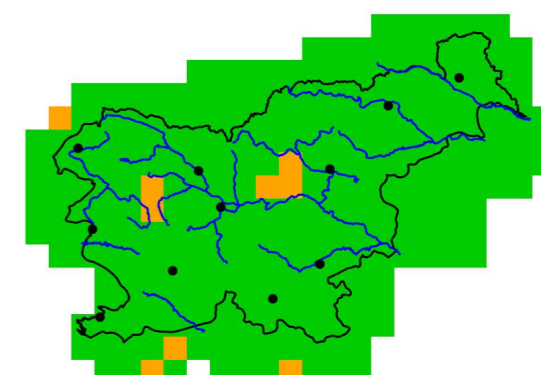
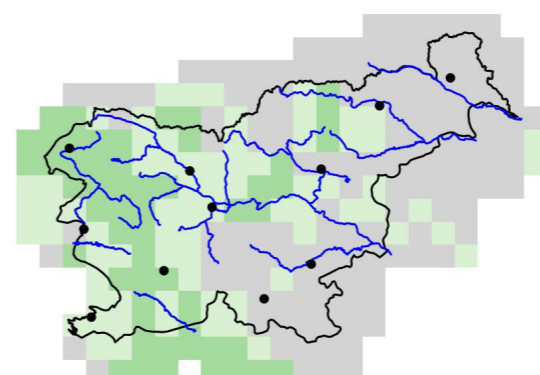
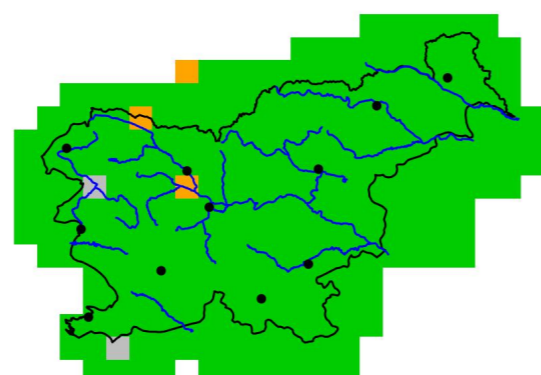
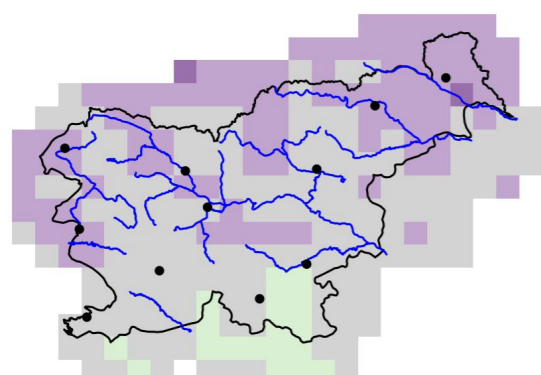


2071–2100

2071–2100

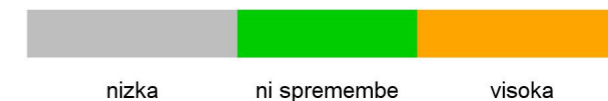
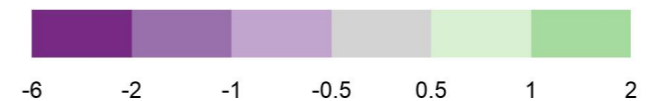
2071–2100

2071–2100



število dni

število dni



Slika 2.26 | Sprememba povprečne dolžine najdaljšega suhega obdobja v letu (CDD) v treh projekcijskih obdobjih glede na obdobje 1981–2010 in pripadajoča zanesljivost spremembe za scenarij RCP8.5

Slika 2.27 | Sprememba povprečne dolžine najdaljšega mokrega obdobja v letu (CWD) v treh projekcijskih obdobjih glede na obdobje 1981–2010 in pripadajoča zanesljivost spremembe za scenarij RCP2.6

Dolžina najdaljšega mokrega obdobja v letu (CWD), RCP4.5

Dolžina najdaljšega mokrega obdobja v letu (CWD), RCP8.5

Odklon glede na obdobje 1981–2010

Odklon glede na obdobje 1981–2010

2011–2040

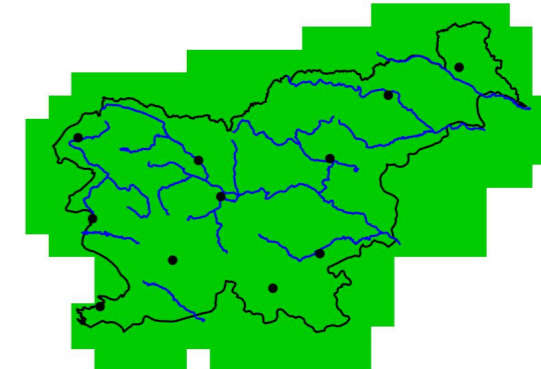
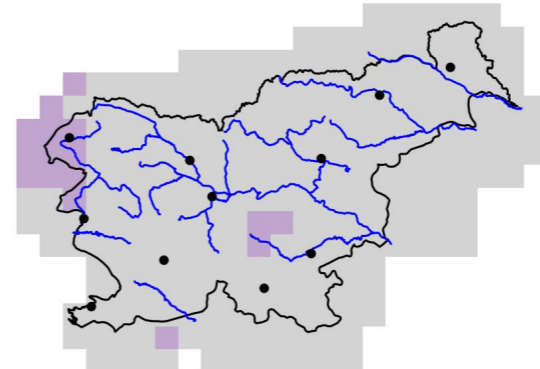
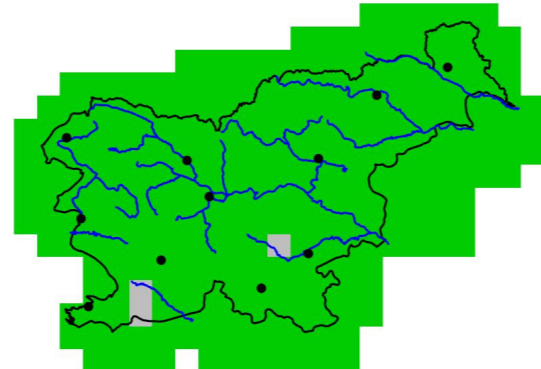
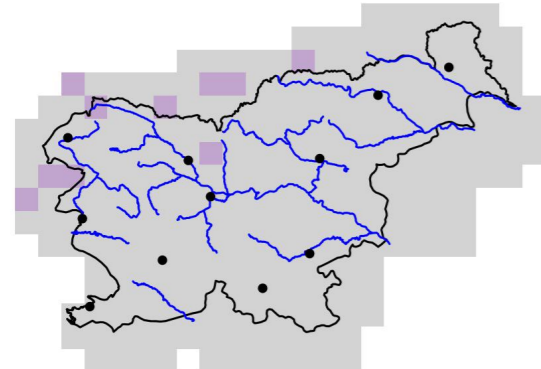
Zanesljivost

Zanesljivost

2011–2040

2011–2040

2011–2040

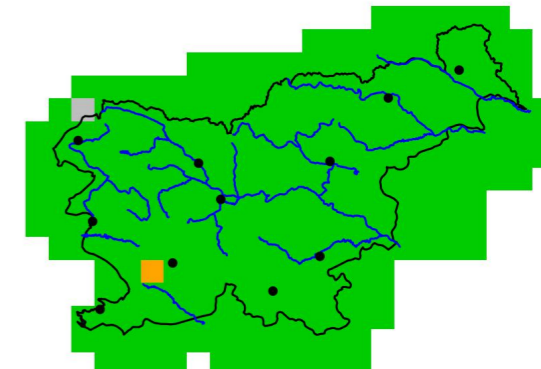
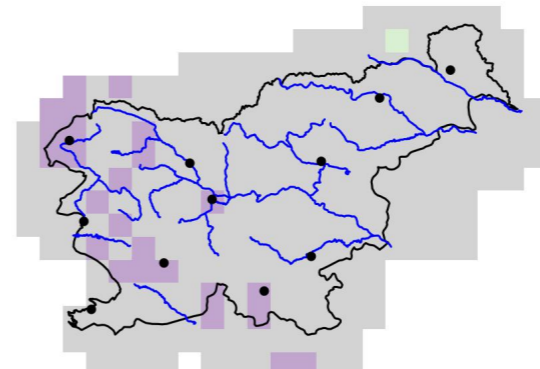
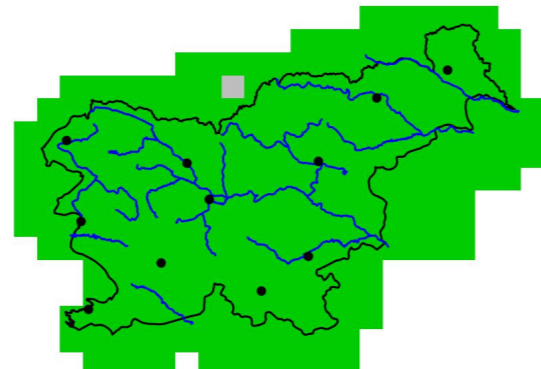
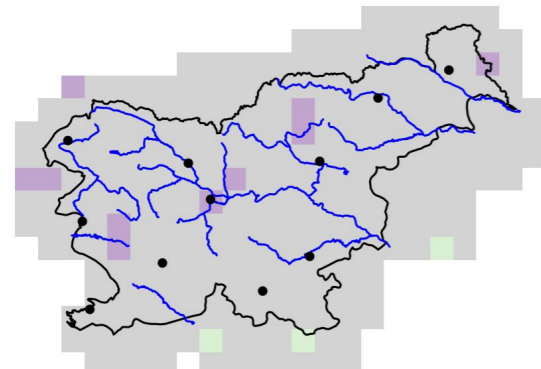


2041–2070

2041–2070

2041–2070

2041–2070

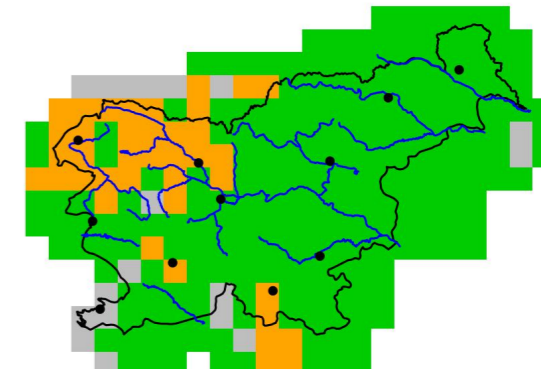
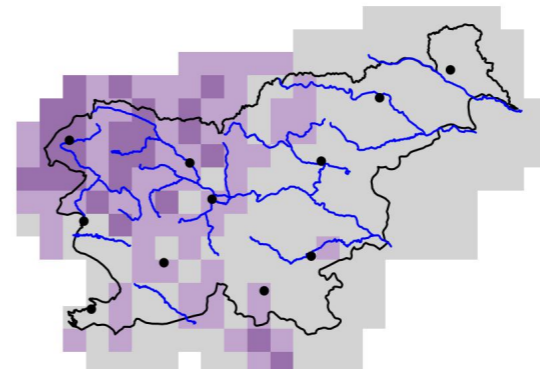
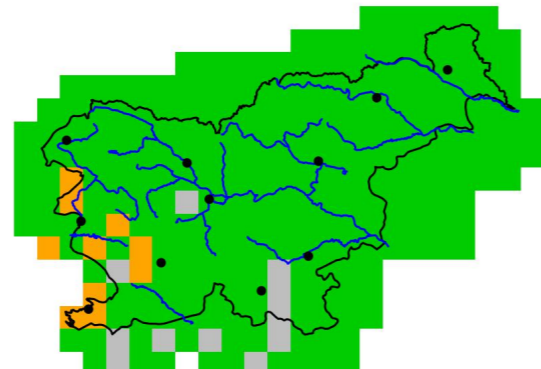
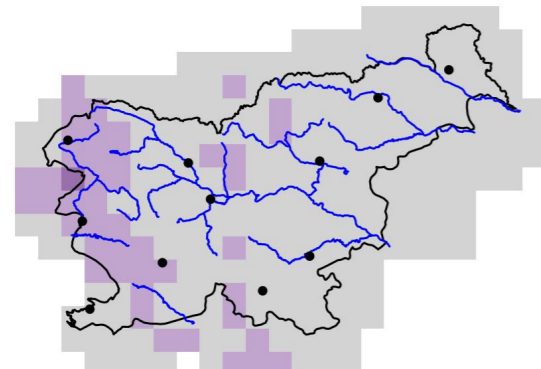


2071–2100

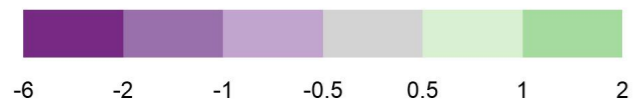
2071–2100

2071–2100

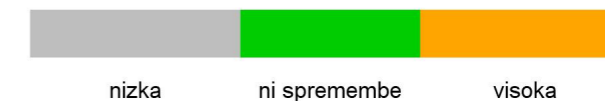
2071–2100



število dni



število dni

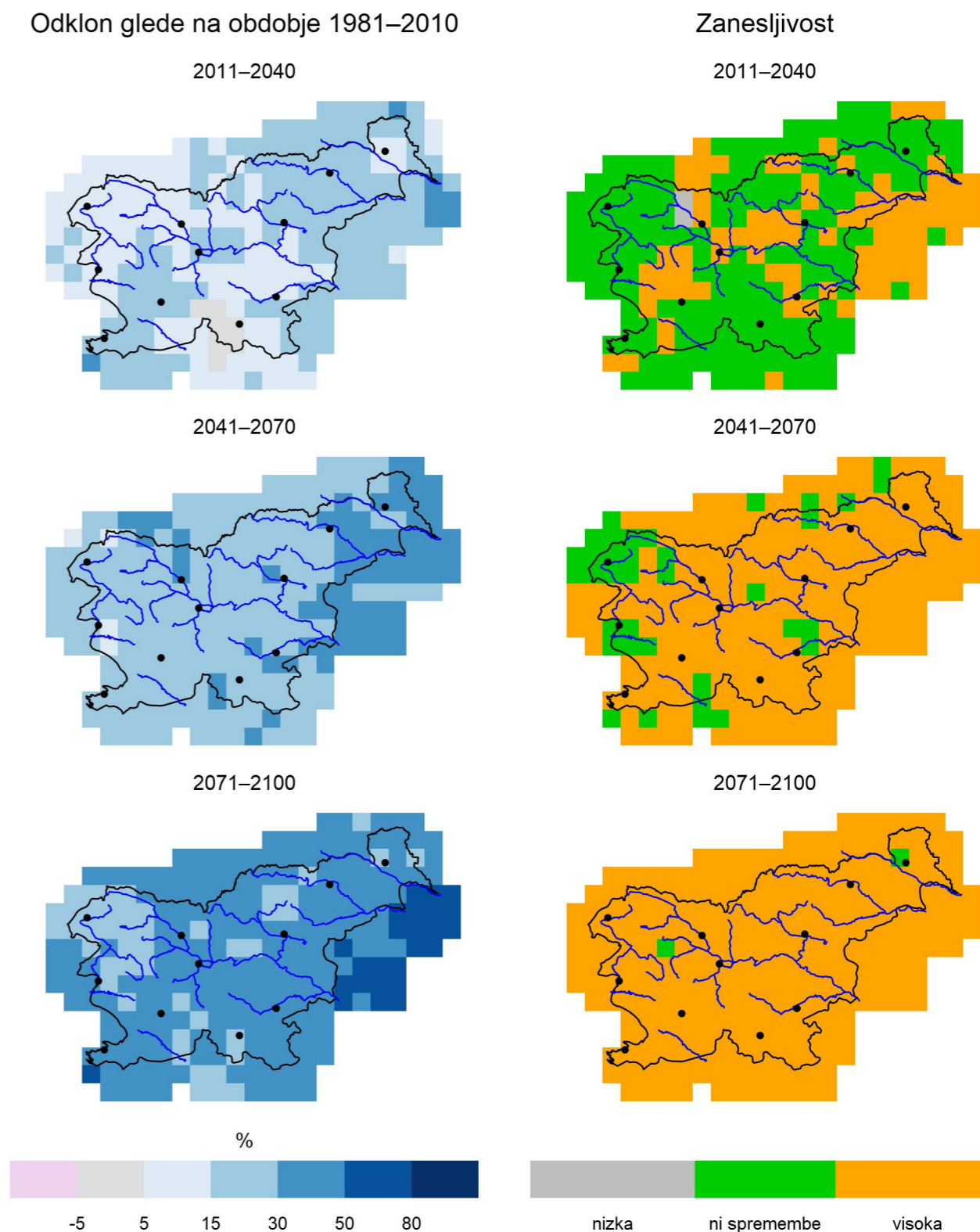
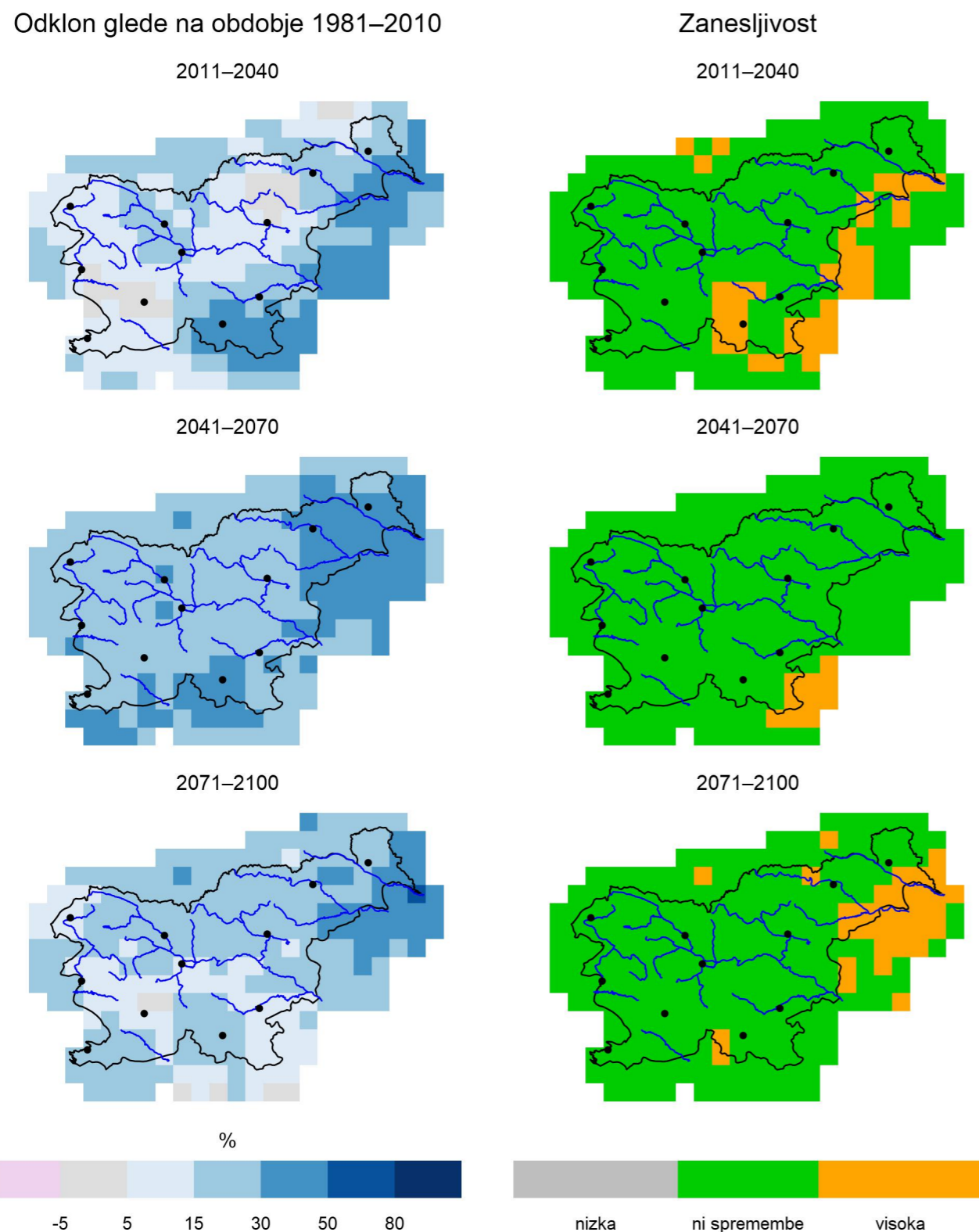


Slika 2.28 | Sprememba povprečne dolžine najdaljšega mokrega obdobja v letu (CWD) v treh projekcijskih obdobjih glede na obdobje 1981–2010 in pripadajoča zanesljivost spremembe za scenarij RCP4.5

Slika 2.29 | Sprememba povprečne dolžine najdaljšega mokrega obdobja v letu (CWD) v treh projekcijskih obdobjih glede na obdobje 1981–2010 in pripadajoča zanesljivost spremembe za scenarij RCP8.5

Letna višina padavin iz najbolj mokrih dni (R95pTOT), RCP2.6

Letna višina padavin iz najbolj mokrih dni (R95pTOT), RCP4.5



Slika 2.30 | Sprememba povprečne letne višine padavin iz najbolj mokrih dni – ko dnevna višina padavin presega 95. centil – v treh projekcijskih obdobjih glede na obdobje 1981–2010 in pripadajoča zanesljivost za scenarij RCP2.6

Slika 2.31 | Sprememba povprečne letne višine padavin iz najbolj mokrih dni – ko dnevna višina padavin presega 95. centil – v treh projekcijskih obdobjih glede na obdobje 1981–2010 in pripadajoča zanesljivost za scenarij RCP4.5

Letna višina padavin iz najbolj mokrih dni (R95pTOT), RCP8.5

Število dni na leto z več kot 0,1 mm padavin, RCP2.6

Odklon glede na obdobje 1981–2010

Zanesljivost

Razlika glede na obdobje 1981–2010

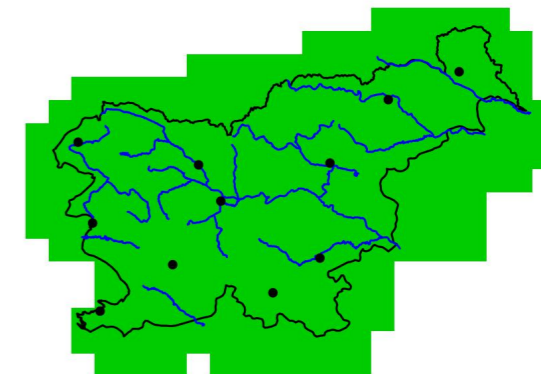
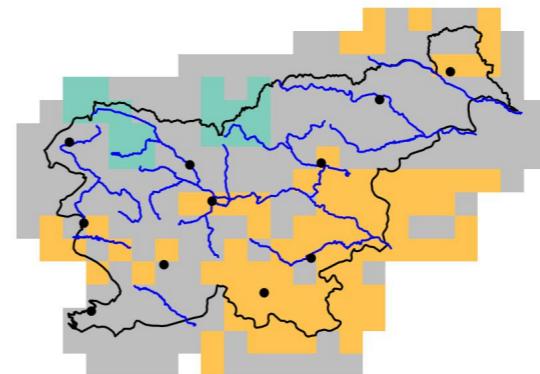
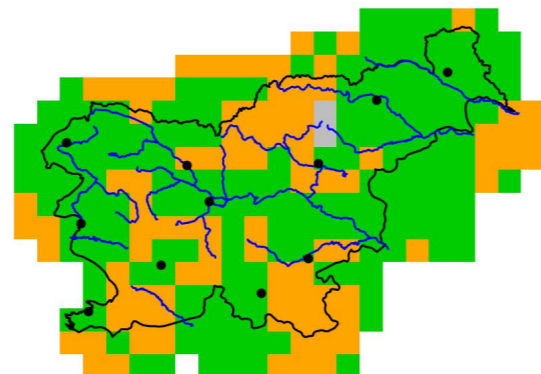
Zanesljivost

2011–2040

2011–2040

2011–2040

2011–2040

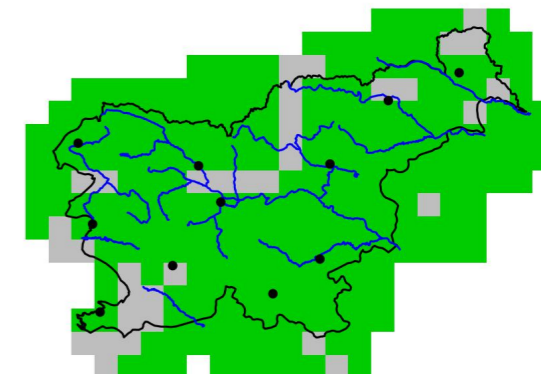
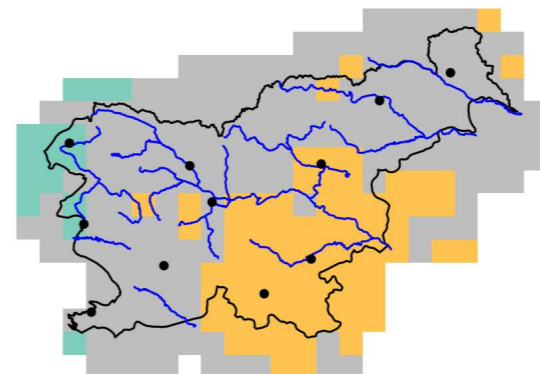
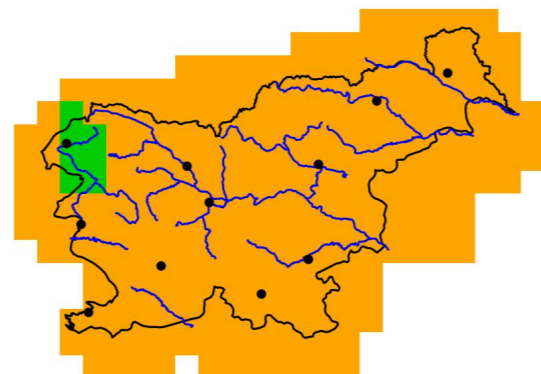
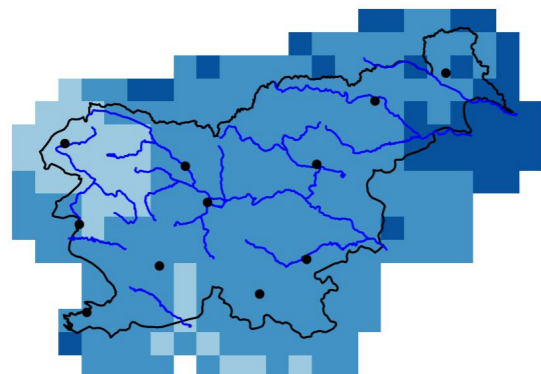


2041–2070

2041–2070

2041–2070

2041–2070

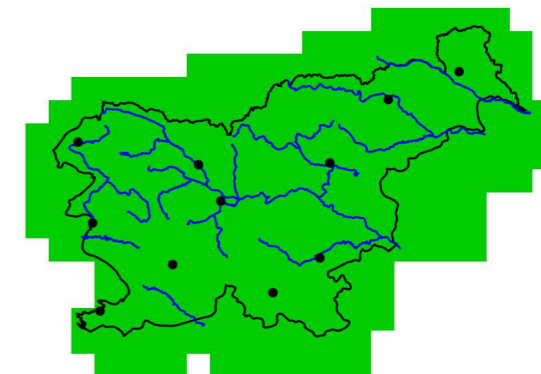
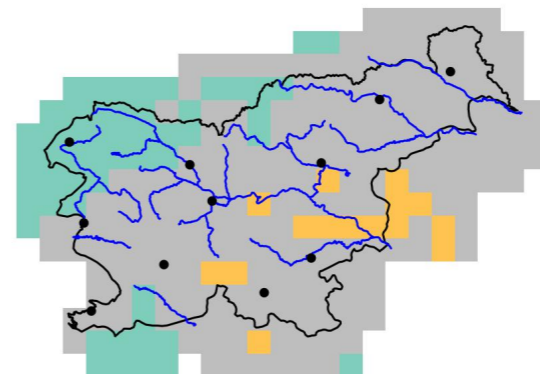
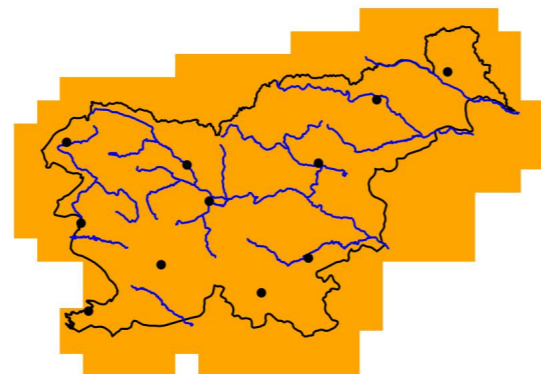
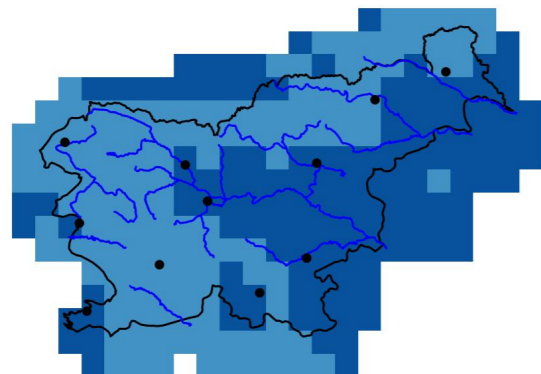


2071–2100

2071–2100

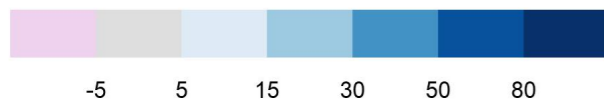
2071–2100

2071–2100



%

št. dni



Slika 2.32 | Sprememba povprečne letne višine padavin iz najbolj mokrih dni – ko dnevna višina padavin presega 95. centil – v treh projekcijskih obdobjih glede na obdobje 1981–2010 in pripadajoča zanesljivost za scenarij RCP8.5

Slika 2.33 | Sprememba povprečnega števila dni na leto z več kot 0,1 mm padavin, v treh projekcijskih obdobjih glede na obdobje 1981–2010 in pripadajoča zanesljivost za scenarij RCP2.6

Število dni na leto z več kot 0,1 mm padavin, RCP4.5

Število dni na leto z več kot 0,1 mm padavin, RCP8.5

Razlika glede na obdobje 1981-2010

Zanesljivost

Razlika glede na obdobje 1981-2010

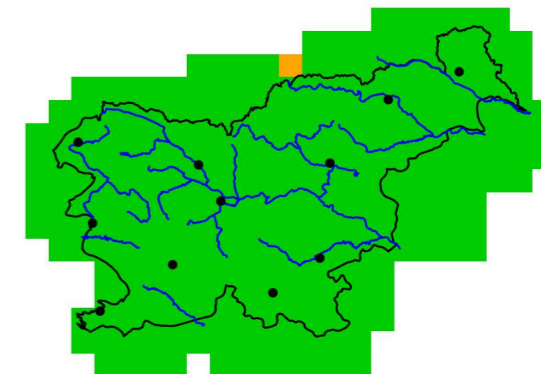
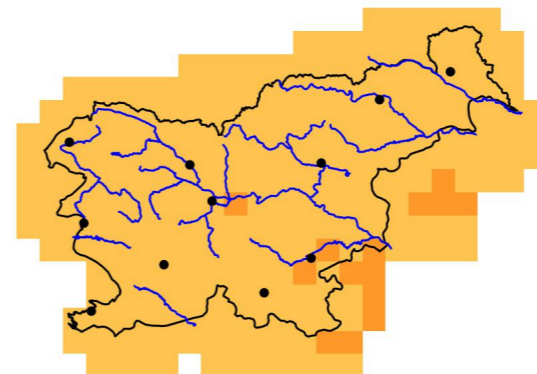
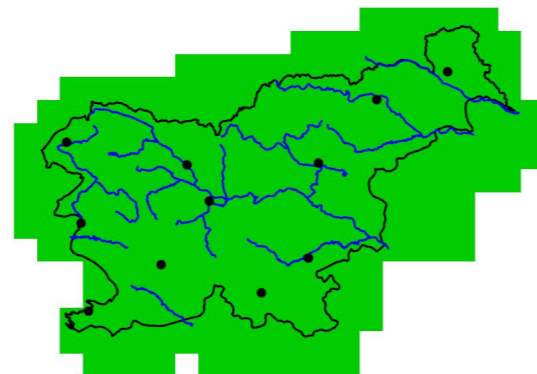
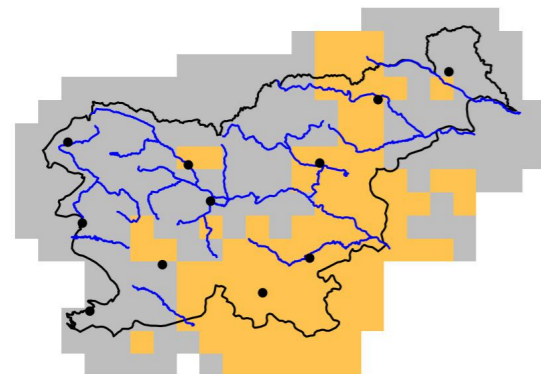
Zanesljivost

2011-2040

2011-2040

2011-2040

2011-2040

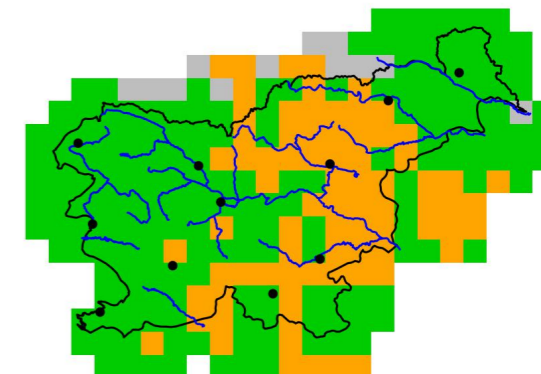
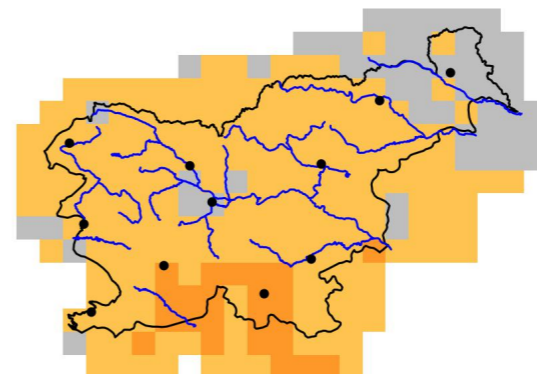
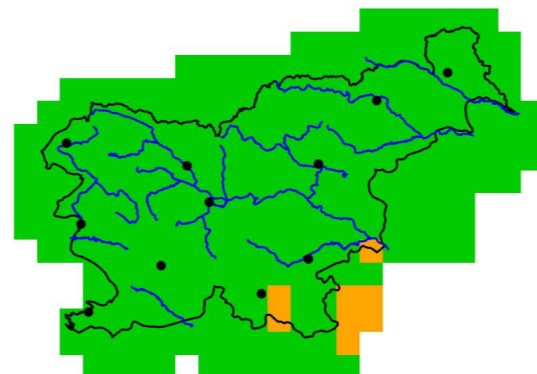
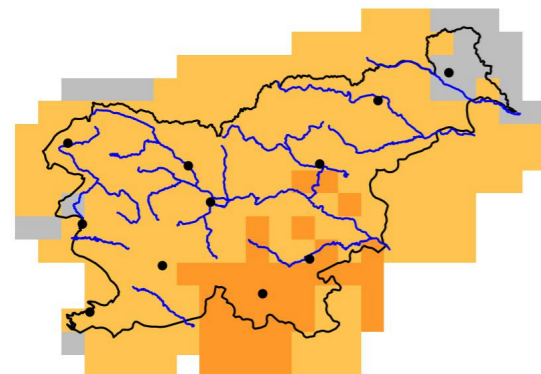


2041-2070

2041-2070

2041-2070

2041-2070

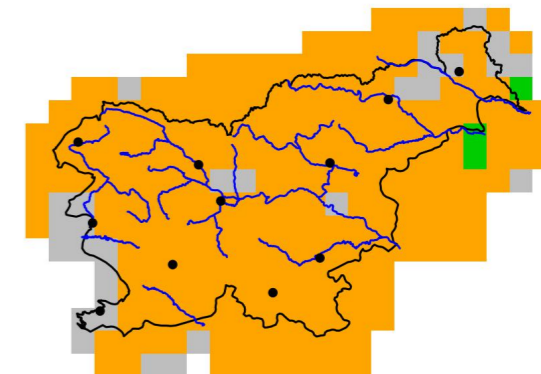
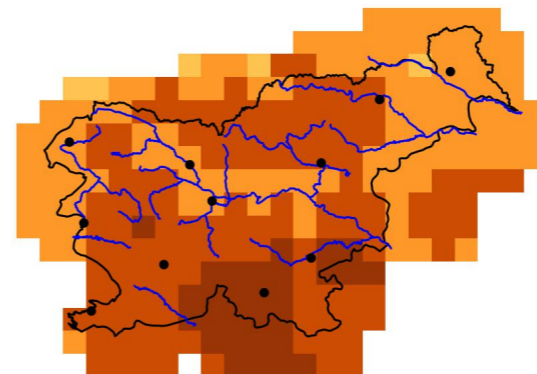
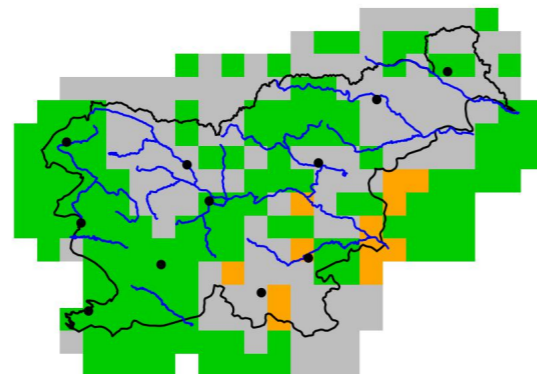
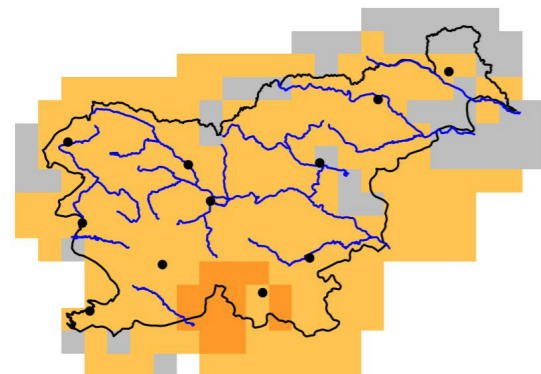


2071-2100

2071-2100

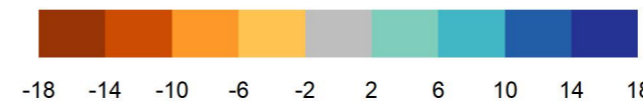
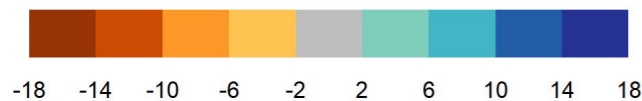
2071-2100

2071-2100



št. dni

št. dni

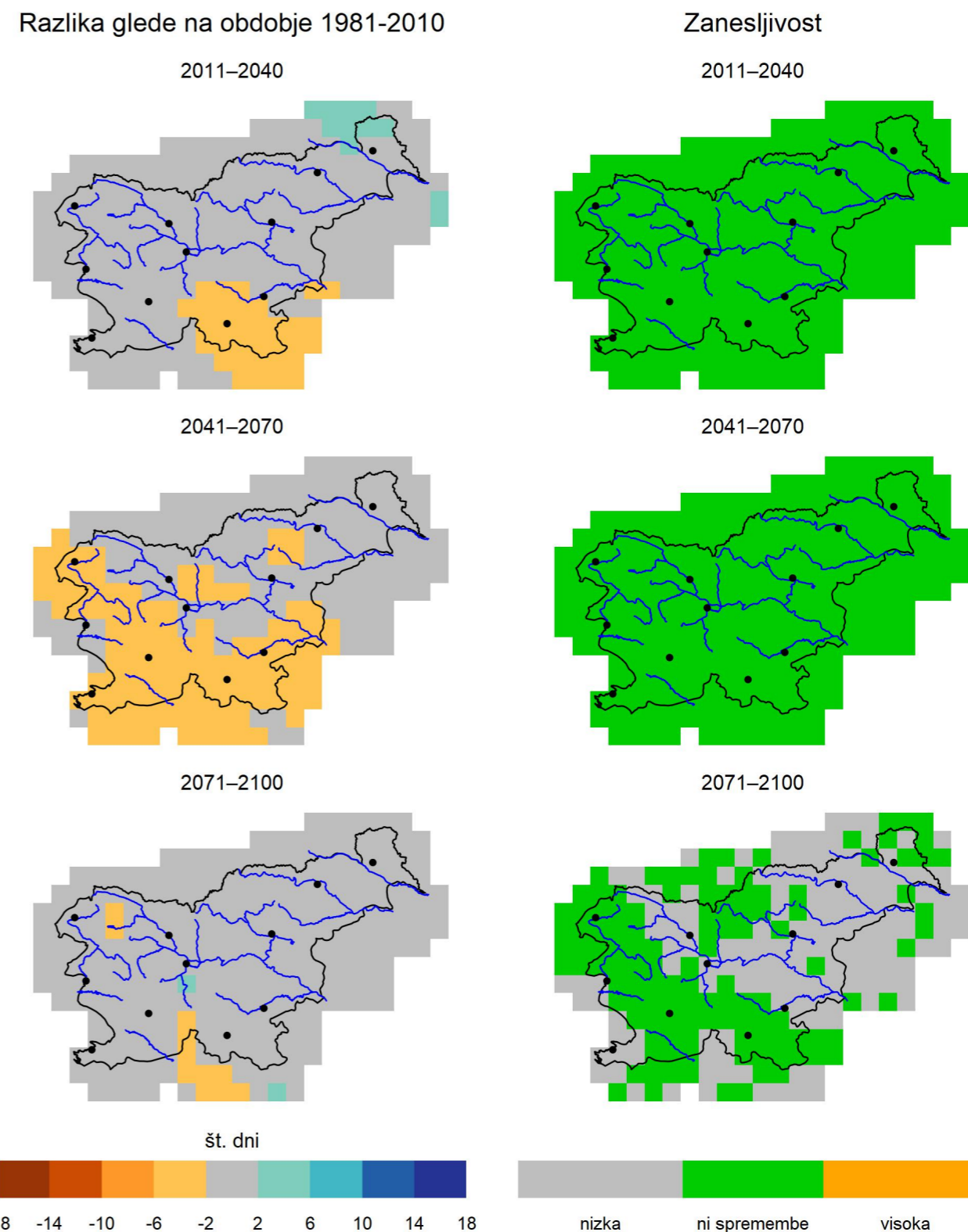
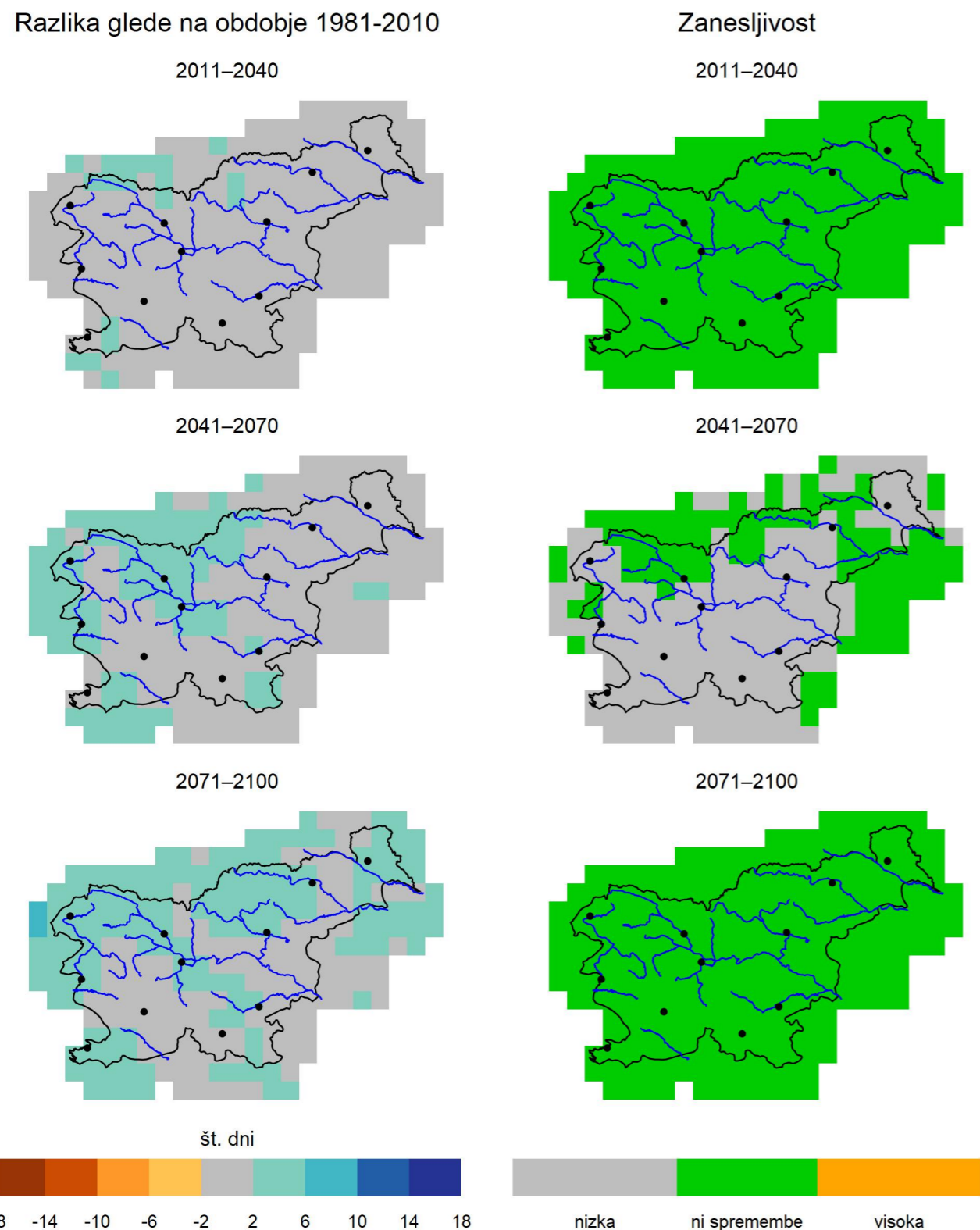


Slika 2.34 | Sprememba povprečnega števila dni na leto z več kot 0,1 mm padavin, v treh projekcijskih obdobjih glede na obdobje 1981–2010 in pripadajoča zanesljivost za scenarij RCP4.5

Slika 2.35 | Sprememba povprečnega števila dni na leto z več kot 0,1 mm padavin, v treh projekcijskih obdobjih glede na obdobje 1981–2010 in pripadajoča zanesljivost za scenarij RCP8.5

Število dni na leto z več kot 1 mm padavin, RCP2.6

Število dni na leto z več kot 1 mm padavin, RCP4.5

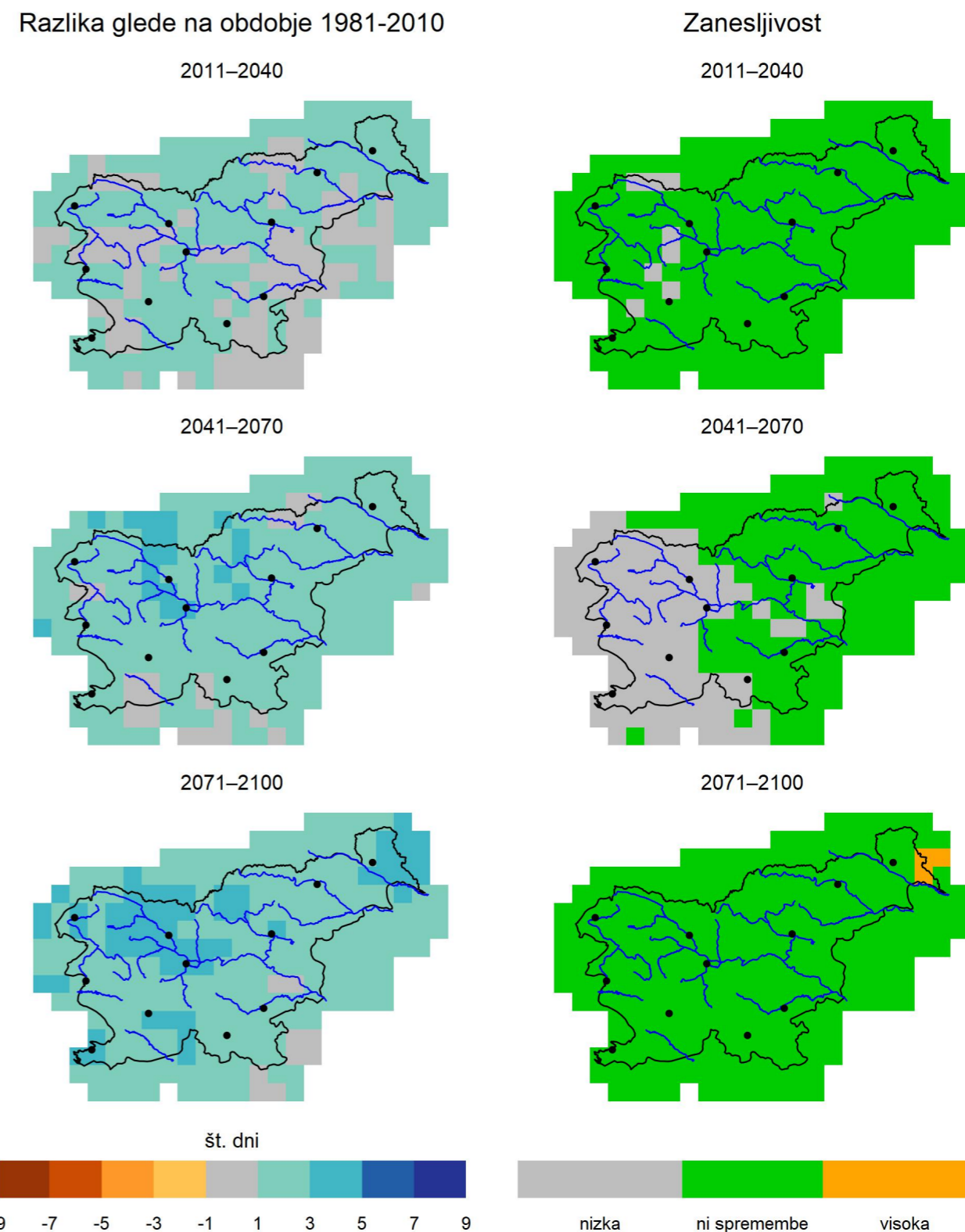
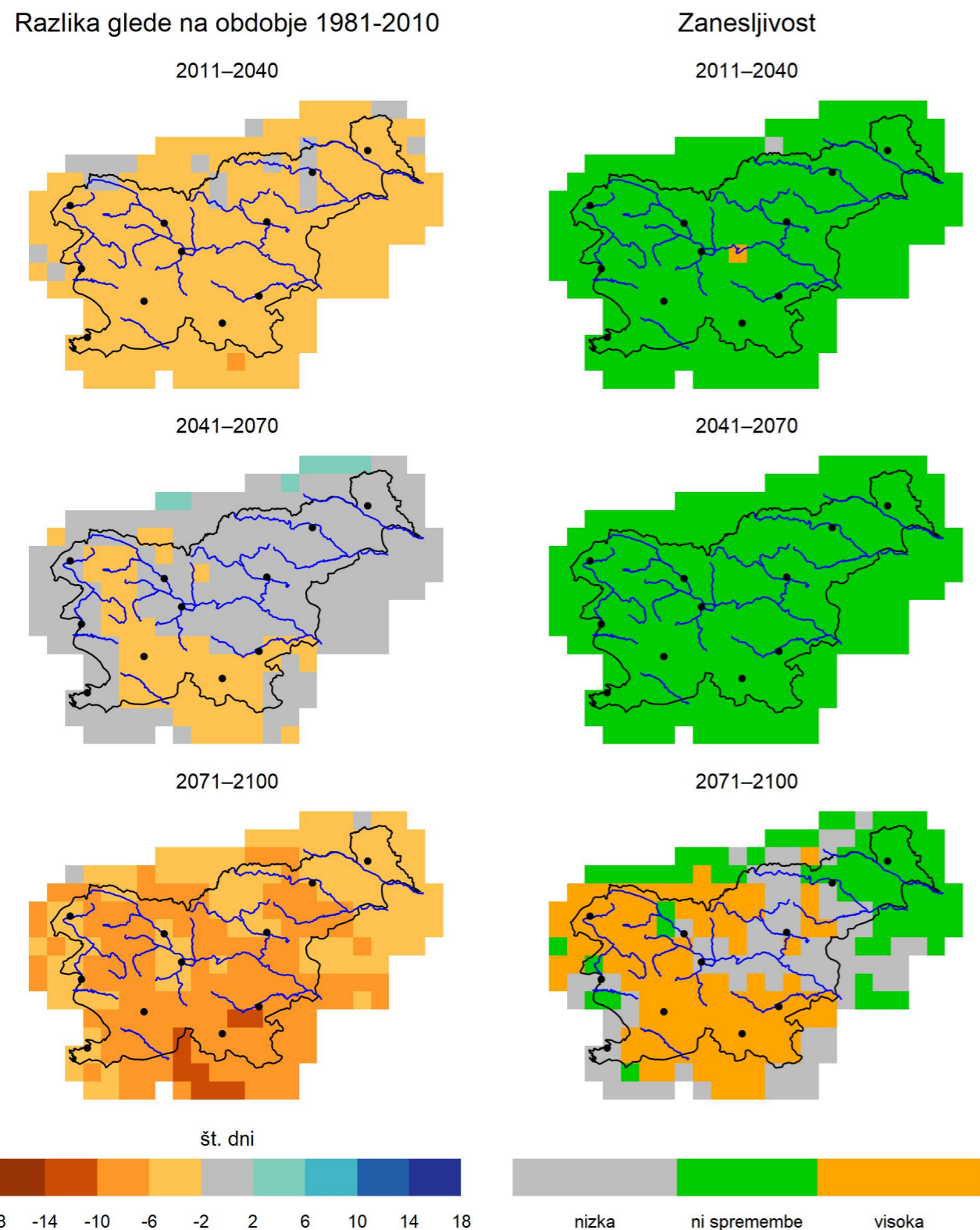


Slika 2.36 | Sprememba povprečnega števila dni na leto z več kot 1 mm padavin, v treh projekcijskih obdobjih glede na obdobje 1981–2010 in pripadajoča zanesljivost za scenarij RCP2.6

Slika 2.37 | Sprememba povprečnega števila dni na leto z več kot 1 mm padavin, v treh projekcijskih obdobjih glede na obdobje 1981–2010 in pripadajoča zanesljivost za scenarij RCP4.5

Število dni na leto z več kot 1 mm padavin, RCP8.5

Število dni na leto z več kot 10 mm padavin (R10mm), RCP2.6



Slika 2.38 | Sprememba povprečnega števila dni na leto z več kot 1 mm padavin, v treh projekcijskih obdobjih glede na obdobje 1981–2010 in pripadajoča zanesljivost za scenarij RCP8.5

Slika 2.39 | Sprememba povprečnega števila dni na leto z več kot 10 mm padavin, v treh projekcijskih obdobjih glede na obdobje 1981–2010 in pripadajoča zanesljivost za scenarij RCP2.6

Število dni na leto z več kot 10 mm padavin (R10mm), RCP4.5

Število dni na leto z več kot 10 mm padavin (R10mm), RCP8.5

Razlika glede na obdobje 1981-2010

Razlika glede na obdobje 1981-2010

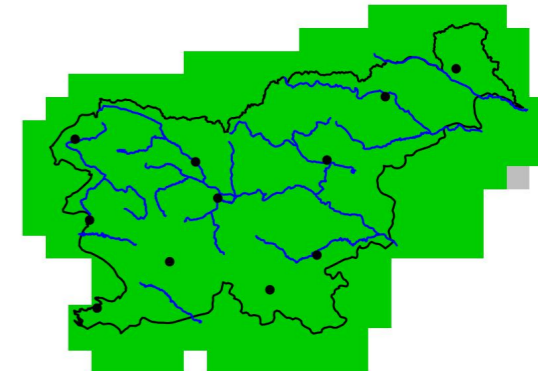
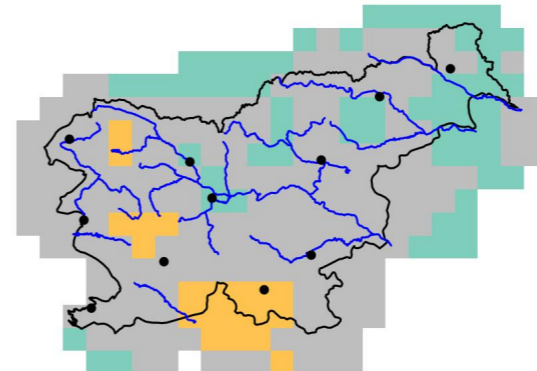
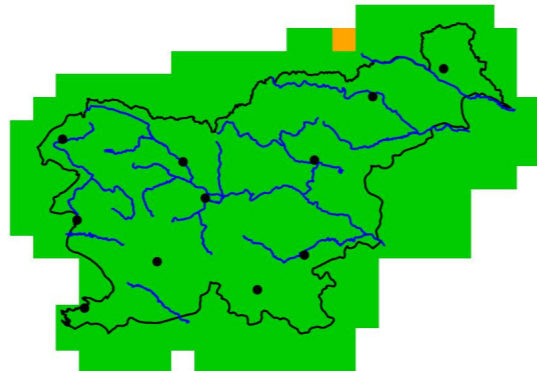
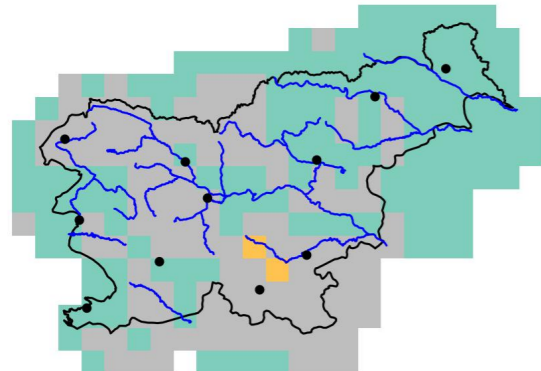
2011–2040

Zanesljivost

Zanesljivost

2011–2040

2011–2040

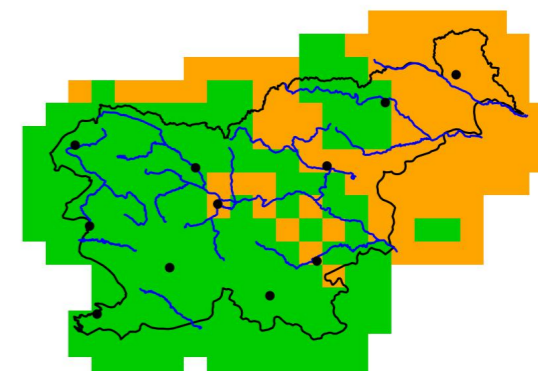
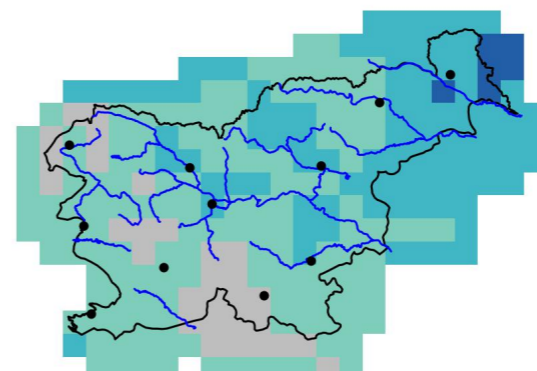
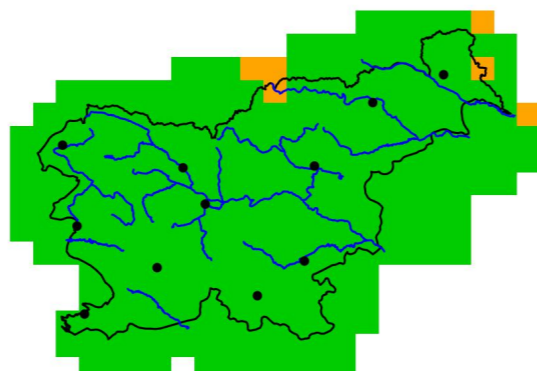
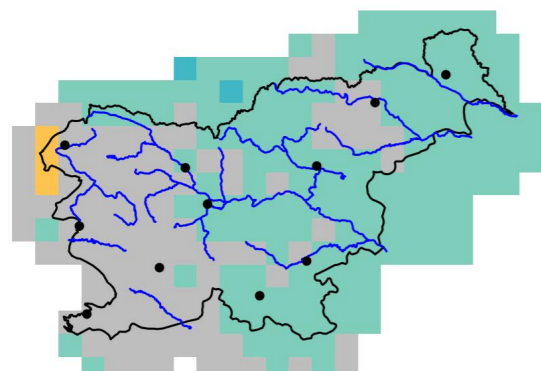


2041–2070

2041–2070

2041–2070

2041–2070

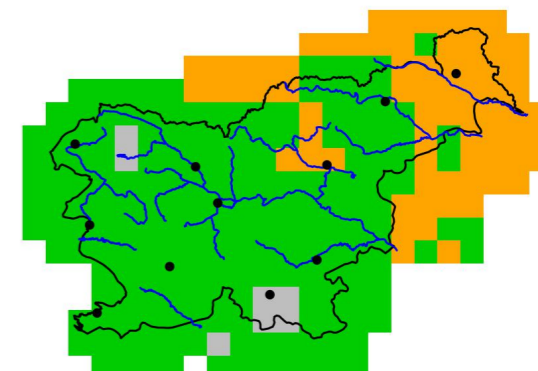
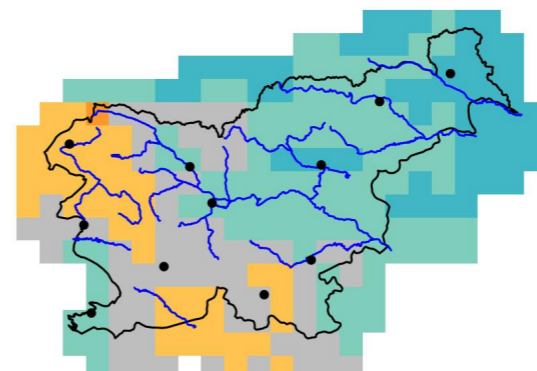
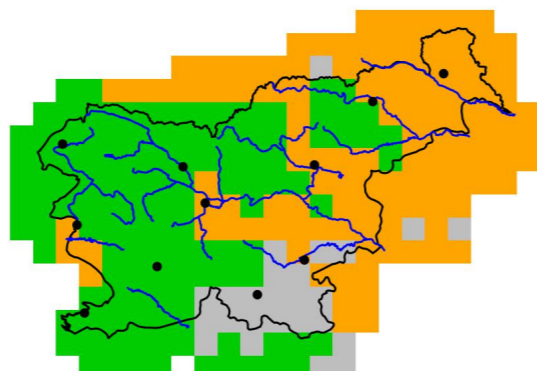
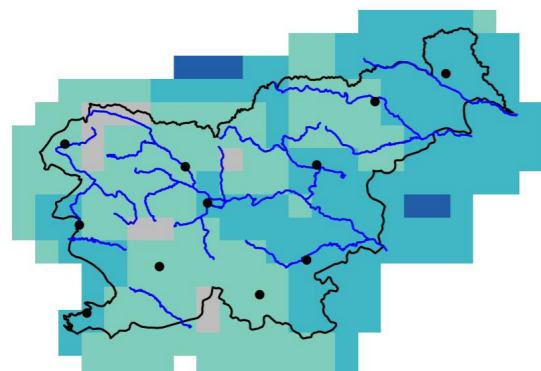


2071–2100

2071–2100

2071–2100

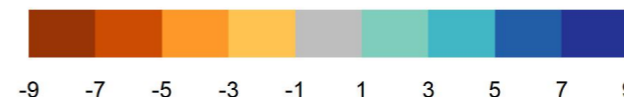
2071–2100



št. dni



št. dni



Slika 2.40 | Sprememba povprečnega števila dni na leto z več kot 10 mm padavin, v treh projekcijskih obdobjih glede na obdobje 1981–2010 in pripadajoča zanesljivost za scenarij RCP4.5

Slika 2.41 | Sprememba povprečnega števila dni na leto z več kot 10 mm padavin, v treh projekcijskih obdobjih glede na obdobje 1981–2010 in pripadajoča zanesljivost za scenarij RCP8.5

Število dni na leto z več kot 20 mm padavin, RCP2.6

Število dni na leto z več kot 20 mm padavin, RCP4.5

Razlika glede na obdobje 1981-2010

Zanesljivost

Razlika glede na obdobje 1981-2010

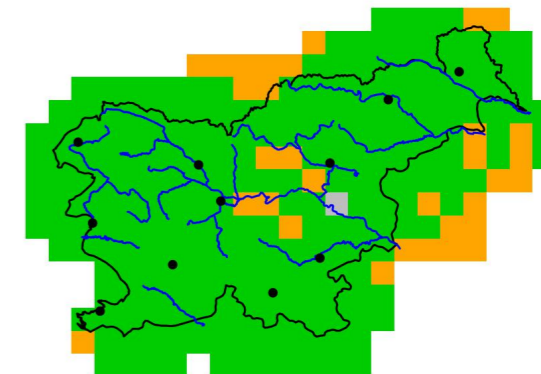
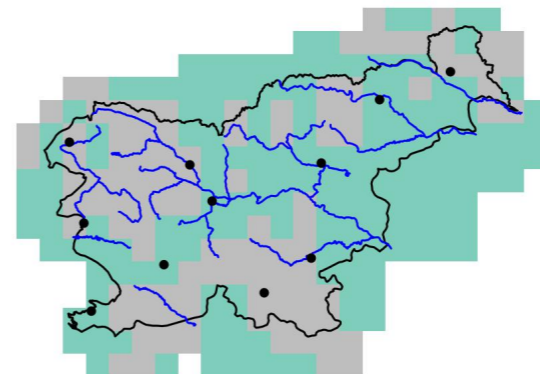
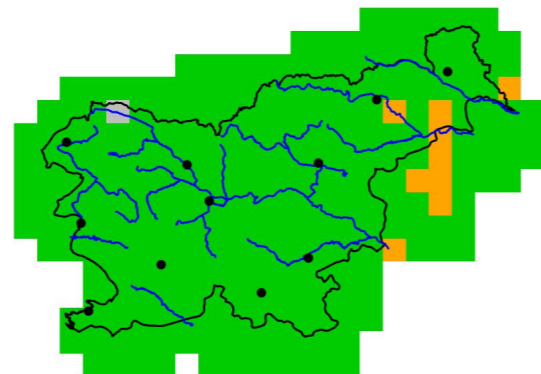
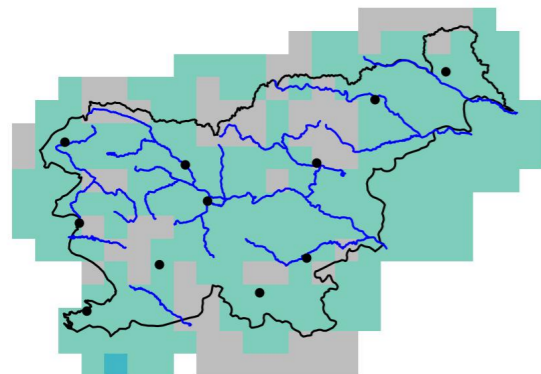
Zanesljivost

2011–2040

2011–2040

2011–2040

2011–2040

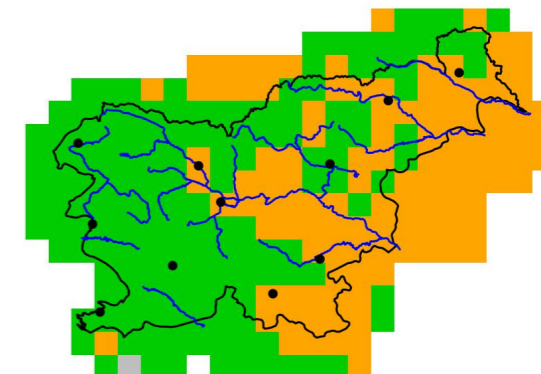
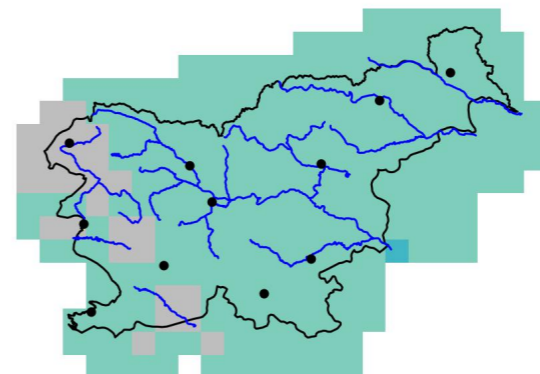
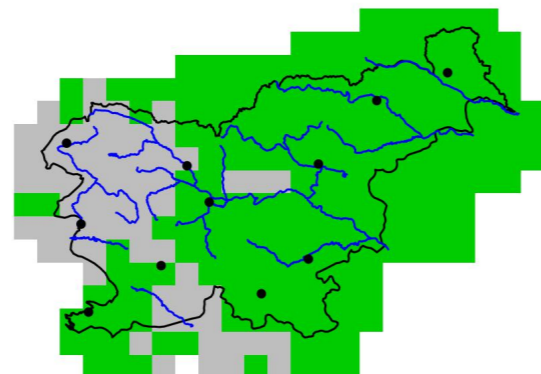
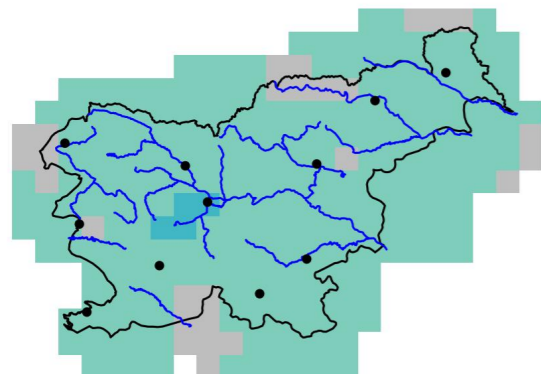


2041–2070

2041–2070

2041–2070

2041–2070

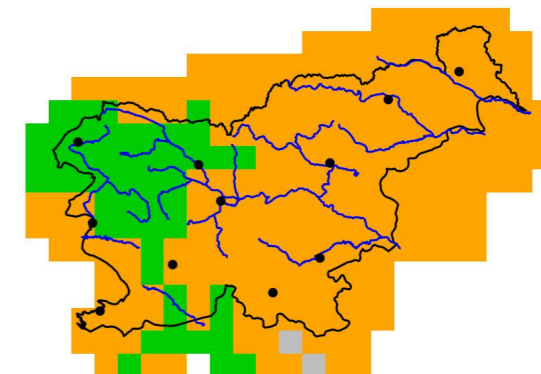
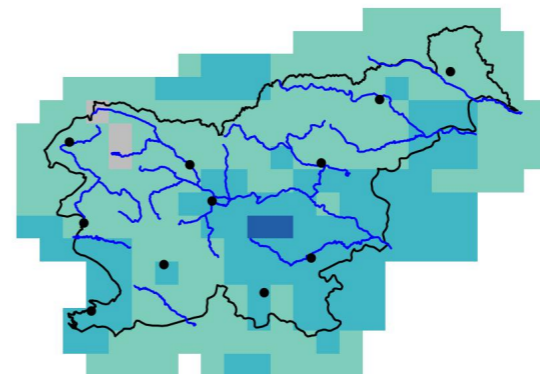
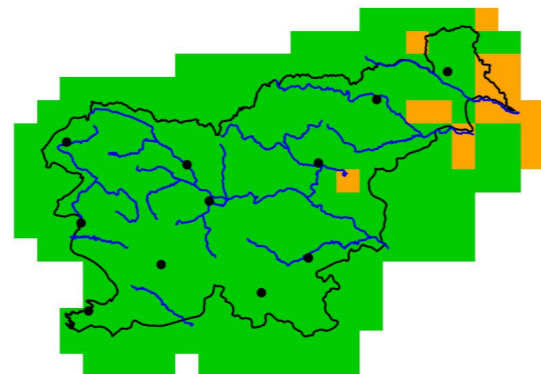
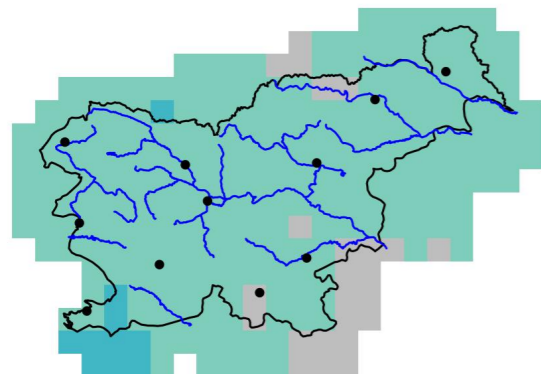


2071–2100

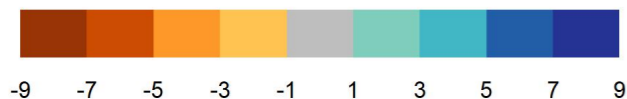
2071–2100

2071–2100

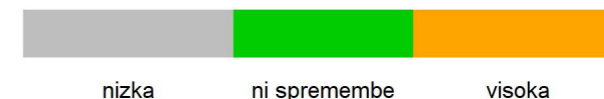
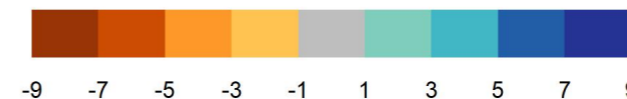
2071–2100



št. dni



št. dni



Slika 2.42 | Sprememba povprečnega števila dni na leto z več kot 20 mm padavin, v treh projekcijskih obdobjih glede na obdobje 1981–2010 in pripadajoča zanesljivost za scenarij RCP2.6

Slika 2.43 | Sprememba povprečnega števila dni na leto z več kot 20 mm padavin, v treh projekcijskih obdobjih glede na obdobje 1981–2010 in pripadajoča zanesljivost za scenarij RCP4.5

Število dni na leto z več kot 20 mm padavin, RCP8.5

Število dni na leto z več kot 50 mm padavin, RCP2.6

Razlika glede na obdobje 1981-2010

Zanesljivost

Razlika glede na obdobje 1981-2010

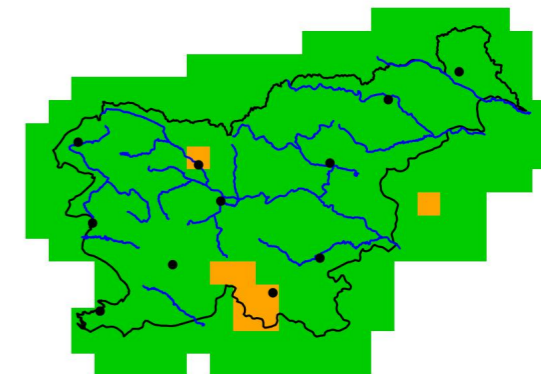
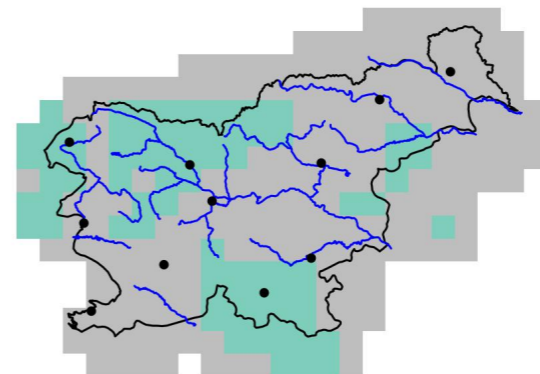
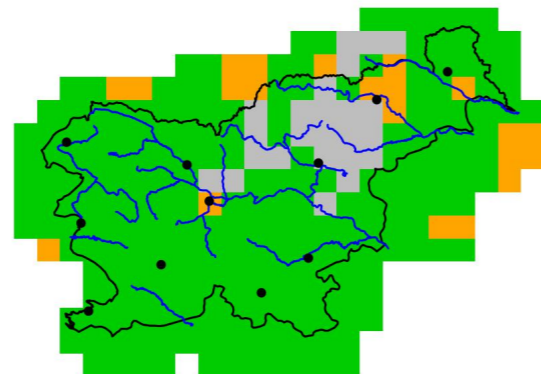
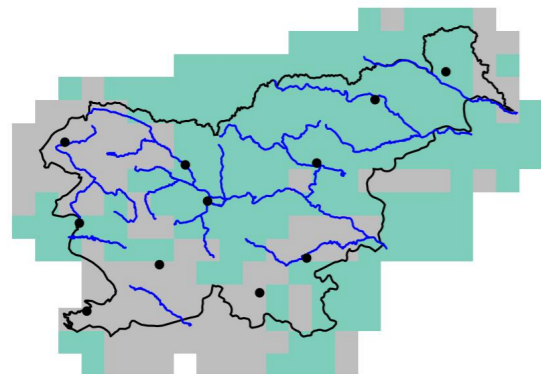
Zanesljivost

2011-2040

2011-2040

2011-2040

2011-2040

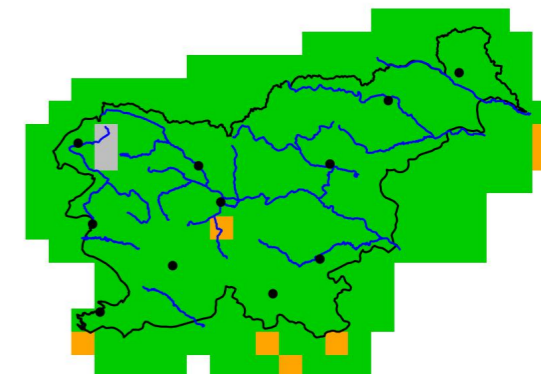
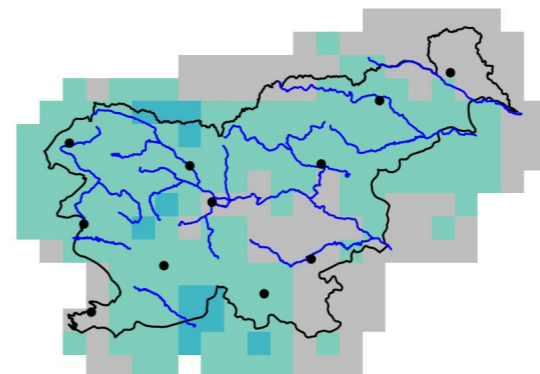
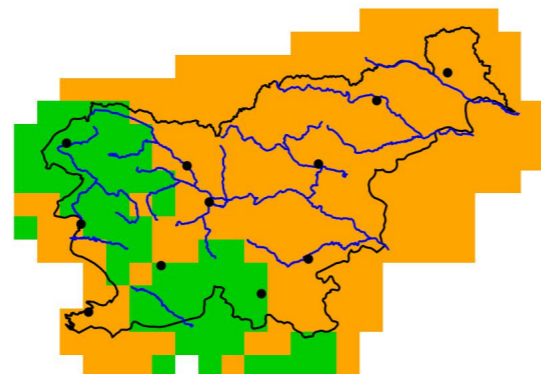
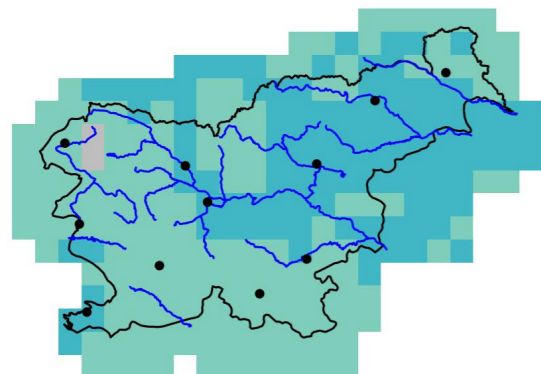


2041-2070

2041-2070

2041-2070

2041-2070

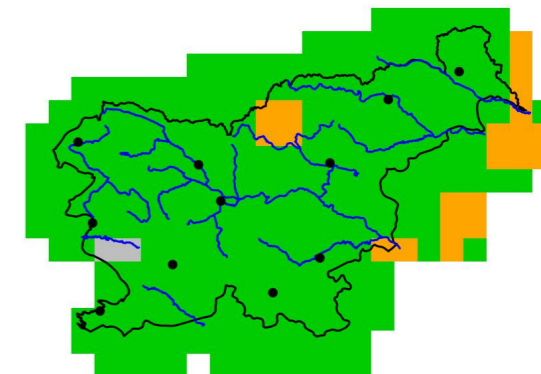
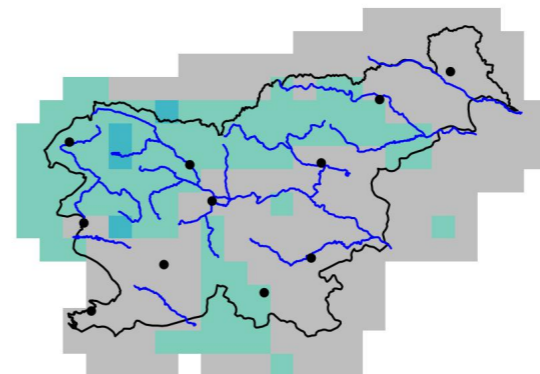
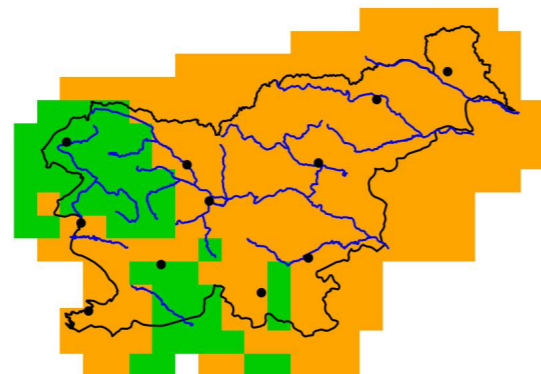
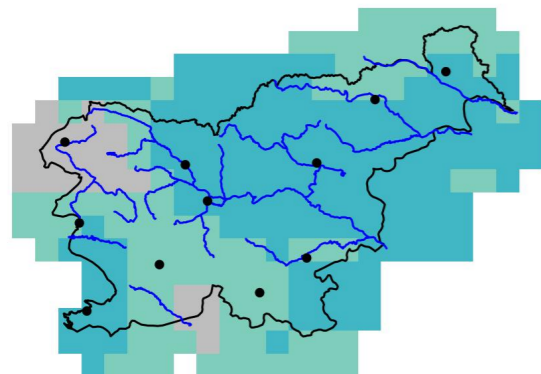


2071-2100

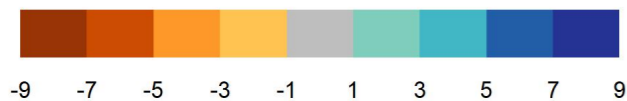
2071-2100

2071-2100

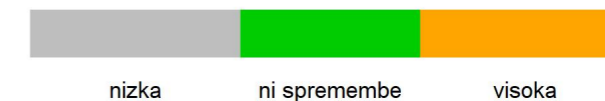
2071-2100



št. dni



št. dni



Slika 2.44 | Sprememba povprečnega števila dni na leto z več kot 20 mm padavin, v treh projekcijskih obdobjih glede na obdobje 1981–2010 in pripadajoča zanesljivost za scenarij RCP8.5

Slika 2.45 | Sprememba povprečnega števila dni na leto z več kot 50 mm padavin, v treh projekcijskih obdobjih glede na obdobje 1981–2010 in pripadajoča zanesljivost za scenarij RCP2.6

Število dni na leto z več kot 50 mm padavin, RCP4.5

Število dni na leto z več kot 50 mm padavin, RCP8.5

Razlika glede na obdobje 1981-2010

Zanesljivost

Razlika glede na obdobje 1981-2010

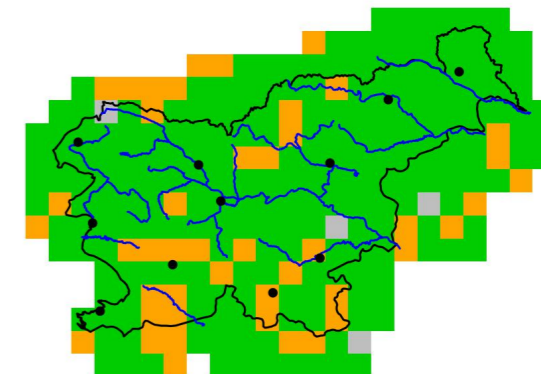
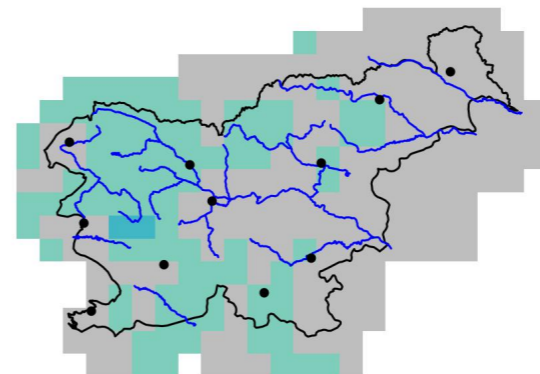
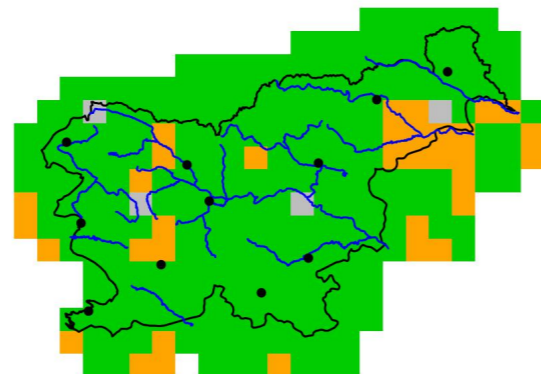
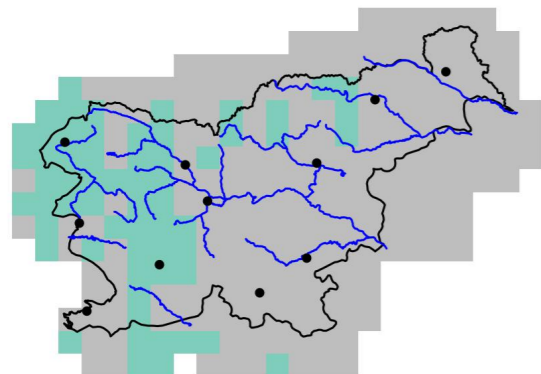
Zanesljivost

2011-2040

2011-2040

2011-2040

2011-2040

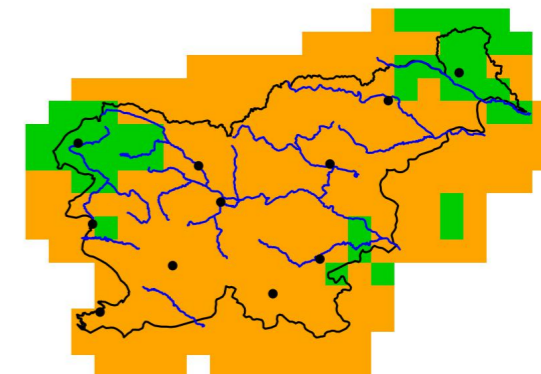
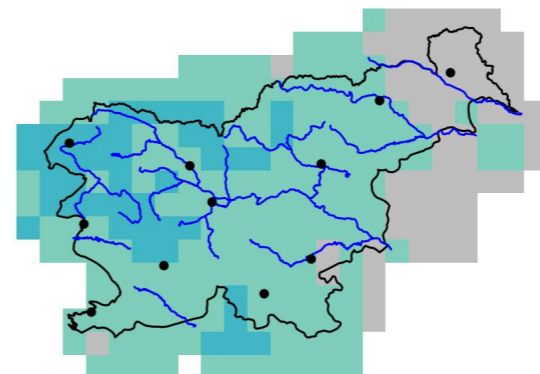
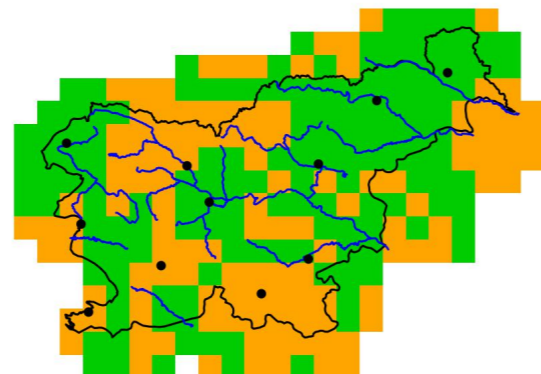
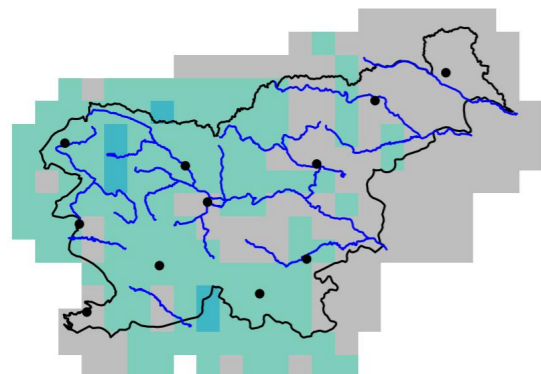


2041-2070

2041-2070

2041-2070

2041-2070

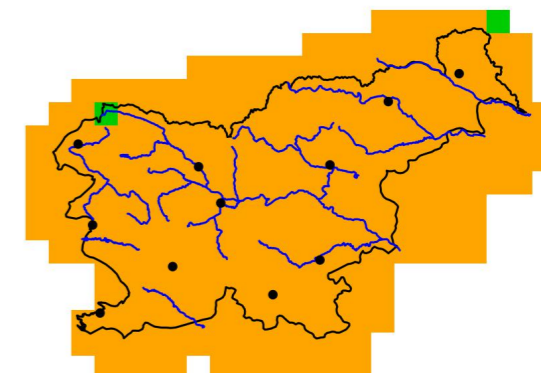
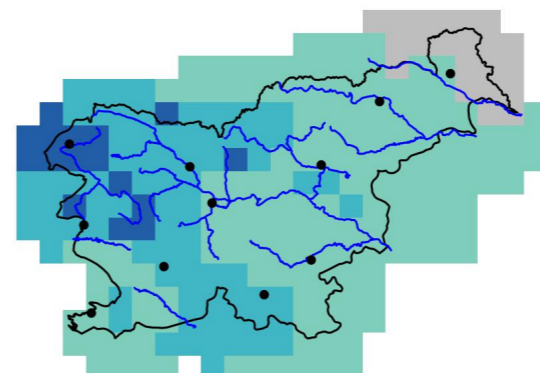
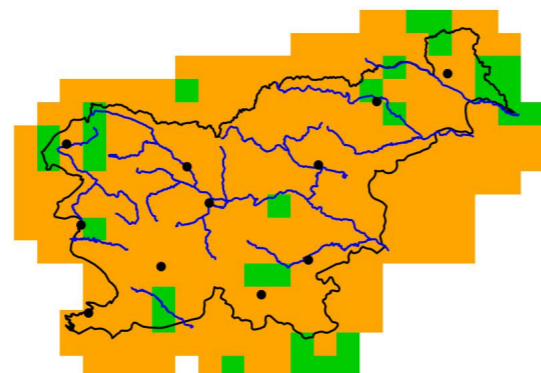
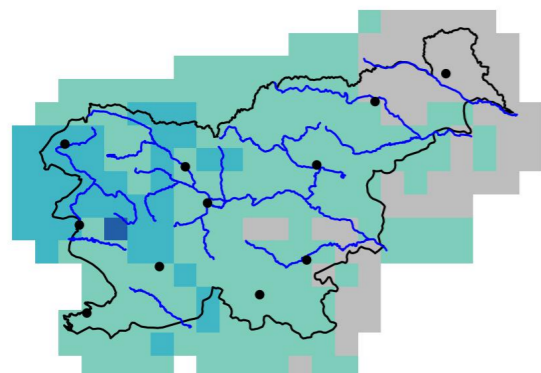


2071-2100

2071-2100

2071-2100

2071-2100



št. dni

št. dni



Slika 2.46 | Sprememba povprečnega števila dni na leto z več kot 50 mm padavin, v treh projekcijskih obdobjih glede na obdobje 1981–2010 in pripadajoča zanesljivost za scenarij RCP4.5

Slika 2.47 | Sprememba povprečnega števila dni na leto z več kot 50 mm padavin, v treh projekcijskih obdobjih glede na obdobje 1981–2010 in pripadajoča zanesljivost za scenarij RCP8.5

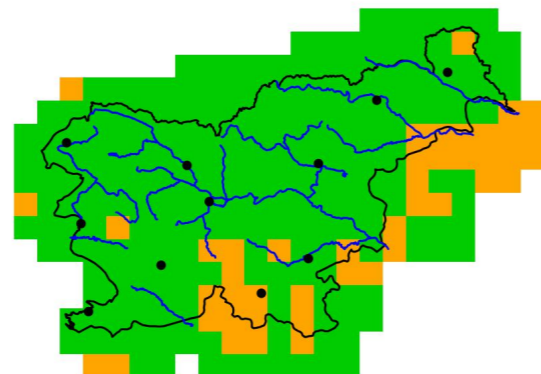
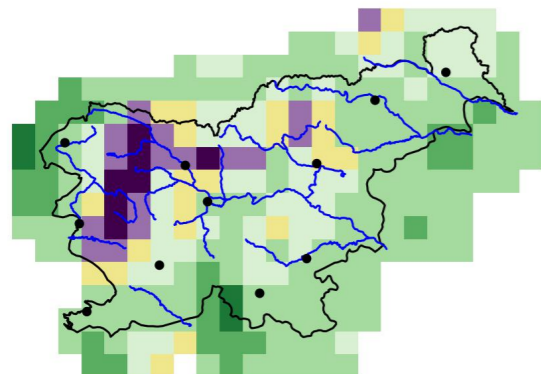
Največja dnevna višina padavin (Rx1day), RCP2.6

Odklon glede na obdobje 1981–2010

Zanesljivost

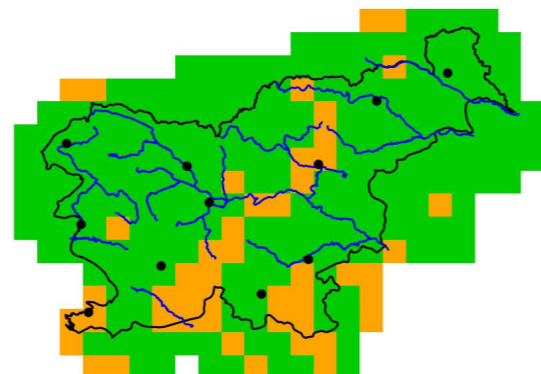
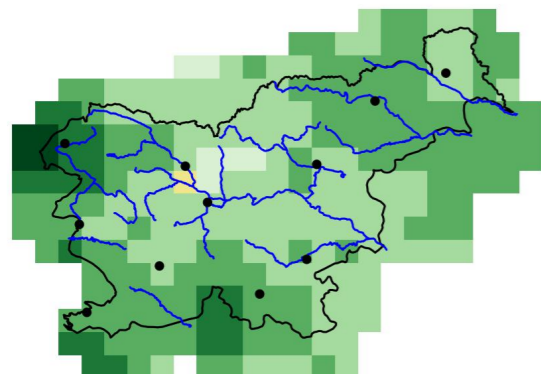
2011–2040

2011–2040



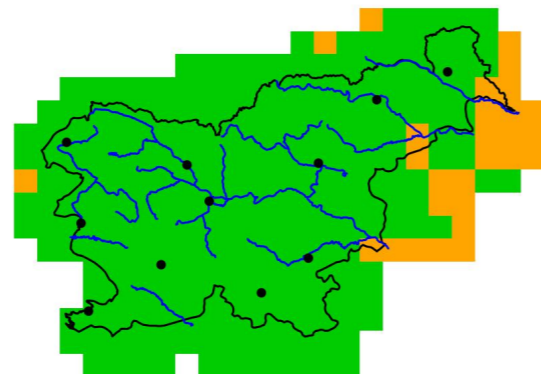
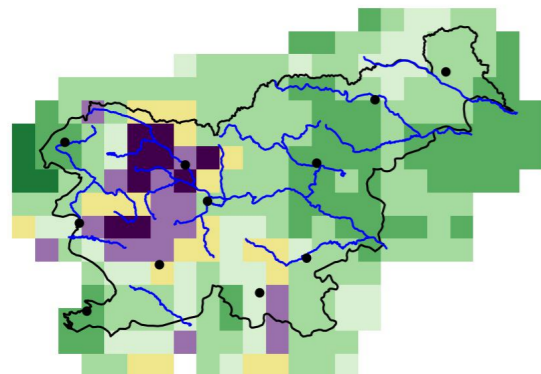
2041–2070

2041–2070

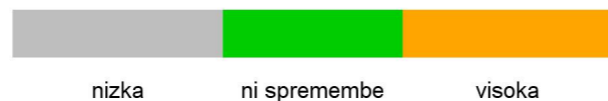


2071–2100

2071–2100



%



Slika 2.48 | Sprememba letnega povprečja največje dnevne višine padavin na mesec v treh projekcijskih obdobjih glede na obdobje 1981–2010 in pripadajoča zanesljivost za scenarij RCP2.6

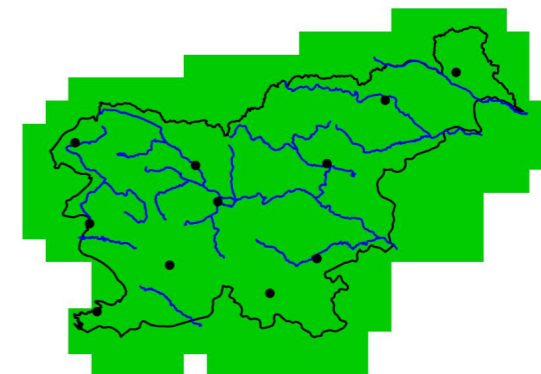
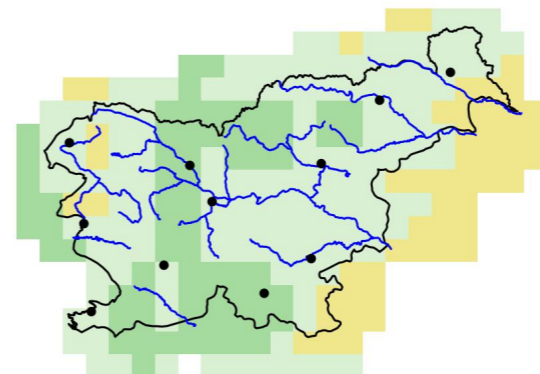
Največja dnevna višina padavin (Rx1day), RCP2.6, pomlad

Odklon glede na obdobje 1981–2010

Zanesljivost

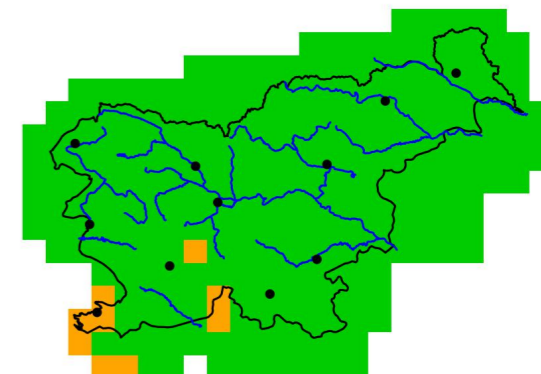
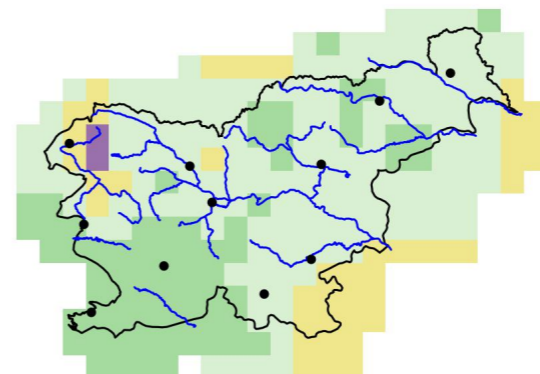
2011–2040

2011–2040



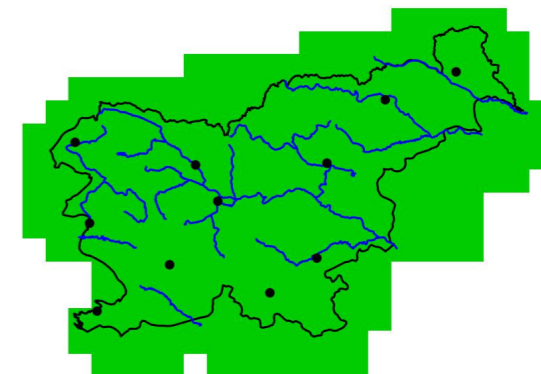
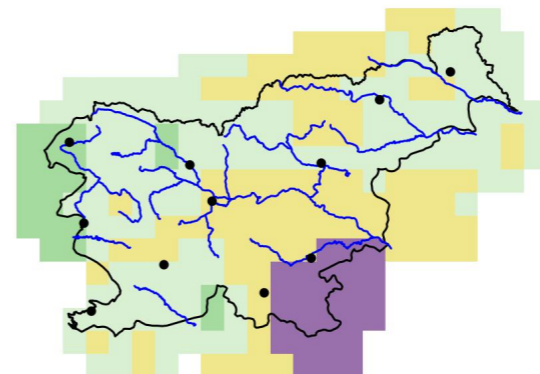
2041–2070

2041–2070

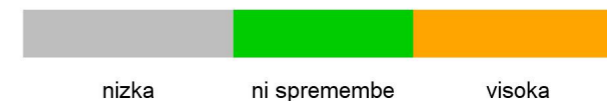
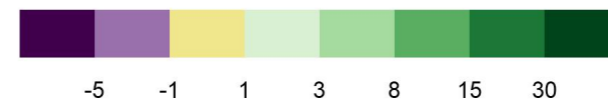


2071–2100

2071–2100



%



Slika 2.49 | Sprememba povprečne največje dnevne višine padavin na mesec spomladi v treh projekcijskih obdobjih glede na obdobje 1981–2010 in pripadajoča zanesljivost za scenarij RCP2.6

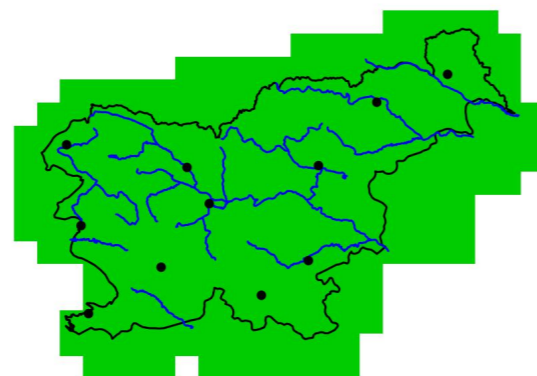
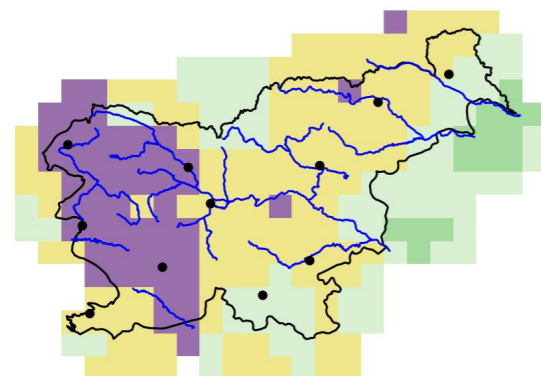
Največja dnevna višina padavin (Rx1day), RCP2.6, poletje

Odklon glede na obdobje 1981–2010

Zanesljivost

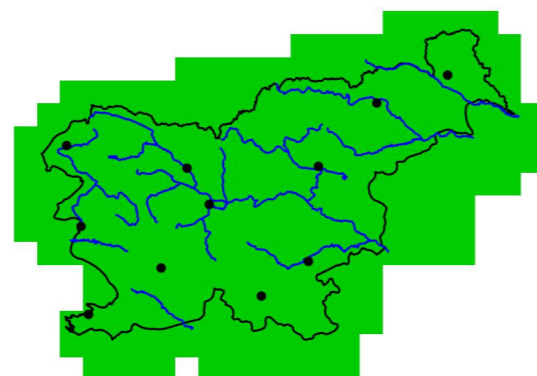
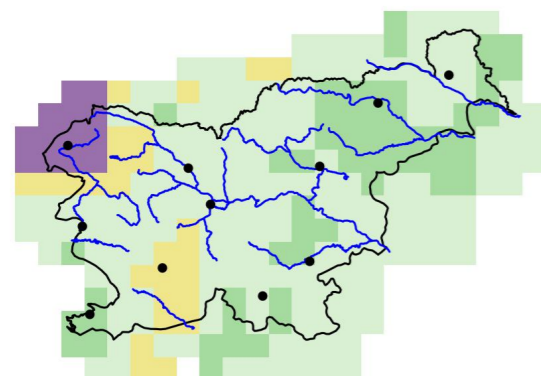
2011–2040

2011–2040



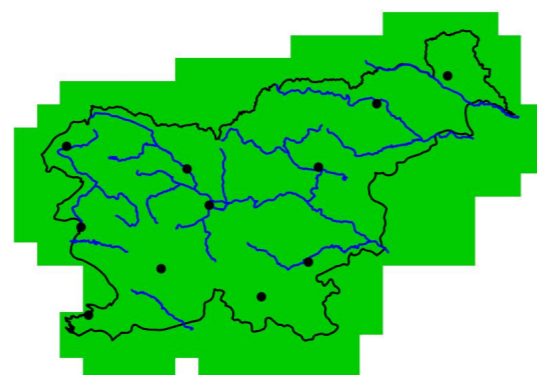
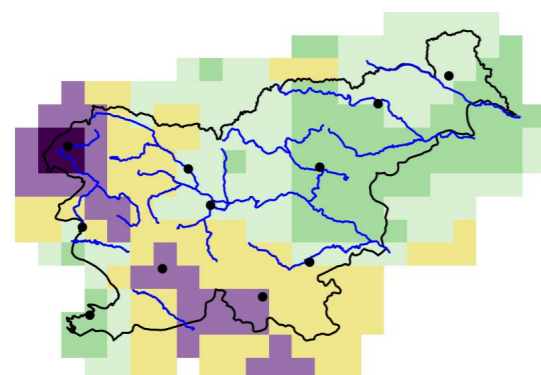
2041–2070

2041–2070



2071–2100

2071–2100



%



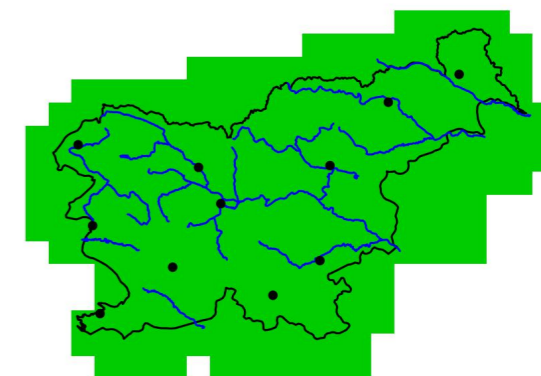
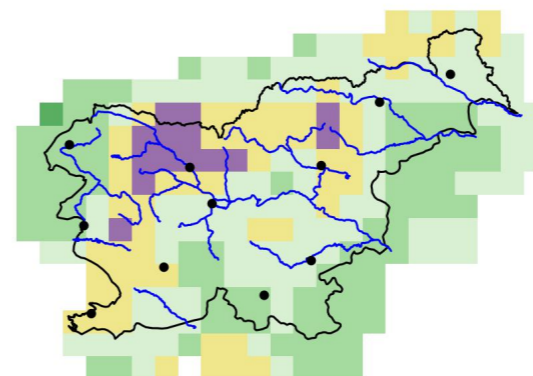
Največja dnevna višina padavin (Rx1day), RCP2.6, jesen

Odklon glede na obdobje 1981–2010

Zanesljivost

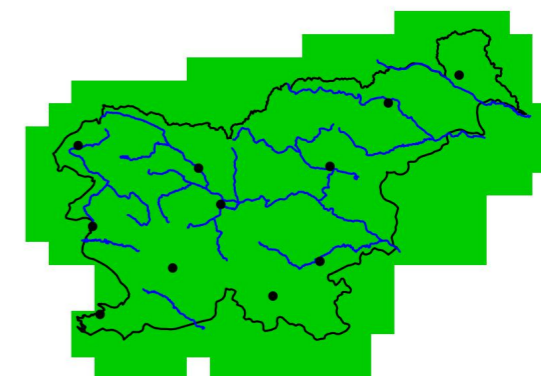
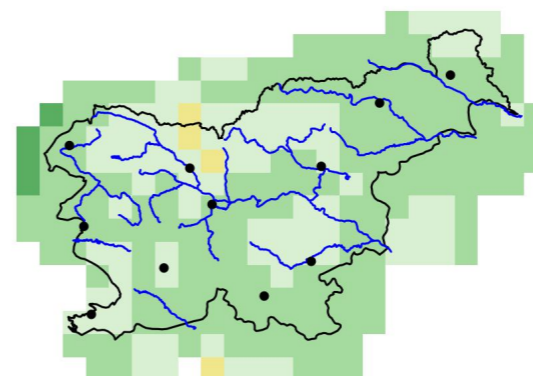
2011–2040

2011–2040



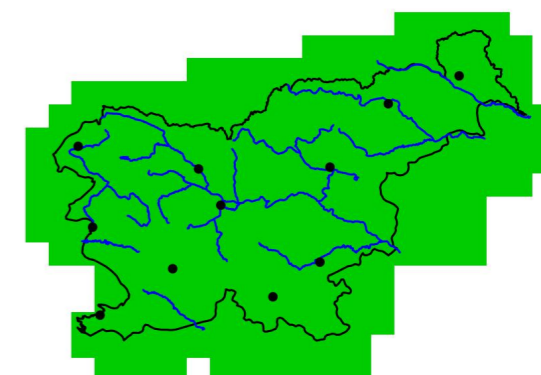
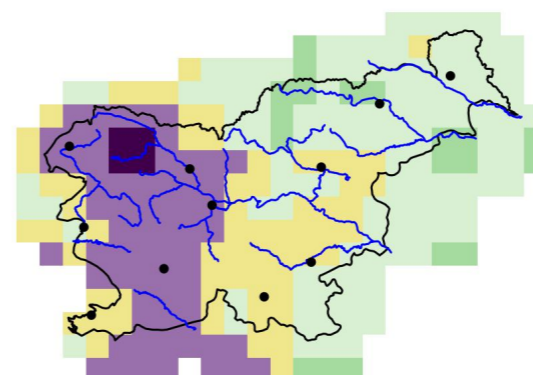
2041–2070

2041–2070

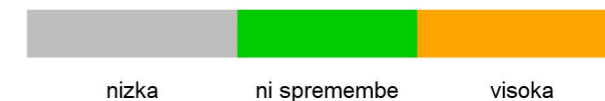


2071–2100

2071–2100



%



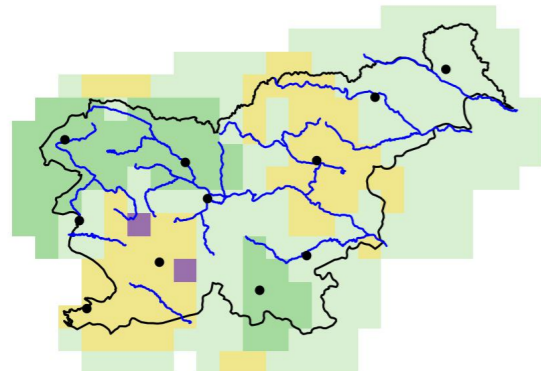
Slika 2.50 | Sprememba povprečne največje dnevne višine padavin na mesec poleti v treh projekcijskih obdobjih glede na obdobje 1981–2010 in pripadajoča zanesljivost za scenarij RCP2.6

Slika 2.51 | Sprememba povprečne največje dnevne višine padavin na mesec jeseni v treh projekcijskih obdobjih glede na obdobje 1981–2010 in pripadajoča zanesljivost za scenarij RCP2.6

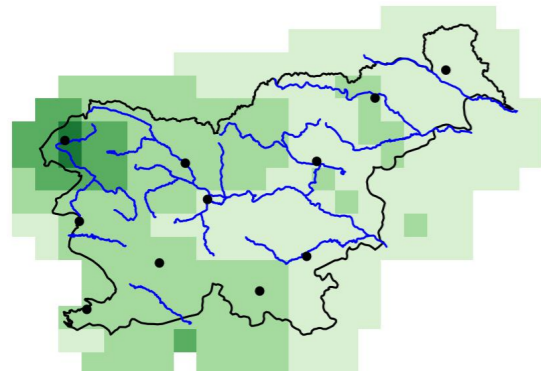
Največja dnevna višina padavin (Rx1day), RCP2.6, zima

Odklon glede na obdobje 1981–2010

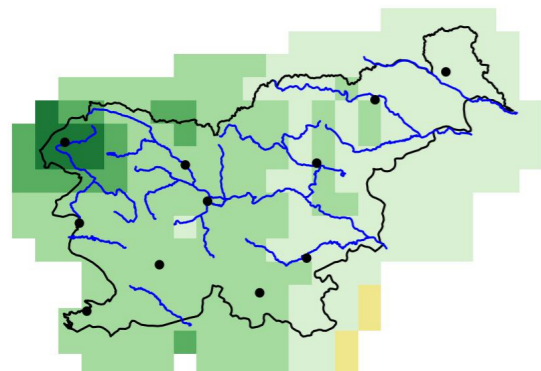
2011–2040



2041–2070

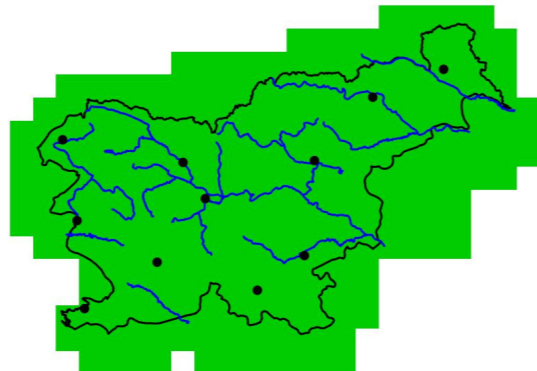


2071–2100

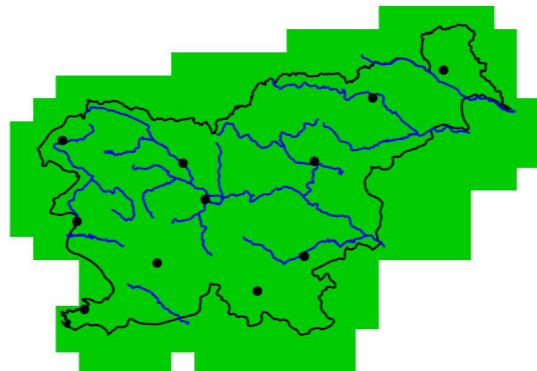


Zanesljivost

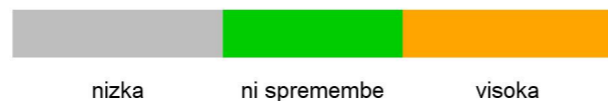
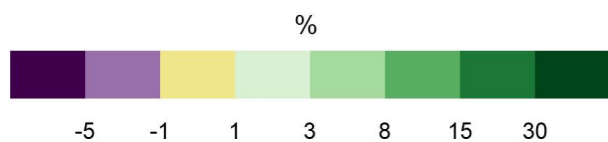
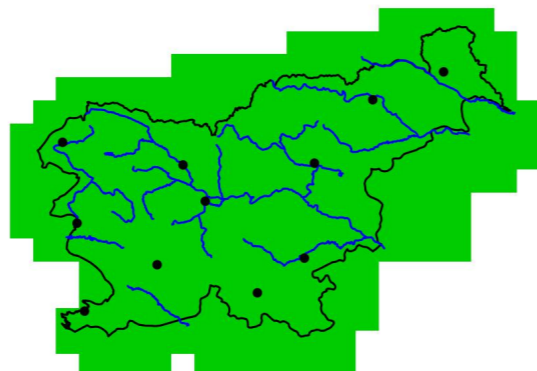
2011–2040



2041–2070



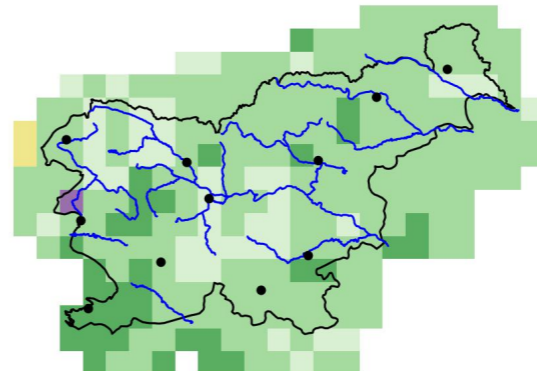
2071–2100



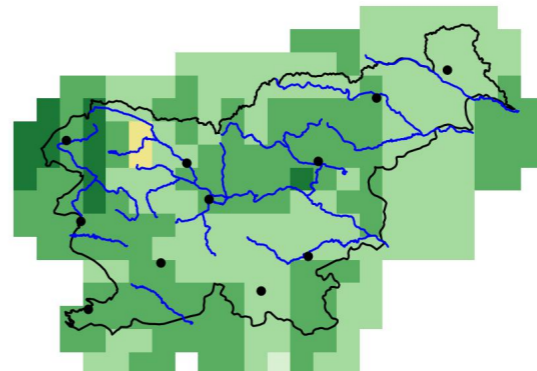
Največja dnevna višina padavin (Rx1day), RCP4.5

Odklon glede na obdobje 1981–2010

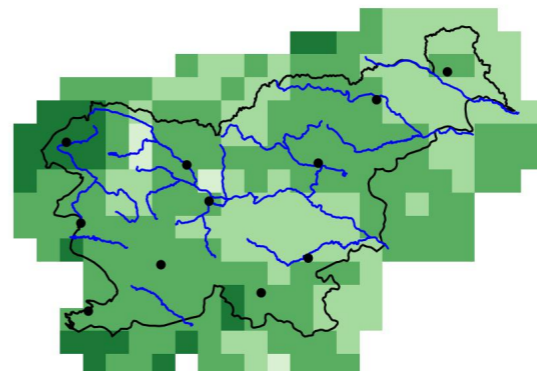
2011–2040



2041–2070

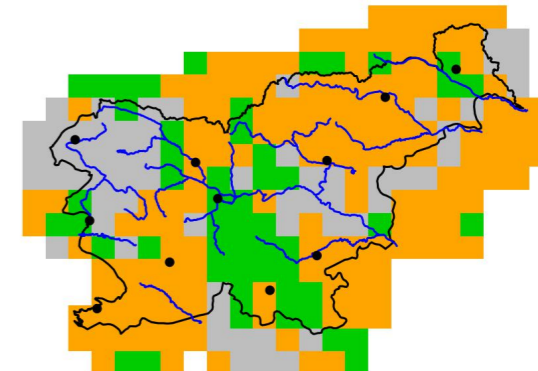


2071–2100

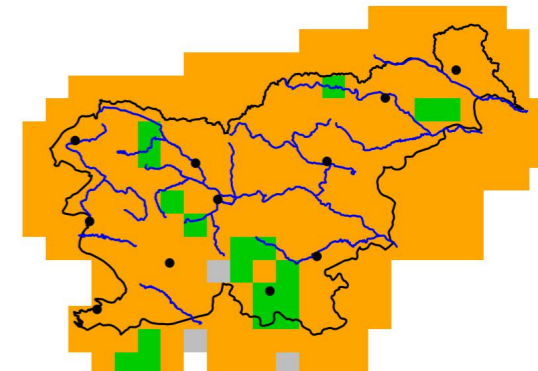


Zanesljivost

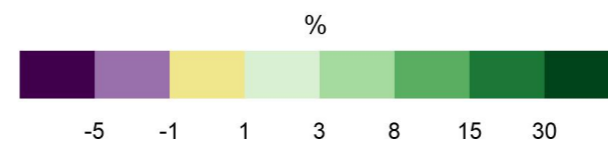
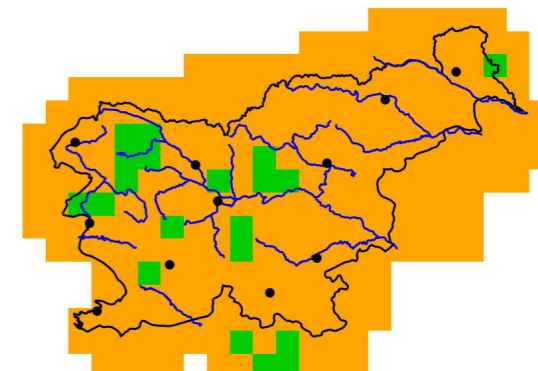
2011–2040



2041–2070



2071–2100



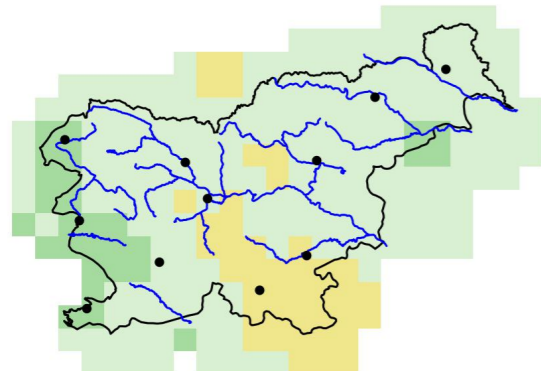
Slika 2.52 | Sprememba povprečne največje dnevne višine padavin na mesec pozimi v treh projekcijskih obdobjih glede na obdobje 1981–2010 in pripadajoča zanesljivost za scenarij RCP2.6

Slika 2.53 | Sprememba letnega povprečja največje dnevne višine padavin na mesec v treh projekcijskih obdobjih glede na obdobje 1981–2010 in pripadajoča zanesljivost za scenarij RCP4.5

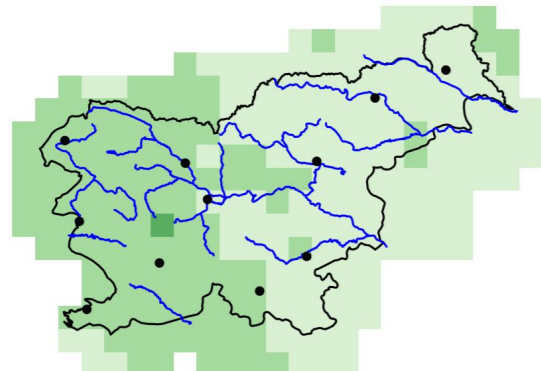
Največja dnevna višina padavin (Rx1day), RCP4.5, pomlad

Odklon glede na obdobje 1981–2010

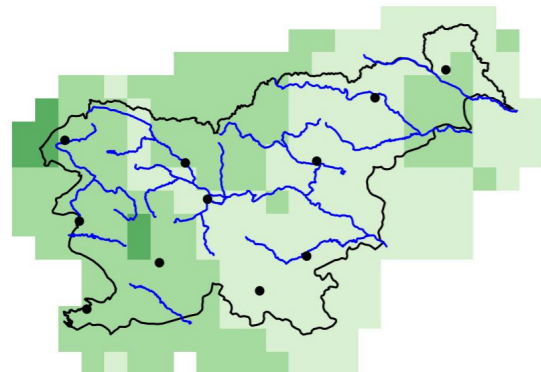
2011–2040



2041–2070

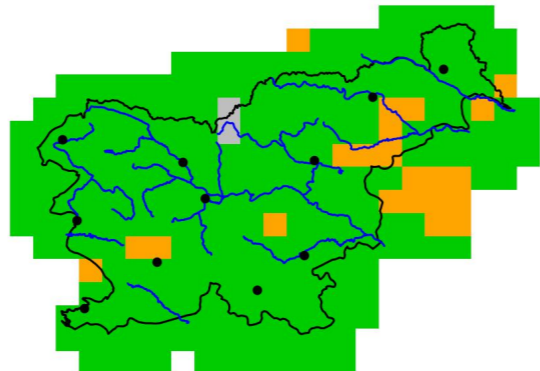


2071–2100

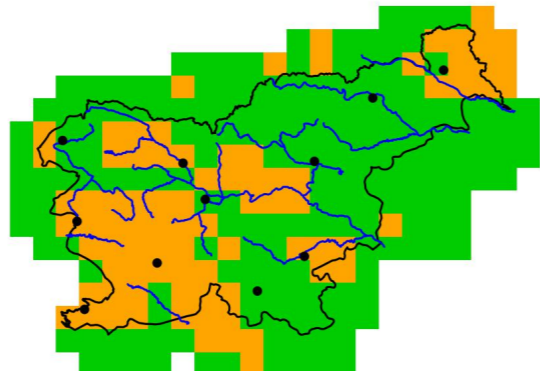


Zanesljivost

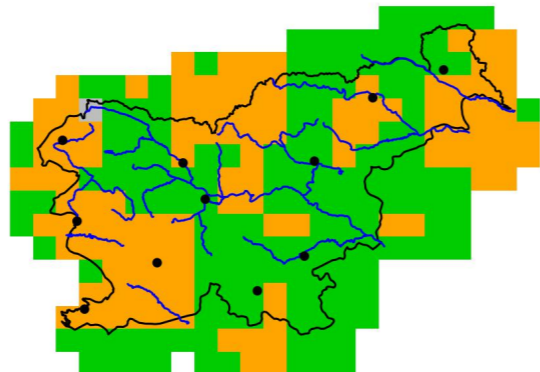
2011–2040



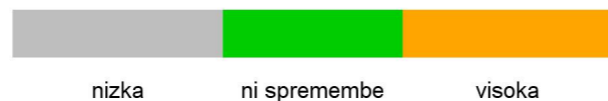
2041–2070



2071–2100



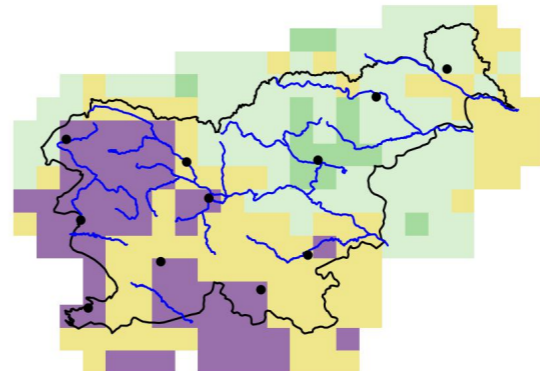
%



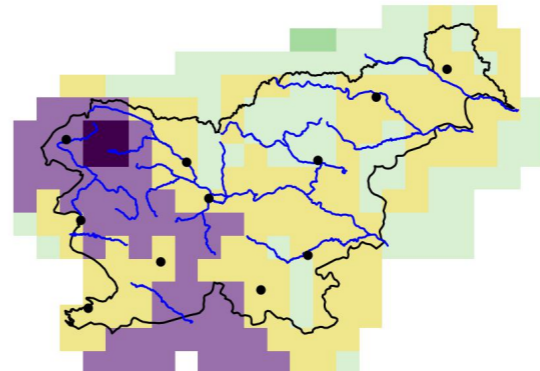
Največja dnevna višina padavin (Rx1day), RCP4.5, poletje

Odklon glede na obdobje 1981–2010

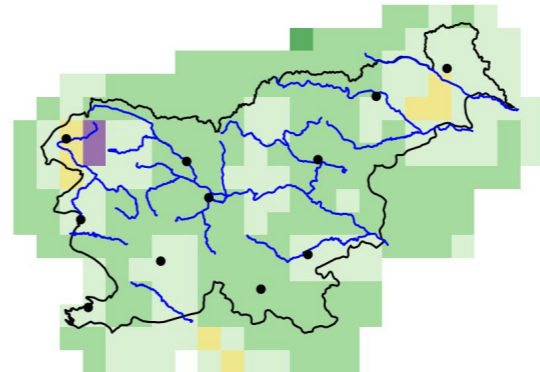
2011–2040



2041–2070

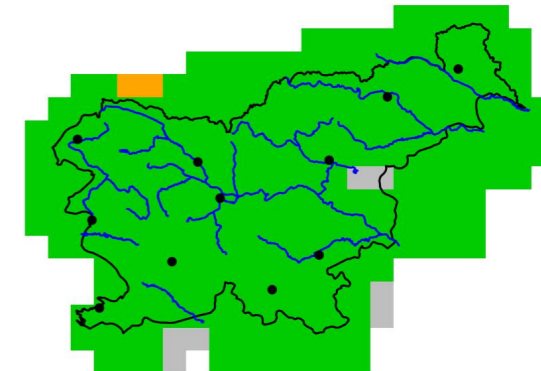


2071–2100

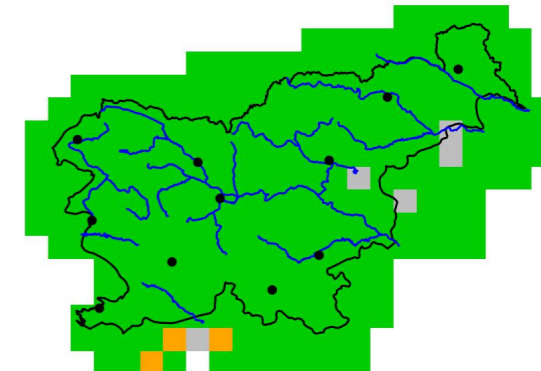


Zanesljivost

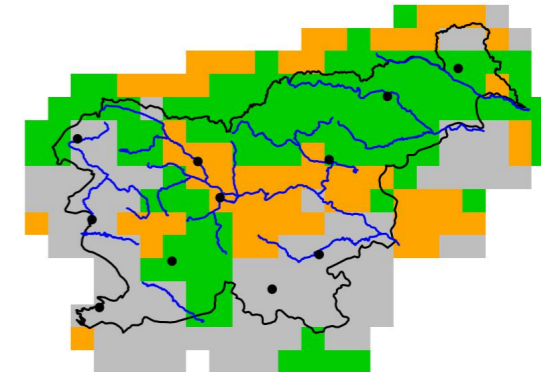
2011–2040



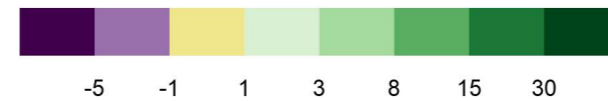
2041–2070



2071–2100



%



Slika 2.54 | Sprememba povprečne največje dnevne višine padavin na mesec spomladi v treh projekcijskih obdobjih glede na obdobje 1981–2010 in pripadajoča zanesljivost za scenarij RCP4.5

Slika 2.55 | Sprememba povprečne največje dnevne višine padavin na mesec poleti v treh projekcijskih obdobjih glede na obdobje 1981–2010 in pripadajoča zanesljivost za scenarij RCP4.5

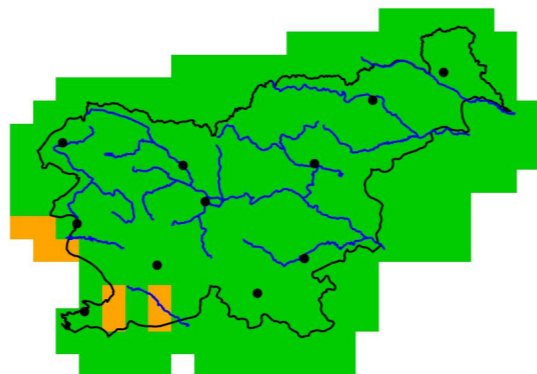
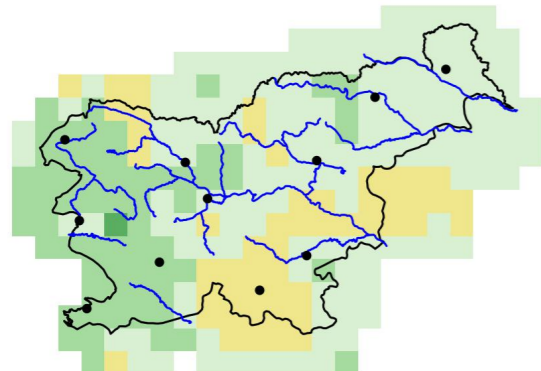
Največja dnevna višina padavin (Rx1day), RCP4.5, jesen

Odklon glede na obdobje 1981–2010

Zanesljivost

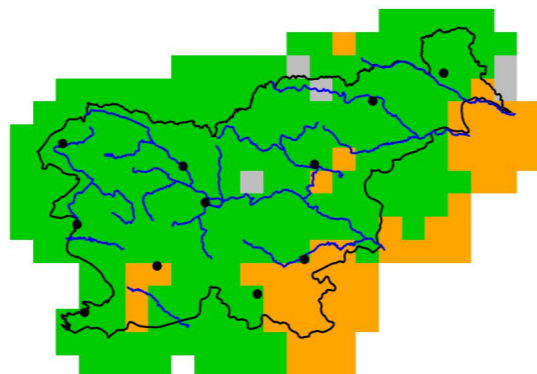
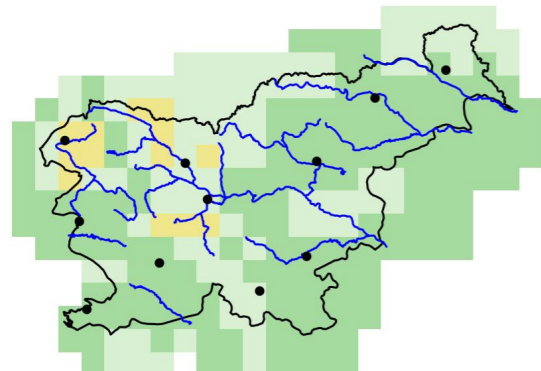
2011–2040

2011–2040



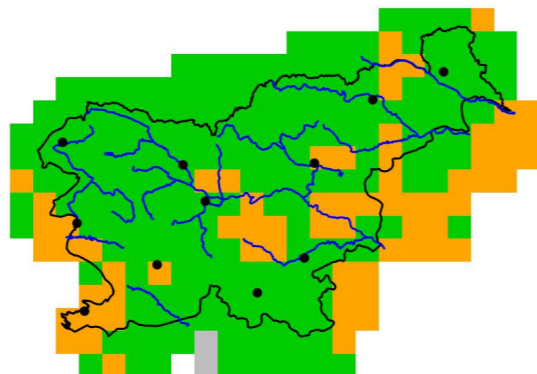
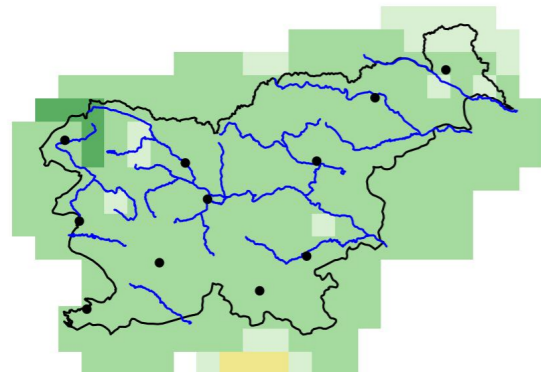
2041–2070

2041–2070

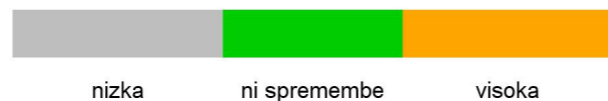
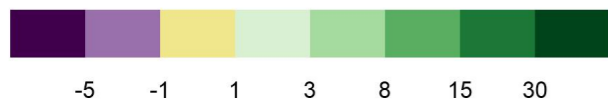


2071–2100

2071–2100



%



Slika 2.56 | Sprememba povprečne največje dnevne višine padavin na mesec jeseni v treh projekcijskih obdobjih glede na obdobje 1981–2010 in pripadajoča zanesljivost za scenarij RCP4.5

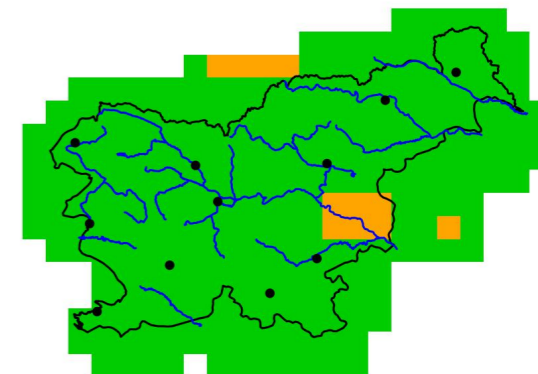
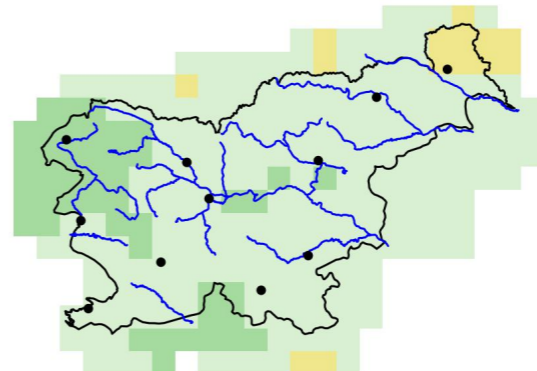
Največja dnevna višina padavin (Rx1day), RCP4.5, zima

Odklon glede na obdobje 1981–2010

Zanesljivost

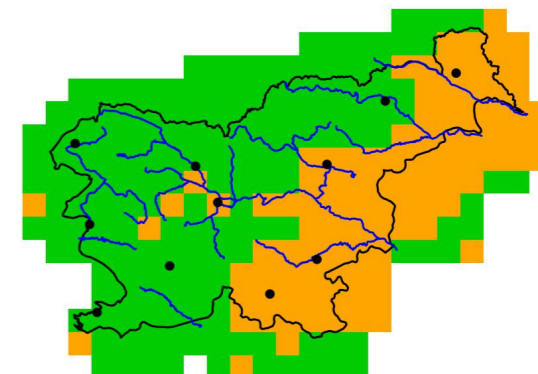
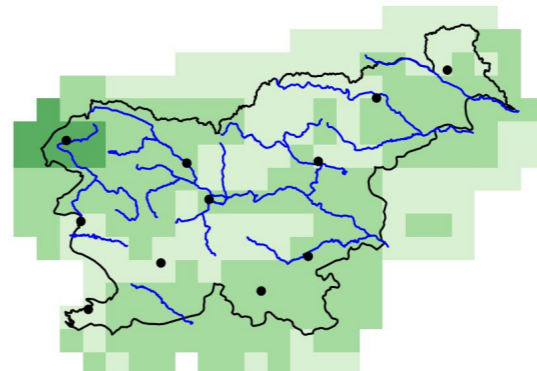
2011–2040

2011–2040



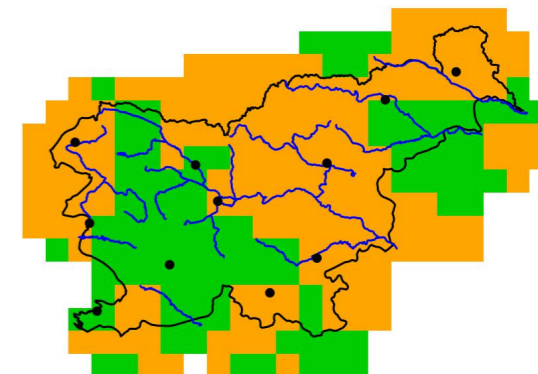
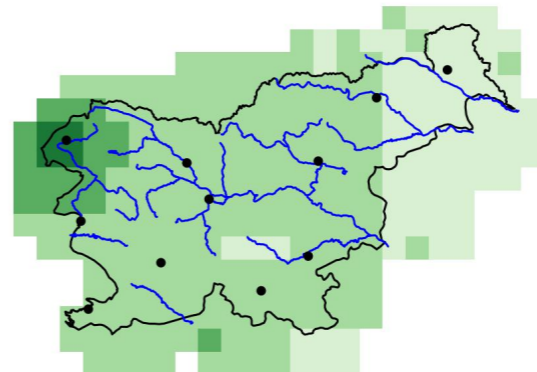
2041–2070

2041–2070

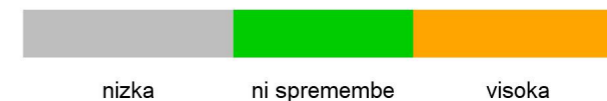
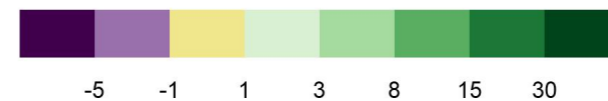


2071–2100

2071–2100



%



Slika 2.57 | Sprememba povprečne največje dnevne višine padavin na mesec pozimi v treh projekcijskih obdobjih glede na obdobje 1981–2010 in pripadajoča zanesljivost za scenarij RCP4.5

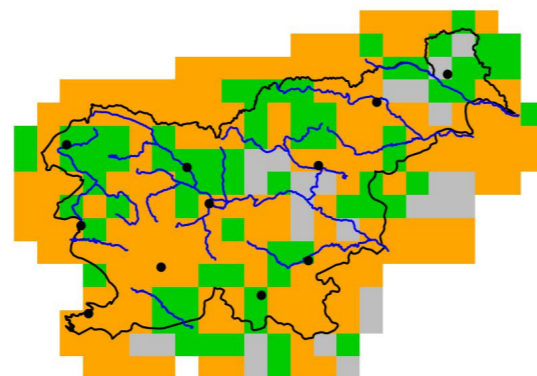
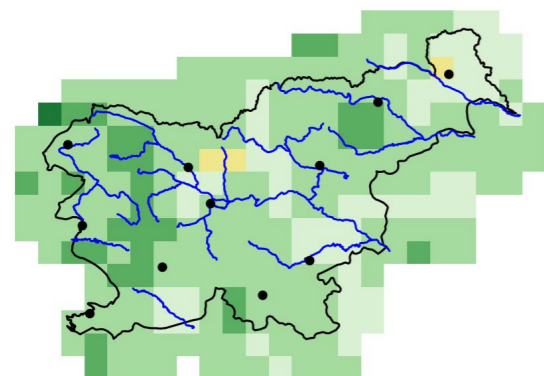
Največja dnevna višina padavin (Rx1day), RCP8.5

Odklon glede na obdobje 1981–2010

Zanesljivost

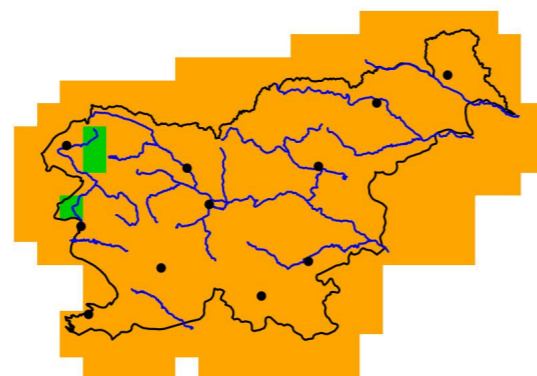
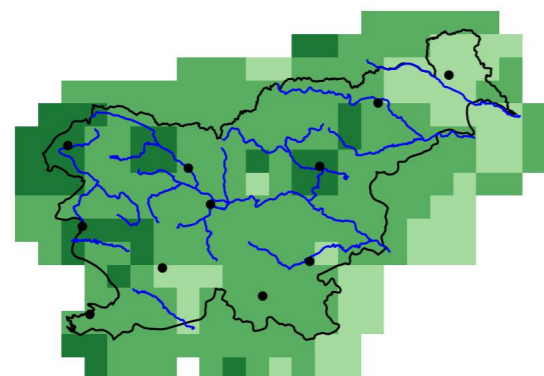
2011–2040

2011–2040



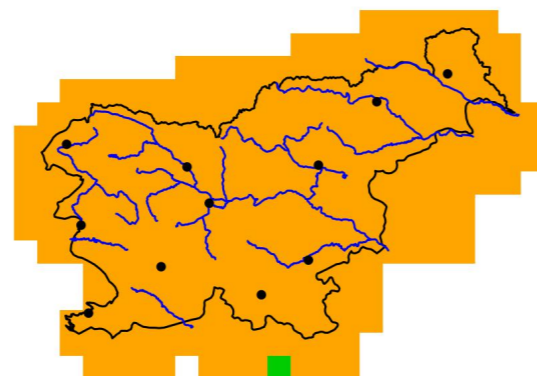
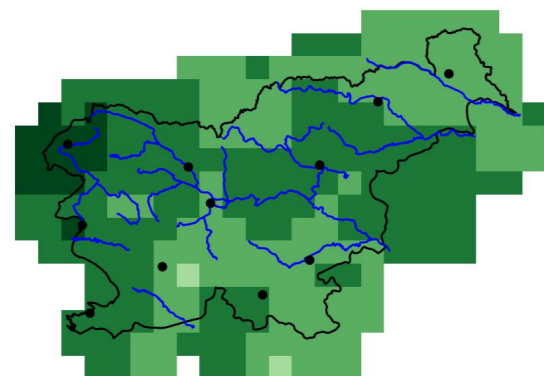
2041–2070

2041–2070



2071–2100

2071–2100



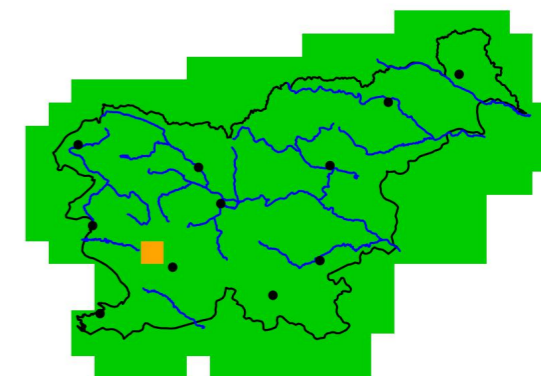
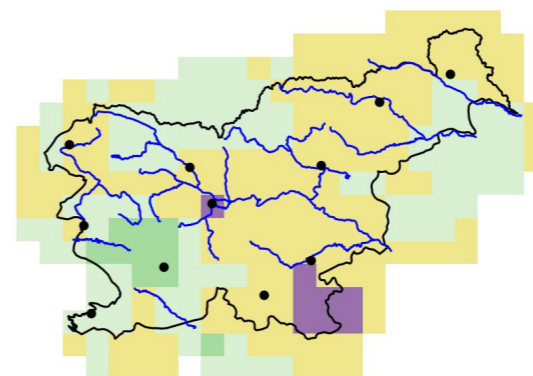
Največja dnevna višina padavin (Rx1day), RCP8.5, pomlad

Odklon glede na obdobje 1981–2010

Zanesljivost

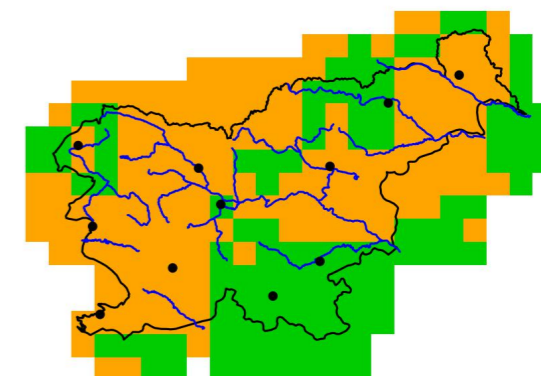
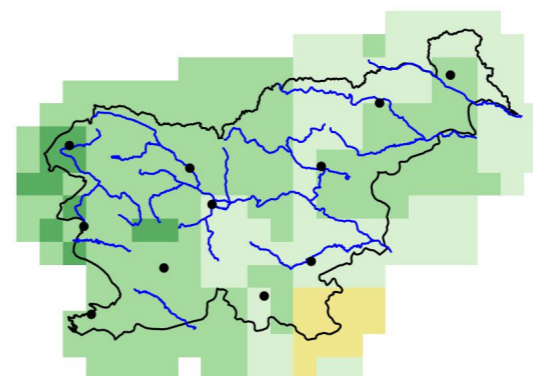
2011–2040

2011–2040



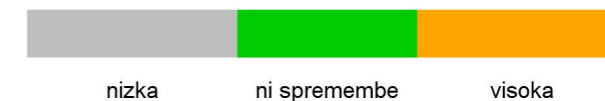
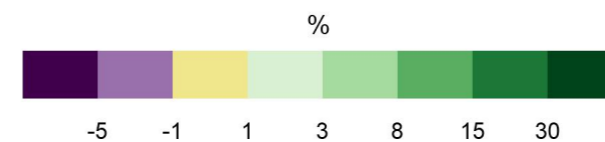
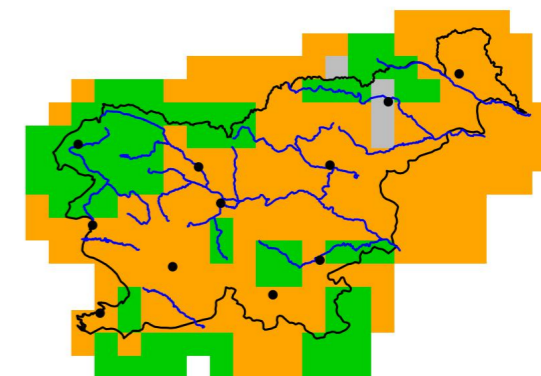
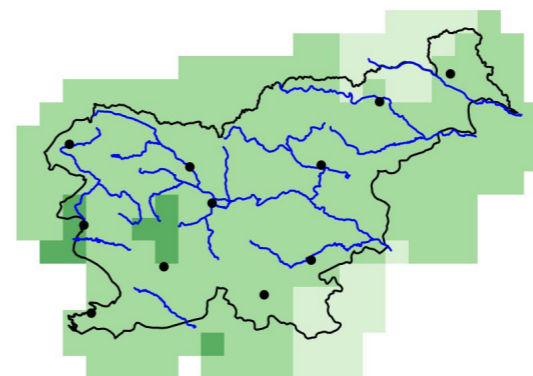
2041–2070

2041–2070



2071–2100

2071–2100



Slika 2.58 | Sprememba letnega povprečja največje dnevne višine padavin na mesec v treh projekcijskih obdobjih glede na obdobje 1981–2010 in pripadajoča zanesljivost za scenarij RCP8.5

Slika 2.59 | Sprememba povprečne največje dnevne višine padavin na mesec spomladi v treh projekcijskih obdobjih glede na obdobje 1981–2010 in pripadajoča zanesljivost za scenarij RCP8.5

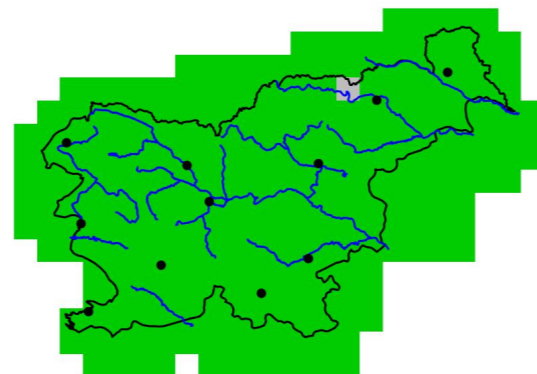
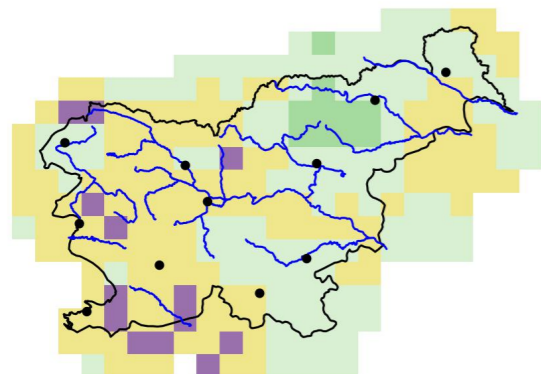
Največja dnevna višina padavin (Rx1day), RCP8.5, poletje

Odklon glede na obdobje 1981–2010

Zanesljivost

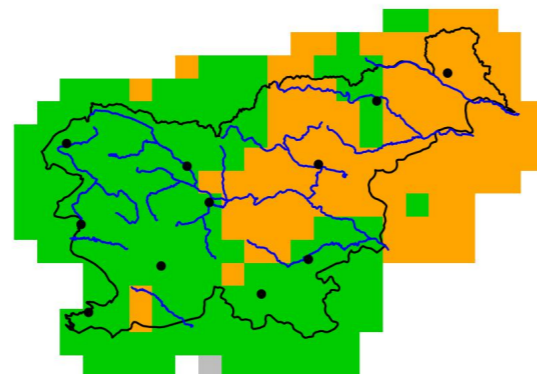
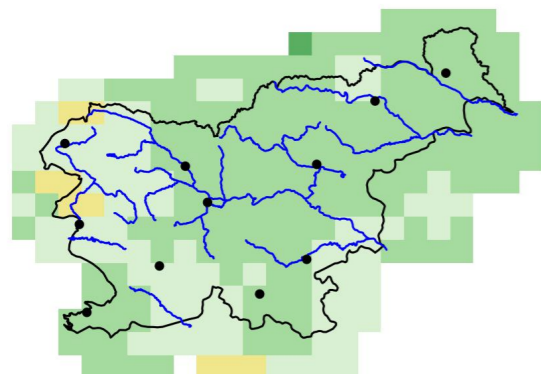
2011–2040

2011–2040



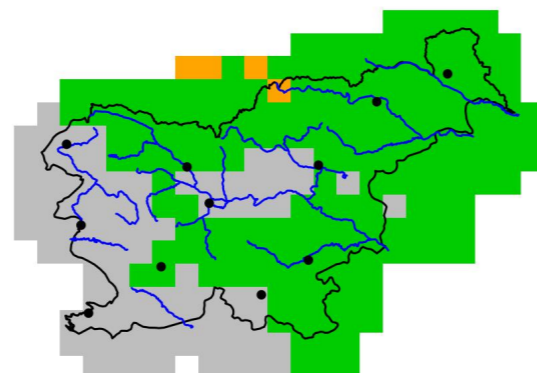
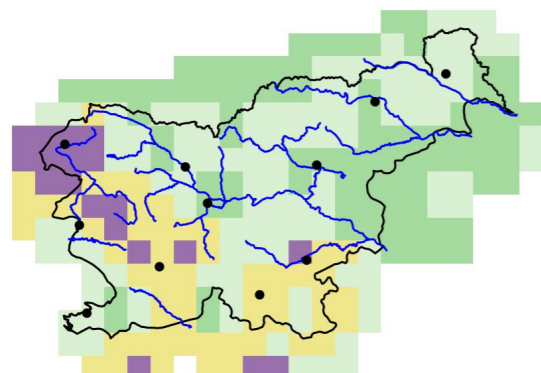
2041–2070

2041–2070

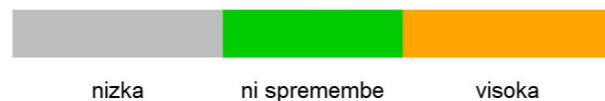


2071–2100

2071–2100



%



Slika 2.60 | Sprememba povprečne največje dnevne višine padavin na mesec poleti v treh projekcijskih obdobjih glede na obdobje 1981–2010 in pripadajoča zanesljivost za scenarij RCP8.5

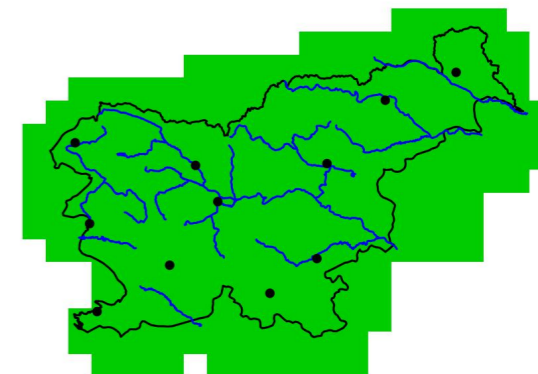
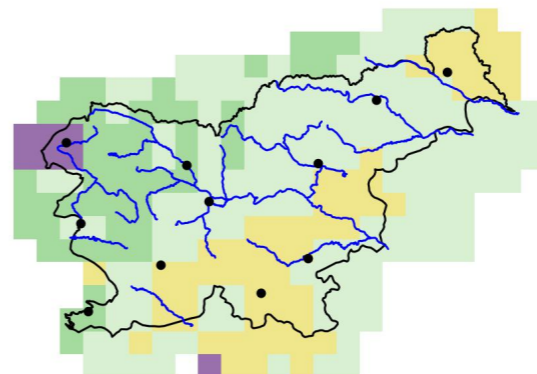
Največja dnevna višina padavin (Rx1day), RCP8.5, jesen

Odklon glede na obdobje 1981–2010

Zanesljivost

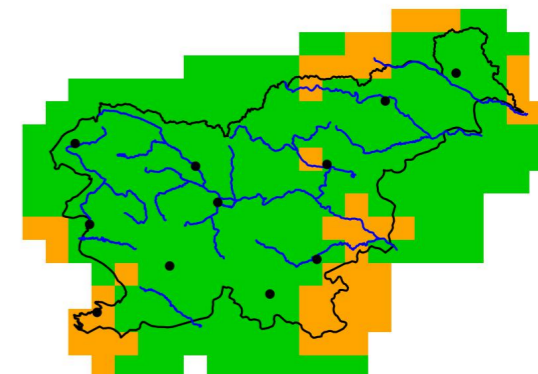
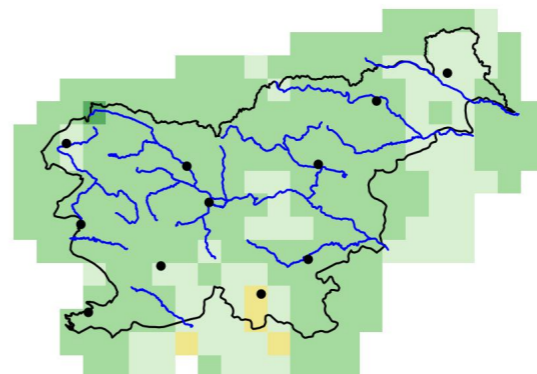
2011–2040

2011–2040



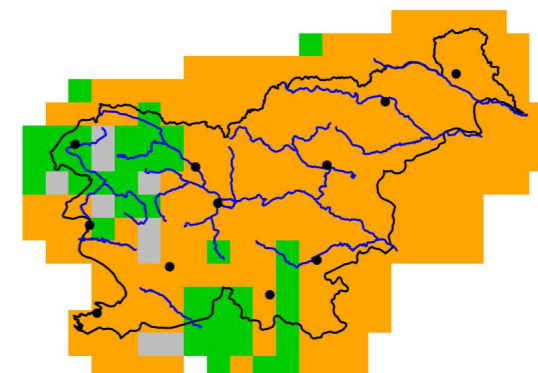
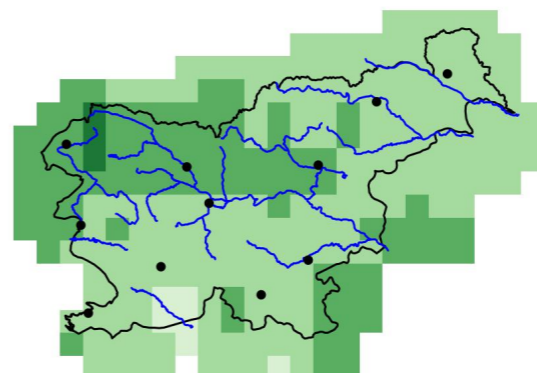
2041–2070

2041–2070

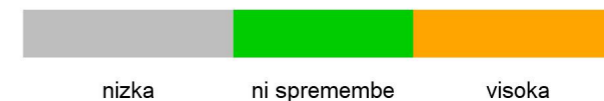


2071–2100

2071–2100



%



Slika 2.61 | Sprememba povprečne največje dnevne višine padavin na mesec jeseni v treh projekcijskih obdobjih glede na obdobje 1981–2010 in pripadajoča zanesljivost za scenarij RCP8.5

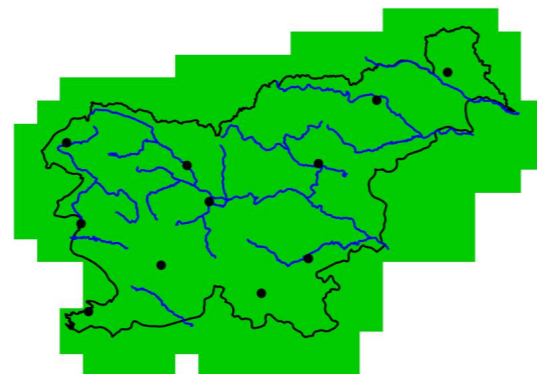
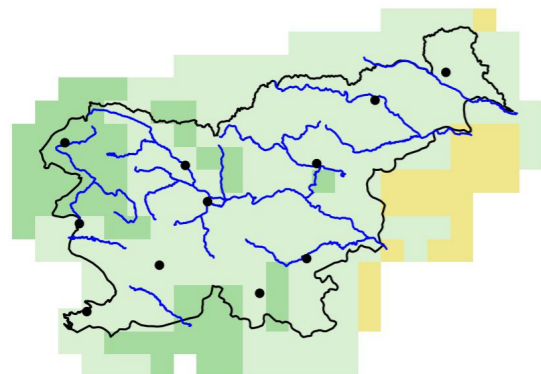
Največja dnevna višina padavin (Rx1day), RCP8.5, zima

Odklon glede na obdobje 1981–2010

Zanesljivost

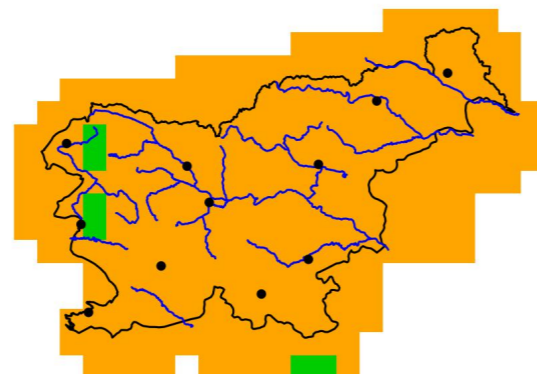
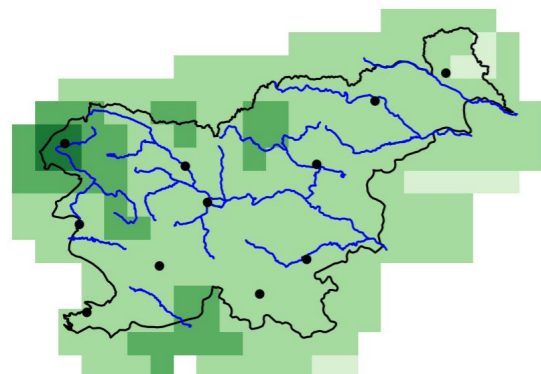
2011–2040

2011–2040



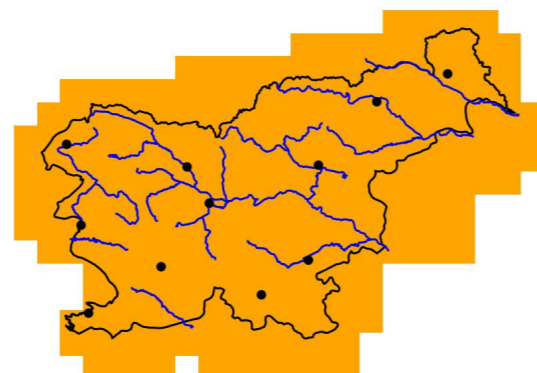
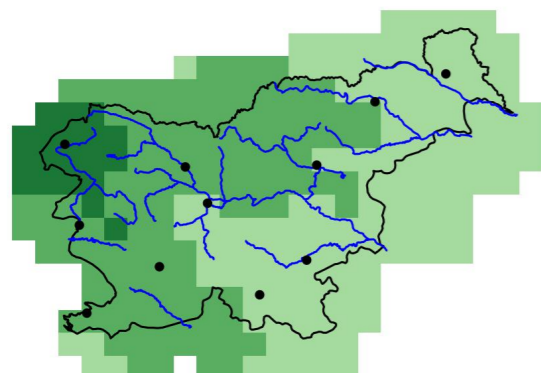
2041–2070

2041–2070



2071–2100

2071–2100



%



Slika 2.62 | Sprememba povprečne največje dnevne višine padavin na mesec pozimi v treh projekcijskih obdobjih glede na obdobje 1981–2010 in pripadajoča zanesljivost za scenarij RCP8.5

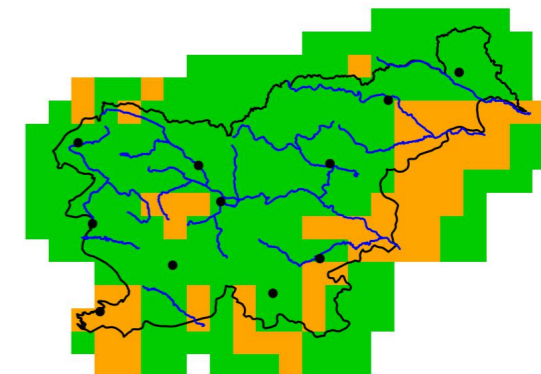
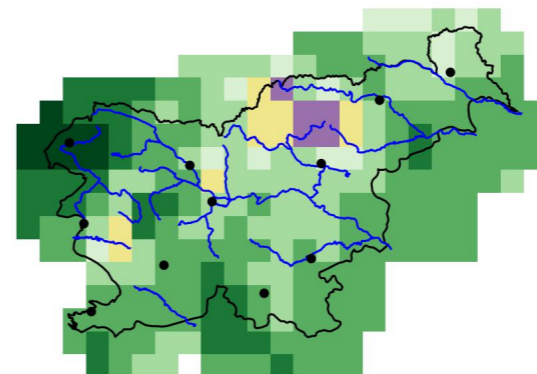
Največja petdnevna višina padavin (Rx5day), RCP2.6

Odklon glede na obdobje 1981–2010

Zanesljivost

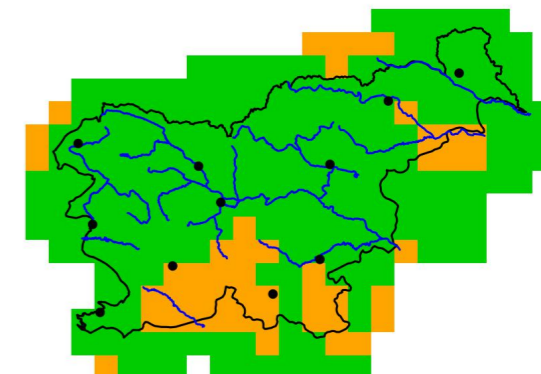
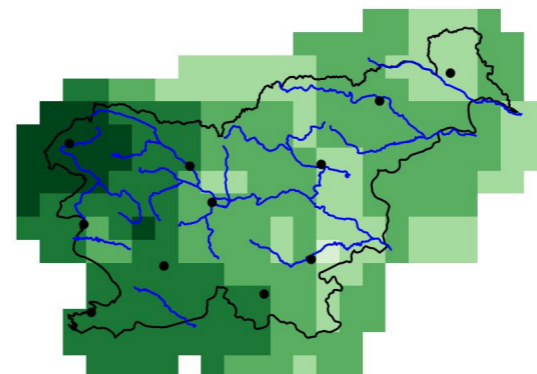
2011–2040

2011–2040



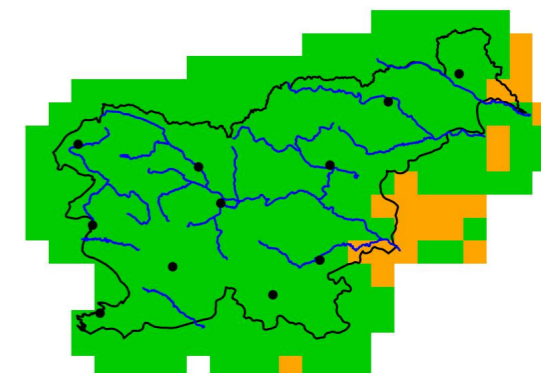
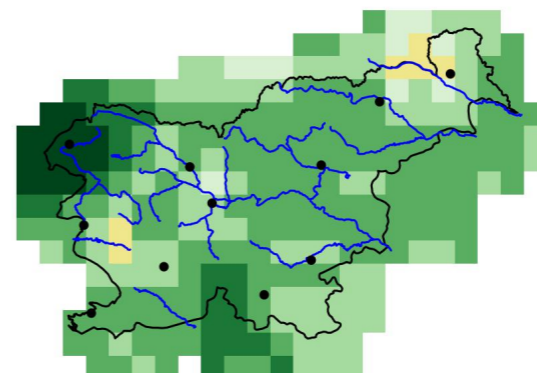
2041–2070

2041–2070

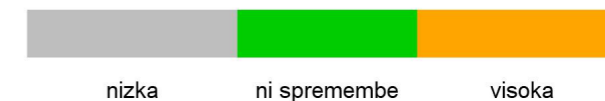


2071–2100

2071–2100



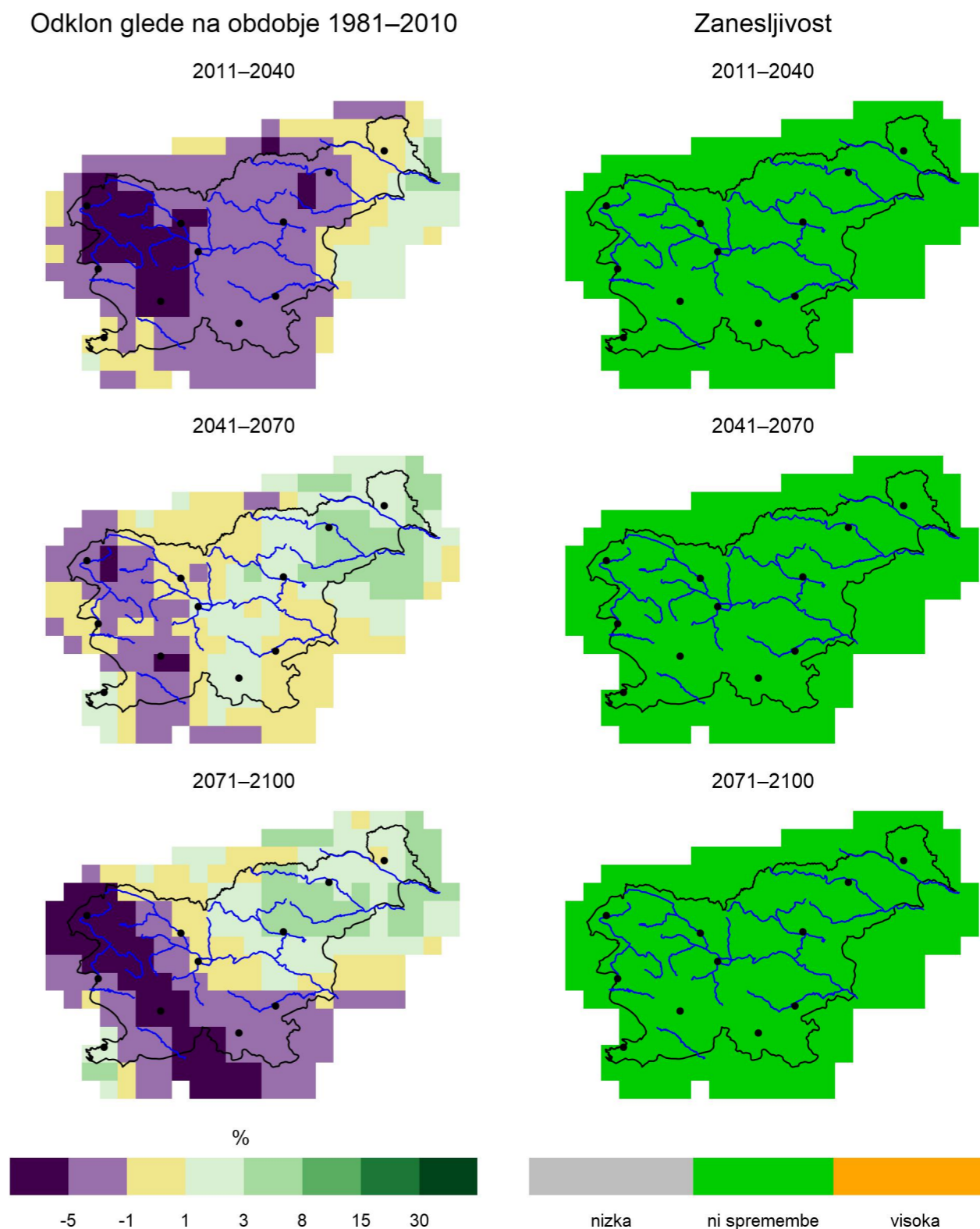
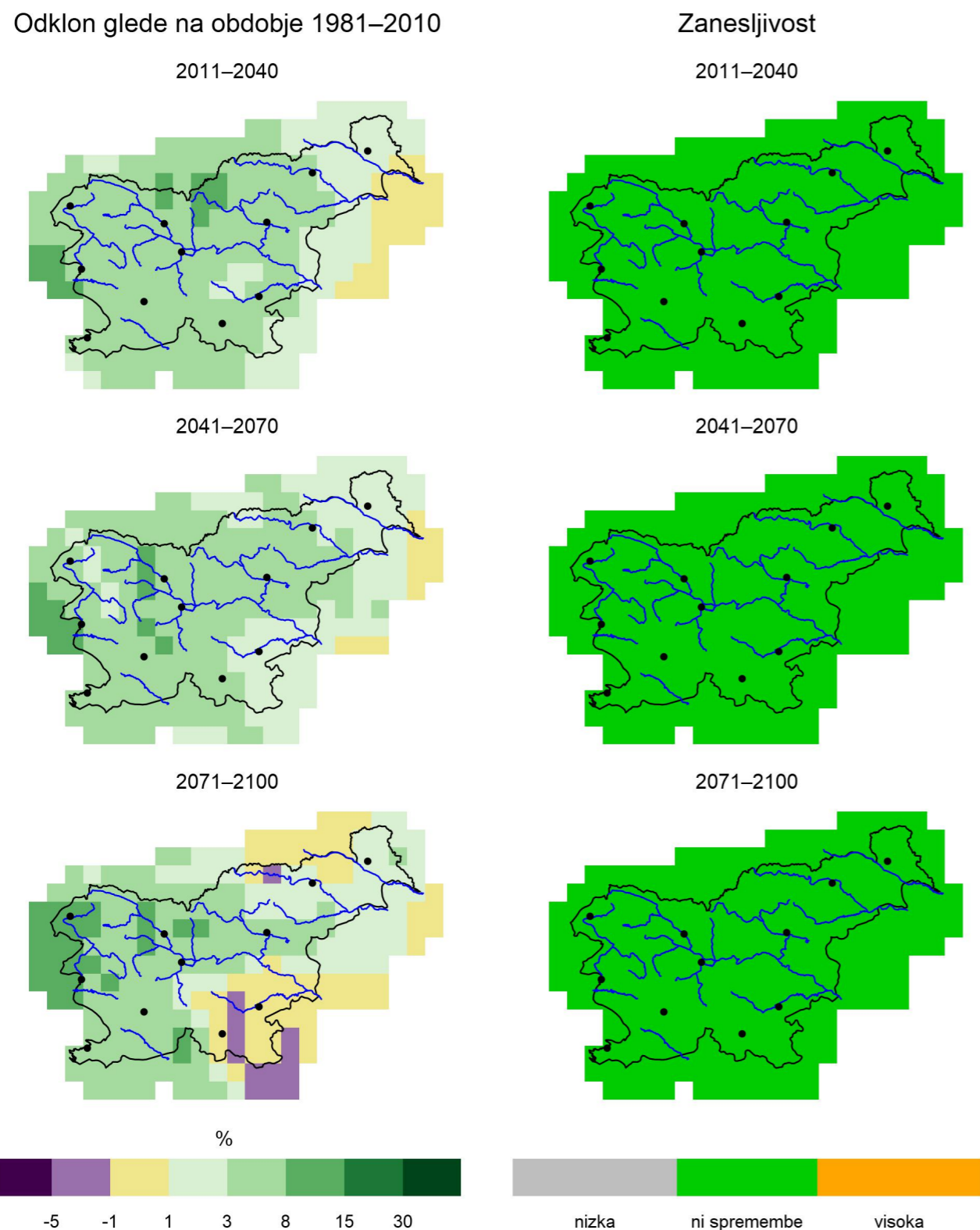
%



Slika 2.63 | Sprememba letnega povprečja največje petdnevne višine padavin na mesec v treh projekcijskih obdobjih glede na obdobje 1981–2010 in pripadajoča zanesljivost za scenarij RCP2.6

Največja petdnevna višina padavin (Rx5day), RCP2.6, pomlad

Največja petdnevna višina padavin (Rx5day), RCP2.6, poletje



Slika 2.64 | Sprememba povprečne največje petdnevne višine padavin na mesec spomladi v treh projekcijskih obdobjih glede na obdobje 1981–2010 in pripadajoča zanesljivost za scenarij RCP2.6

Slika 2.65 | Sprememba povprečne največje petdnevne višine padavin na mesec poleti v treh projekcijskih obdobjih glede na obdobje 1981–2010 in pripadajoča zanesljivost za scenarij RCP2.6

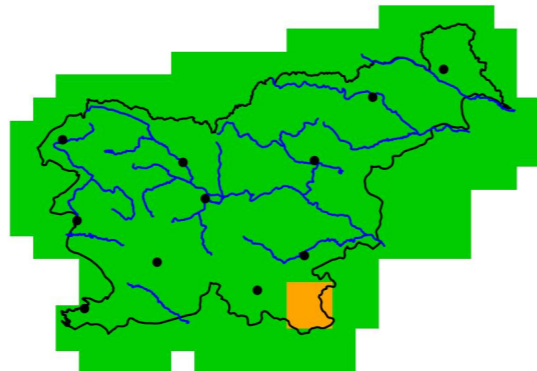
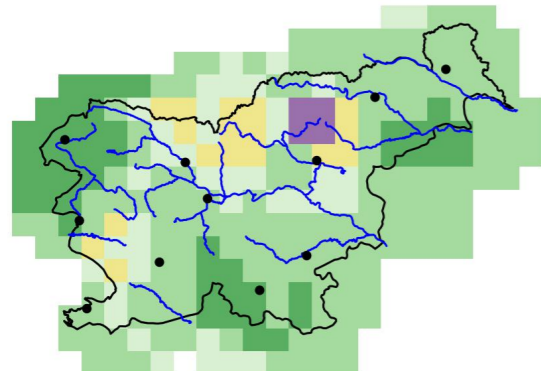
Največja petdnevna višina padavin (Rx5day), RCP2.6, jesen

Odklon glede na obdobje 1981–2010

Zanesljivost

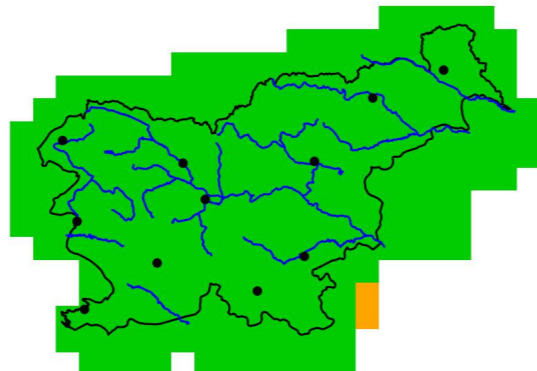
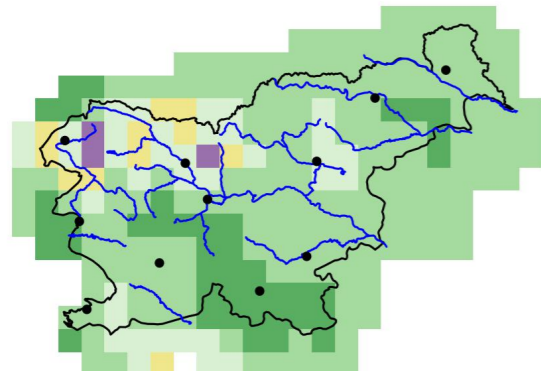
2011–2040

2011–2040



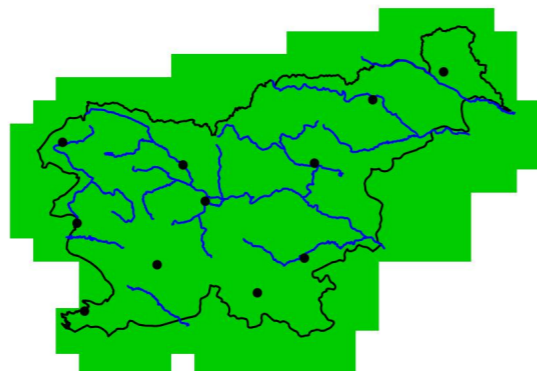
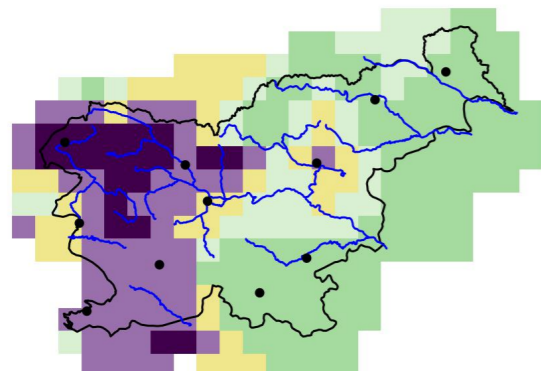
2041–2070

2041–2070

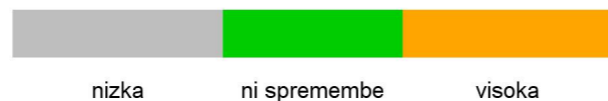


2071–2100

2071–2100



%



Slika 2.66 | Sprememba povprečne največje petdnevne višine padavin na mesec jeseni v treh projekcijskih obdobjih glede na obdobje 1981–2010 in pripadajoča zanesljivost za scenarij RCP2.6

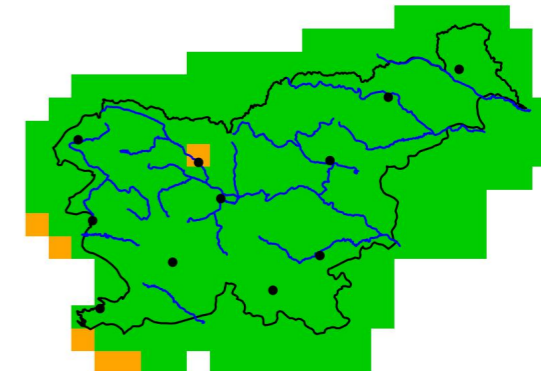
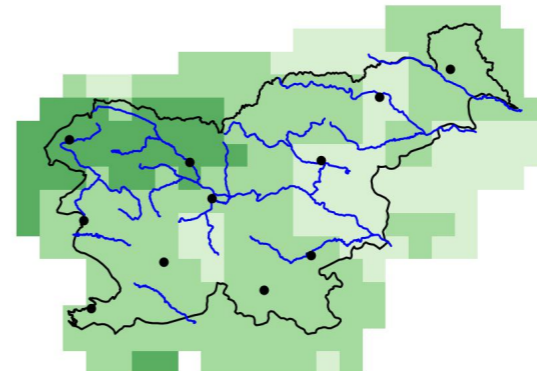
Največja petdnevna višina padavin (Rx5day), RCP2.6, zima

Odklon glede na obdobje 1981–2010

Zanesljivost

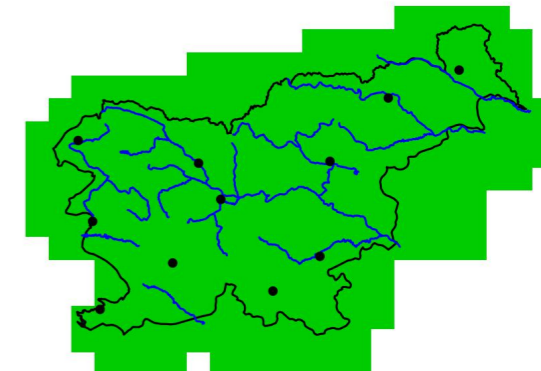
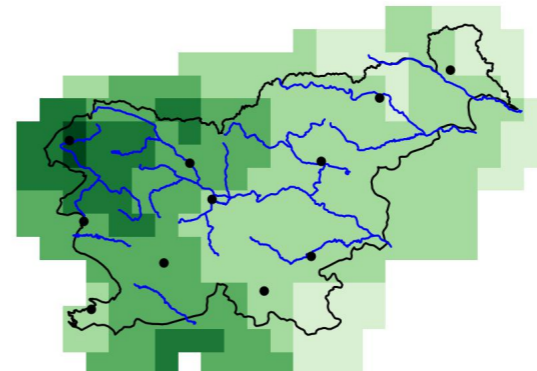
2011–2040

2011–2040



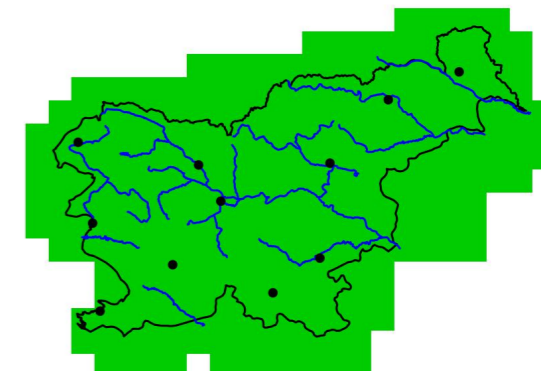
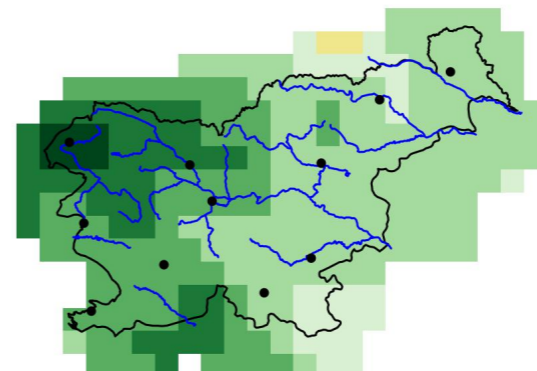
2041–2070

2041–2070

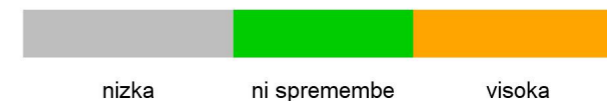
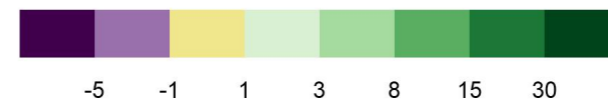


2071–2100

2071–2100



%

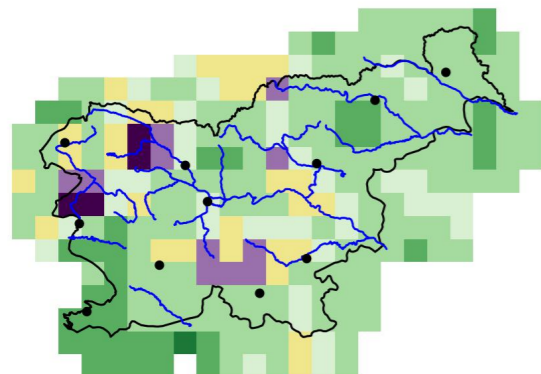


Slika 2.67 | Sprememba povprečne največje petdnevne višine padavin na mesec pozimi v treh projekcijskih obdobjih glede na obdobje 1981–2010 in pripadajoča zanesljivost za scenarij RCP2.6

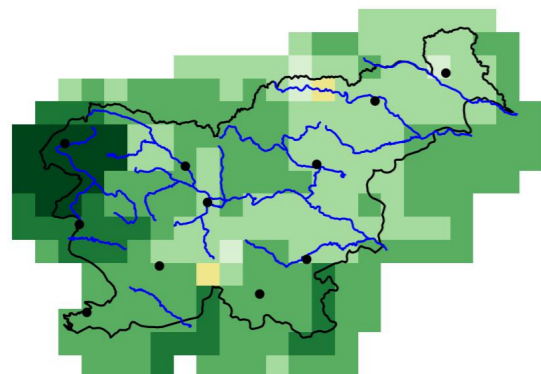
Največja petdnevna višina padavin (Rx5day), RCP4.5

Odklon glede na obdobje 1981–2010

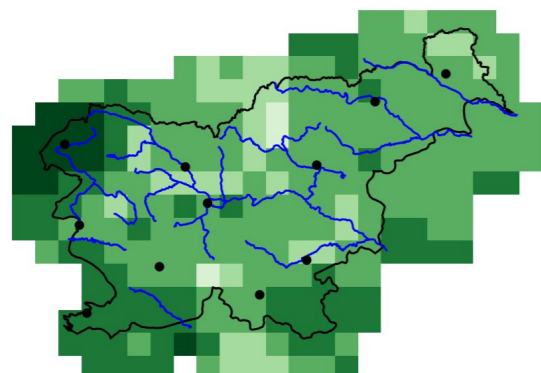
2011–2040



2041–2070

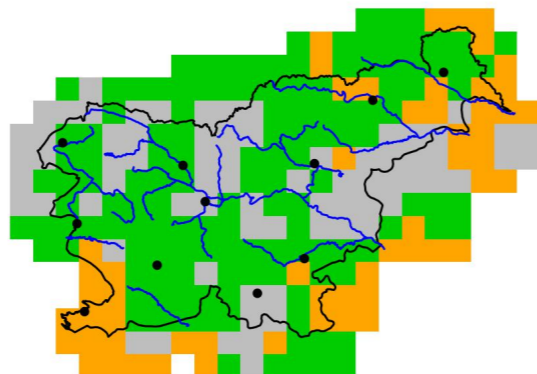


2071–2100

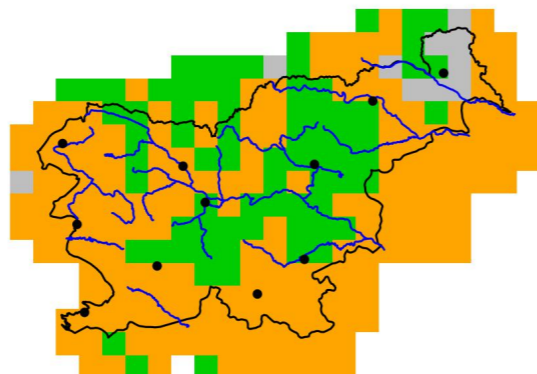


Zanesljivost

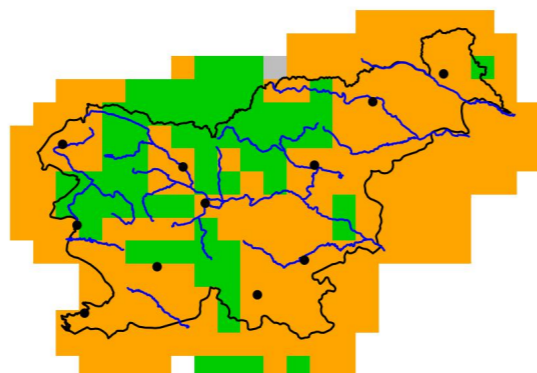
2011–2040



2041–2070



2071–2100

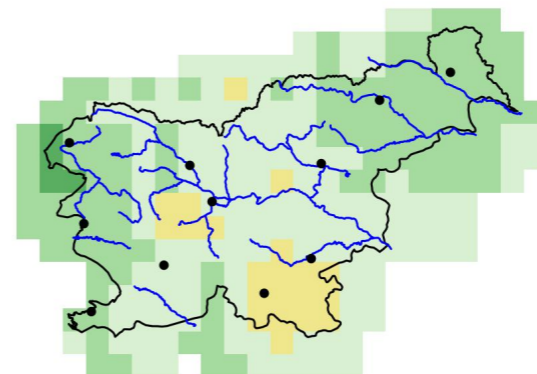


Slika 2.68 | Sprememba letnega povprečja največje petdnevne višine padavin na mesec v treh projekcijskih obdobjih glede na obdobje 1981–2010 in pripadajoča zanesljivost za scenarij RCP4.5

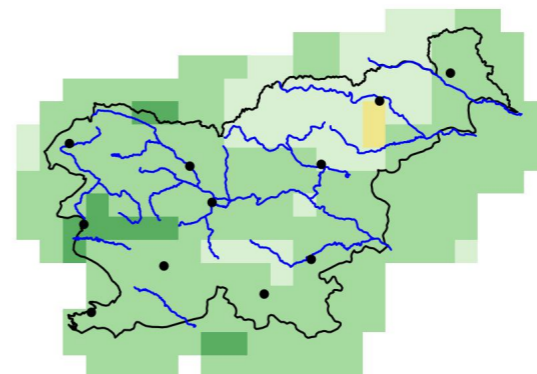
Največja petdnevna višina padavin (Rx5day), RCP4.5, pomlad

Odklon glede na obdobje 1981–2010

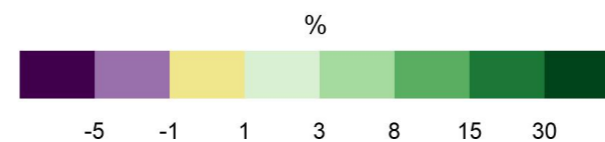
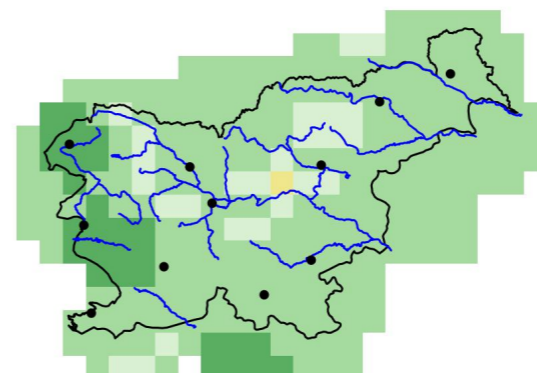
2011–2040



2041–2070

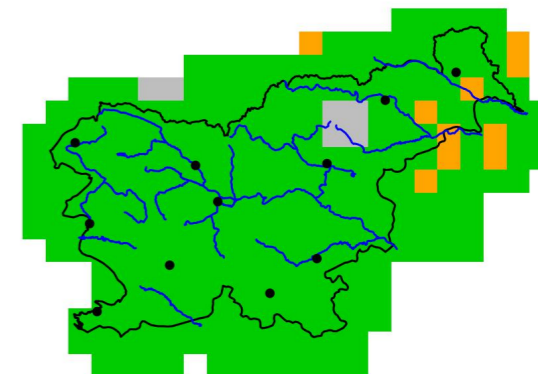


2071–2100

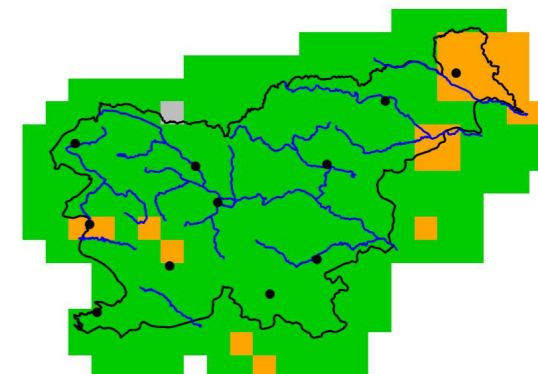


Zanesljivost

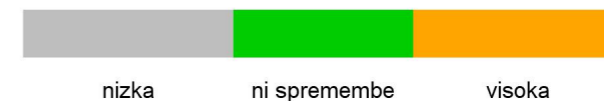
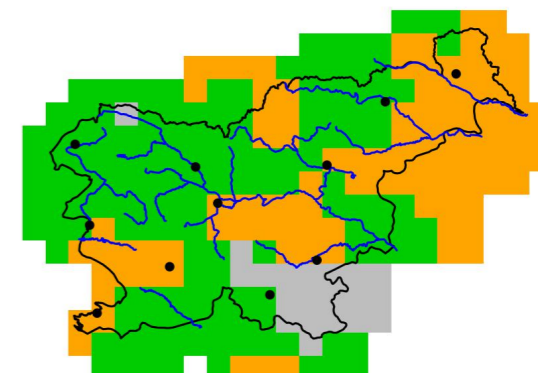
2011–2040



2041–2070



2071–2100



Slika 2.69 | Sprememba povprečne največje petdnevne višine padavin na mesec spomladi v treh projekcijskih obdobjih glede na obdobje 1981–2010 in pripadajoča zanesljivost za scenarij RCP4.5

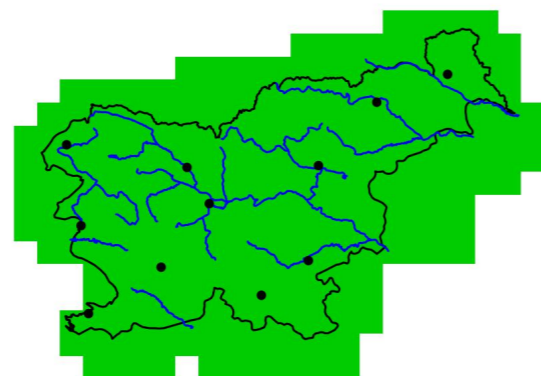
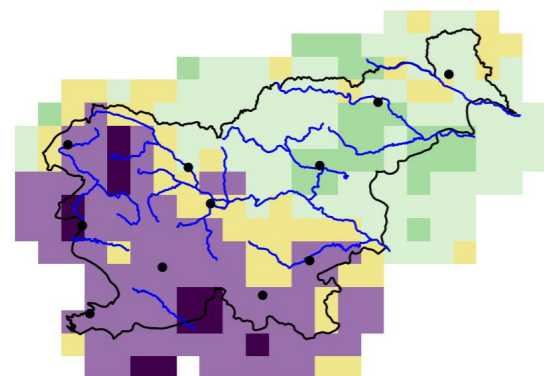
Največja petdnevna višina padavin (Rx5day), RCP4.5, poletje

Odklon glede na obdobje 1981–2010

Zanesljivost

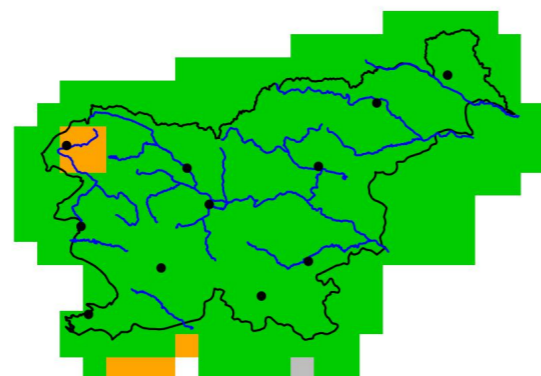
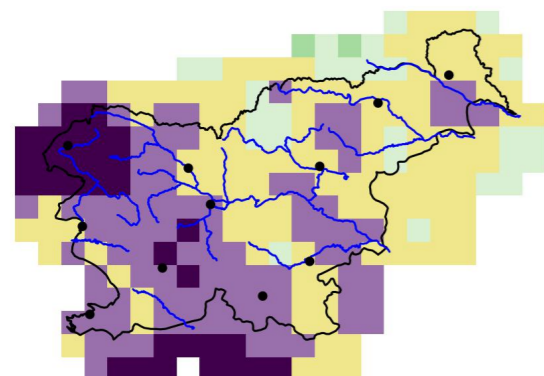
2011–2040

2011–2040



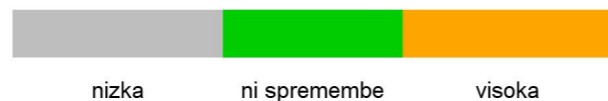
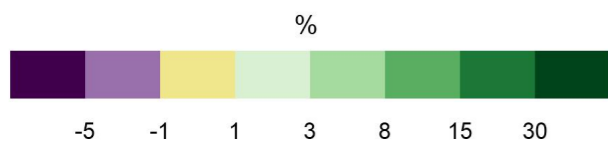
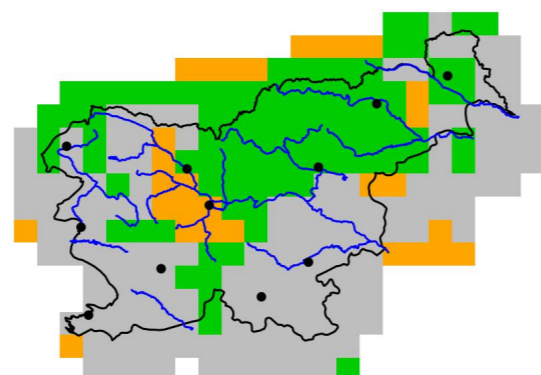
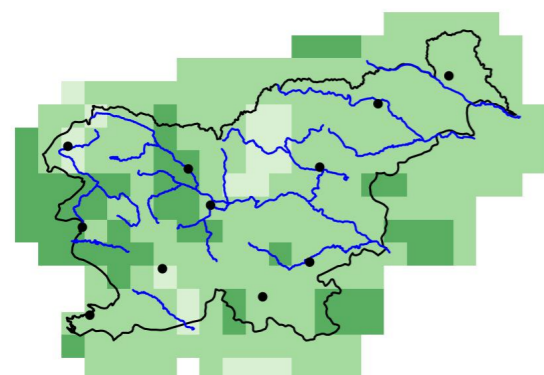
2041–2070

2041–2070



2071–2100

2071–2100



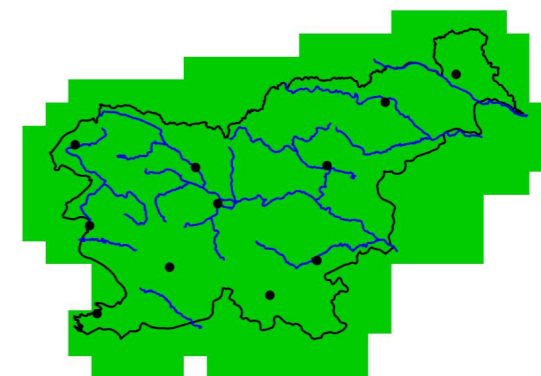
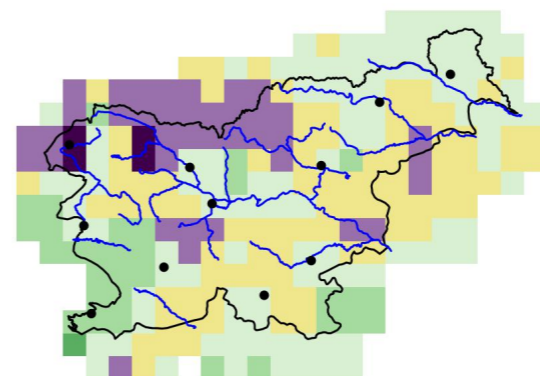
Največja petdnevna višina padavin (Rx5day), RCP4.5, jesen

Odklon glede na obdobje 1981–2010

Zanesljivost

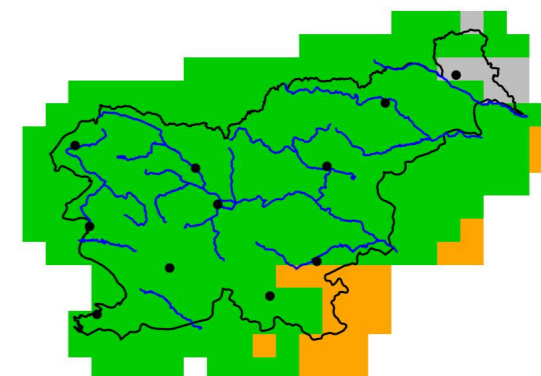
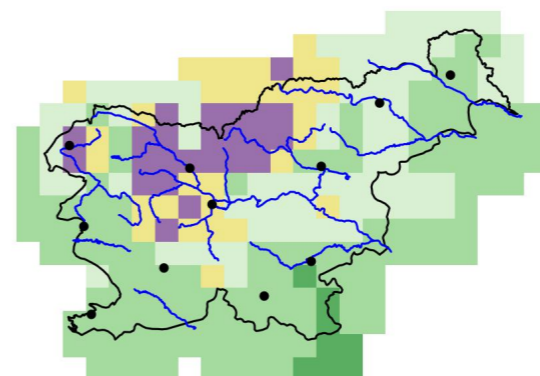
2011–2040

2011–2040



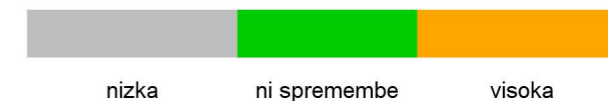
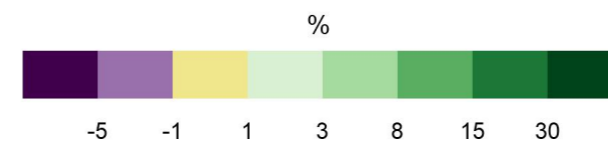
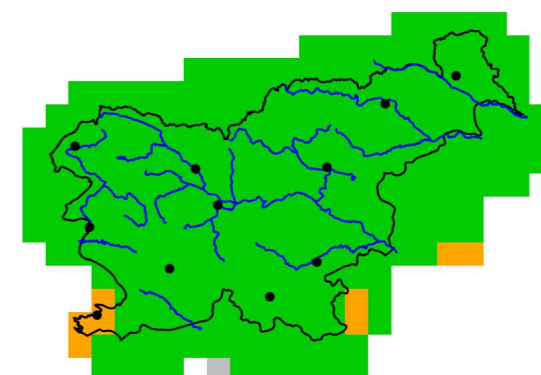
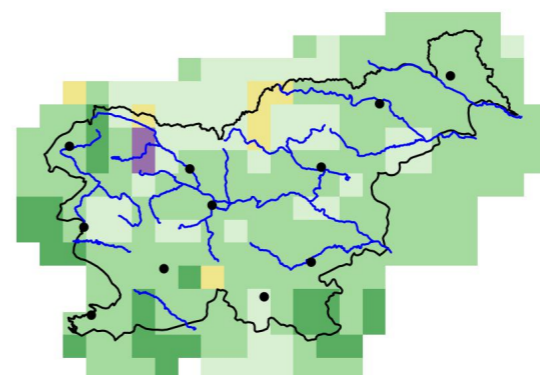
2041–2070

2041–2070



2071–2100

2071–2100



Slika 2.70 | Sprememba povprečne največje petdnevne višine padavin na mesec poleti v treh projekcijskih obdobjih glede na obdobje 1981–2010 in pripadajoča zanesljivost za scenarij RCP4.5

Slika 2.71 | Sprememba povprečne največje petdnevne višine padavin na mesec jeseni v treh projekcijskih obdobjih glede na obdobje 1981–2010 in pripadajoča zanesljivost za scenarij RCP4.5

Največja petdnevna višina padavin (Rx5day), RCP4.5, zima

Največja petdnevna višina padavin (Rx5day), RCP8.5

Odklon glede na obdobje 1981–2010

Zanesljivost

Odklon glede na obdobje 1981–2010

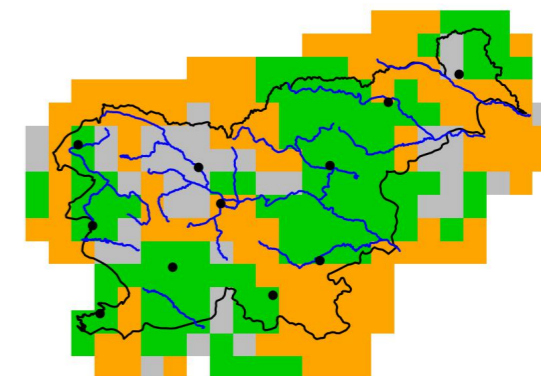
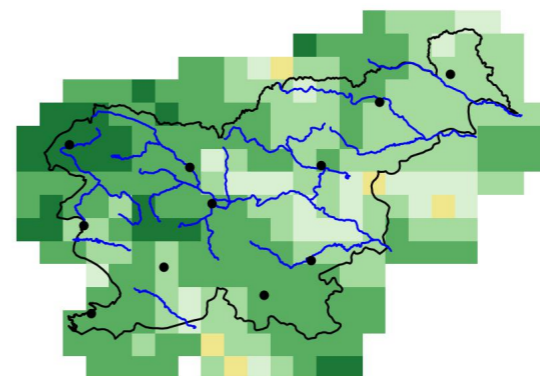
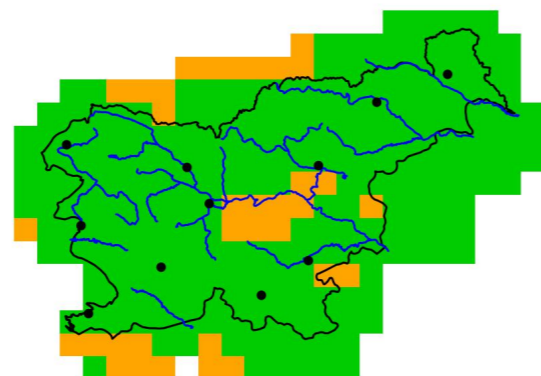
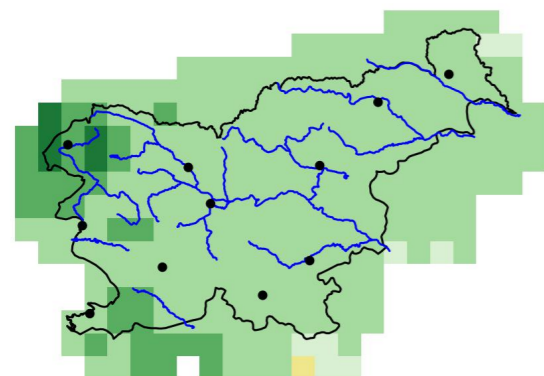
Zanesljivost

2011–2040

2011–2040

2011–2040

2011–2040

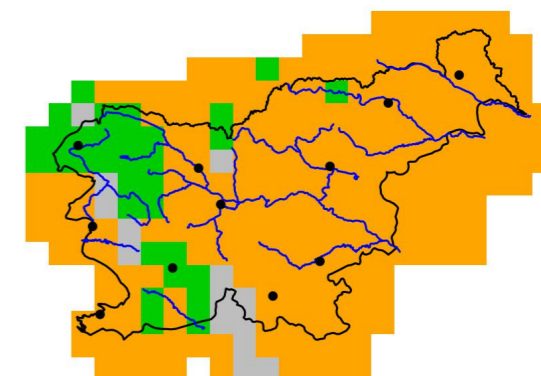
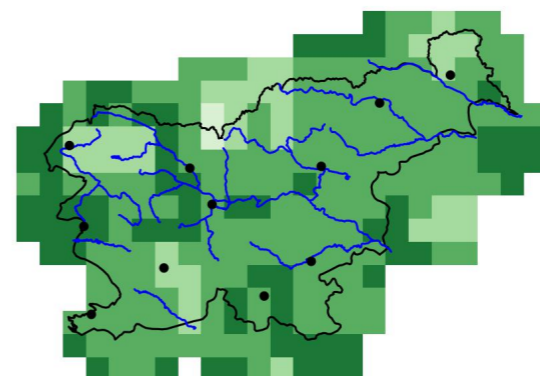
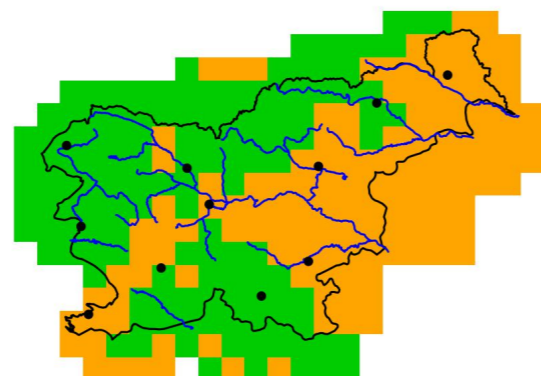
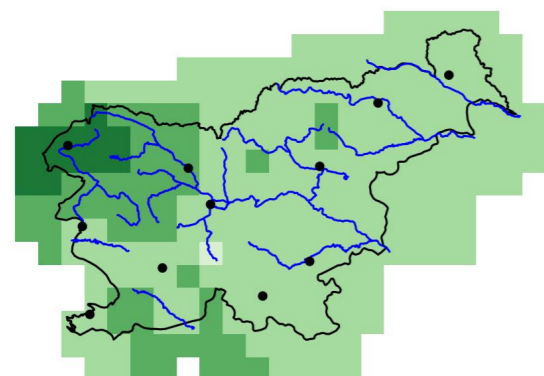


2041–2070

2041–2070

2041–2070

2041–2070

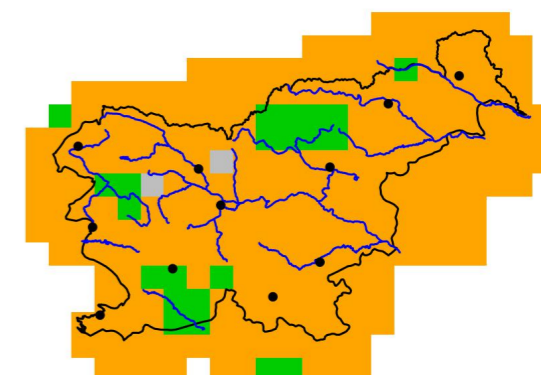
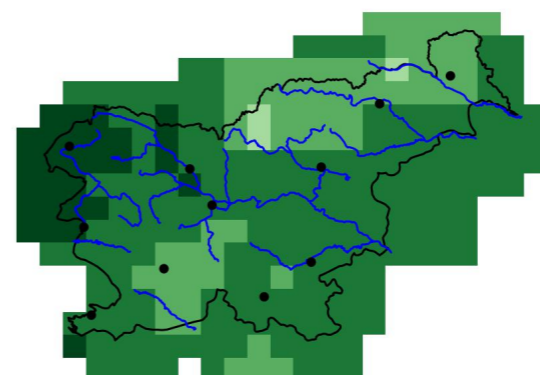
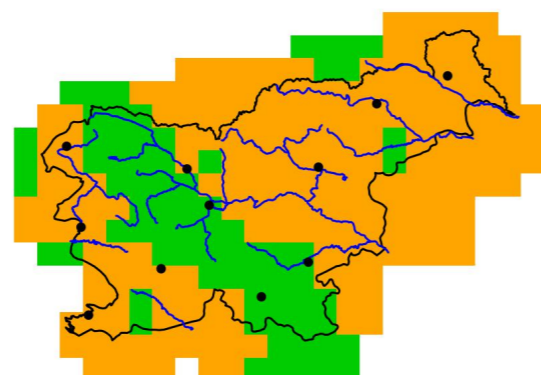
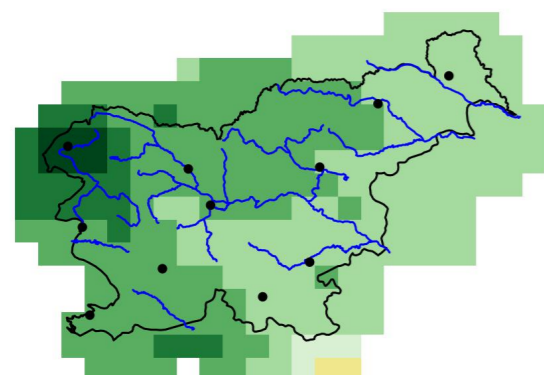


2071–2100

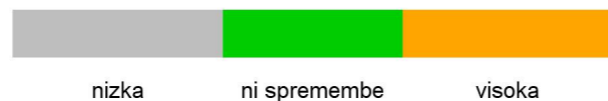
2071–2100

2071–2100

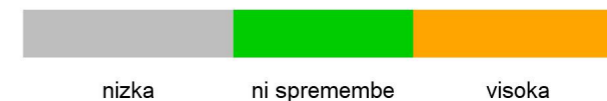
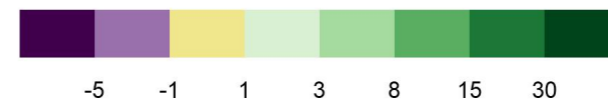
2071–2100



%



%



Slika 2.72 | Sprememba povprečne največje petdnevne višine padavin na mesec pozimi v treh projekcijskih obdobjih glede na obdobje 1981–2010 in pripadajoča zanesljivost za scenarij RCP4.5

Slika 2.73 | Sprememba letnega povprečja največje petdnevne višine padavin na mesec v treh projekcijskih obdobjih glede na obdobje 1981–2010 in pripadajoča zanesljivost za scenarij RCP8.5

Največja petdnevna višina padavin (Rx5day), RCP8.5, pomlad

Največja petdnevna višina padavin (Rx5day), RCP8.5, poletje

Odklon glede na obdobje 1981–2010

Zanesljivost

Odklon glede na obdobje 1981–2010

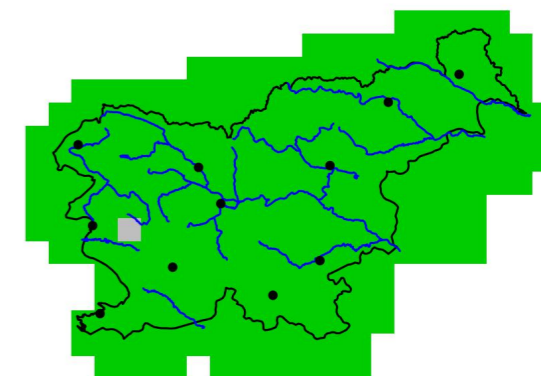
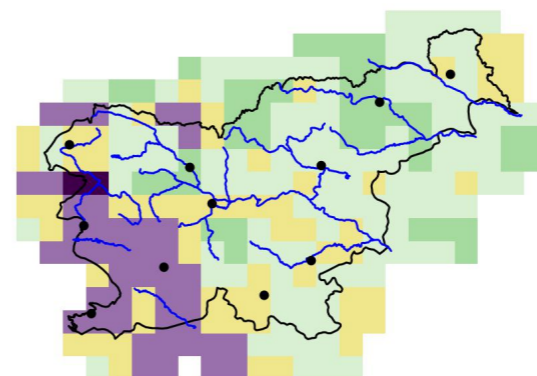
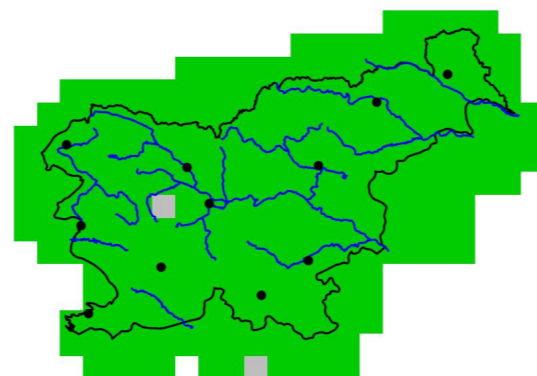
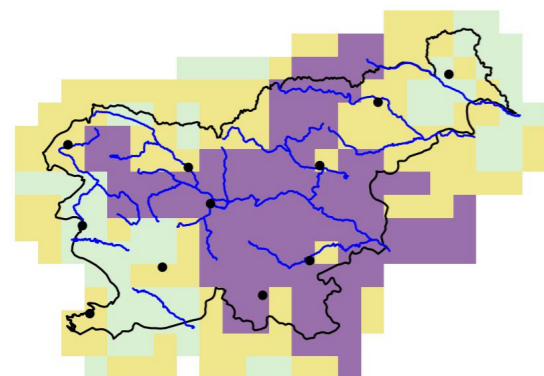
Zanesljivost

2011–2040

2011–2040

2011–2040

2011–2040

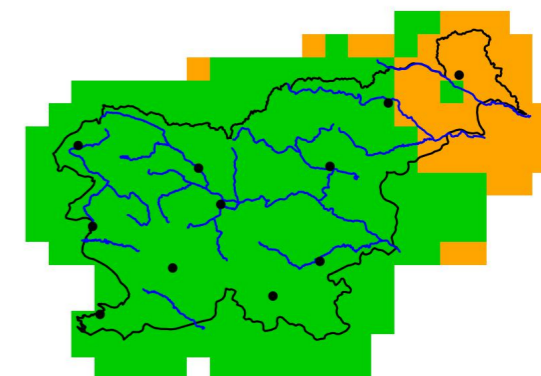
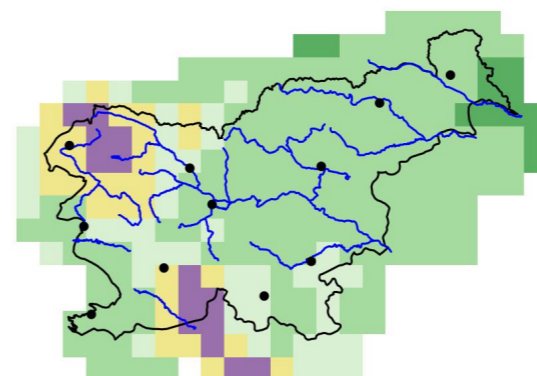
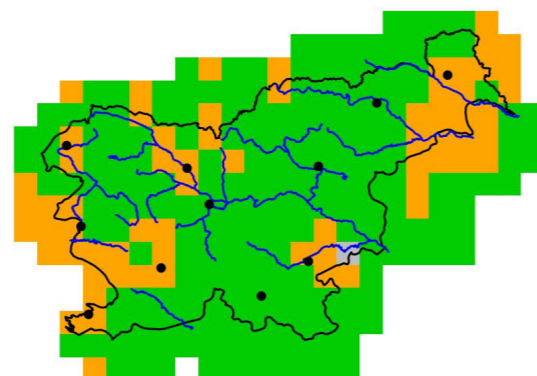
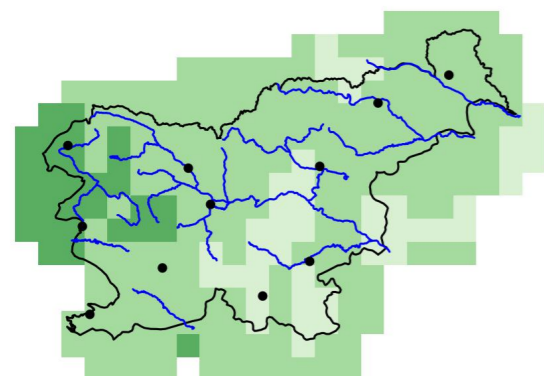


2041–2070

2041–2070

2041–2070

2041–2070

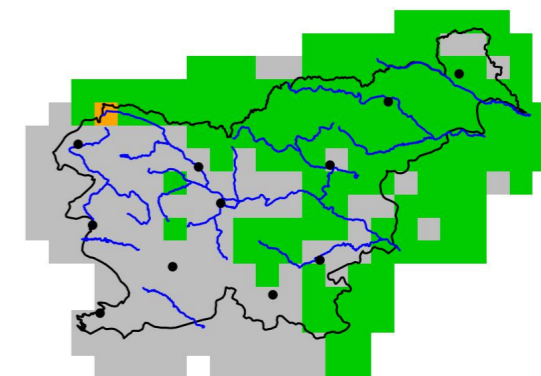
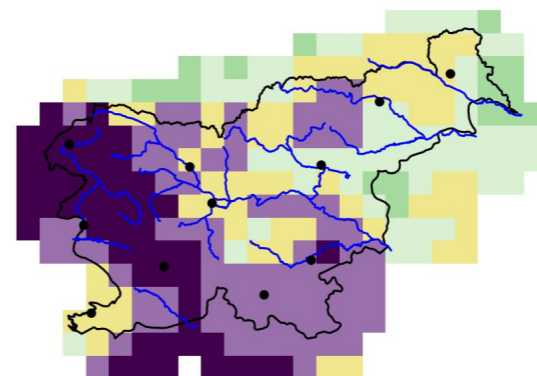
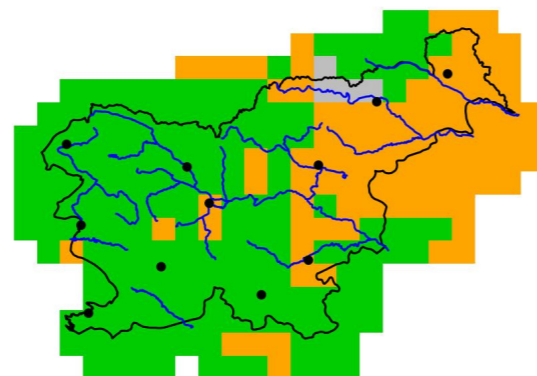
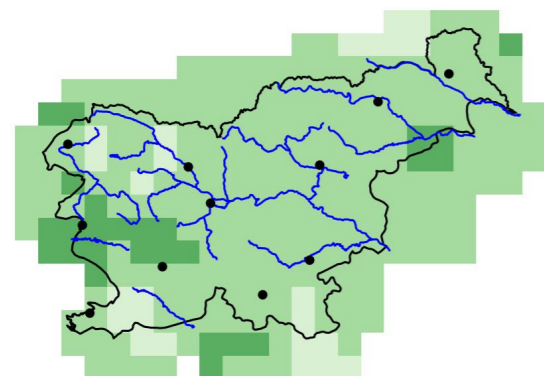


2071–2100

2071–2100

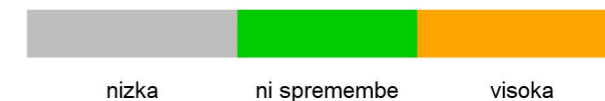
2071–2100

2071–2100



%

%



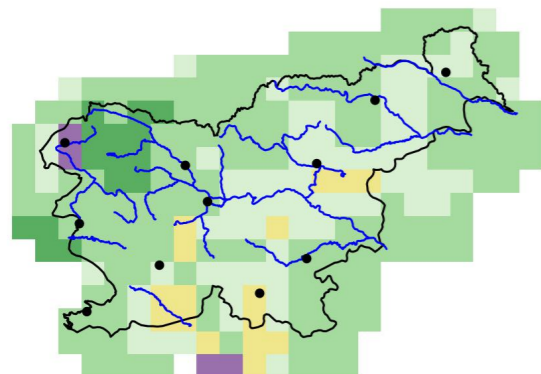
Slika 2.74 | Sprememba povprečne največje petdnevne višine padavin na mesec spomladi v treh projekcijskih obdobjih glede na obdobje 1981–2010 in pripadajoča zanesljivost za scenarij RCP8.5

Slika 2.75 | Sprememba povprečne največje petdnevne višine padavin na mesec poleti v treh projekcijskih obdobjih glede na obdobje 1981–2010 in pripadajoča zanesljivost za scenarij RCP8.5

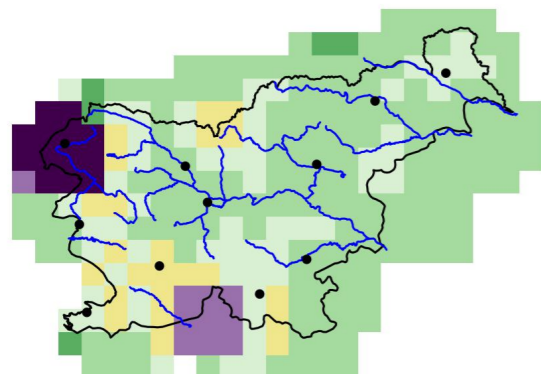
Največja petdnevna višina padavin (Rx5day), RCP8.5, jesen

Odklon glede na obdobje 1981–2010

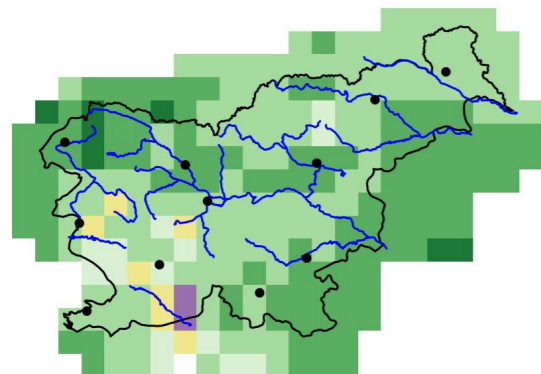
2011–2040



2041–2070

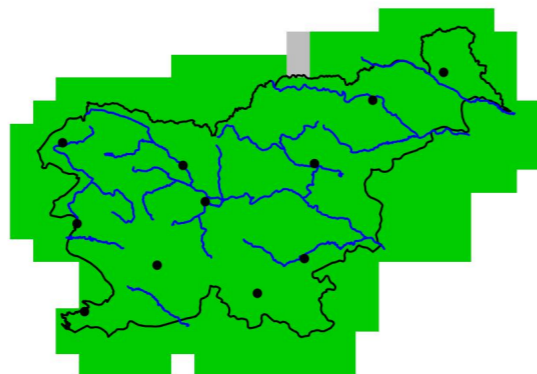


2071–2100

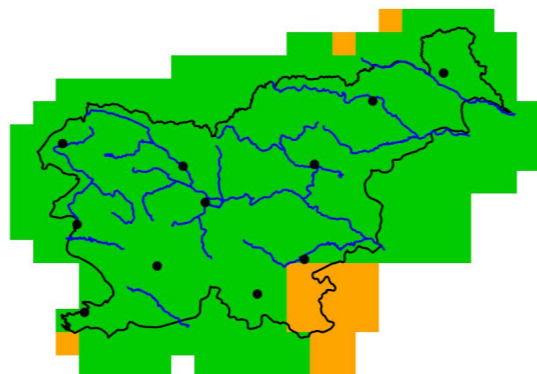


Zanesljivost

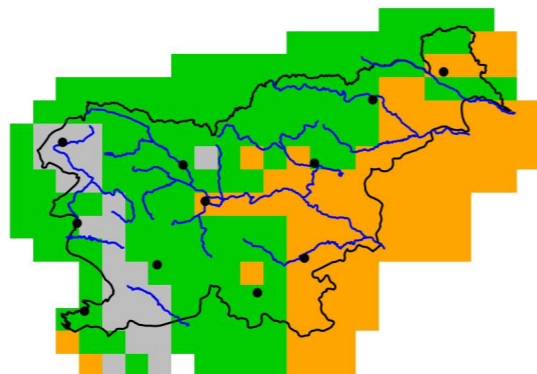
2011–2040



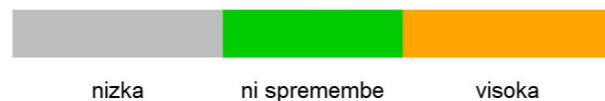
2041–2070



2071–2100



%

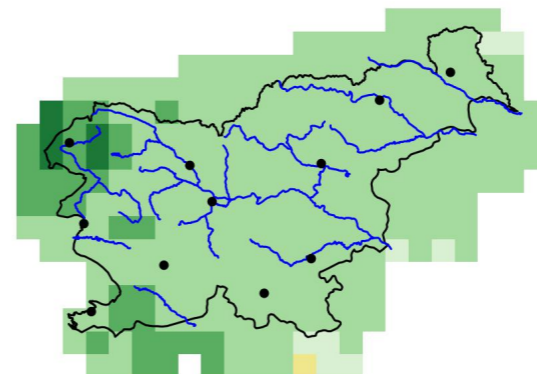


Slika 2.76 | Sprememba povprečne največje petdnevne višine padavin na mesec jeseni v treh projekcijskih obdobjih glede na obdobje 1981–2010 in pripadajoča zanesljivost za scenarij RCP8.5

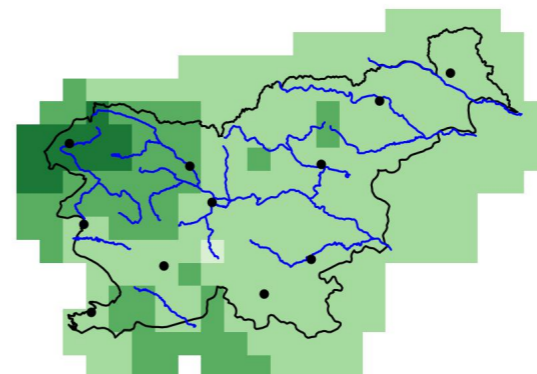
Največja petdnevna višina padavin (Rx5day), RCP4.5, zima

Odklon glede na obdobje 1981–2010

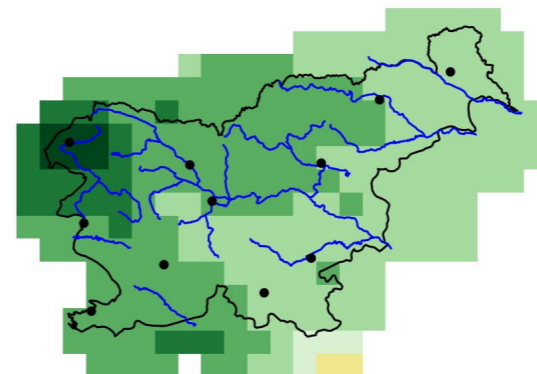
2011–2040



2041–2070

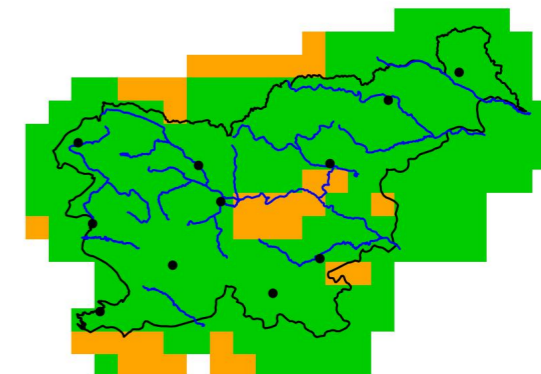


2071–2100

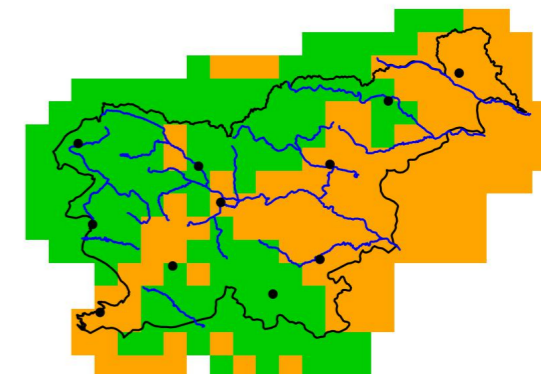


Zanesljivost

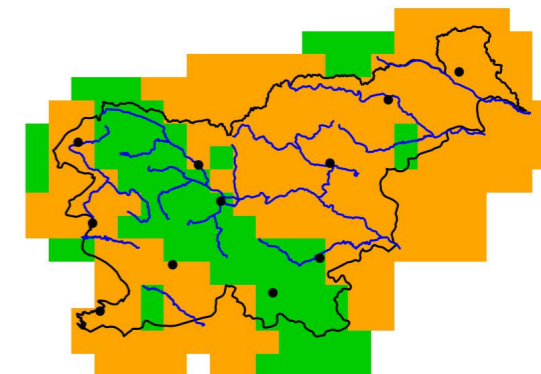
2011–2040



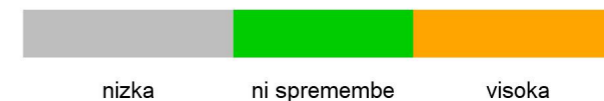
2041–2070



2071–2100

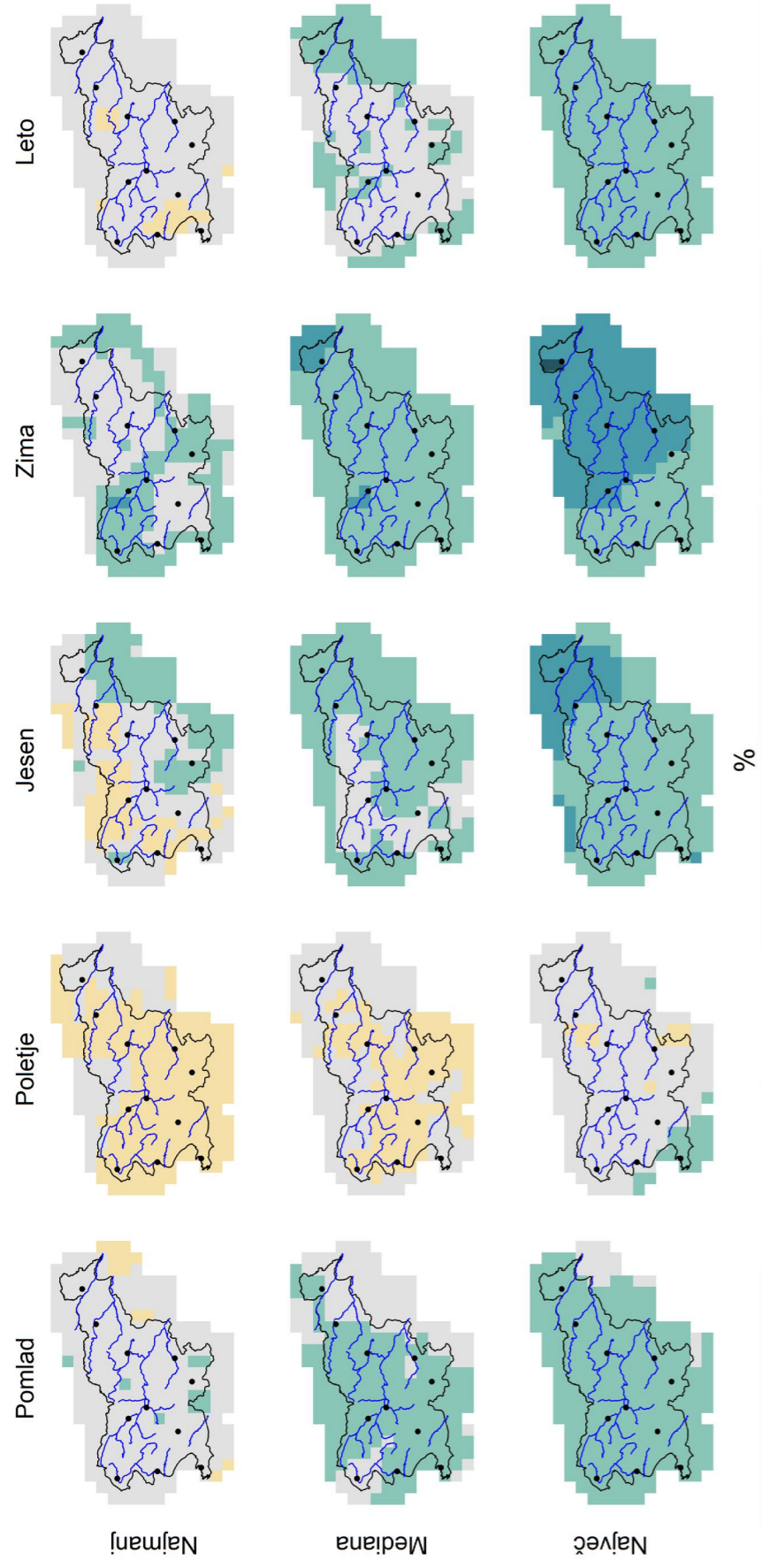


%



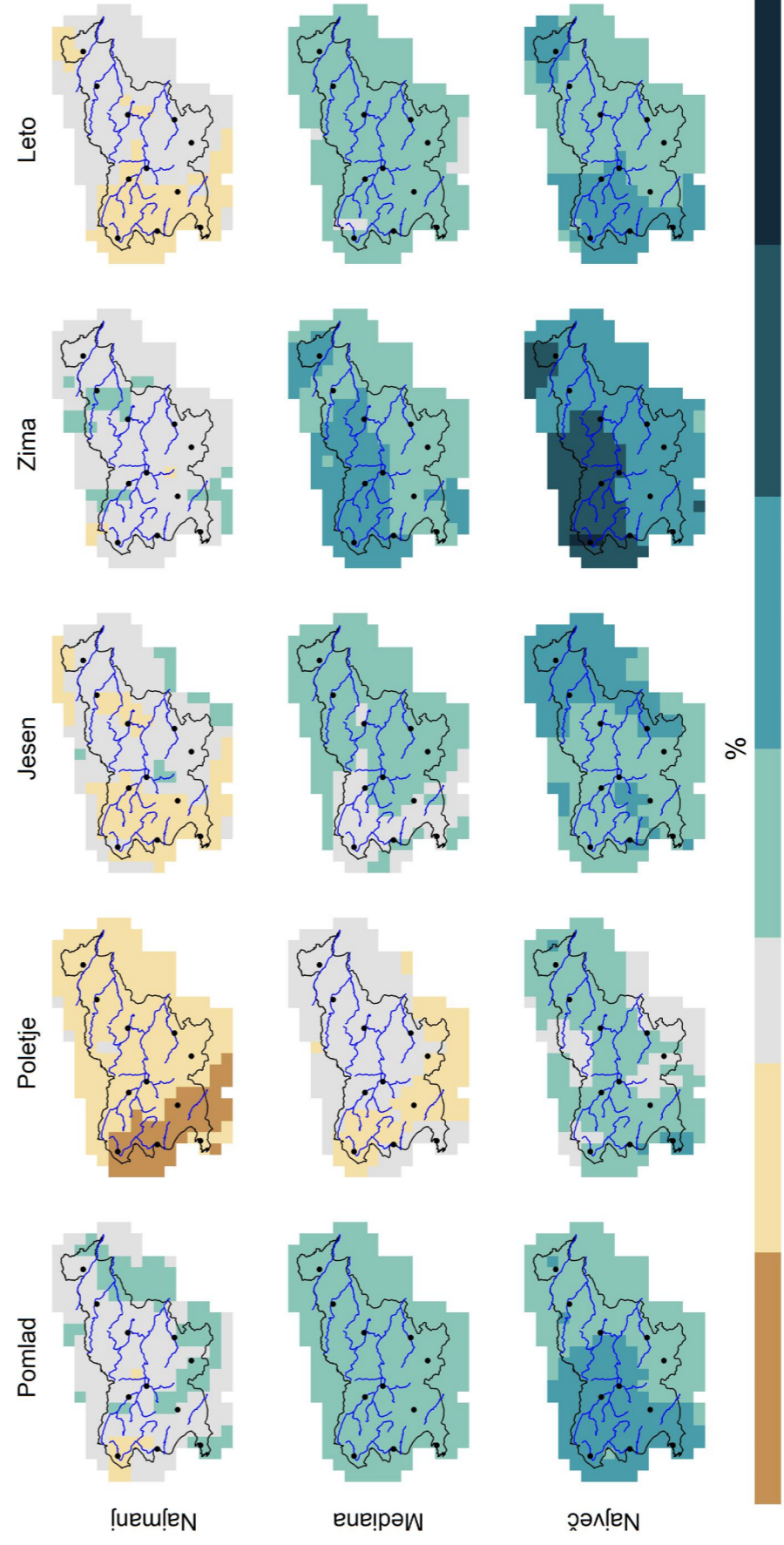
Slika 2.77 | Sprememba povprečne največje petdnevne višine padavin na mesec pozimi v treh projekcijskih obdobjih glede na obdobje 1981–2010 in pripadajoča zanesljivost za scenarij RCP8.5

Padavine, RCP2.6, 2011–2040



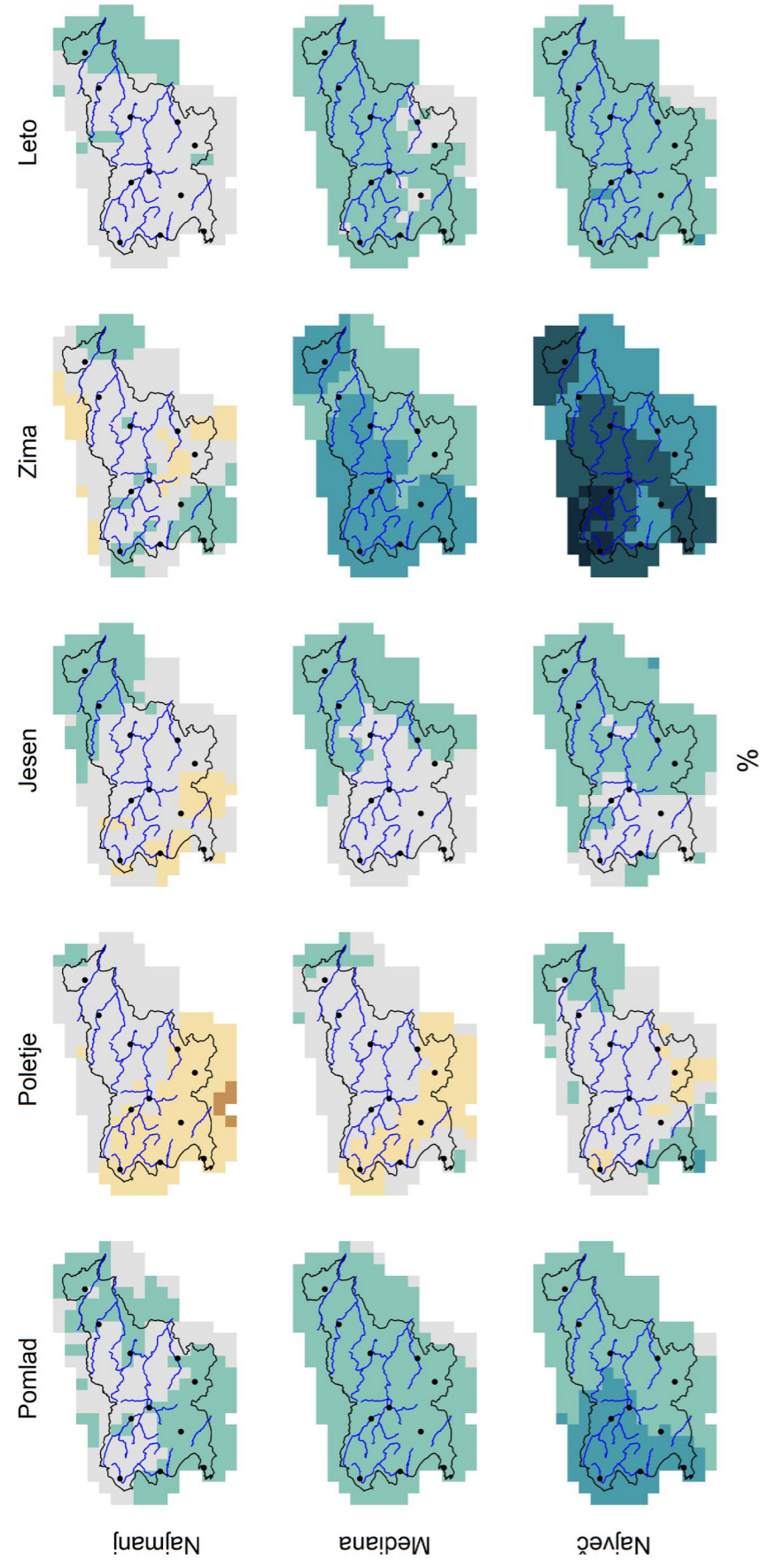
Slika 2.78 | Najmanjša vrednost, mediana in največja vrednost modelske spremembe v obdobju 2011–2040 glede na obdobje 1981–2010 za povprečno višino padavin po meteoroloških letnih časih in za celo leto po scenariju RCP2.6

Padavine, RCP2.6, 2041–2070



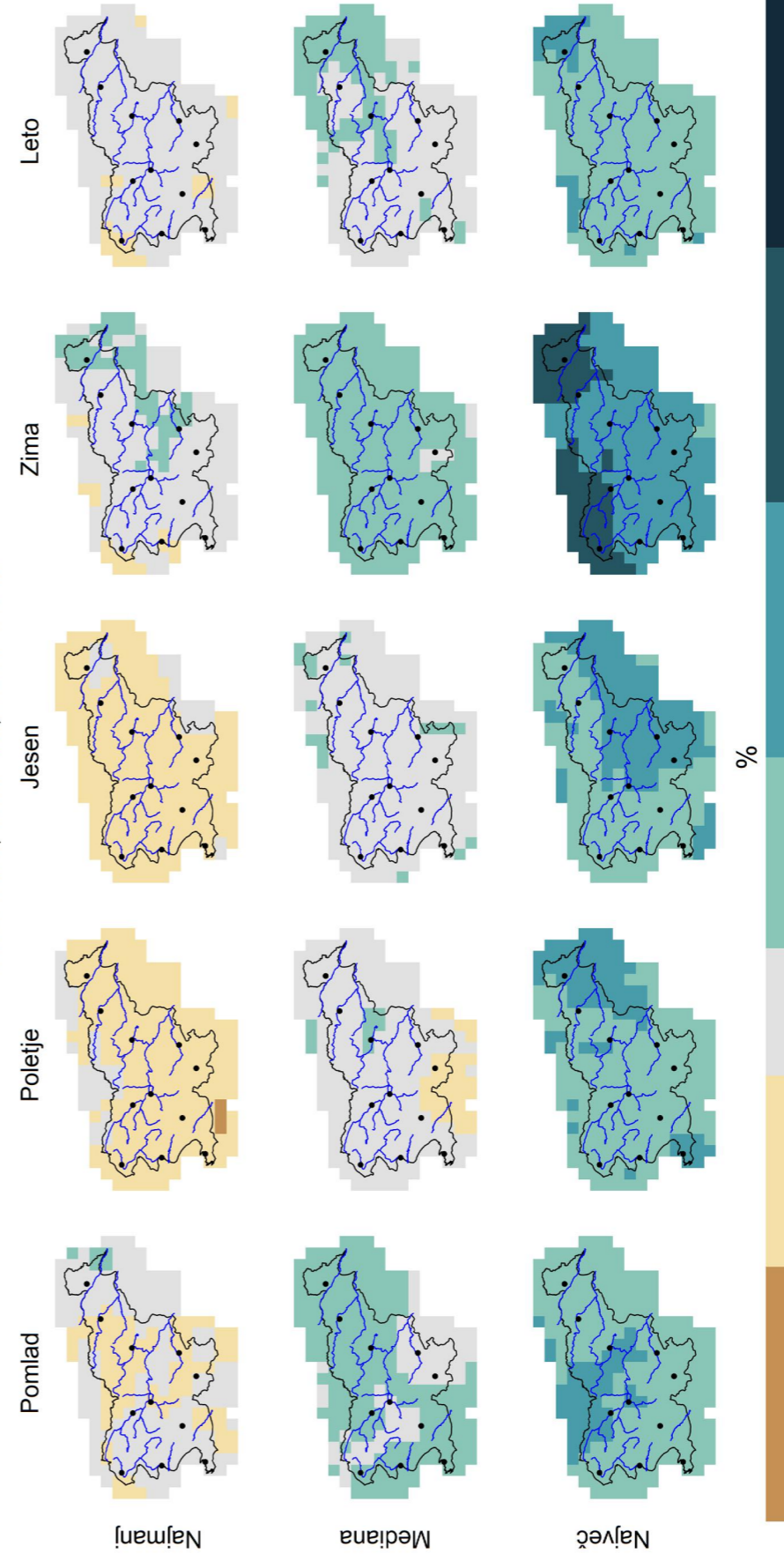
Slika 2.79 | Najmanjša vrednost, mediana in največja vrednost modelske spremembe v obdobju 2041–2070 glede na obdobje 1981–2010 za povprečno višino padavin po meteoroloških letnih časih in za celo leto po scenariju RCP2.6

Padavine, RCP2.6, 2071–2100



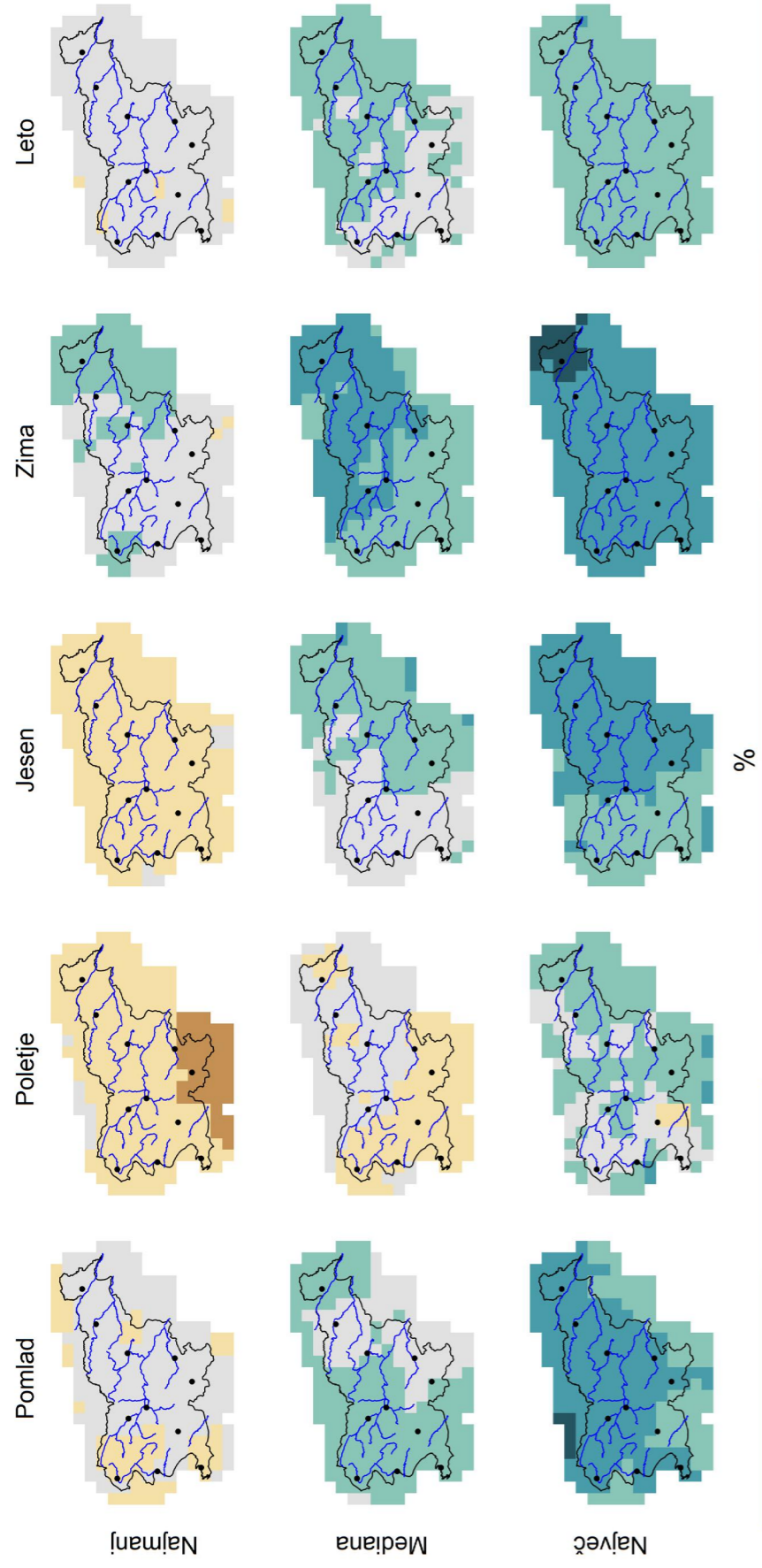
Slika 2.80 | Najmanjša vrednost, mediana in največja vrednost modelske spremembe v obdobju 2071–2100 glede na obdobje 1981–2010 za povprečno višino padavin po meteoroloških letnih časih in za celo leto po scenariju RCP2.6

Padavine, RCP4.5, 2011–2040



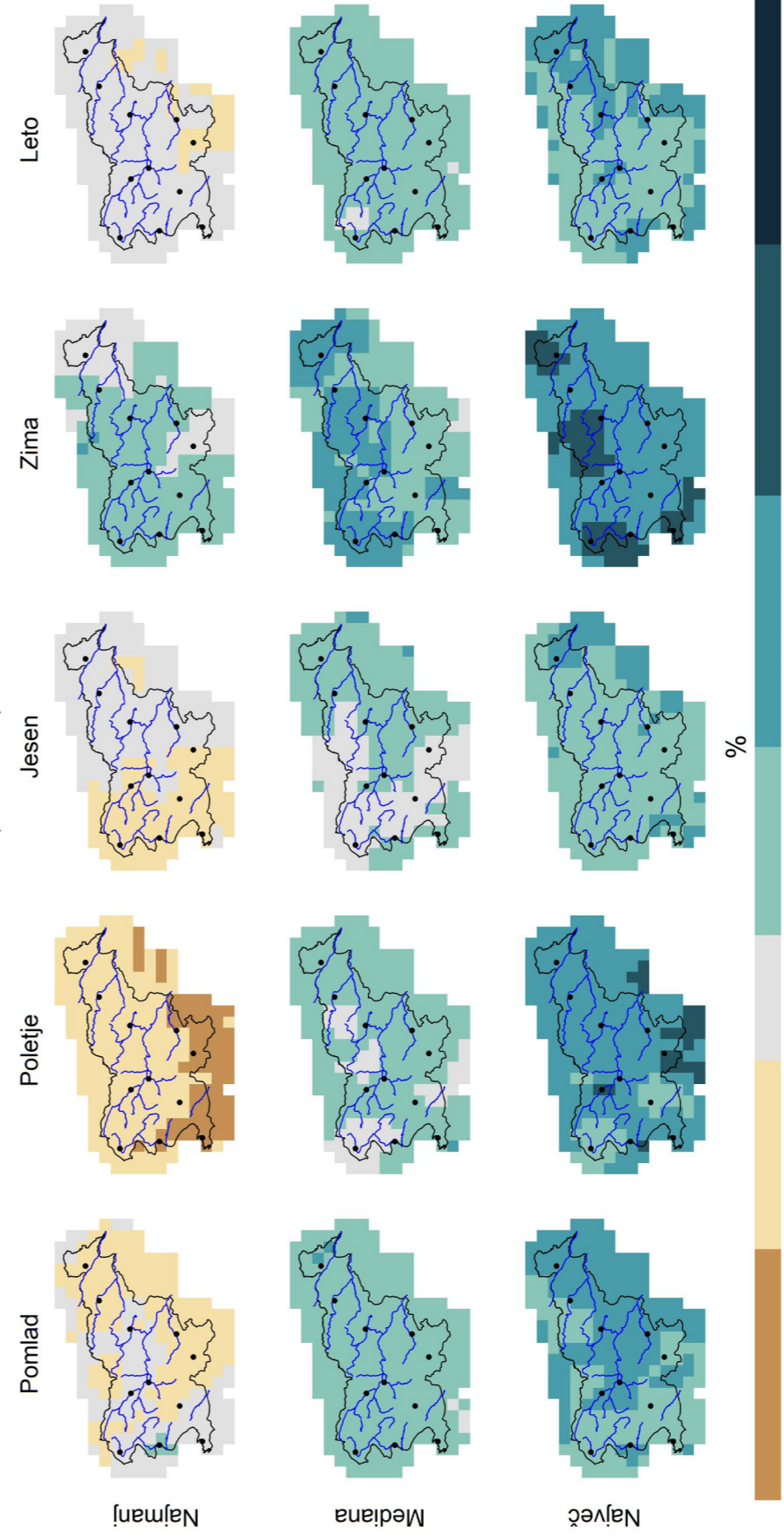
Slika 2.81 | Najmanjša vrednost, mediana in največja vrednost modelske spremembe v obdobju 2011–2040 glede na obdobje 1981–2010 za povprečno višino padavin po meteoroloških letnih časih in za celo leto po scenariju RCP4.5

Padavine, RCP4.5, 2041–2070



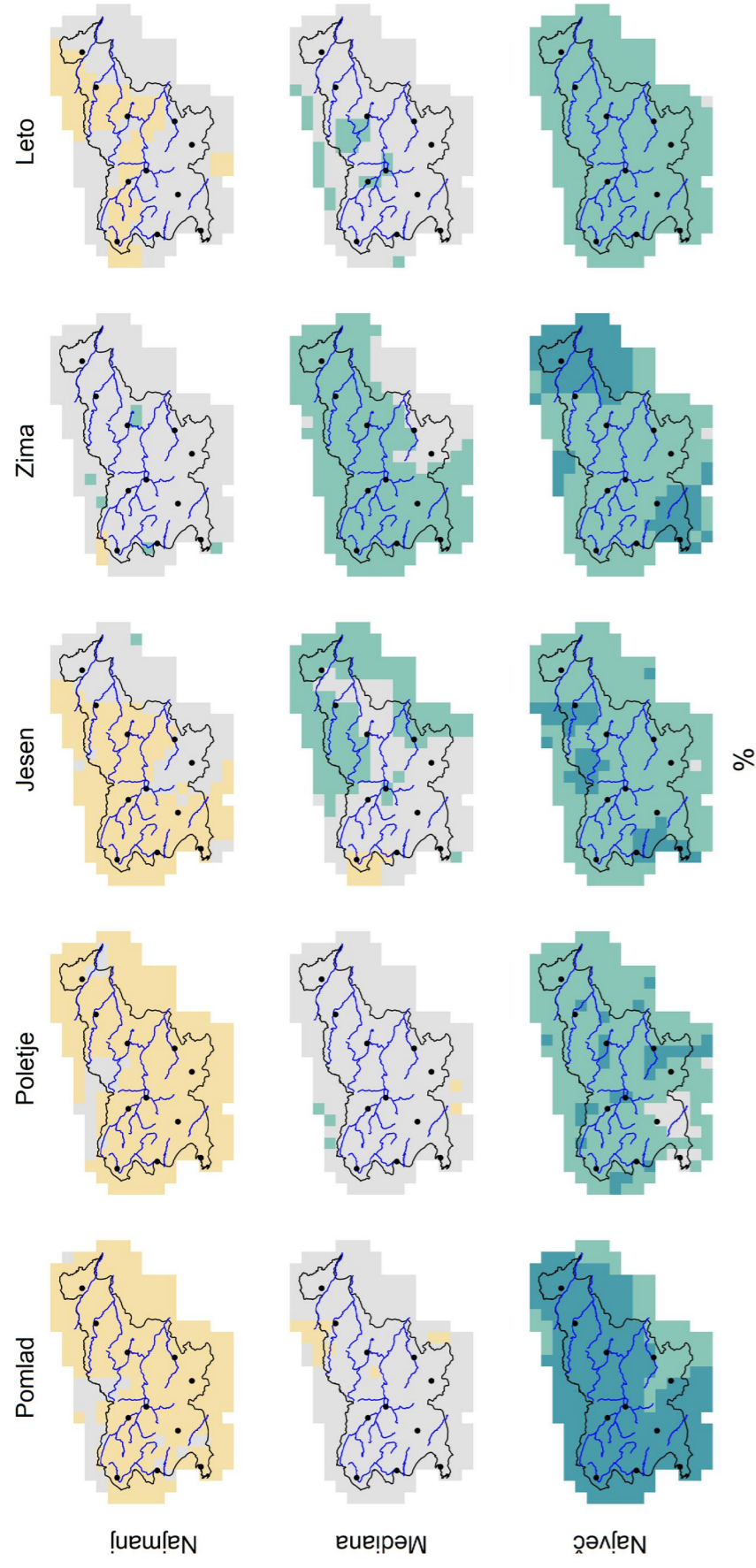
Slika 2.82 | Najmanjša vrednost, mediana in največja vrednost modelske spremembe v obdobju 2041–2070 glede na obdobje 1981–2010 za povprečno višino padavin po meteoroloških letnih časih in za celo leto po scenariju RCP4.5

Padavine, RCP4.5, 2071–2100



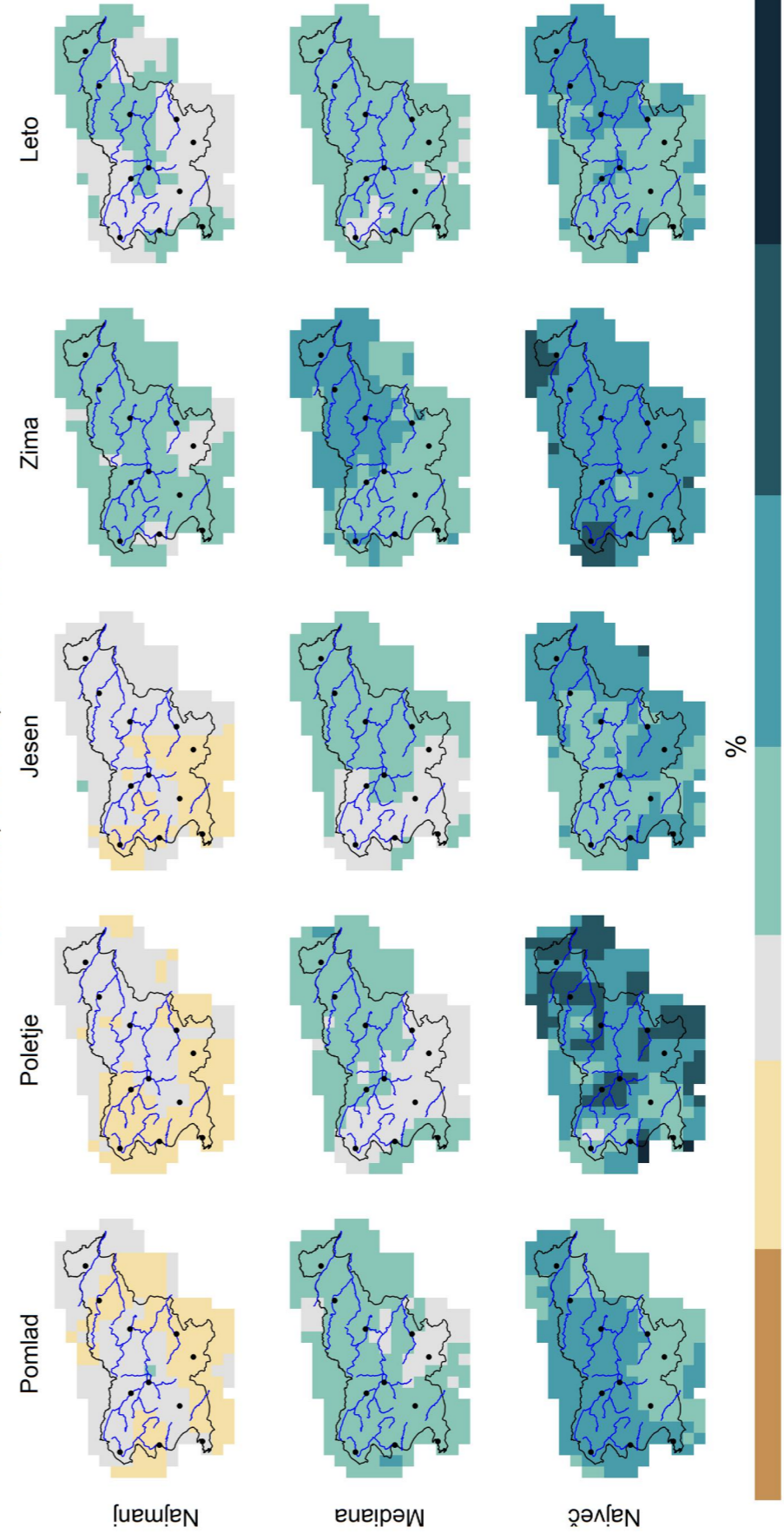
Slika 2.83 | Najmanjša vrednost, mediana in največja vrednost modelske spremembe v obdobju 2071–2100 glede na obdobje 1981–2010 za povprečno višino padavin po meteoroloških letnih časih in za celo leto po scenariju RCP4.5

Padavine, RCP8.5, 2011–2040



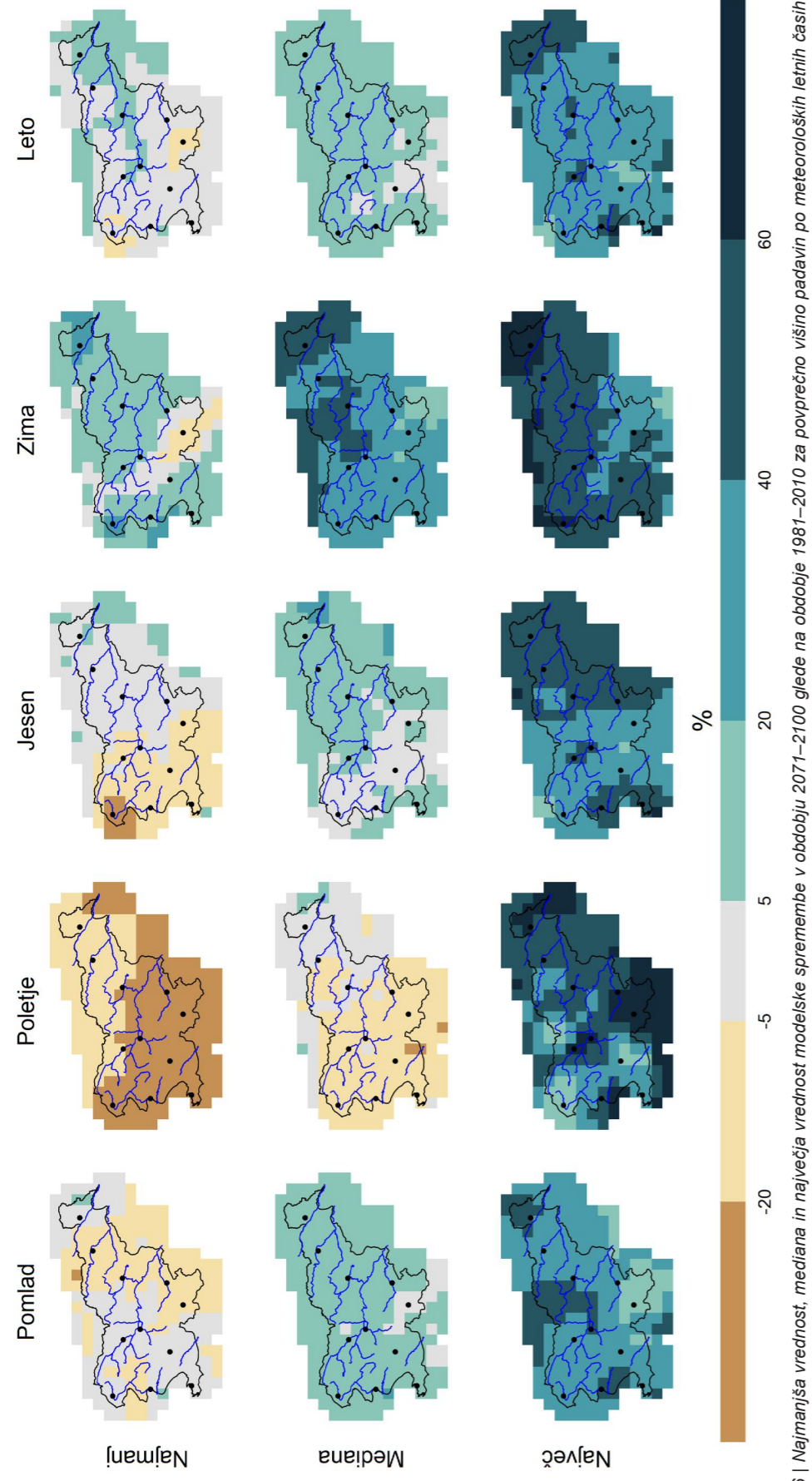
Slika 2.84 | Najmanjša vrednost, mediana in največja vrednost modelske spremembe v obdobju 2011–2040 glede na obdobje 1981–2010 za povprečno višino padavin po meteoroloških letnih časih in za celo leto po scenariju RCP8.5

Padavine, RCP8.5, 2041–2070

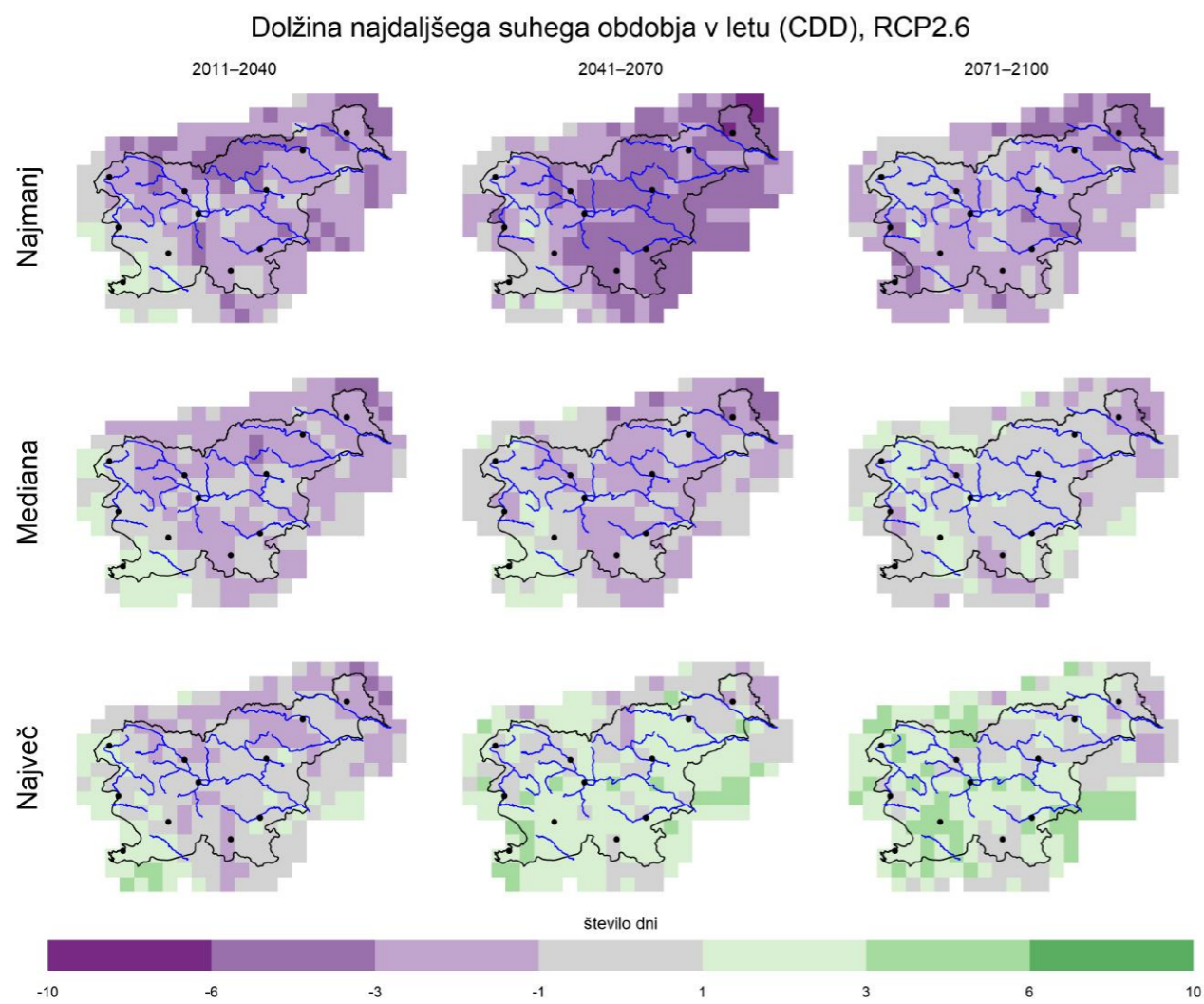


Slika 2.85 | Najmanjša vrednost, mediana in največja vrednost modelske spremembe v obdobju 2041–2070 glede na obdobje 1981–2010 za povprečno višino padavin po meteoroloških letnih časih in za celo leto po scenariju RCP8.5

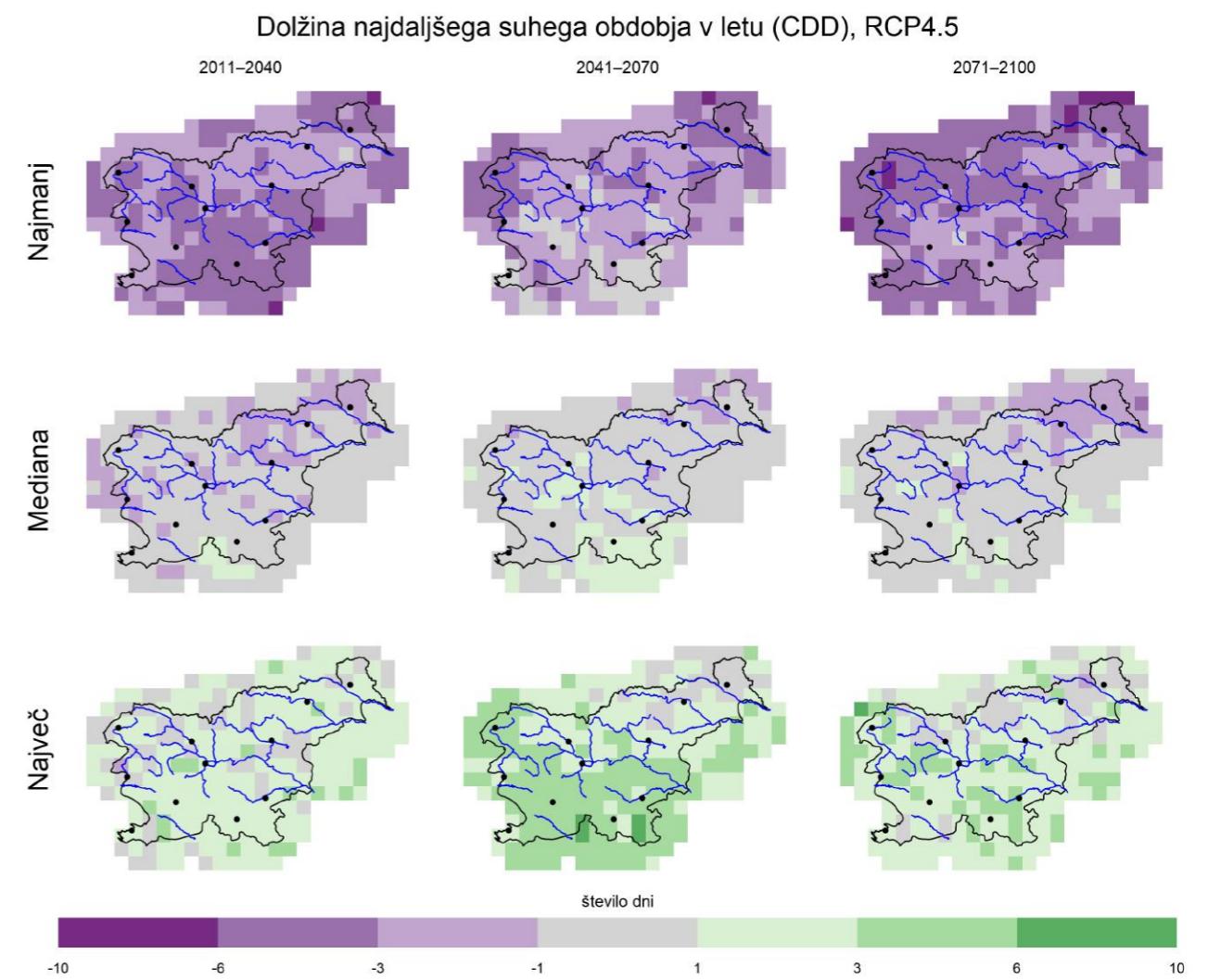
Padavine, RCP8.5, 2071–2100



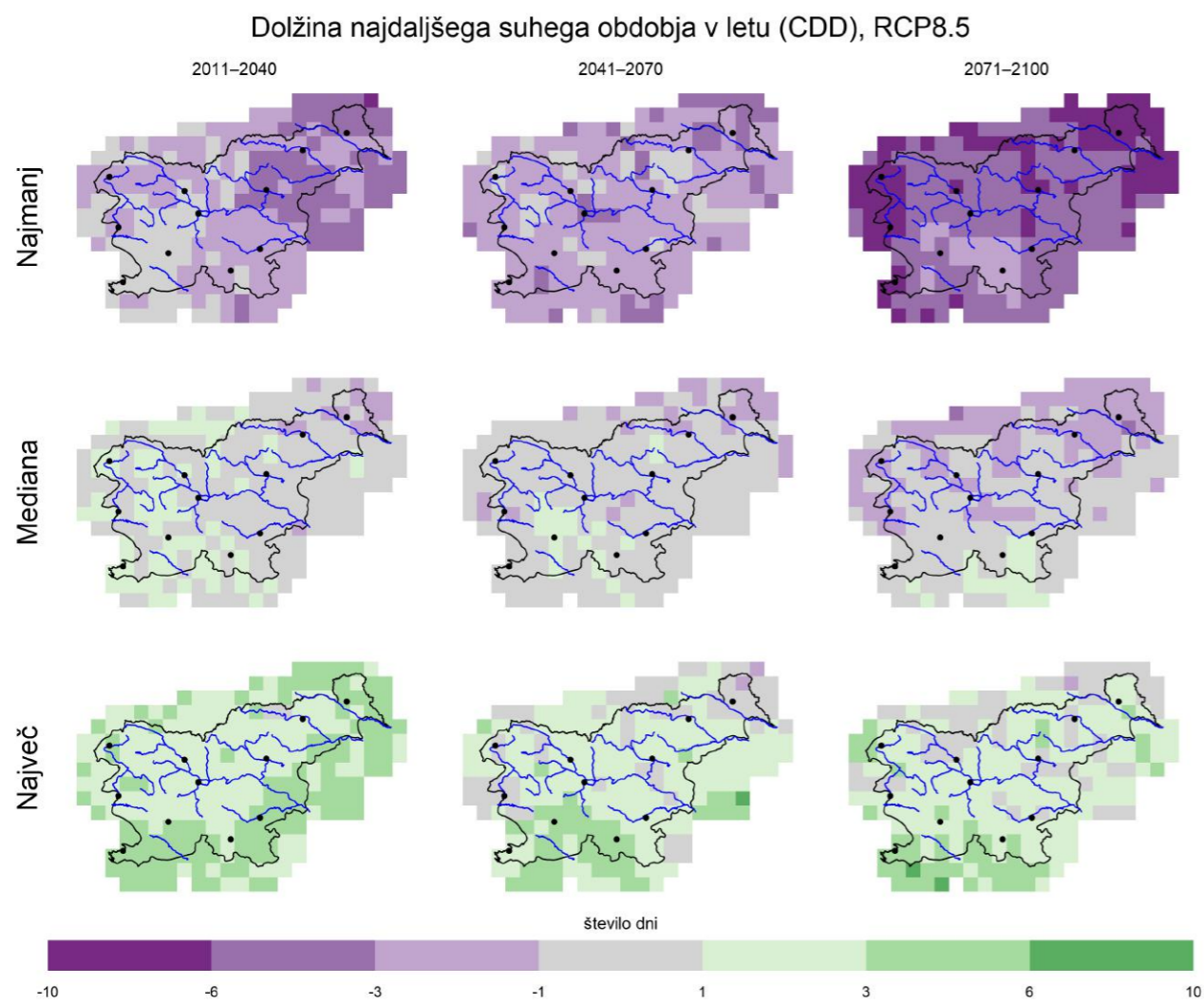
Slika 2.86 | Najmanjša vrednost, mediana in največja vrednost modelske spremembe v obdobju 2071–2100 glede na obdobje 1981–2010 za povprečno višino padavin po meteoroloških letnih časih in za celo leto po scenariju RCP8.5



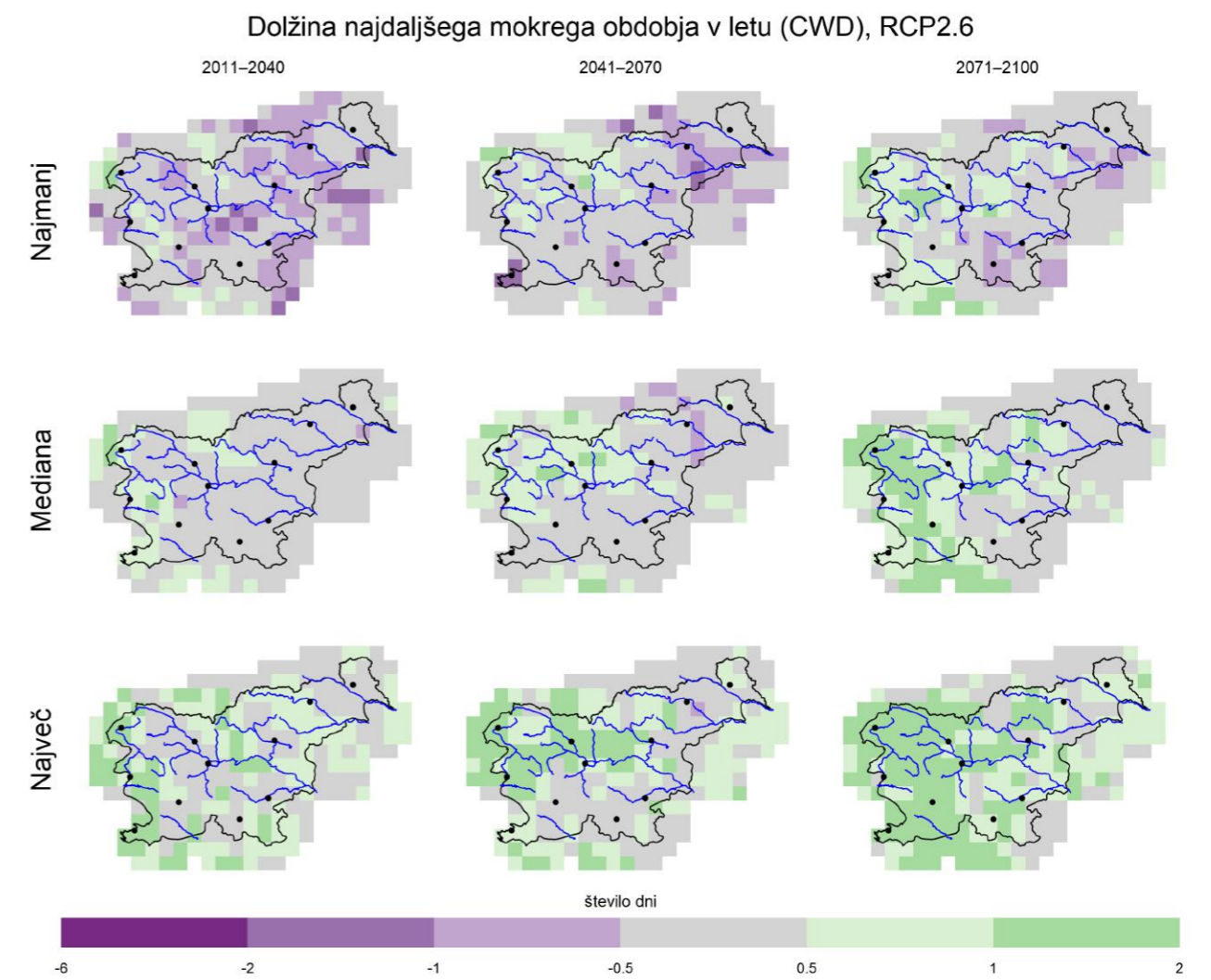
Slika 2.87 | Najmanjša vrednost, mediana in največja vrednost modelske spremembe glede na obdobje 1981–2010 za povprečno dolžino najdaljšega suhega obdobja v letu (CDD) v treh projekcijskih obdobjih po scenariju RCP2.6



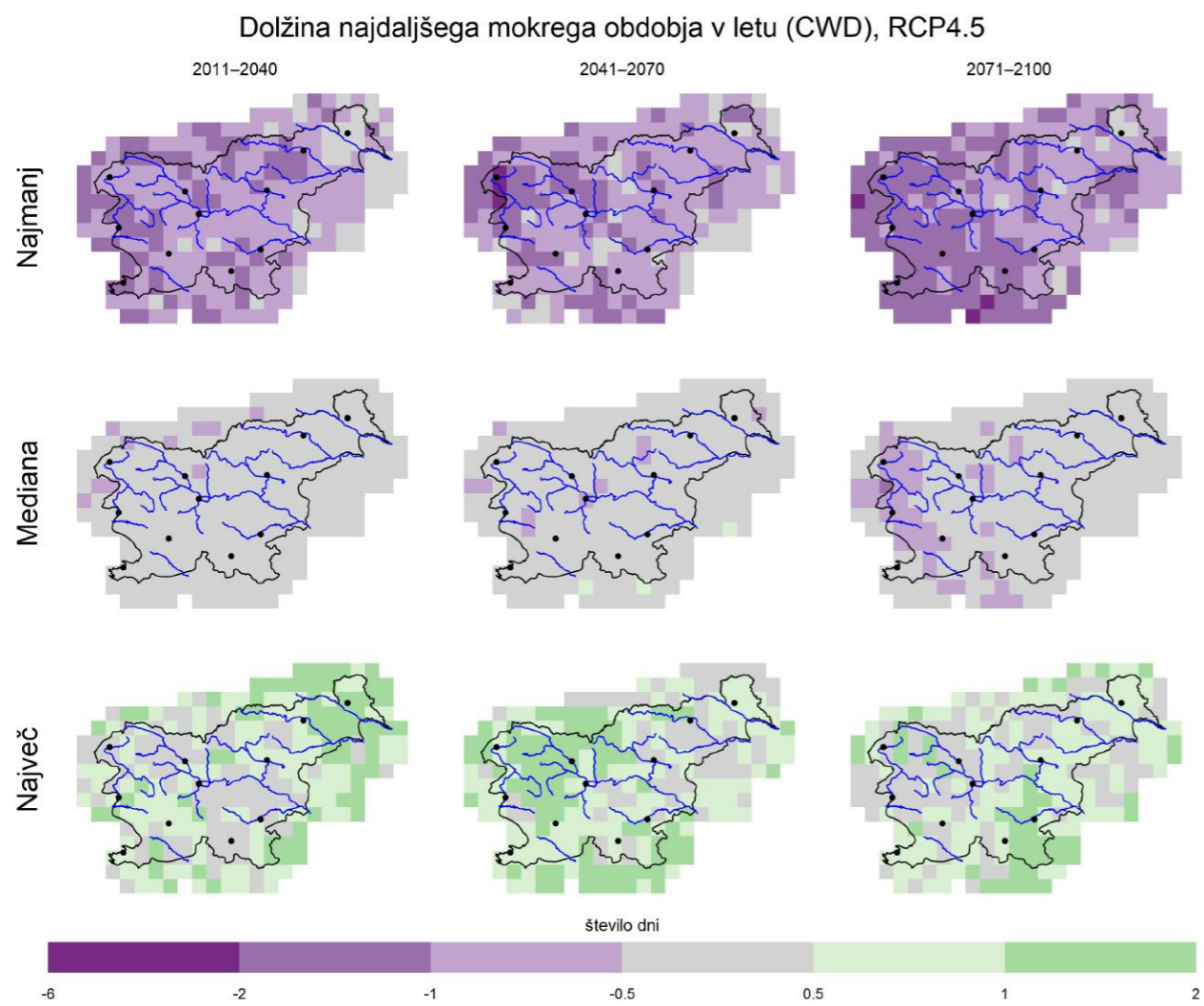
Slika 2.88 | Najmanjša vrednost, mediana in največja vrednost modelske spremembe glede na obdobje 1981–2010 za povprečno dolžino najdaljšega suhega obdobja v letu (CDD) v treh projekcijskih obdobjih po scenariju RCP4.5



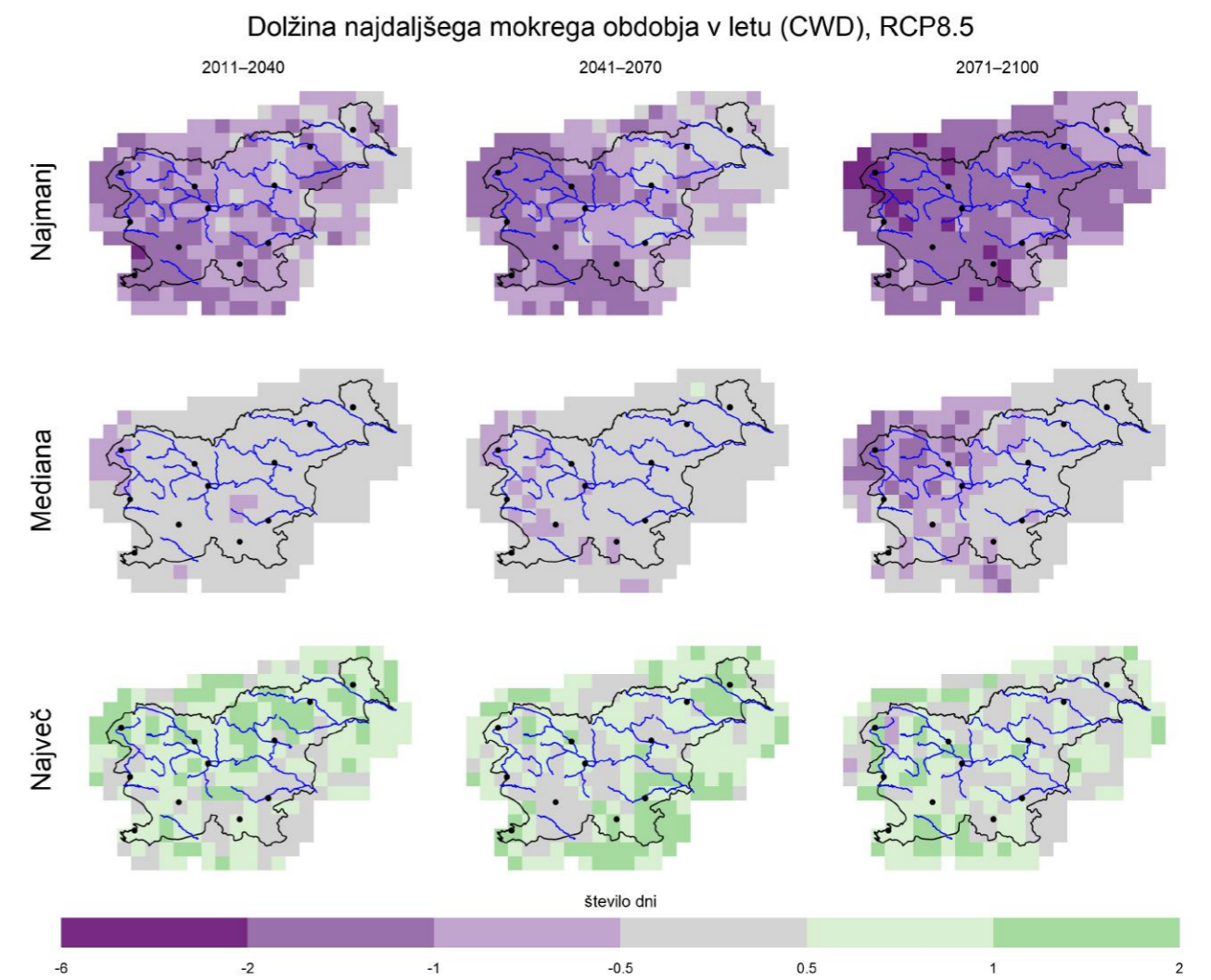
Slika 2.89 | Najmanjša vrednost, mediana in največja vrednost modelske spremembe glede na obdobje 1981–2010 za povprečno dolžino najdaljšega suhega obdobja v letu (CDD) v treh projekcijskih obdobjih po scenariju RCP8.5



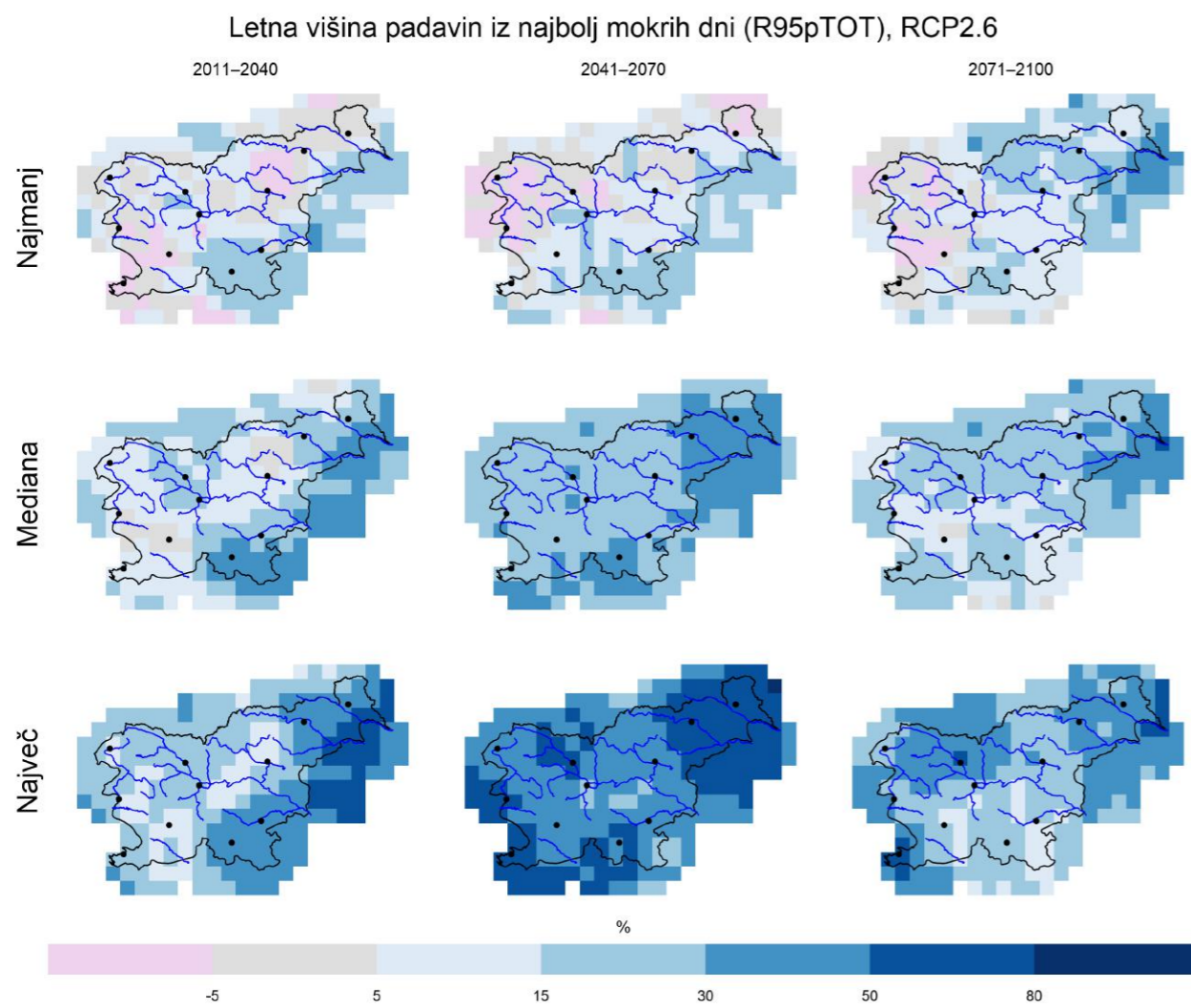
Slika 2.90 | Najmanjša vrednost, mediana in največja vrednost modelske spremembe glede na obdobje 1981–2010 za povprečno dolžino najdaljšega mokrega obdobja v letu (CWD) v treh projekcijskih obdobjih po scenariju RCP2.6



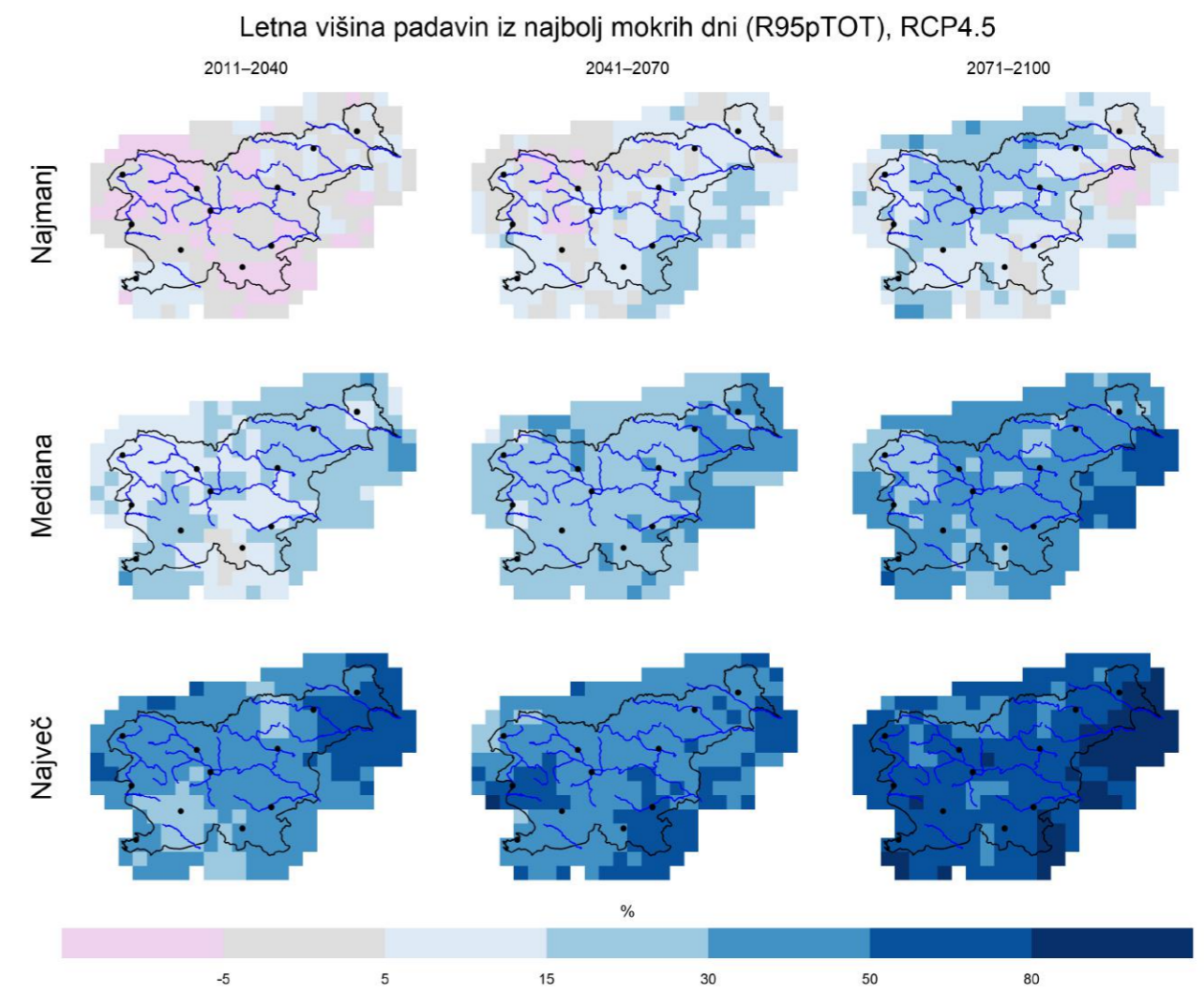
Slika 2.91 | Najmanjša vrednost, mediana in največja vrednost modelske spremembe glede na obdobje 1981–2010 za povprečno dolžino najdaljšega mokrega obdobja v letu (CWD) v treh projekcijskih obdobjih po scenariju RCP4.5



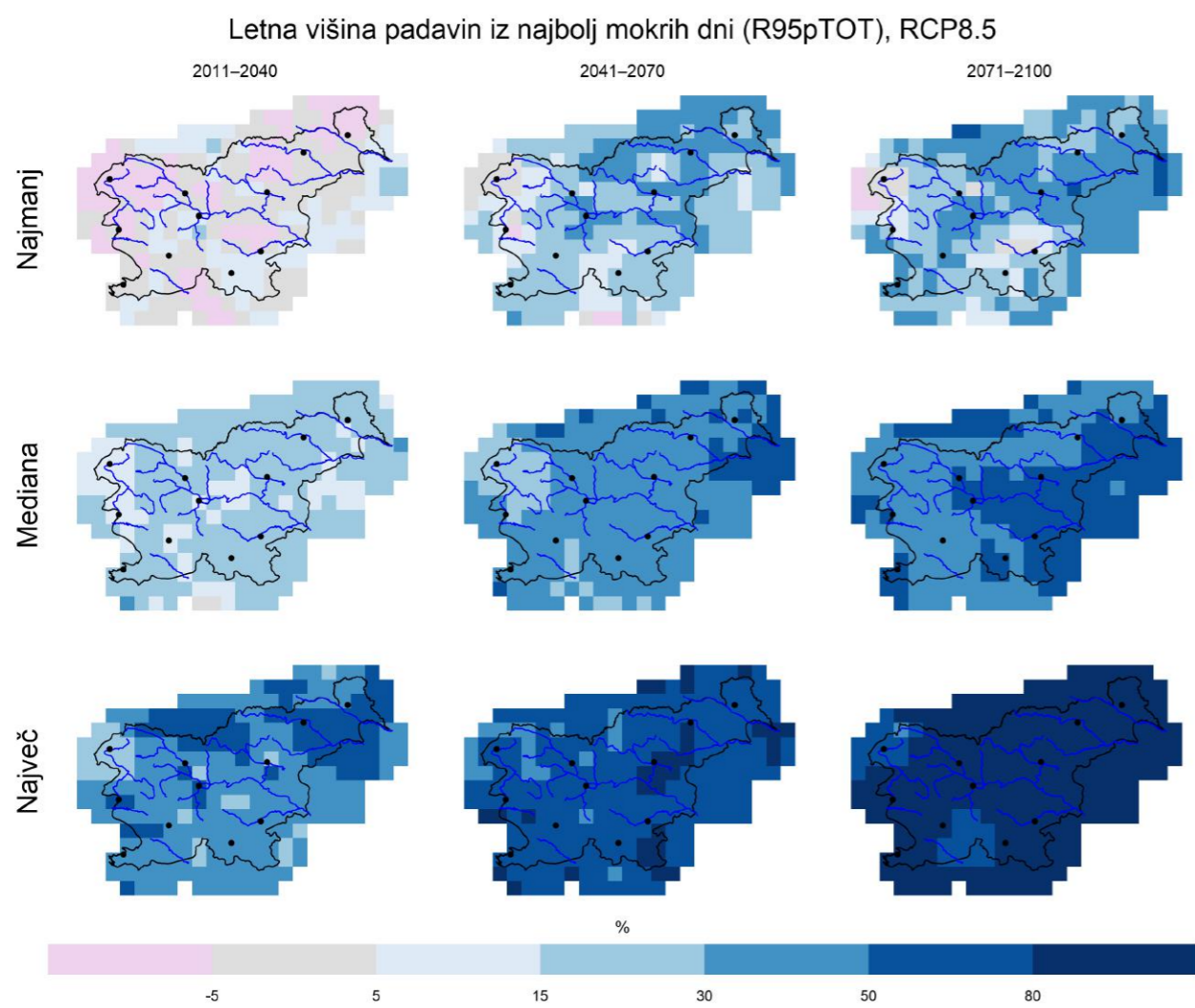
Slika 2.92 | Najmanjša vrednost, mediana in največja vrednost modelske spremembe glede na obdobje 1981–2010 za povprečno dolžino najdaljšega mokrega obdobja v letu (CWD) v treh projekcijskih obdobjih po scenariju RCP8.5



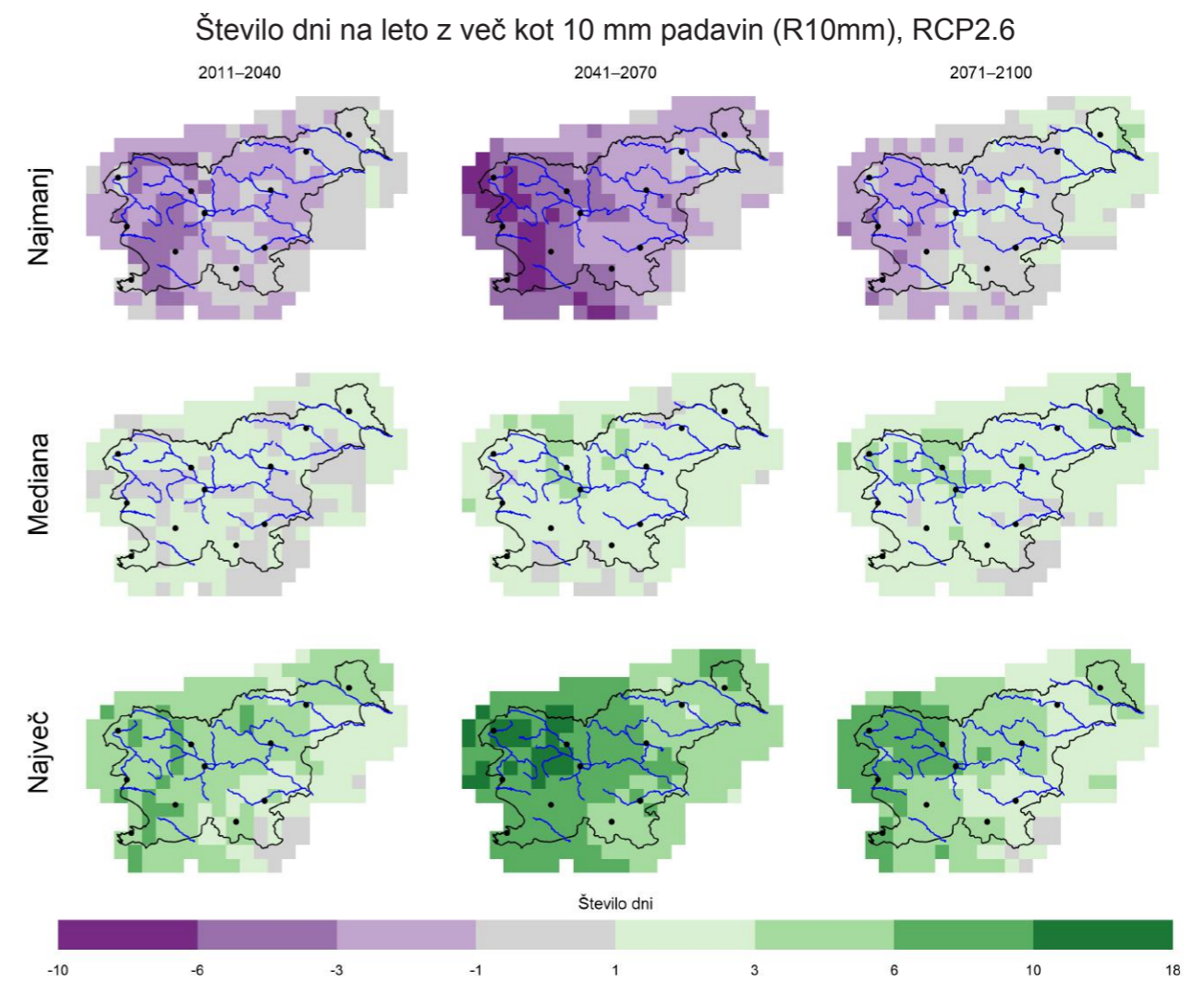
Slika 2.93 | Najmanjša vrednost, mediana in največja vrednost modelske spremembe glede na obdobje 1981–2010 za povprečno letno višino padavin iz najbolj mokrih dni – ko dnevna višina padavin presega 95. centil – v treh projekcijskih obdobjih po scenariju RCP2.6



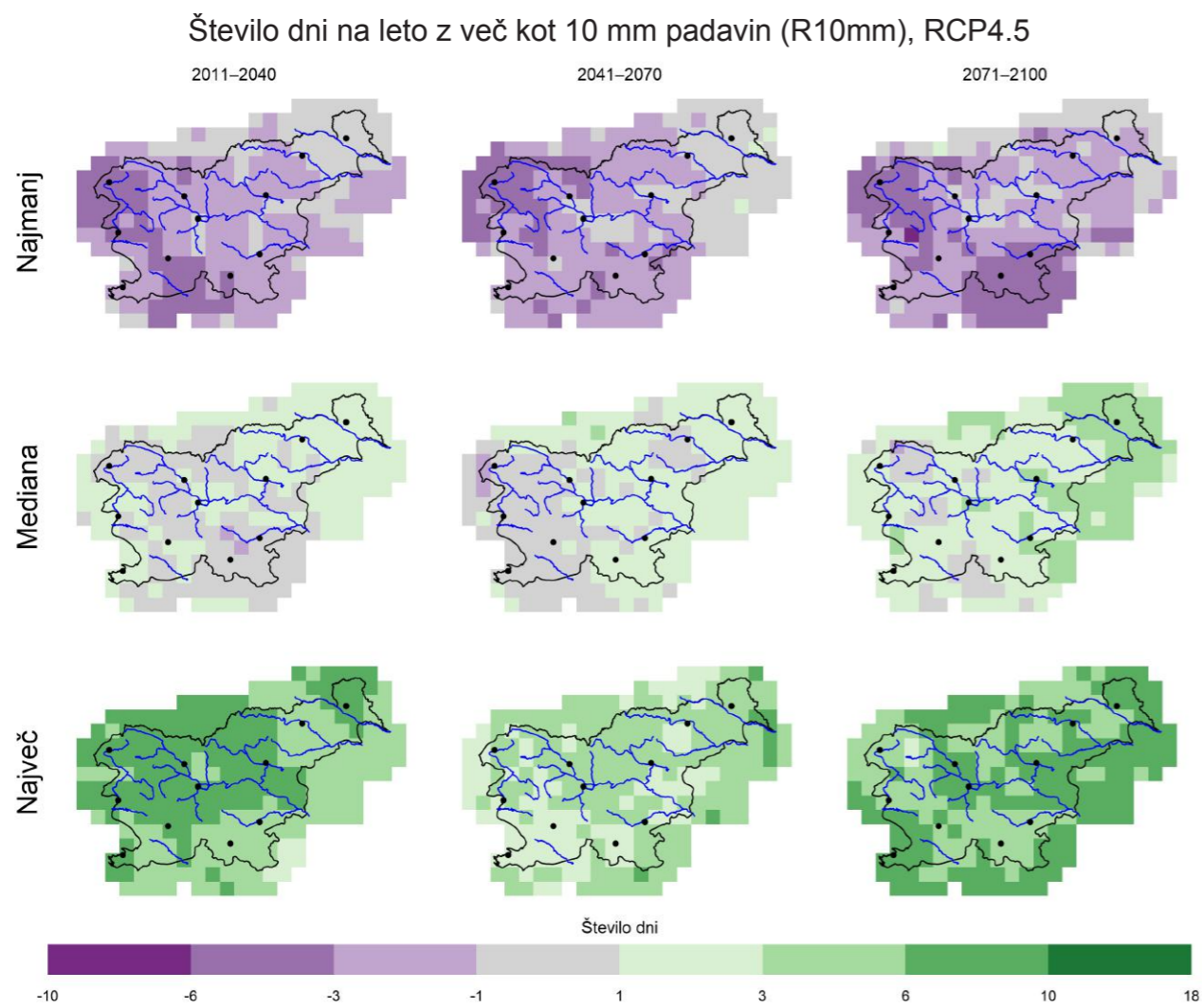
Slika 2.94 | Najmanjša vrednost, mediana in največja vrednost modelske spremembe glede na obdobje 1981–2010 za povprečno letno višino padavin iz najbolj mokrih dni – ko dnevna višina padavin presega 95. centil – v treh projekcijskih obdobjih po scenariju RCP4.5



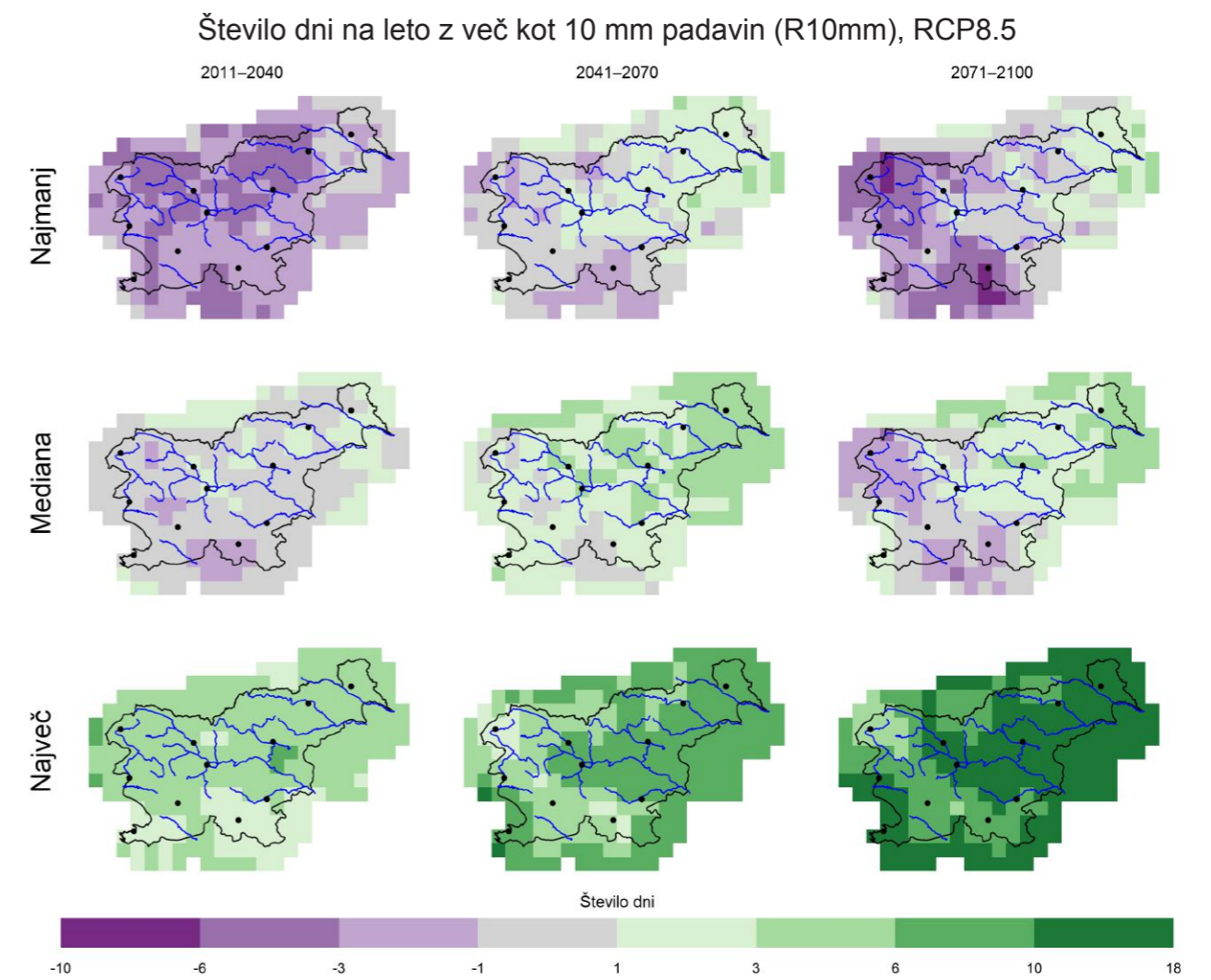
Slika 2.95 | Najmanjša vrednost, mediana in največja vrednost modelske spremembe glede na obdobje 1981–2010 za povprečno letno višino padavin iz najbolj mokrih dni – ko dnevna višina padavin presega 95. centil – v treh projekcijskih obdobjih po scenariju RCP8.5



Slika 2.96 | Najmanjša vrednost, mediana in največja vrednost modelske spremembe glede na obdobje 1981–2010 za povprečno število dni na leto z več kot 10 mm padavin, v treh projekcijskih obdobjih po scenariju RCP2.6

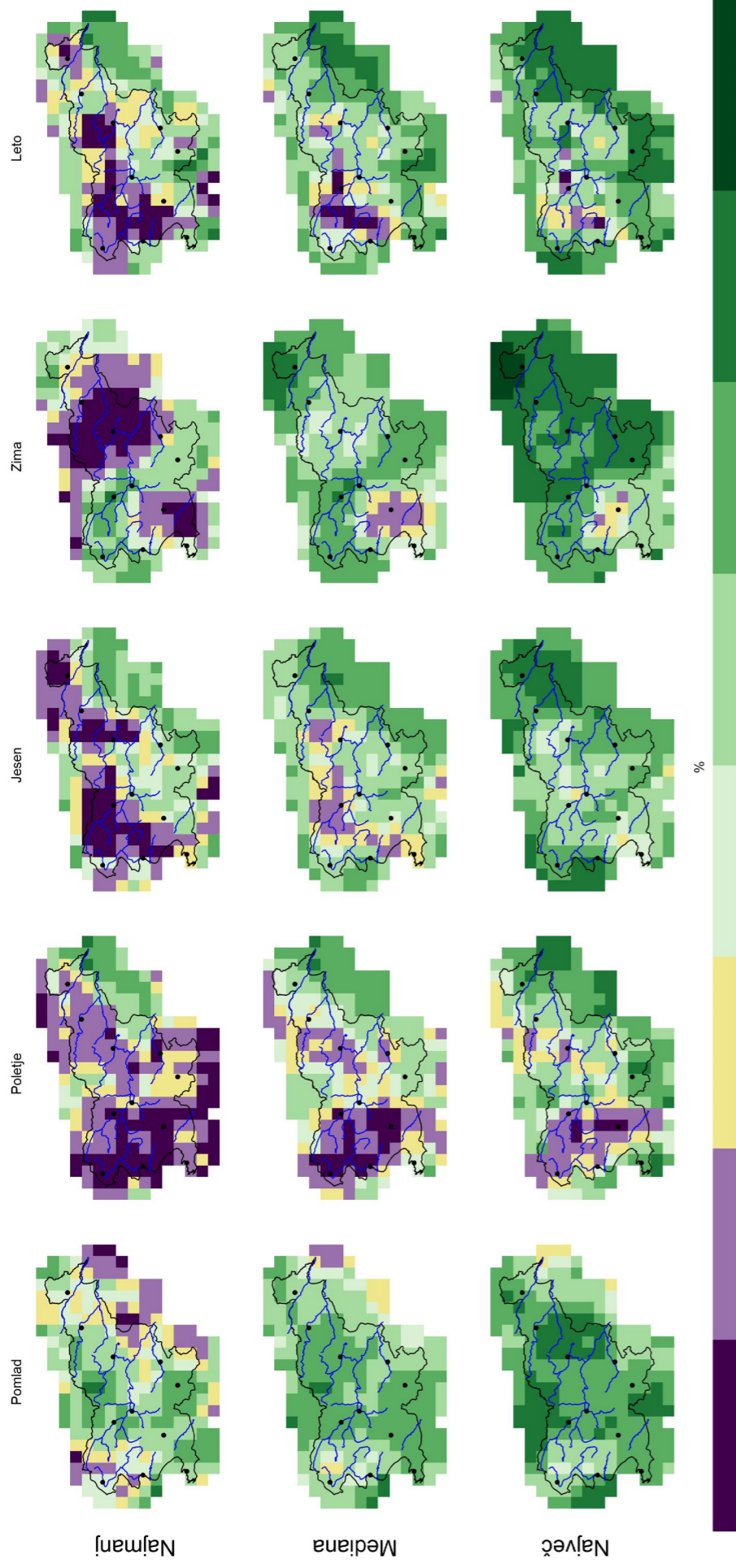


Slika 2.97 | Najmanjša vrednost, mediana in največja vrednost modelske spremembe glede na obdobje 1981–2010 za povprečno število dni na leto z več kot 10 mm padavin, v treh projekcijskih obdobjih po scenariju RCP4.5



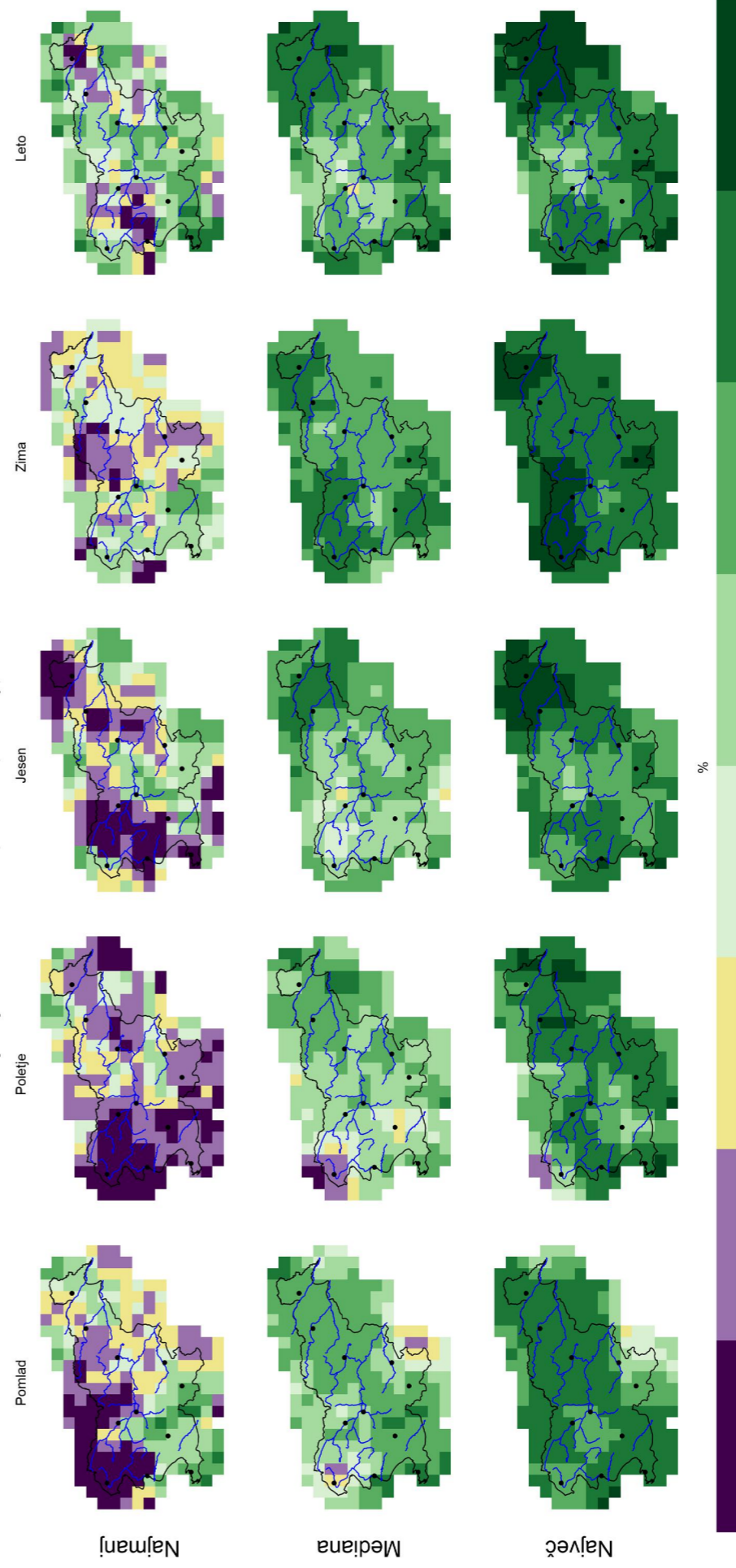
Slika 2.98 | Najmanjša vrednost, mediana in največja vrednost modelske spremembe glede na obdobje 1981–2010 za povprečno število dni na leto z več kot 10 mm padavin, v treh projekcijskih obdobjih po scenariju RCP8.5

Največja dnevna višina padavin (Rx1day), RCP2.6, 2011–2040



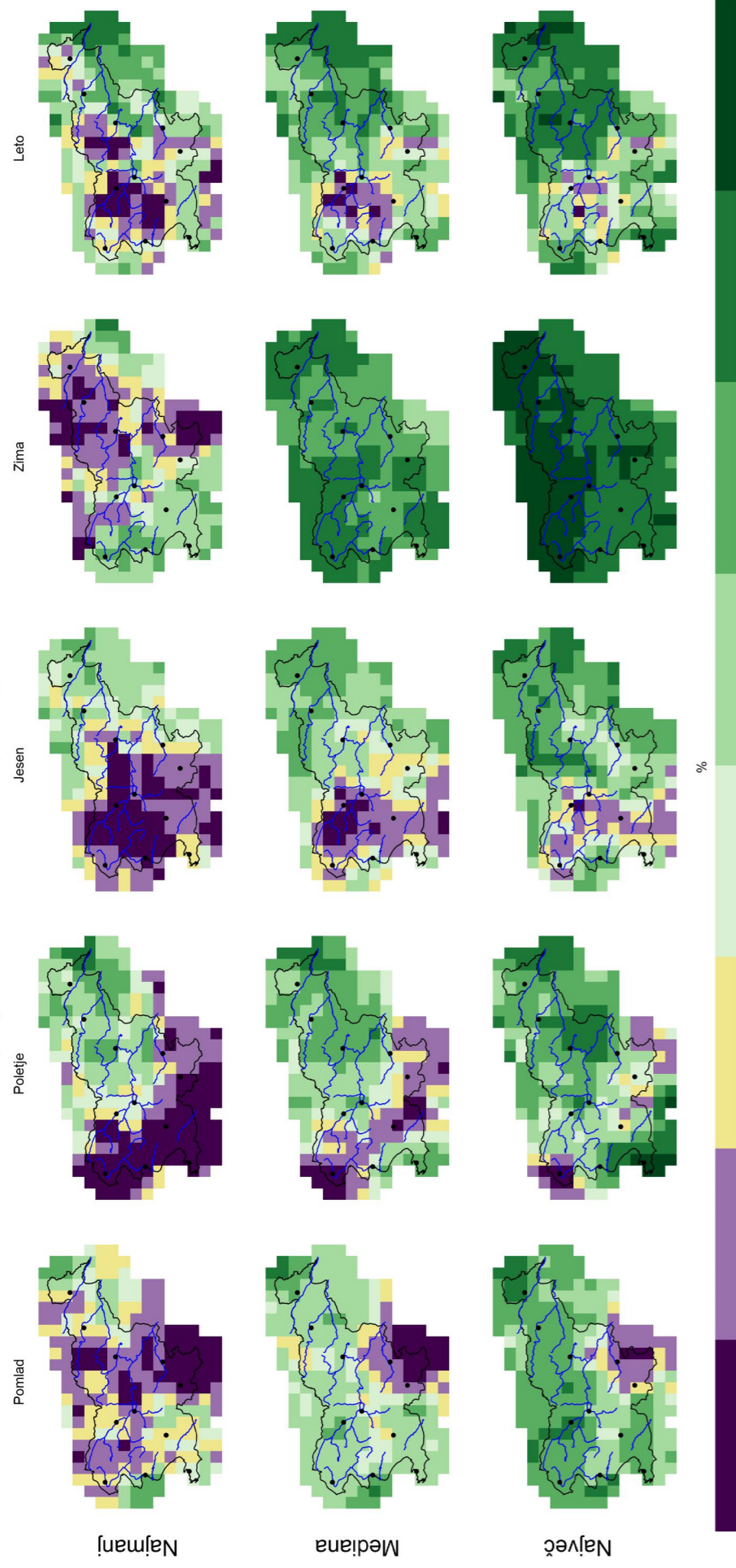
Slika 2.99 | Najmanjša vrednost, mediana in največja vrednost modelske spremembe v obdobju 2011–2040 glede na obdobje 1981–2010 za povprečno največjo dnevno višino padavin na mesec po meteoroloških letnih časih in za celo leto po scenariju RCP2.6

Največja dnevna višina padavin (Rx1day), RCP2.6, 2041–2070



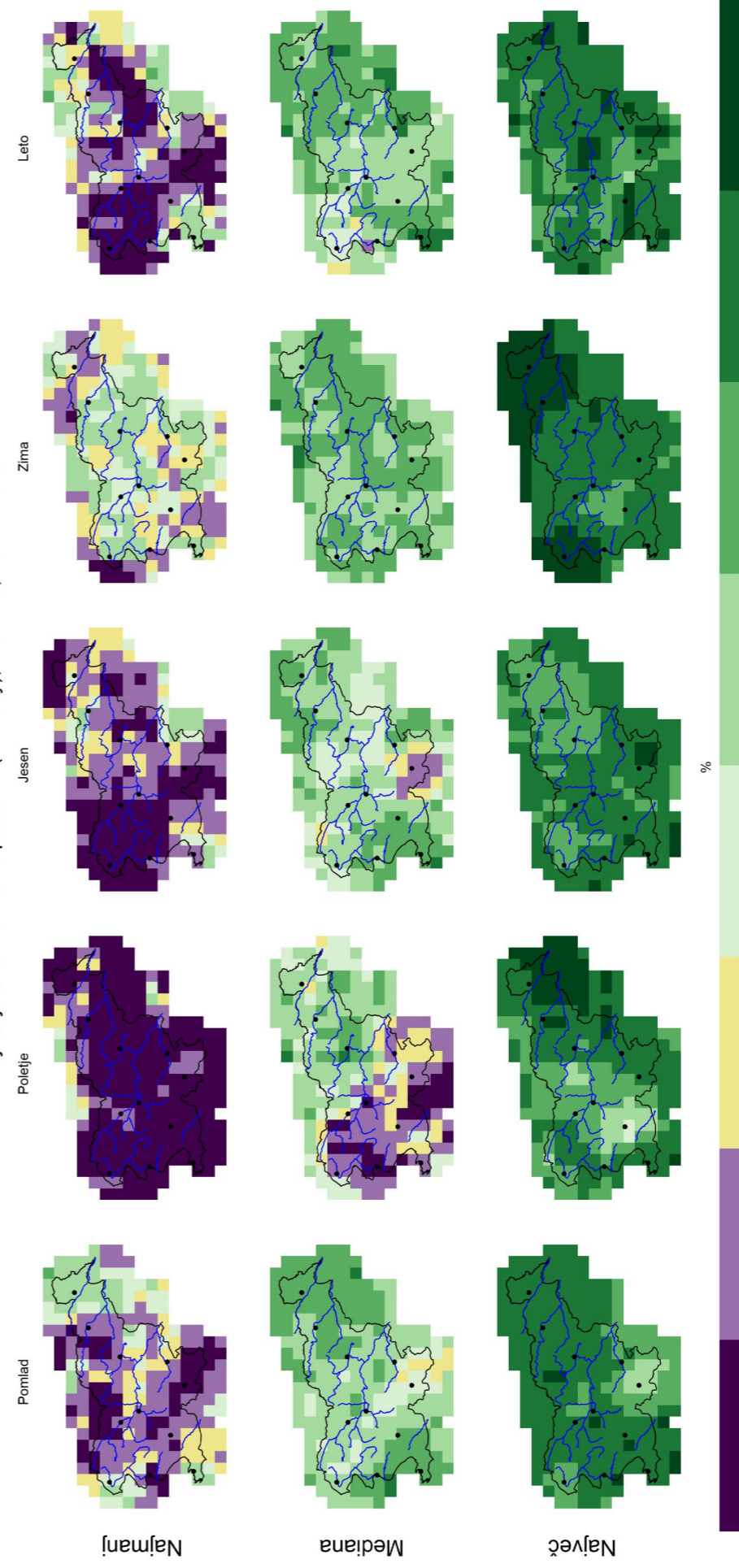
Slika 2.100 | Najmanjša vrednost, mediana in največja vrednost modelske spremembe v obdobju 2041–2070 glede na obdobje 1981–2010 za povprečno največjo dnevno višino padavin na mesec po meteoroloških letnih časih in za celo leto po scenariju RCP2.6

Največja dnevna višina padavin (Rx1day), RCP2.6, 2071–2100



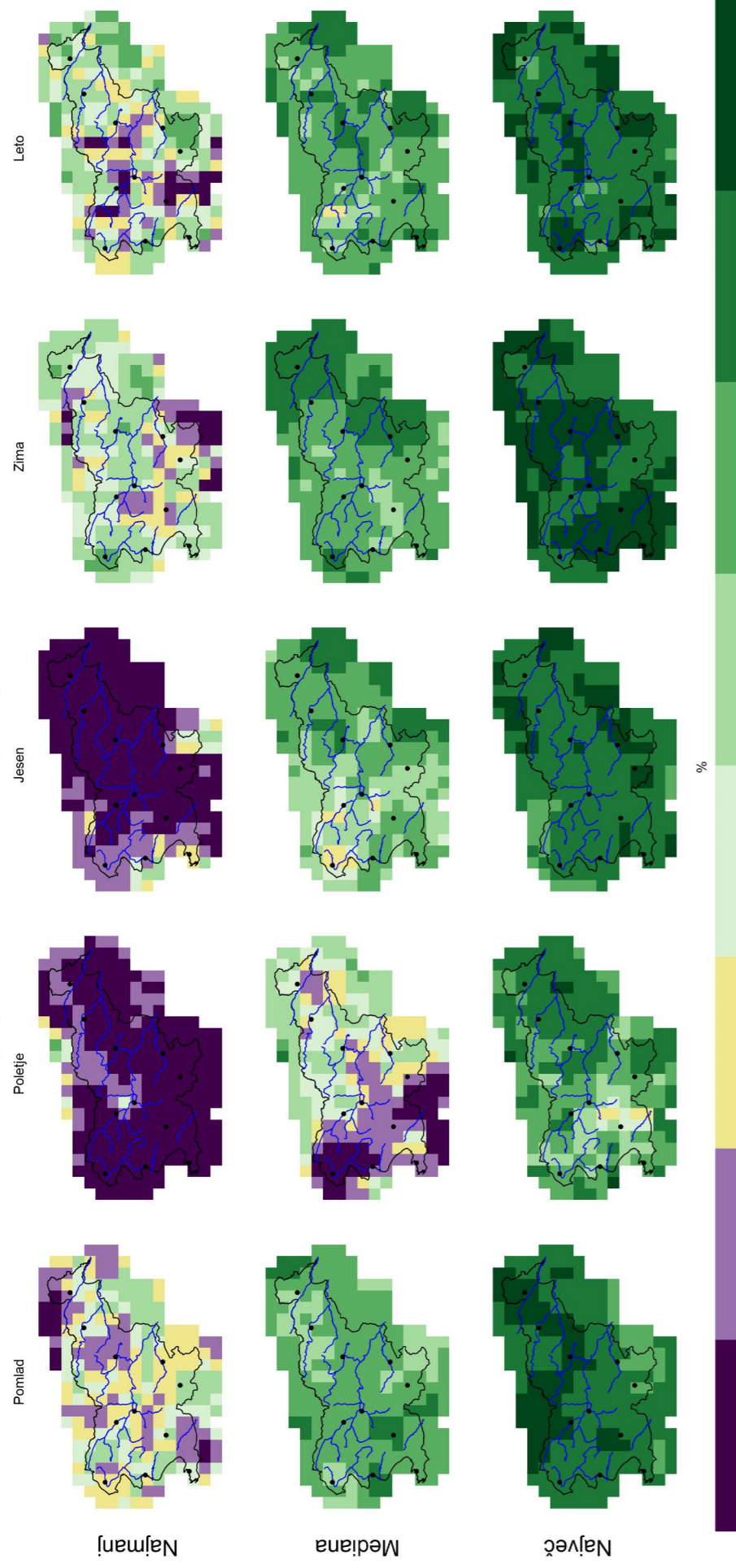
Slika 2.101 | Najmanjša vrednost, mediana in največja vrednost modelske spremembe v obdobju 2071–2100 glede na obdobje 1981–2010 za povprečno največjo dnevno višino padavin na mesec po meteoroloških letnih časih in za celo leto po scenariju RCP2.6

Največja dnevna višina padavin (Rx1day), RCP4.5, 2011–2040



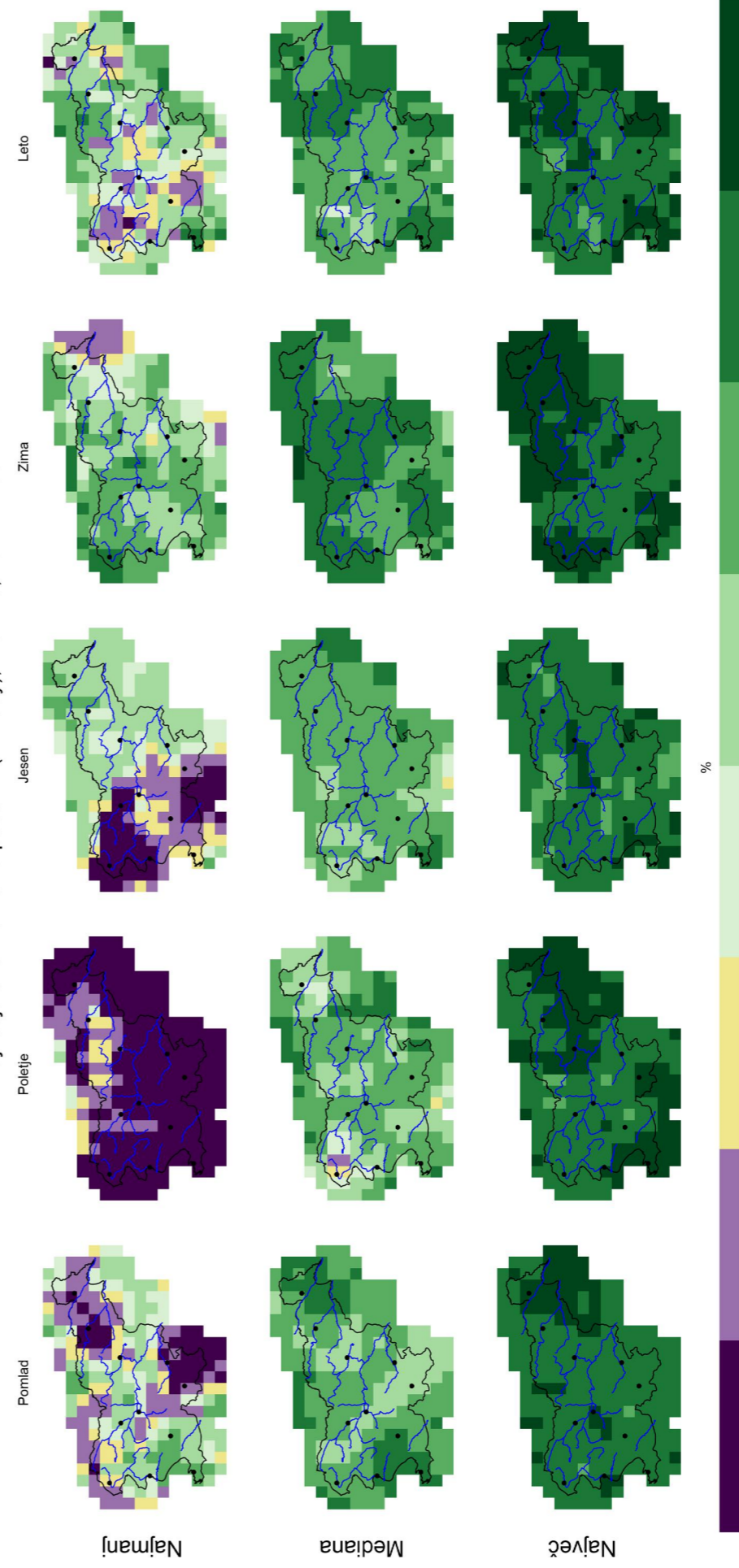
Slika 2.102 | Najmanjša vrednost, mediana in največja vrednost modelske spremembe v obdobju 2011–2040 glede na obdobje 1981–2010 za povprečno največjo dnevno višino padavin na mesec po meteoroloških letnih časih in za celo leto po scenariju RCP4.5

Največja dnevna višina padavin (Rx1day), RCP4.5, 2041–2070



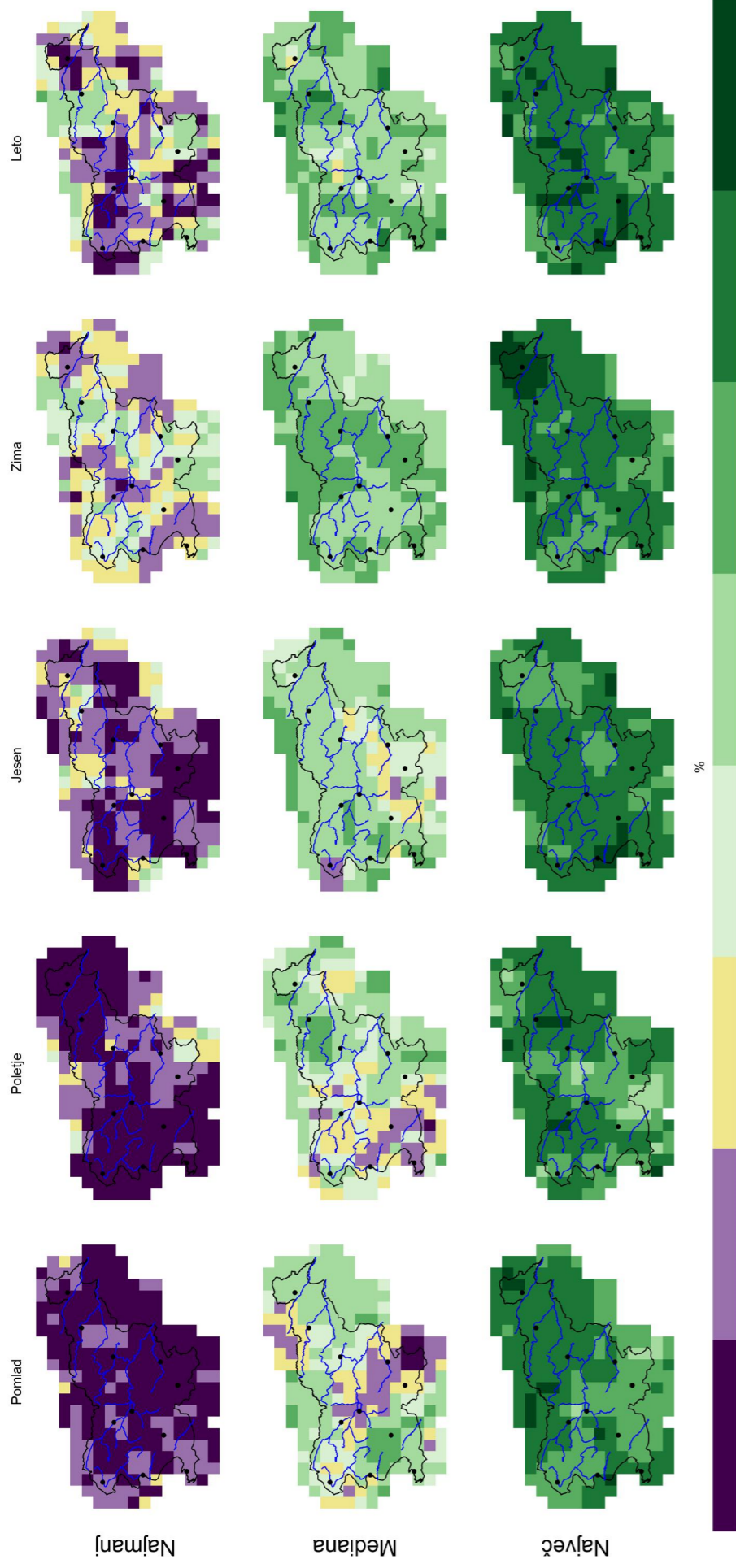
Slika 2.103 | Najmanjša vrednost, mediana in največja vrednost modelske spremembe v obdobju 2041–2070 glede na obdobje 1981–2010 za povprečno največjo dnevno višino padavin na mesec po meteoroloških letnih časih in za celo leto po scenariju RCP4.5

Največja dnevna višina padavin (Rx1day), RCP4.5, 2071–2100



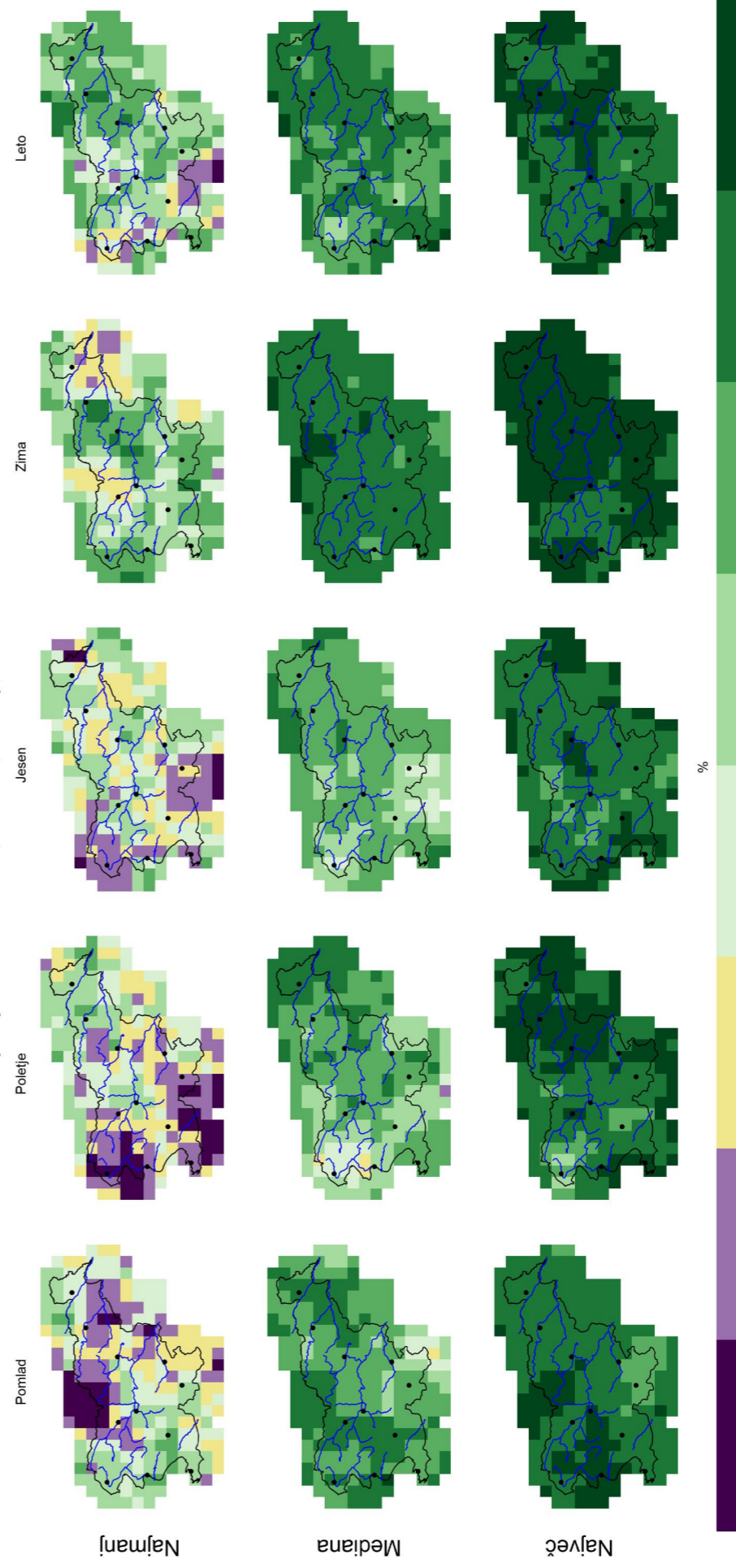
Slika 2.104 | Najmanjša vrednost, mediana in največja vrednost modelske spremembe v obdobju 2071–2100 glede na obdobje 1981–2010 za povprečno največjo dnevno višino padavin na mesec po meteoroloških letnih časih in za celo leto po scenariju RCP4.5

Največja dnevna višina padavin (Rx1day), RCP8.5, 2011–2040



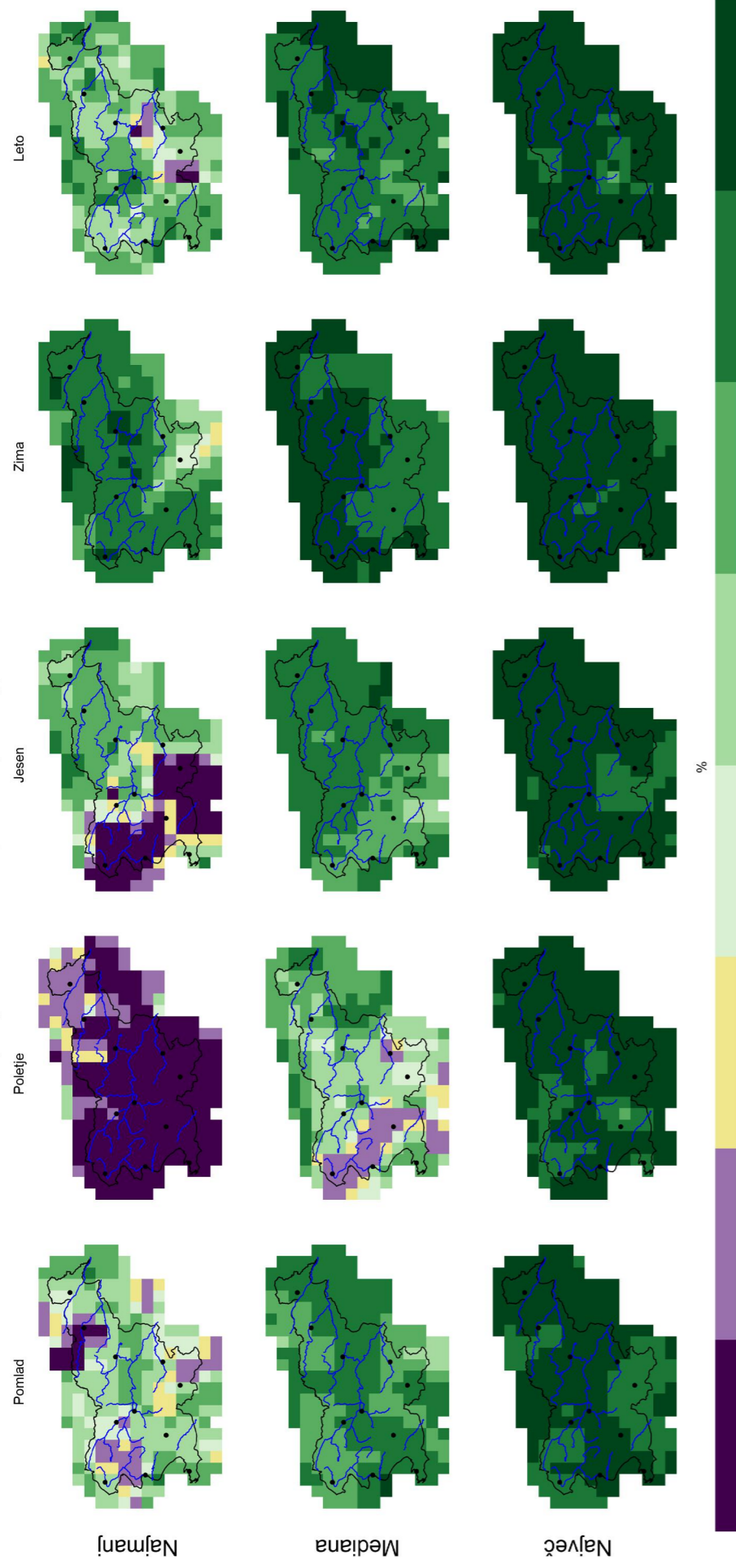
Slika 2.105 | Najmanjša vrednost, mediana in največja vrednost modelske spremembe v obdobju 2011–2040 glede na obdobje 1981–2010 za povprečno največjo dnevno višino padavin na mesec po meteoroloških letnih časih in za celo leto po scenariju RCP8.5

Največja dnevna višina padavin (Rx1day), RCP8.5, 2041–2070



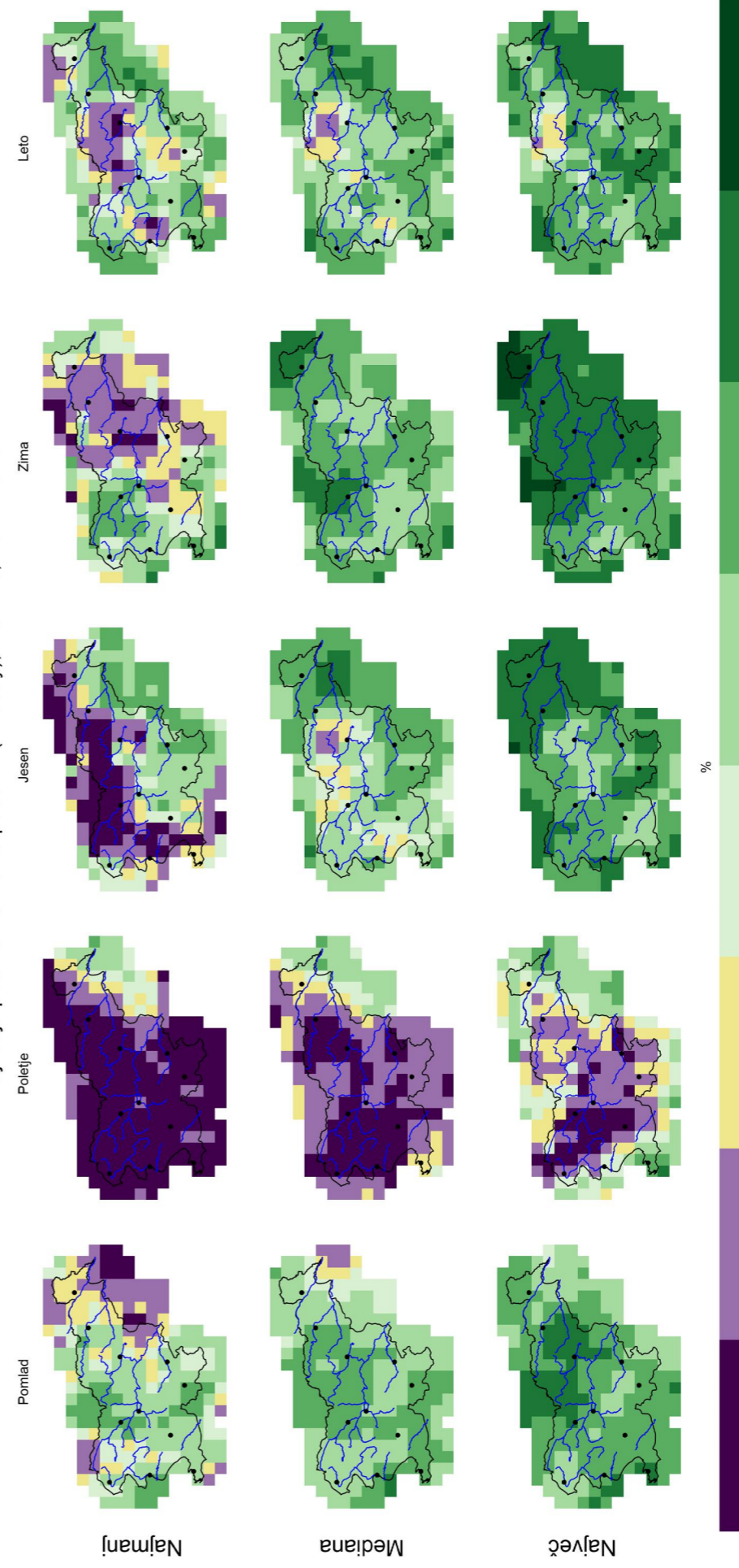
Slika 2.106 | Najmanjša vrednost, mediana in največja vrednost modelske spremembe v obdobju 2041–2070 glede na obdobje 1981–2010 za povprečno največjo dnevno višino padavin na mesec po meteoroloških letnih časih in za celo leto po scenariju RCP8.5

Največja dnevna višina padavin (Rx1day), RCP8.5, 2071–2100



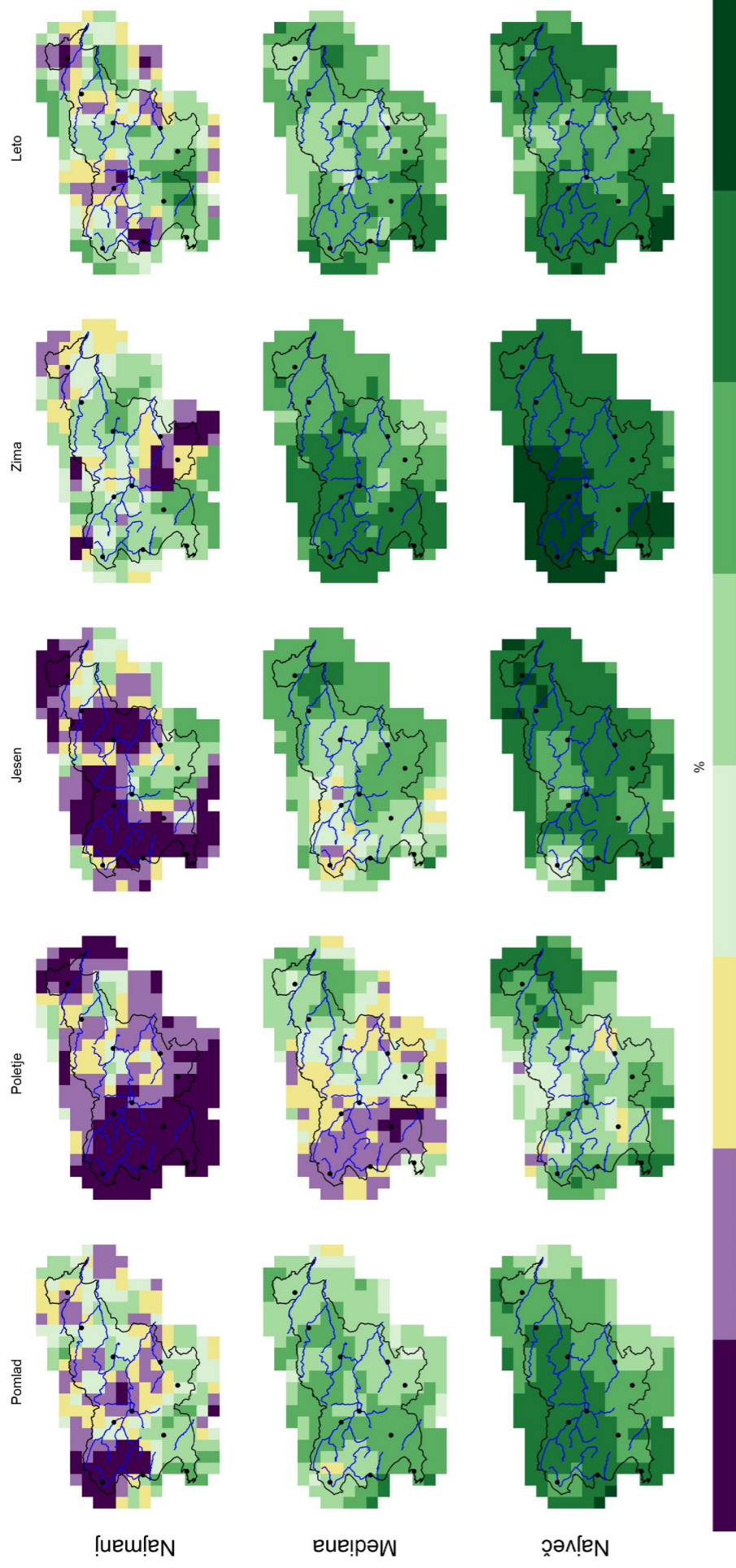
Slika 2.107 | Najmanjša vrednost, mediana in največja vrednost modelske spremembe v obdobju 2071–2100 glede na obdobje 1981–2010 za povprečno največjo dnevno višino padavin na mesec po meteoroloških letnih časih in za celo leto po scenariju RCP8.5

Največja petdnevna višina padavin (Rx5day), RCP2.6, 2011–2040



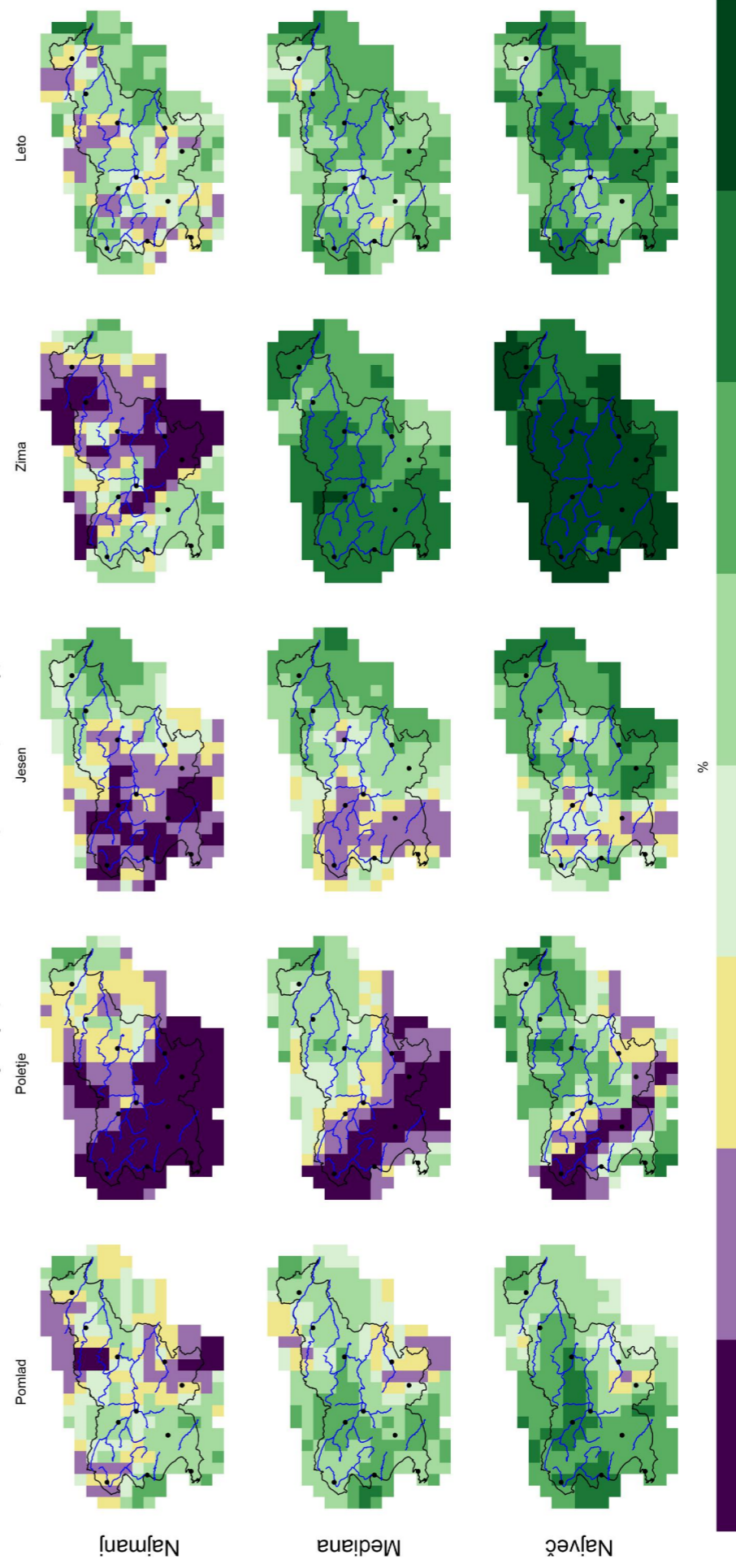
Slika 2.108 | Najmanjša vrednost, mediana in največja vrednost modelske spremembe v obdobju 2011–2040 glede na obdobje 1981–2010 za povprečno največjo petdnevno višino padavin na mesec po meteoroloških letnih časih in za celo leto po scenariju RCP2.6

Največja petdnevna višina padavin (Rx5day), RCP2.6, 2041–2070



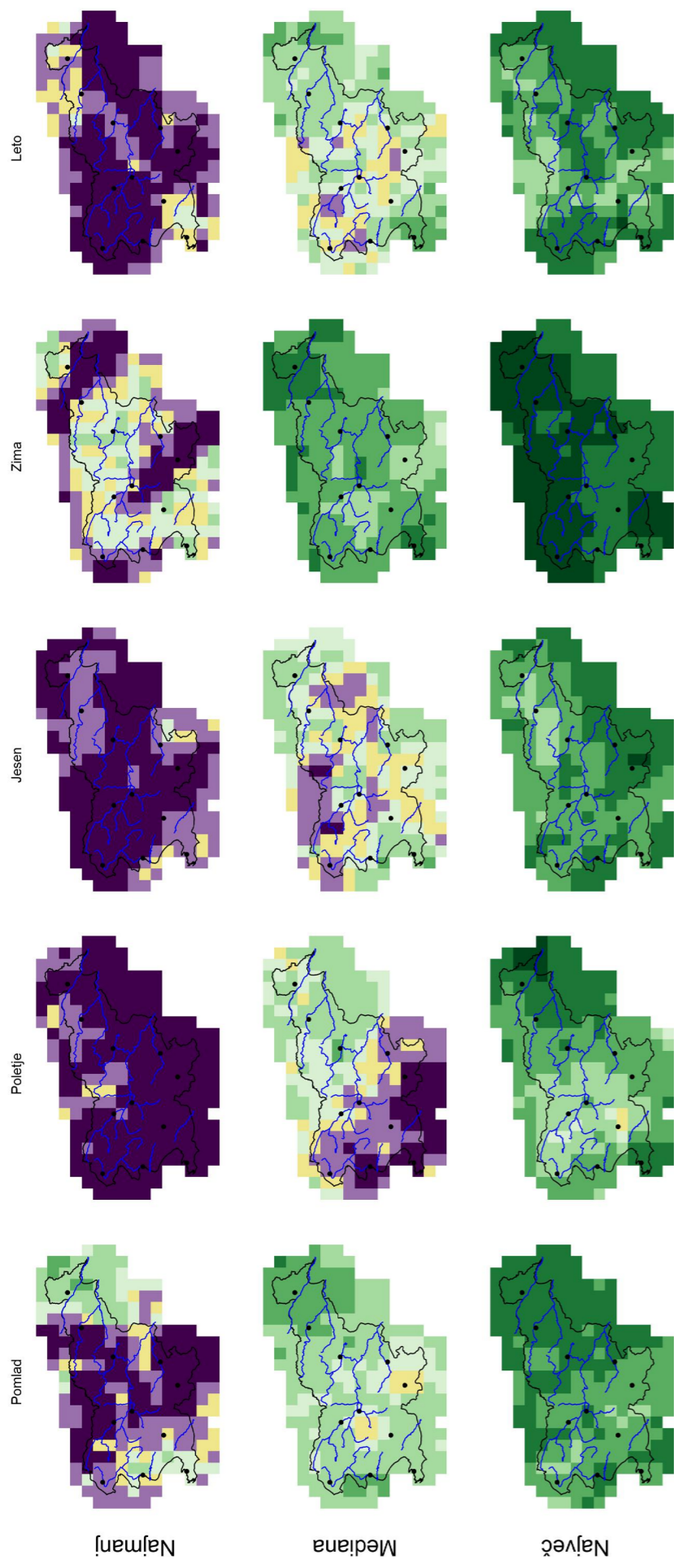
Slika 2.109 | Najmanjša vrednost, mediana in največja vrednost modelske spremembe v obdobju 2041–2070 glede na obdobje 1981–2010 za povprečno največjo petdnevno višino padavin na mesec po meteoroloških letnih časih in za celo leto po scenariju RCP2.6

Največja petdnevna višina padavin (Rx5day), RCP2.6, 2071–2100



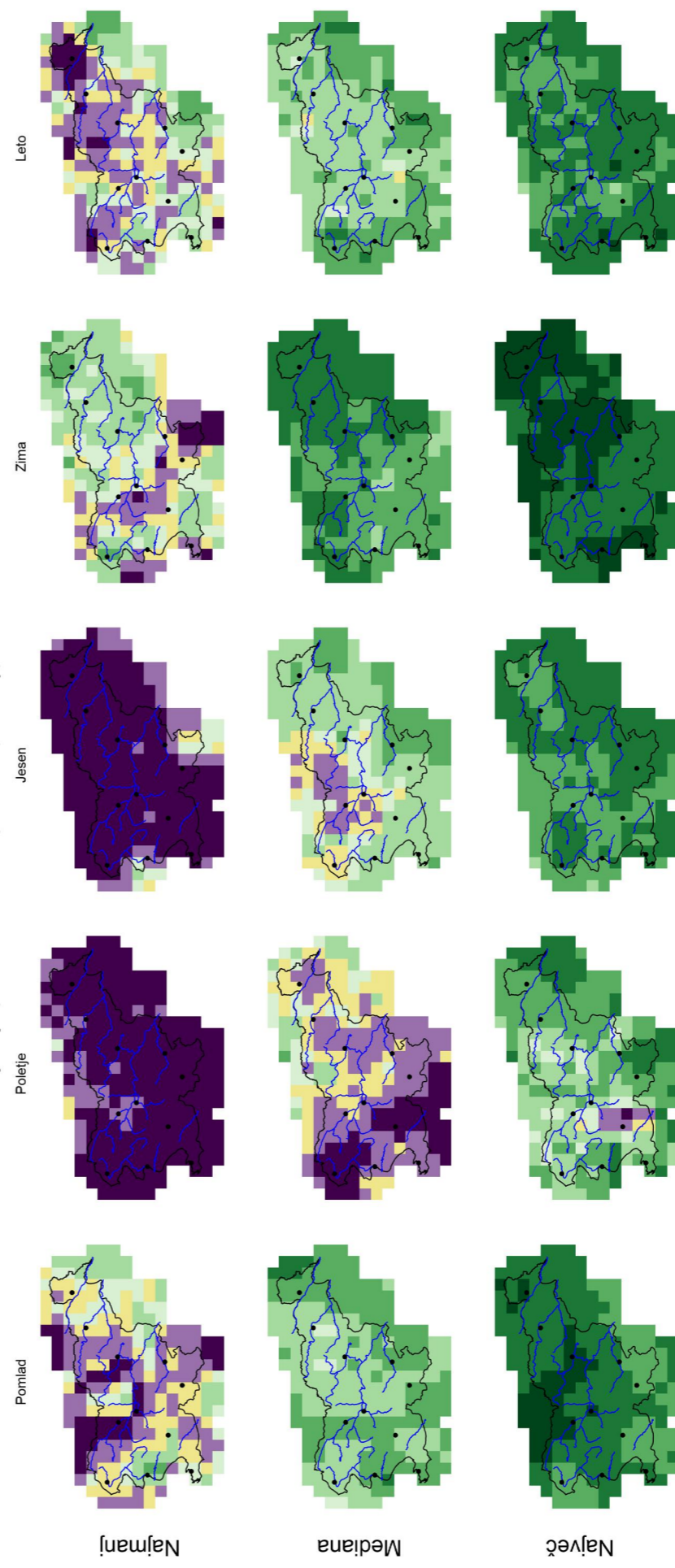
Slika 2.110 | Najmanjša vrednost, mediana in največja vrednost modelske spremembe v obdobju 2071–2100 glede na obdobje 1981–2010 za povprečno največjo petdnevno višino padavin na mesec po meteoroloških letnih časih in za celo leto po scenariju RCP2.6

Največja petdnevna višina padavin (Rx5day), RCP4.5, 2011–2040



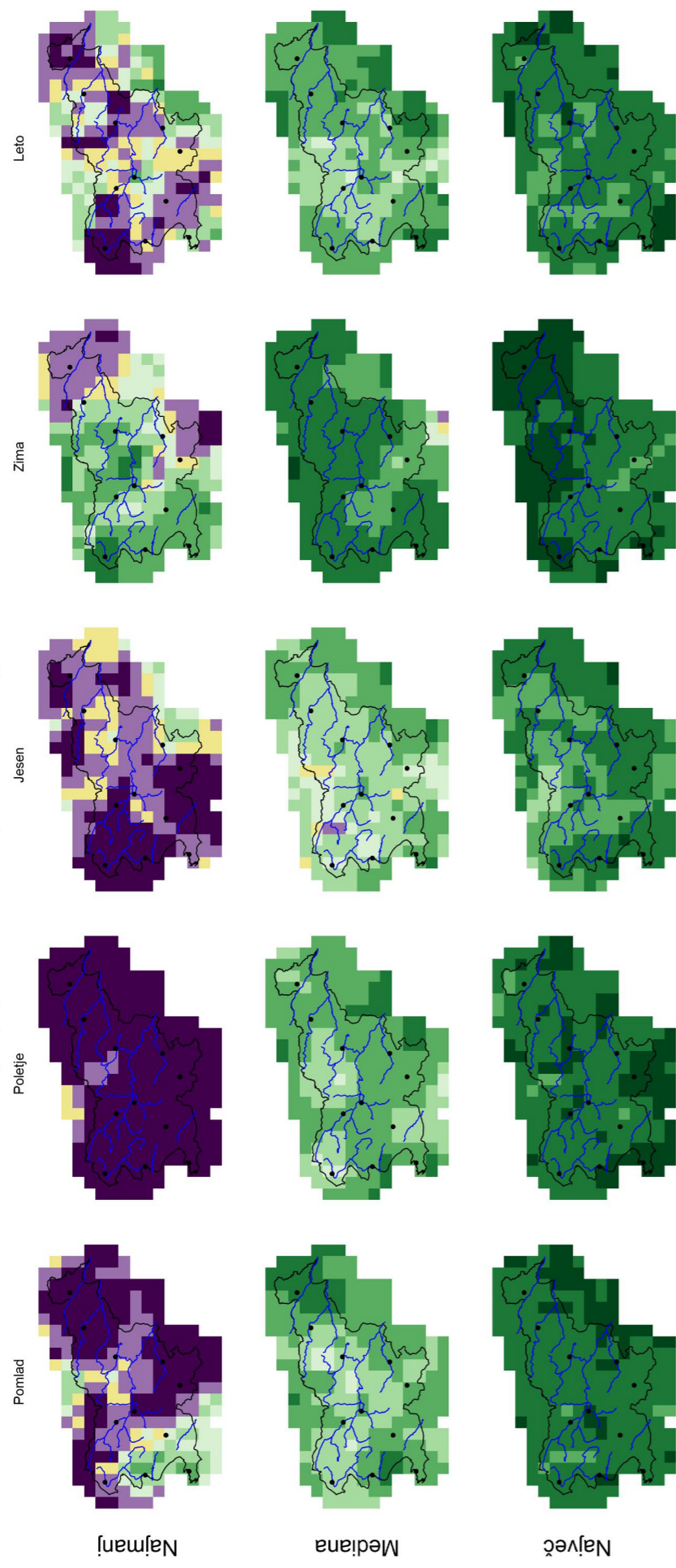
Slika 2.111 | Najmanjša vrednost, mediana in največja vrednost modelske spremembe v obdobju 2011–2040 glede na obdobje 1981–2010 za povprečno največjo petdnevno višino padavin na mesec po meteoroloških letnih časih in za celo leto po scenariju RCP4.5

Največja petdnevna višina padavin (Rx5day), RCP4.5, 2041–2070



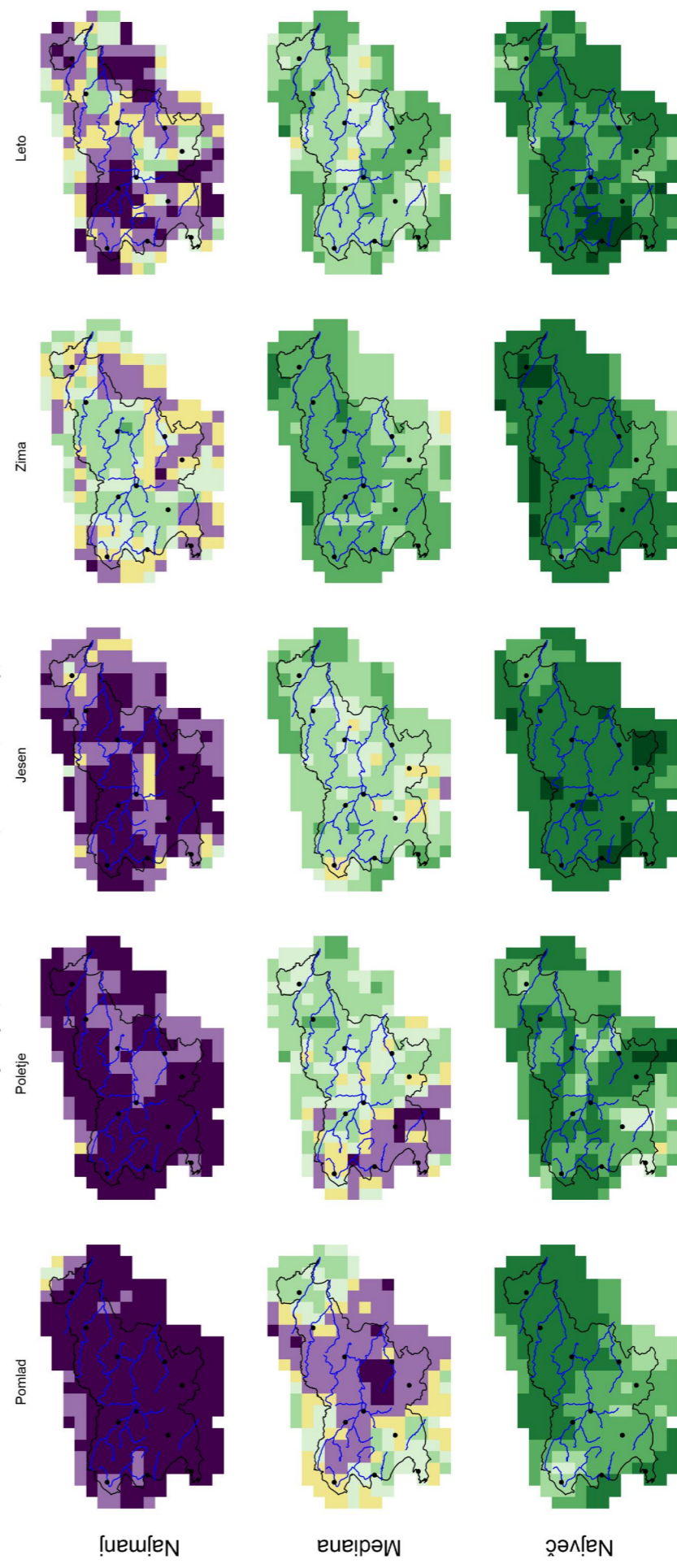
Slika 2.112 | Najmanjša vrednost, mediana in največja vrednost modelske spremembe v obdobju 2041–2070 glede na obdobje 1981–2010 za povprečno največjo petdnevno višino padavin na mesec po meteoroloških letnih časih in za celo leto po scenariju RCP4.5

Največja petdnevna višina padavin (Rx5day), RCP4.5, 2071–2100



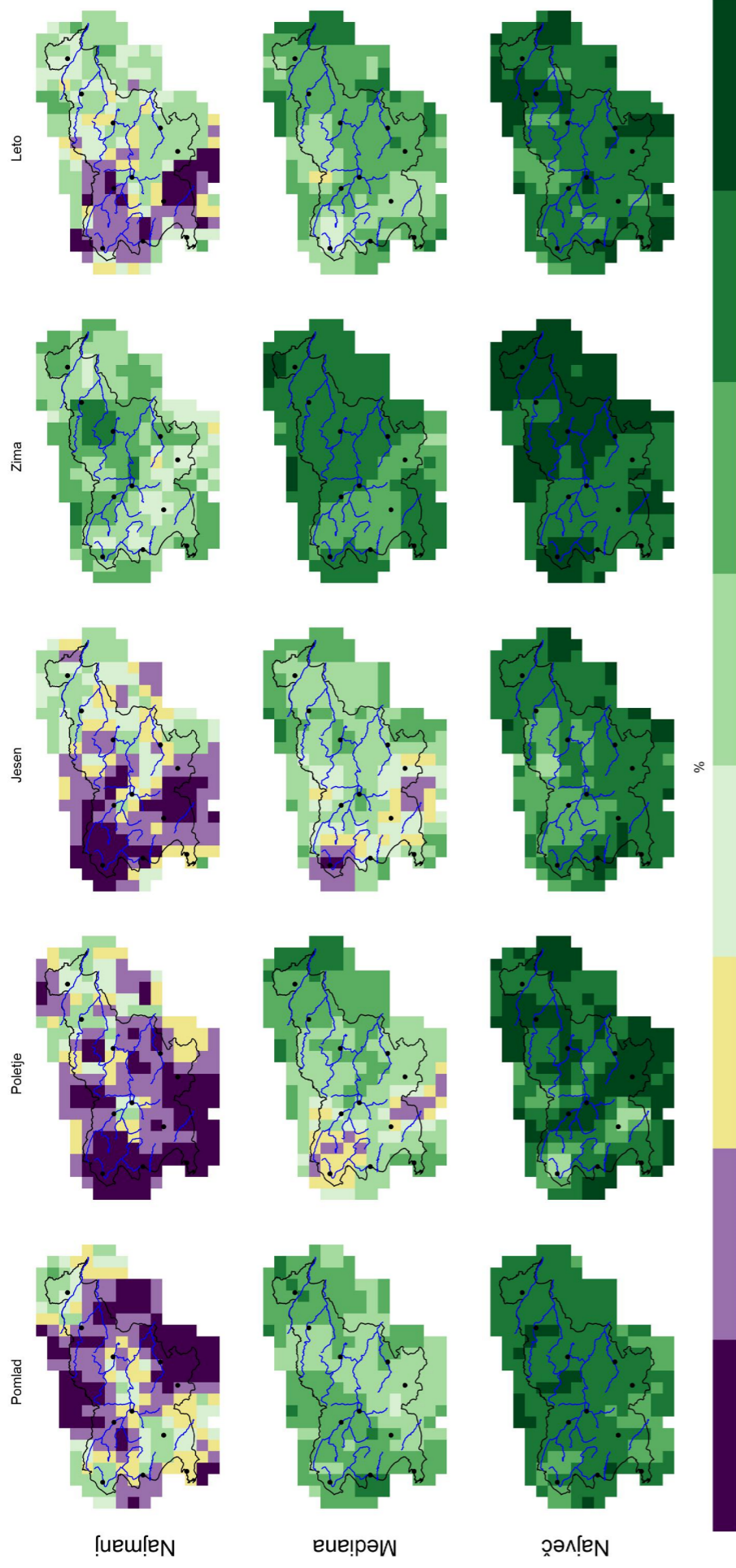
Slika 2.113 | Najmanjša vrednost, mediana in največja vrednost modelske spremembe v obdobju 2071–2100 glede na obdobje 1981–2010 za povprečno največjo petdnevno višino padavin na mesec po meteoroloških letnih časih in za celo leto po scenariju RCP4.5

Največja petdnevna višina padavin (Rx5day), RCP8.5, 2011–2040



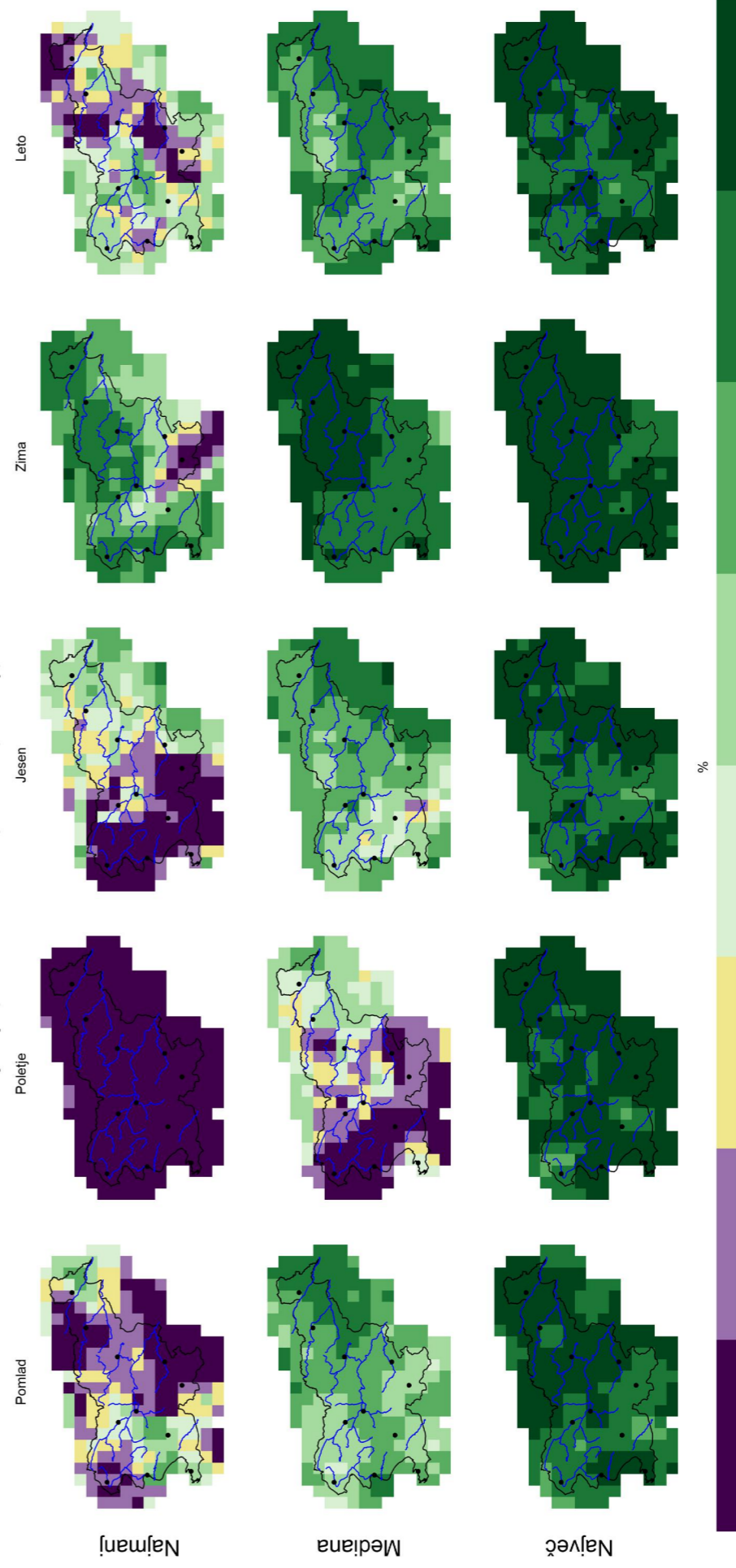
Slika 2.114 | Najmanjša vrednost, mediana in največja vrednost modelske spremembe v obdobju 2011–2040 glede na obdobje 1981–2010 za povprečno največjo petdnevno višino padavin na mesec po meteoroloških letnih časih in za celo leto po scenariju RCP8.5

Največja petdnevna višina padavin (Rx5day), RCP8.5, 2041–2070

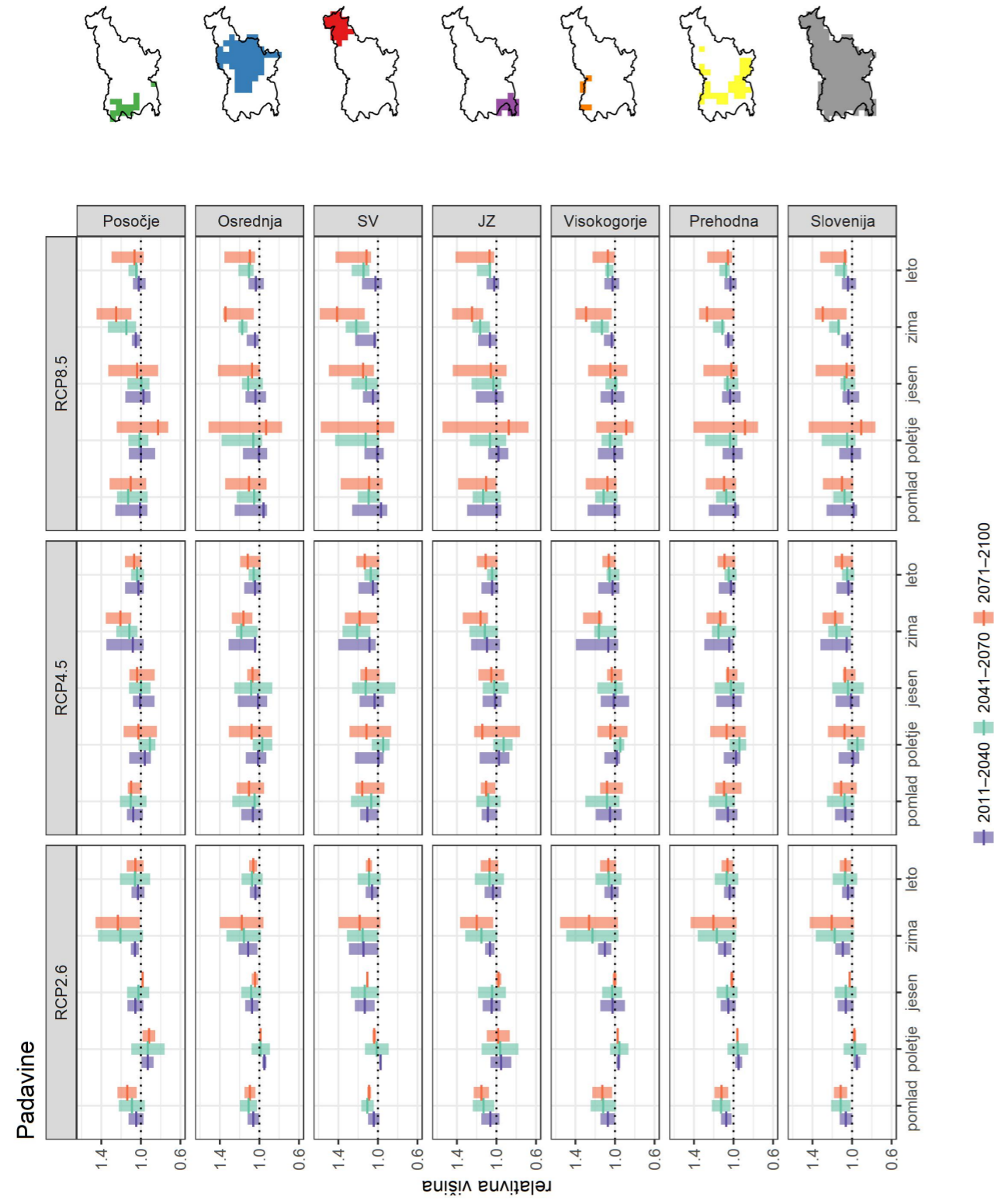


Slika 2.115 | Najmanjša vrednost, mediana in največja vrednost modelske spremembe v obdobju 2041–2070 glede na obdobje 1981–2010 za povprečno največjo petdnevno višino padavin na mesec po meteoroloških letnih časih in za celo leto po scenariju RCP8.5

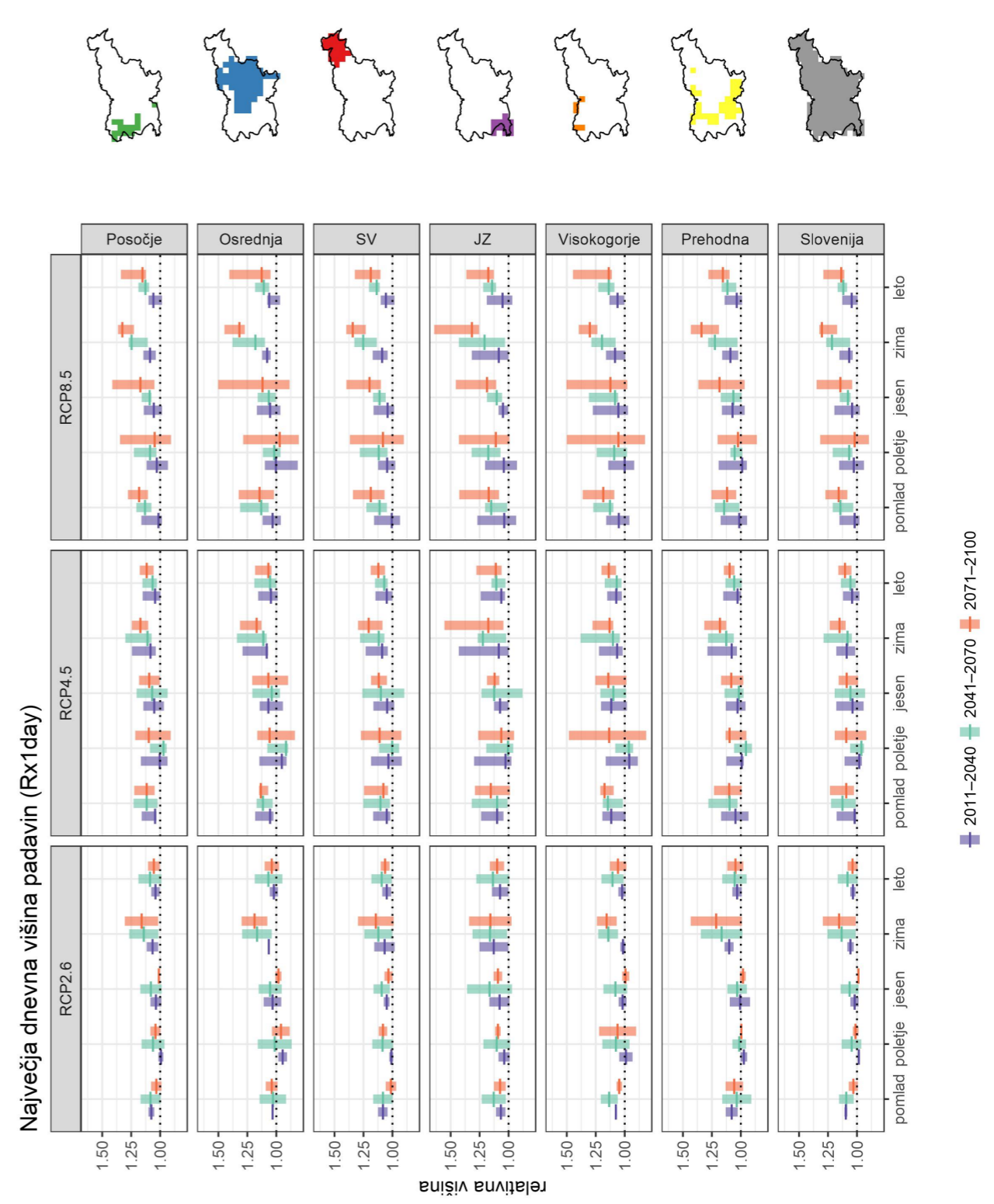
Največja petdnevna višina padavin (Rx5day), RCP8.5, 2071–2100



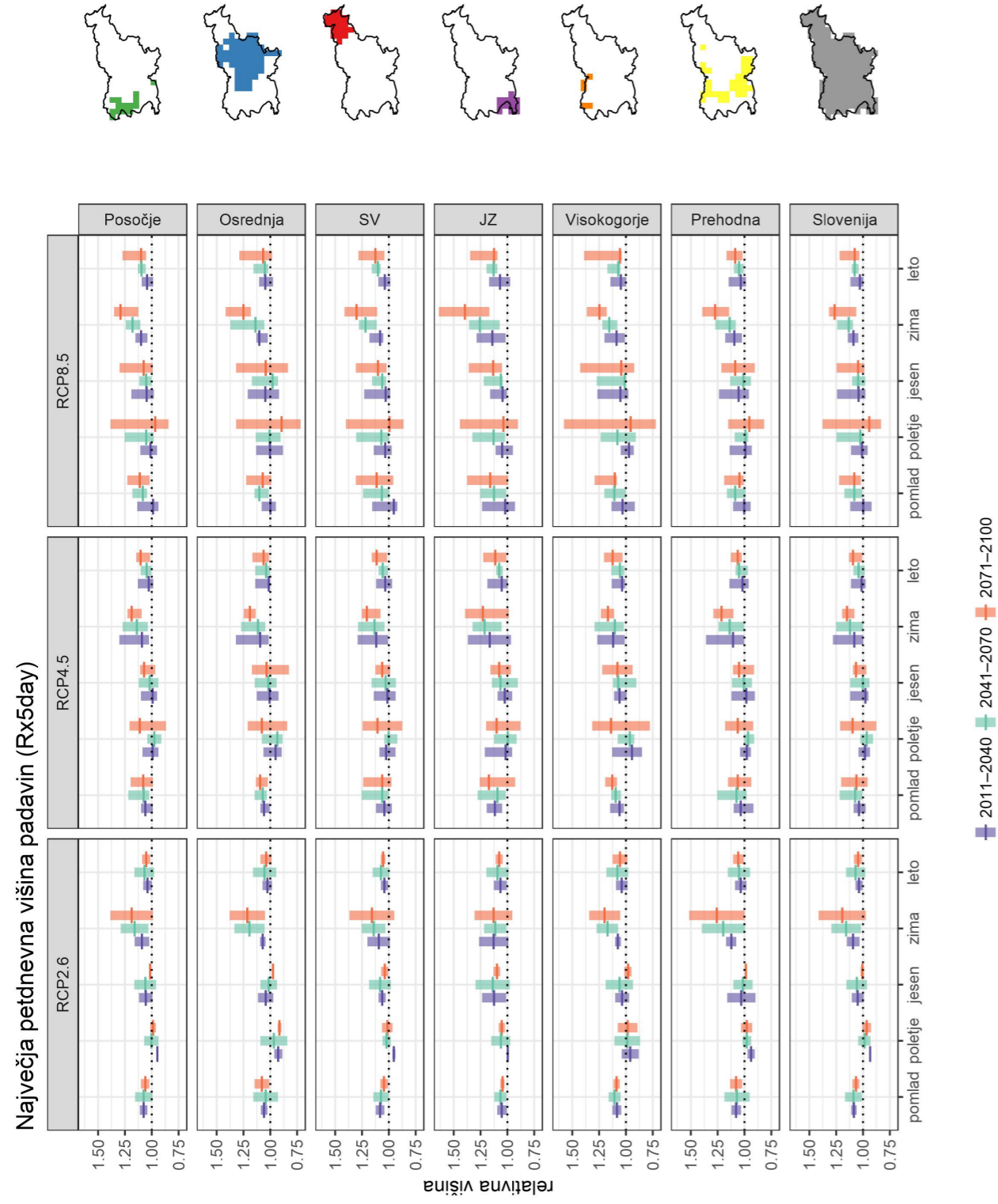
Slika 2.116 | Najmanjša vrednost, mediana in največja vrednost modelske spremembe v obdobju 2071–2100 glede na obdobje 1981–2010 za povprečno največjo petdnevno višino padavin na mesec po meteoroloških letnih časih in za celo leto po scenariju RCP8.5



Slika 2.117 | Povprečni razponi sprememb povprečne višine padavin v posameznih regijah po meteoroloških letnih časih in za celo leto za tri scenarije izpustov



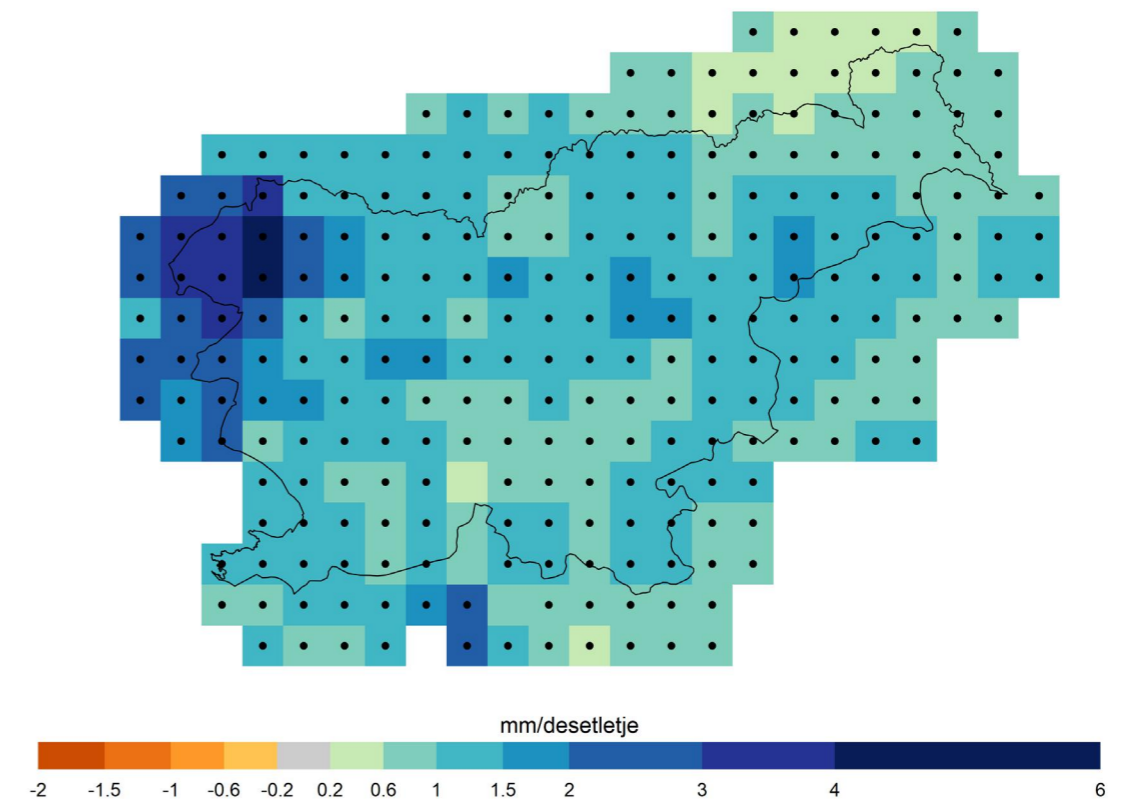
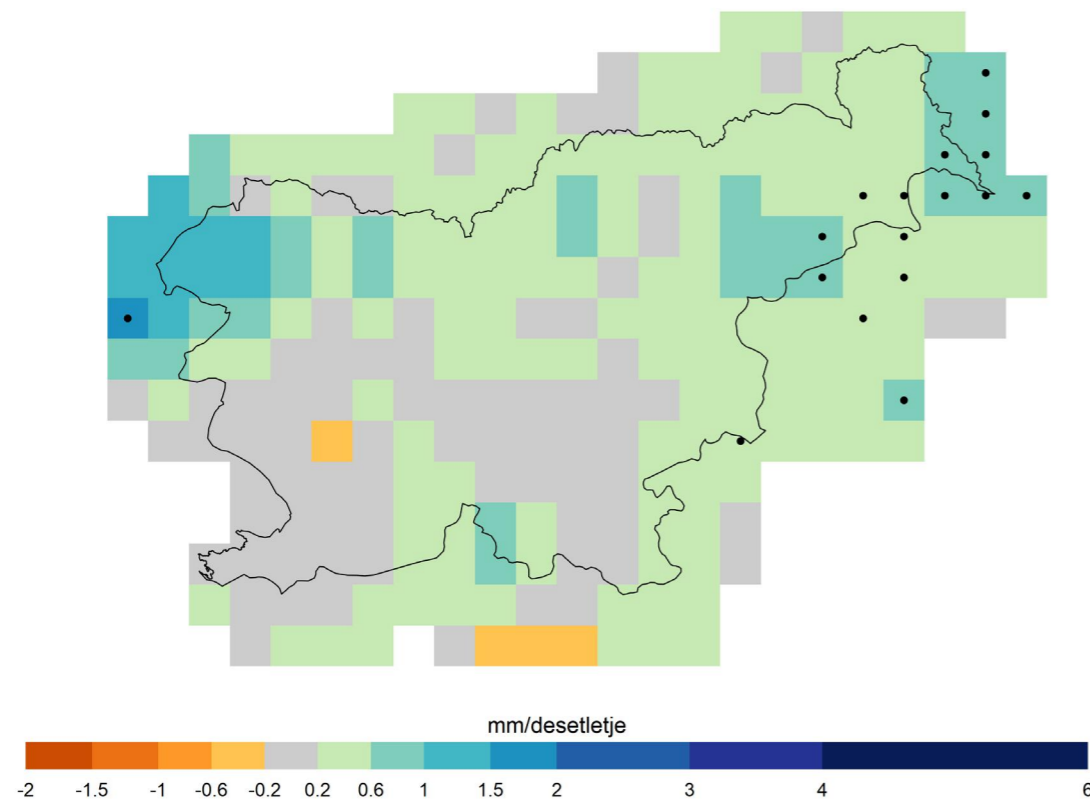
Slika 2.118 | Povprečni razponi sprememb povprečne največje dnevne višine padavin na mesec v posameznih regijah po meteoroloških letnih časih in za celo leto za tri scenarije izpustov



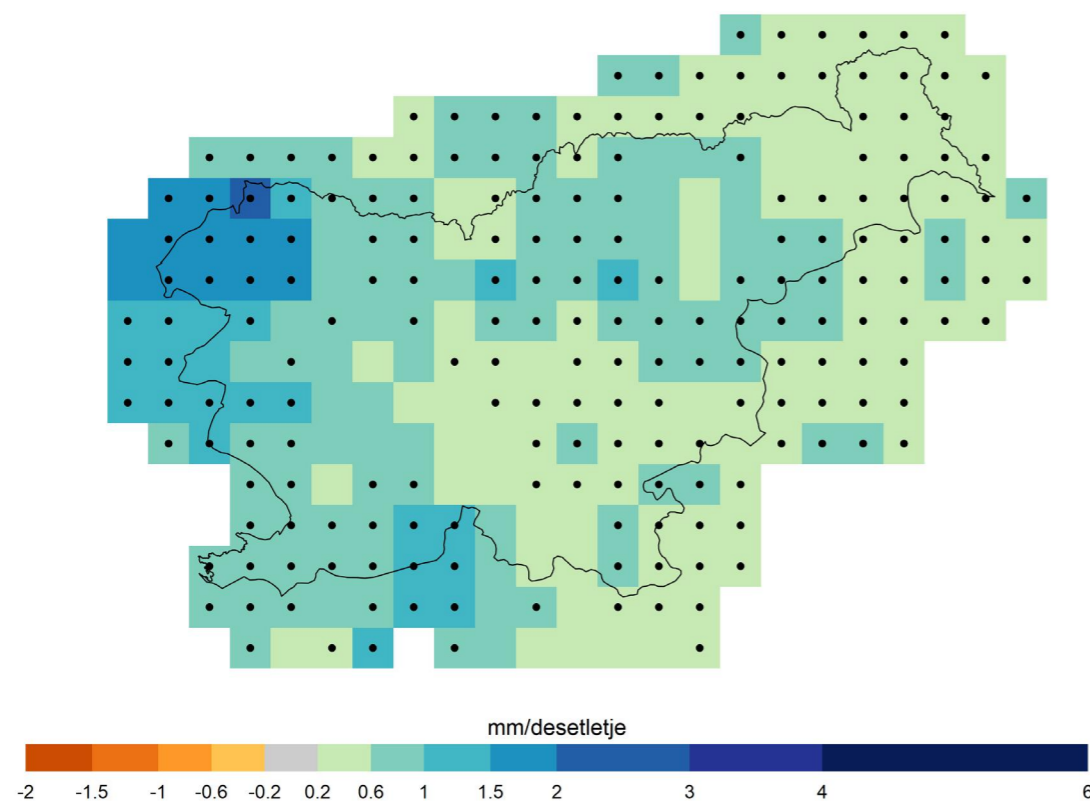
Slika 2.119 | Povprečni razponi sprememb povprečne največje petdnevne višine padavin na mesec v posameznih regijah po meteoroloških letnih časih in za celo leto za tri scenarije izpustov

Trend največje enodnevnne višine padavin, RCP2.6, leto

Trend največje enodnevnne višine padavin, RCP8.5, leto

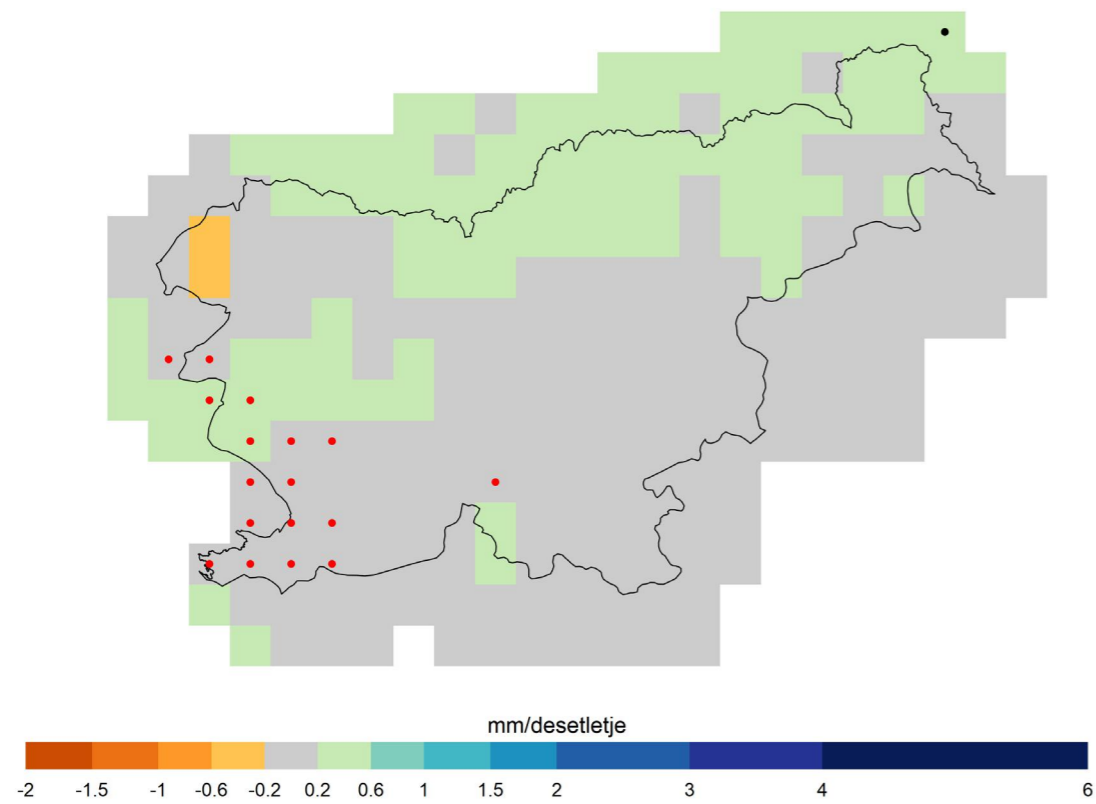


Trend največje enodnevnne višine padavin, RCP4.5, leto

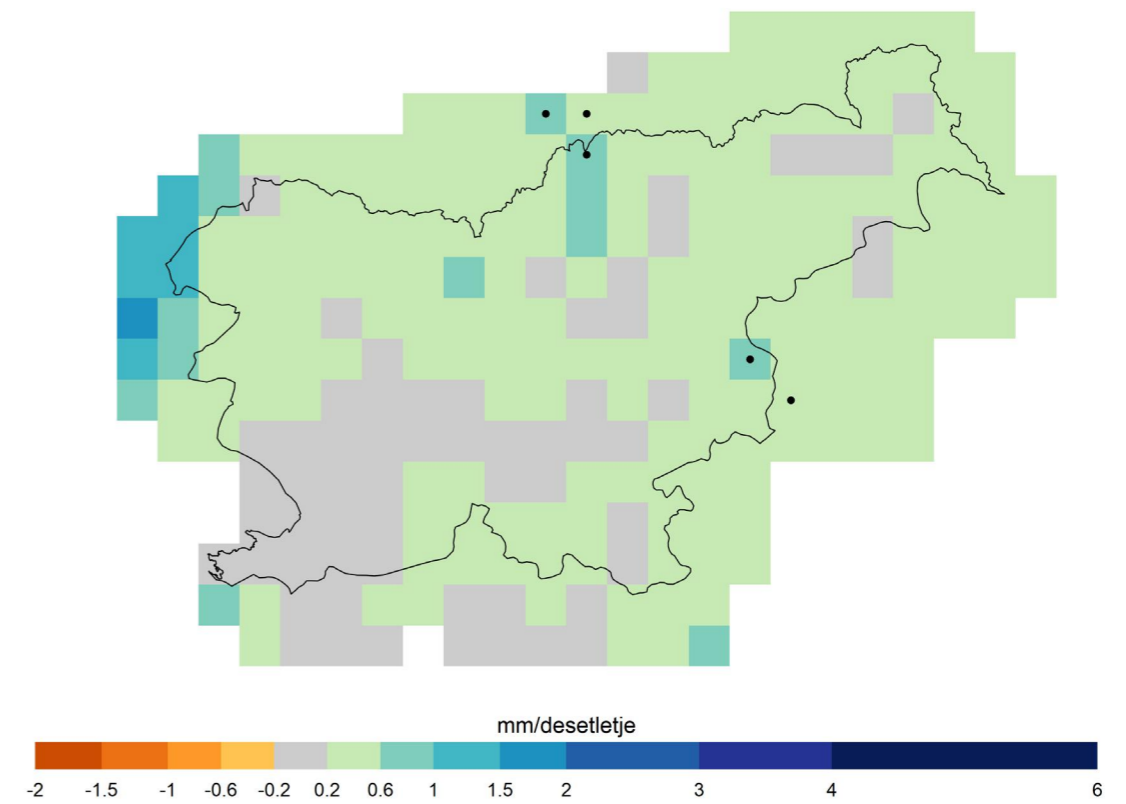


Slika 2.120 | Trendi največje enodnevnne višine padavin v letu s pripadajočo zanesljivostjo za scenarij RCP2.6 (zgoraj), RCP4.5 (spodaj) in RCP8.5 (naslednja stran) v obdobju 1981–2100. Črne pike označujejo celice z zanesljivim trendom, rdeče pike celice z nezanesljivim trendom. V ostalih celicah ni izrazitega trenda (zaznane spremembe so manjše od naravne spremenljivosti).

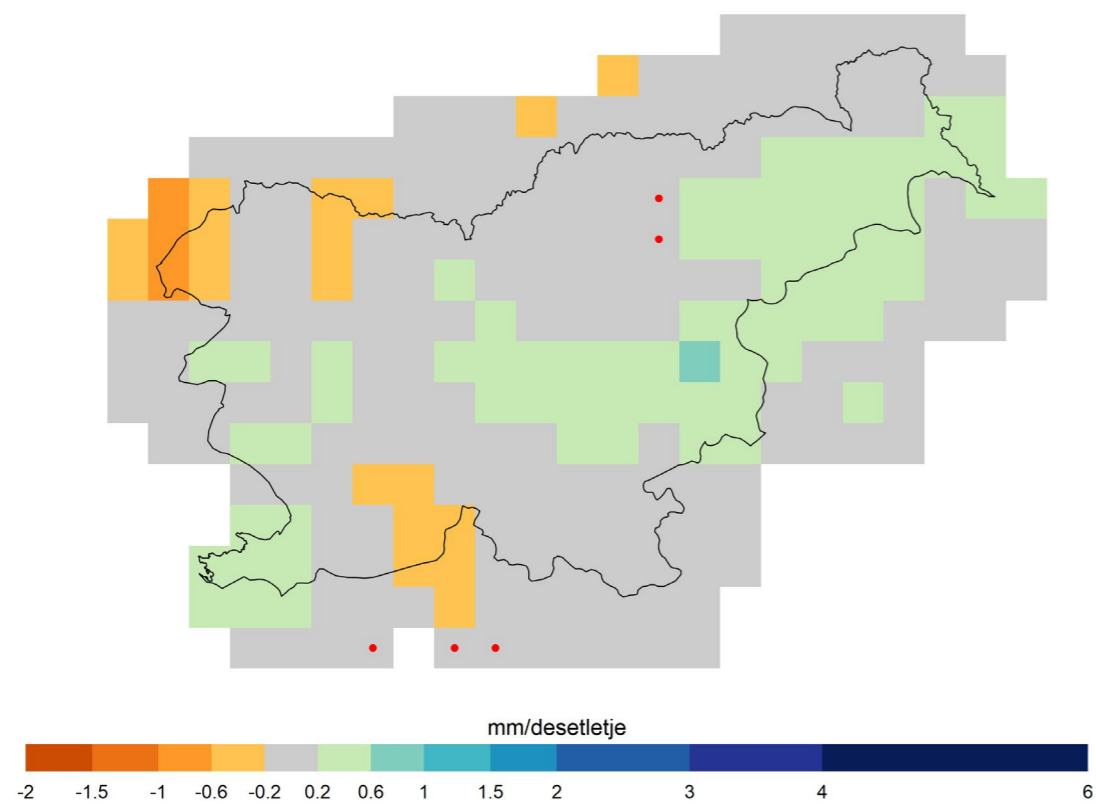
Trend največje enodnevne višine padavin, RCP2.6, pomlad



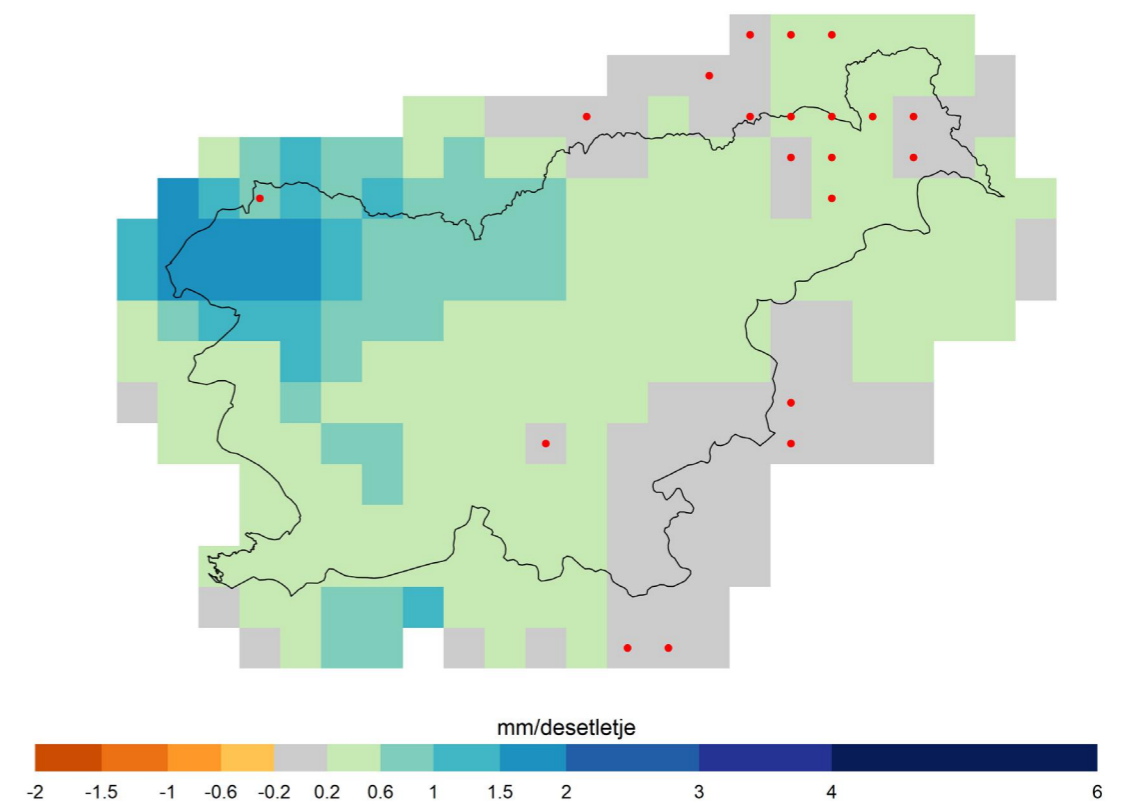
Trend največje enodnevne višine padavin, RCP2.6, jesen



Trend največje enodnevne višine padavin, RCP2.6, poletje



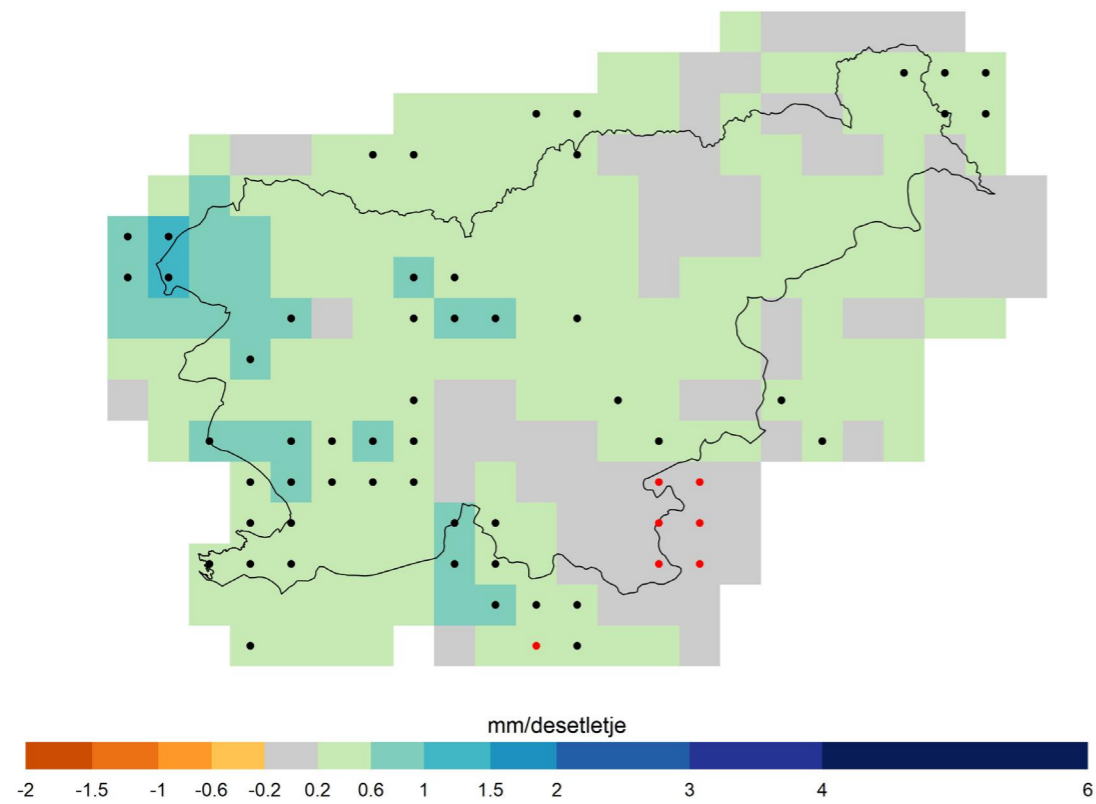
Trend največje enodnevne višine padavin, RCP2.6, zima



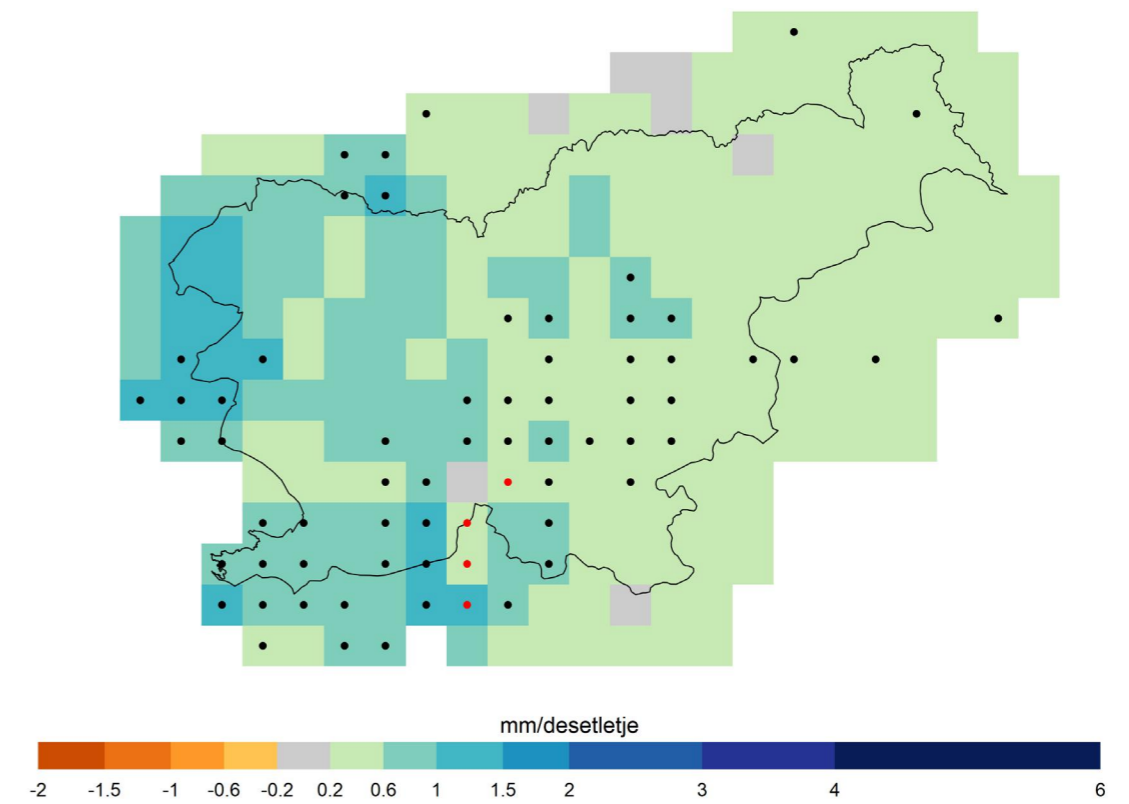
Slika 2.121 | Trendi največje enodnevne višine padavin spomladi (zgoraj) in poleti (spodaj) s pripadajočo zanesljivostjo za scenarij RCP2.6 v obdobju 1981–2100. Črne pike označujejo celice z zanesljivim trendom, rdeče pike celice z nezanesljivim trendom. V ostalih celicah ni izrazitega trenda (zaznane spremembe so manjše od naravne spremenljivosti).

Slika 2.122 | Trendi največje enodnevne višine padavin jeseni (zgoraj) in pozimi (spodaj) s pripadajočo zanesljivostjo za scenarij RCP2.6 v obdobju 1981–2100. Črne pike označujejo celice z zanesljivim trendom, rdeče pike celice z nezanesljivim trendom. V ostalih celicah ni izrazitega trenda (zaznane spremembe so manjše od naravne spremenljivosti).

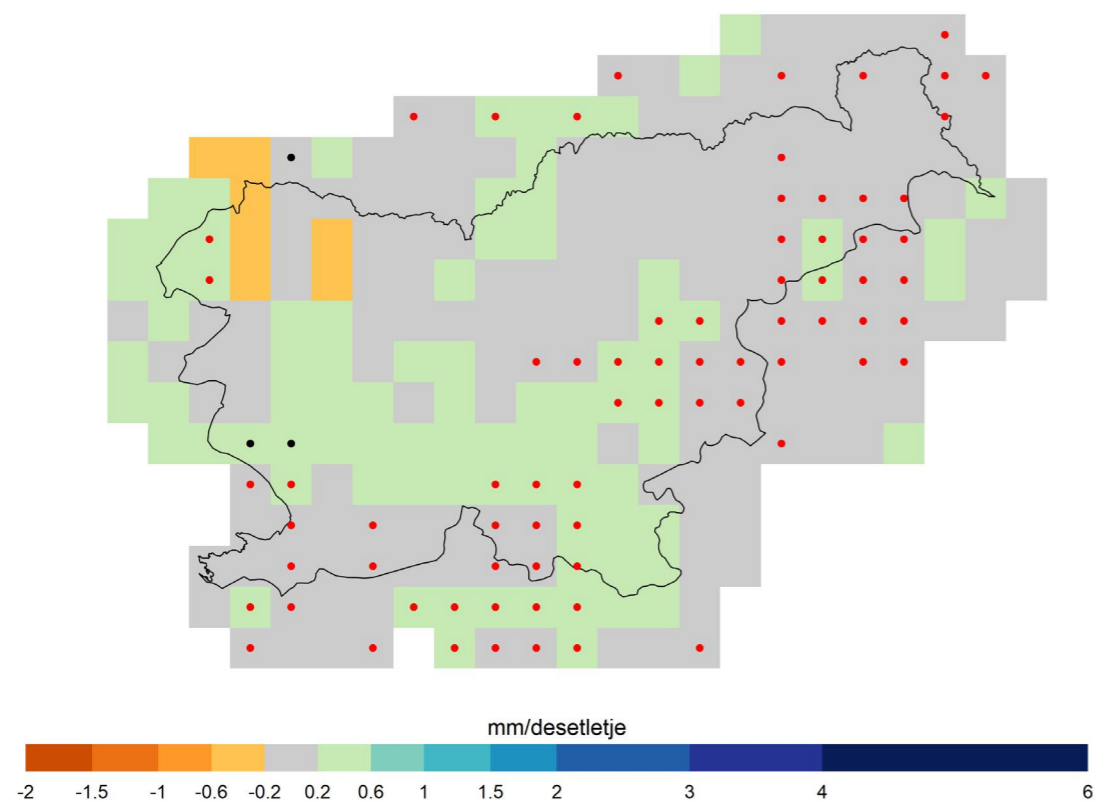
Trend največje enodnevne višine padavin, RCP4.5, pomlad



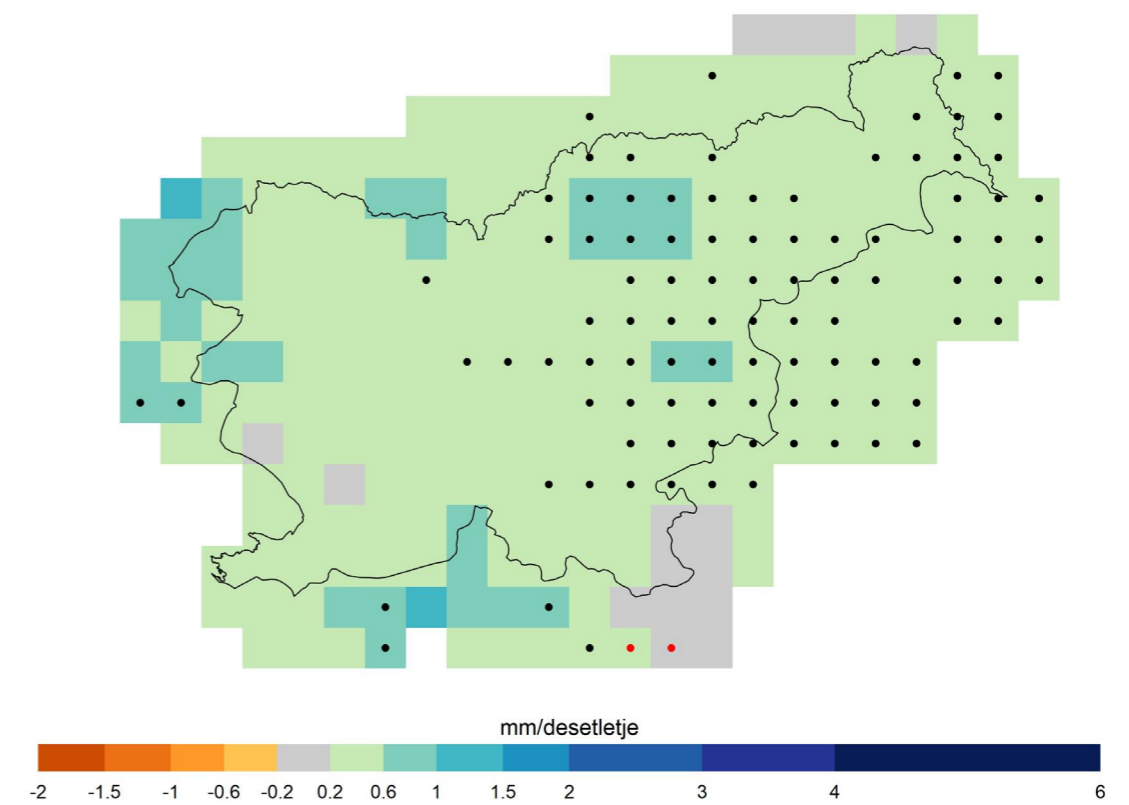
Trend največje enodnevne višine padavin, RCP4.5, jesen



Trend največje enodnevne višine padavin, RCP4.5, poletje



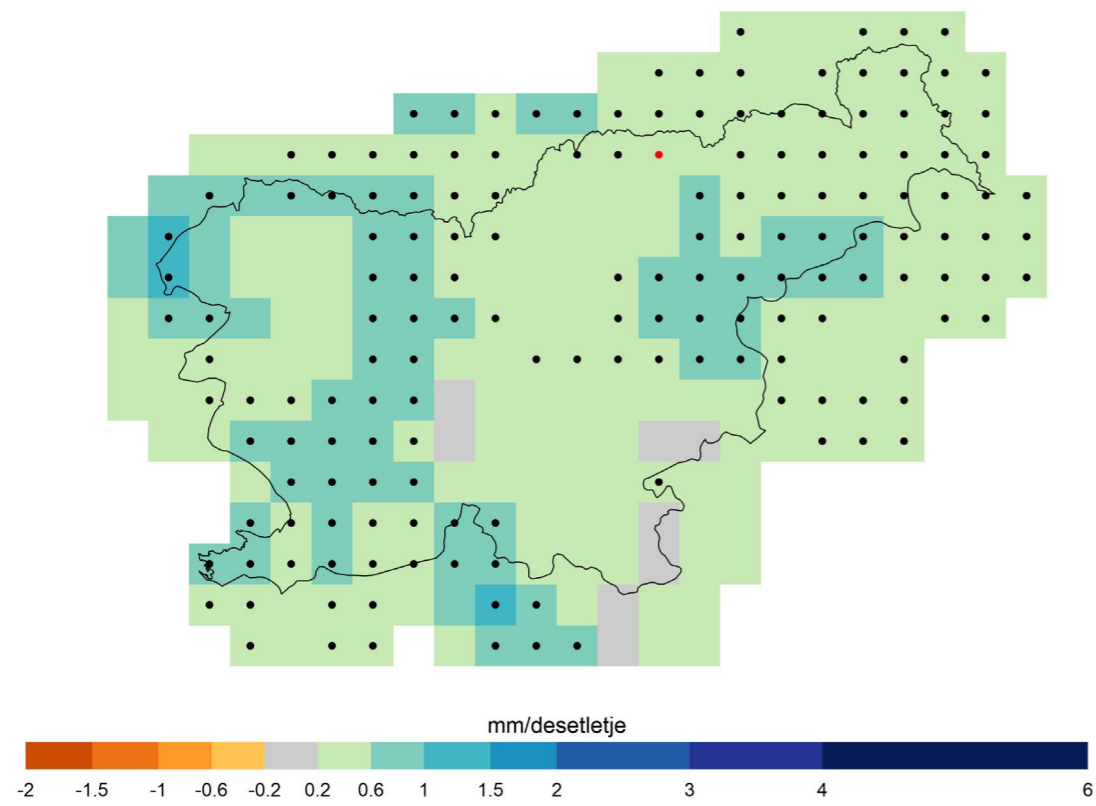
Trend največje enodnevne višine padavin, RCP4.5, zima



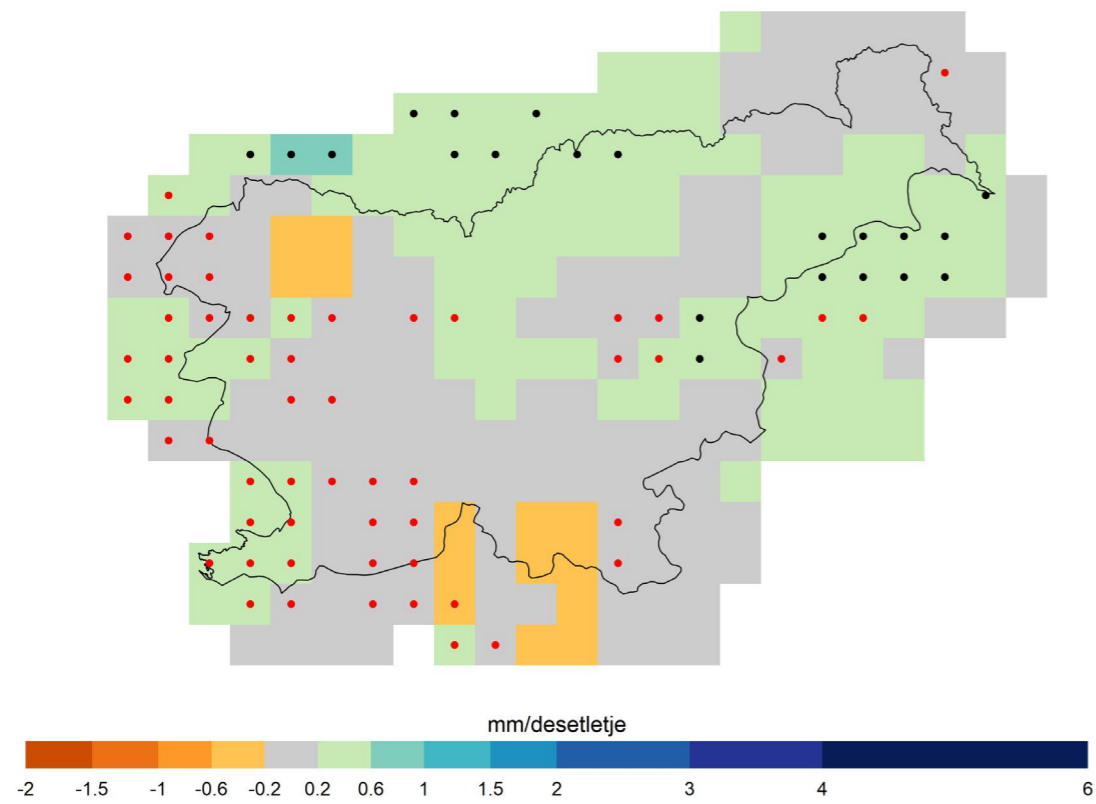
Slika 2.123 | Trendi največje enodnevne višine padavin spomladi (zgoraj) in poleti (spodaj) s pripadajočo zanesljivostjo za scenarij RCP4.5 v obdobju 1981–2100. Črne pike označujejo celice z zanesljivim trendom, rdeče pike celice z nezanesljivim trendom. V ostalih celicah ni izrazitega trenda (zaznane spremembe so manjše od naravne spremenljivosti).

Slika 2.124 | Trendi največje enodnevne višine padavin jeseni (zgoraj) in pozimi (spodaj) s pripadajočo zanesljivostjo za scenarij RCP4.5 v obdobju 1981–2100. Črne pike označujejo celice z zanesljivim trendom, rdeče pike celice z nezanesljivim trendom. V ostalih celicah ni izrazitega trenda (zaznane spremembe so manjše od naravne spremenljivosti).

Trend največje enodnevne višine padavin, RCP8.5, pomlad

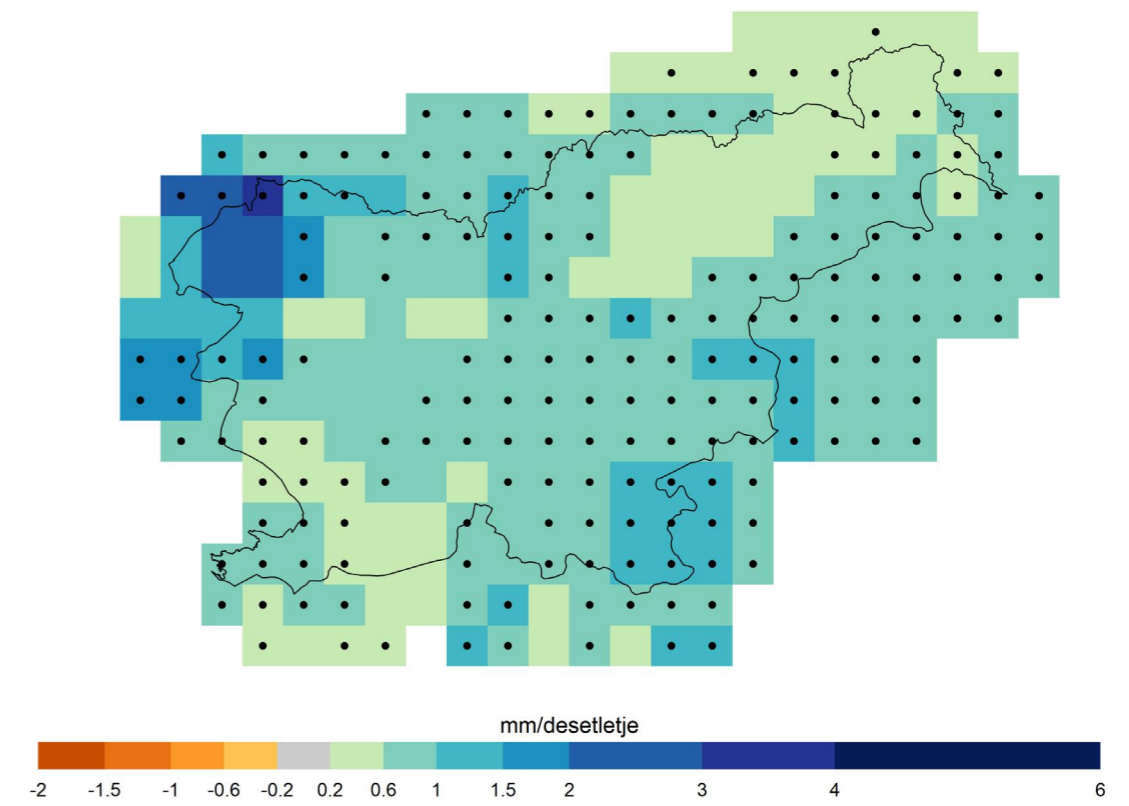


Trend največje enodnevne višine padavin, RCP8.5, poletje

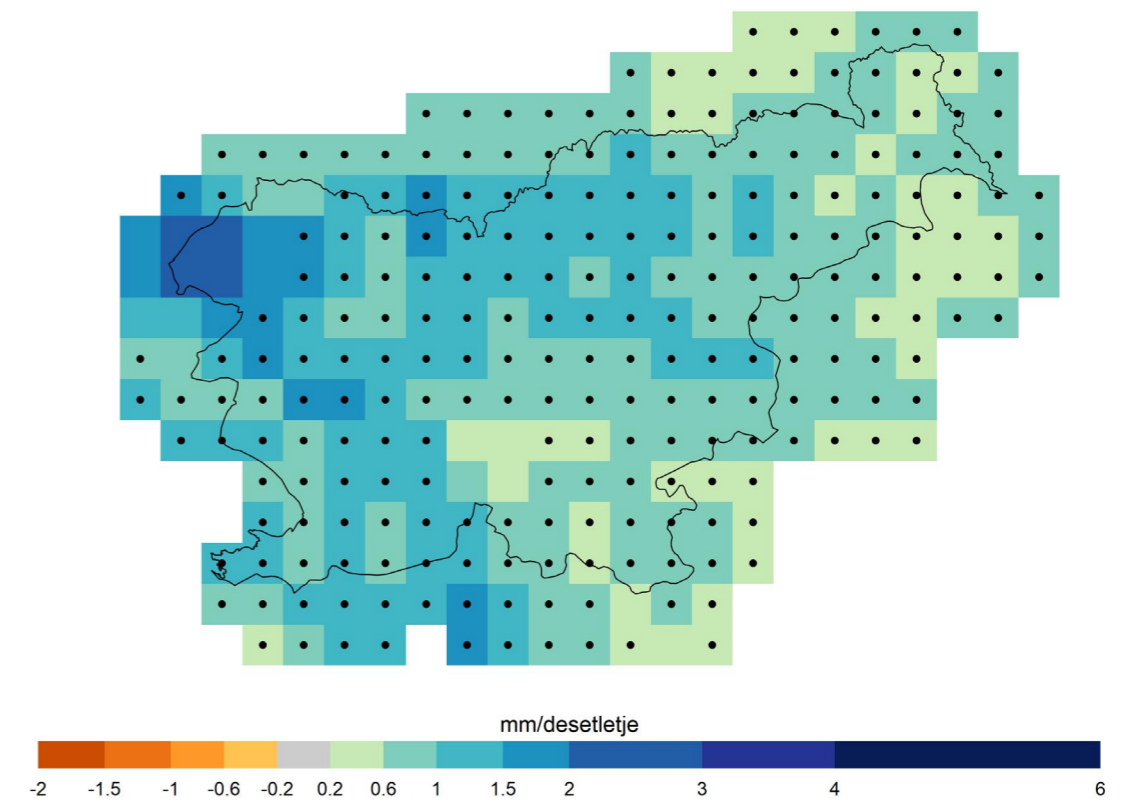


Slika 2.125 | Trendi največje enodnevne višine padavin spomladi (zgoraj) in poleti (spodaj) s pripadajočo zanesljivostjo za scenarij RCP8.5 v obdobju 1981–2100. Črne pike označujejo celice z zanesljivim trendom, rdeče pike celice z nezanesljivim trendom. V ostalih celicah ni izrazitega trenda (zaznane spremembe so manjše od naravne spremenljivosti).

Trend največje enodnevne višine padavin, RCP8.5, jesen

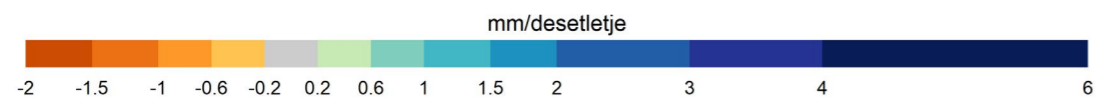
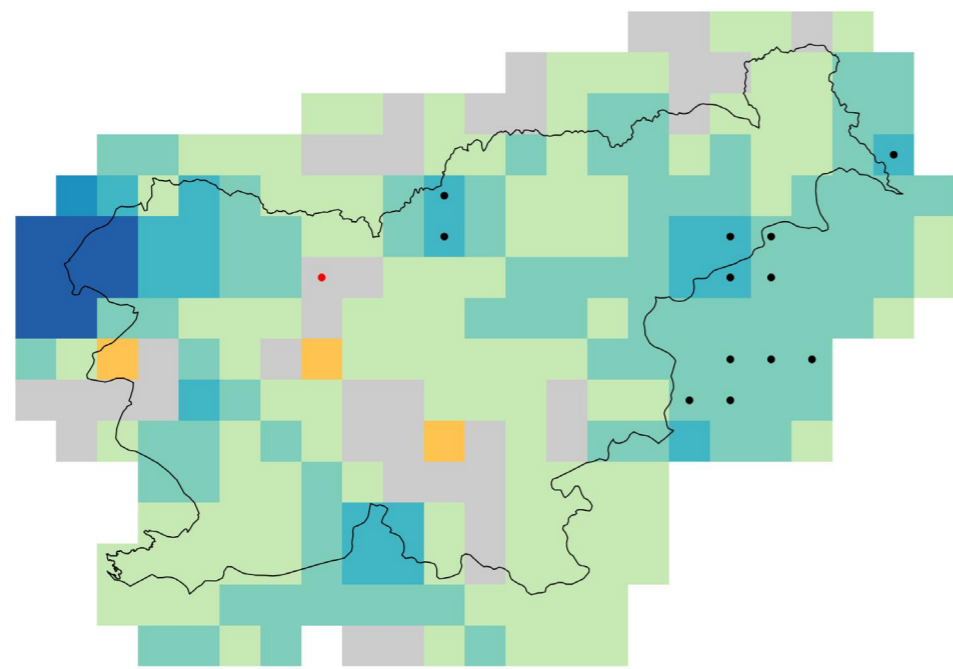


Trend največje enodnevne višine padavin, RCP8.5, zima

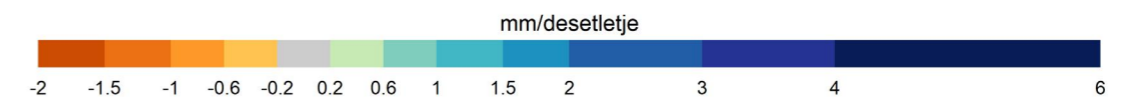
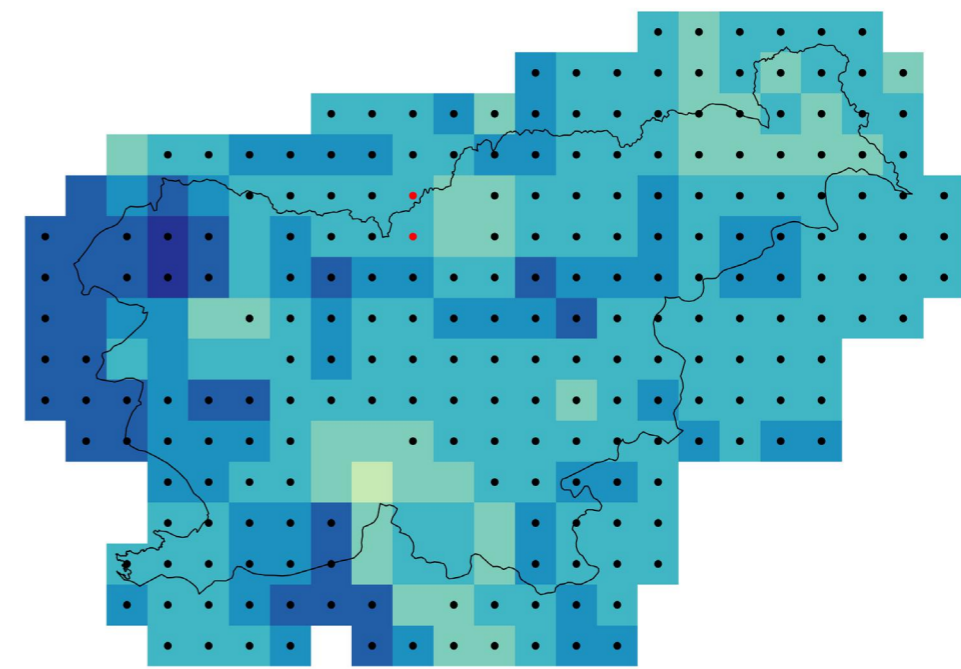


Slika 2.126 | Trendi največje enodnevne višine padavin jeseni (zgoraj) in pozimi (spodaj) s pripadajočo zanesljivostjo za scenarij RCP8.5 v obdobju 1981–2100. Črne pike označujejo celice z zanesljivim trendom, rdeče pike celice z nezanesljivim trendom. V ostalih celicah ni izrazitega trenda (zaznane spremembe so manjše od naravne spremenljivosti).

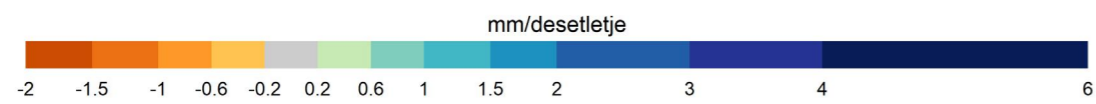
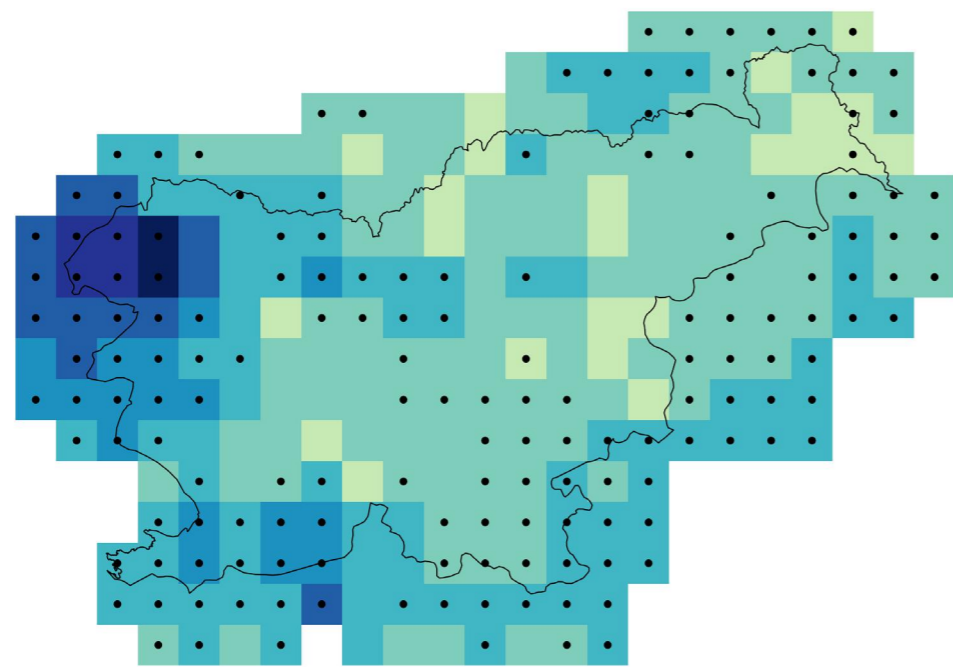
Trend največje tridnevne višine padavin, RCP2.6, leto



Trend največje tridnevne višine padavin, RCP8.5, leto

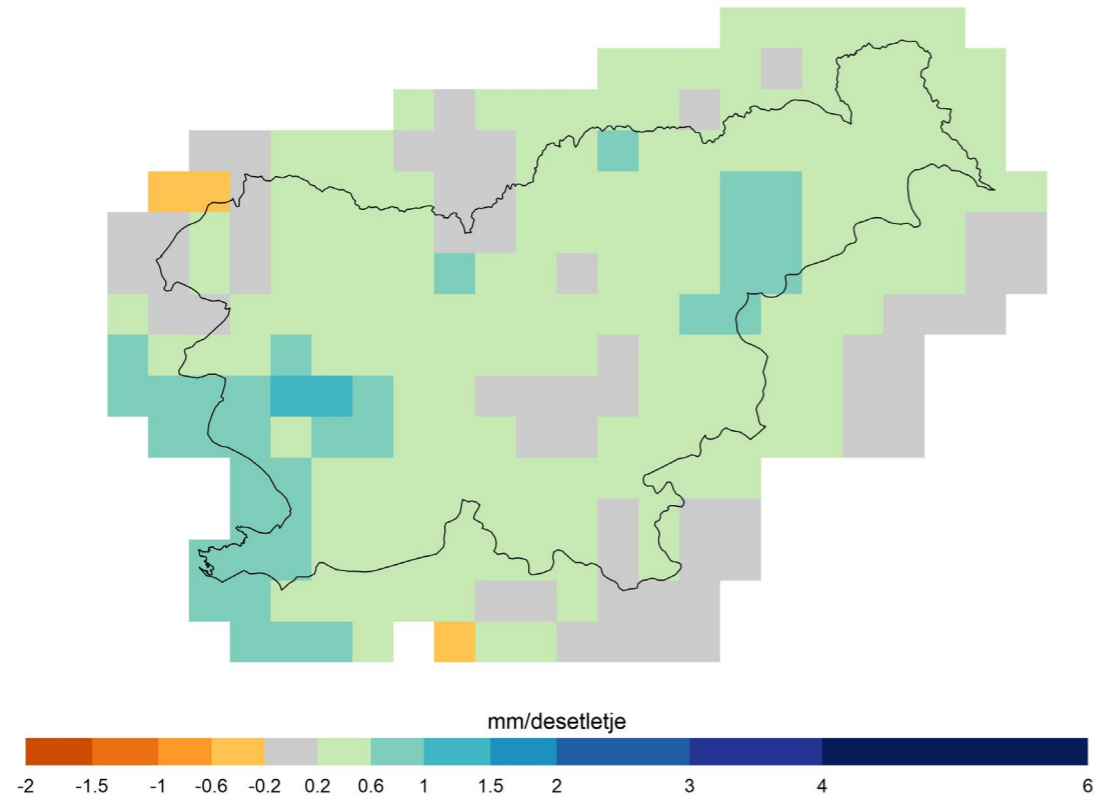


Trend največje tridnevne višine padavin, RCP4.5, leto

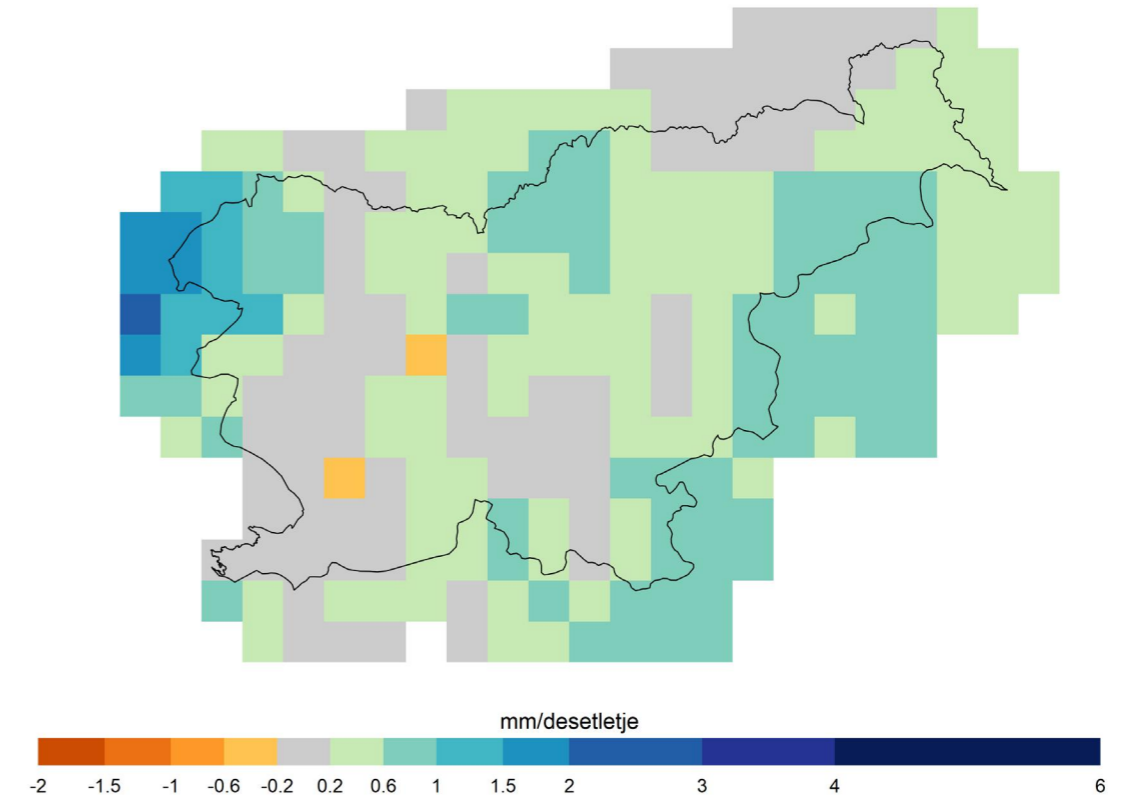


Slika 2.127 | Trendi letnih največje tridnevne višine padavin s pripadajočo zanesljivostjo za scenarij RCP2.6 (zgoraj), RCP4.5 (spodaj) in RCP8.5 (naslednja stran) v obdobju 1981–2100. Črne pike označujejo celice z zanesljivim trendom, rdeče pike celice z nezanesljivim trendom. V ostalih celicah ni izrazitega trenda (zaznane spremembe so manjše od naravne spremenljivosti).

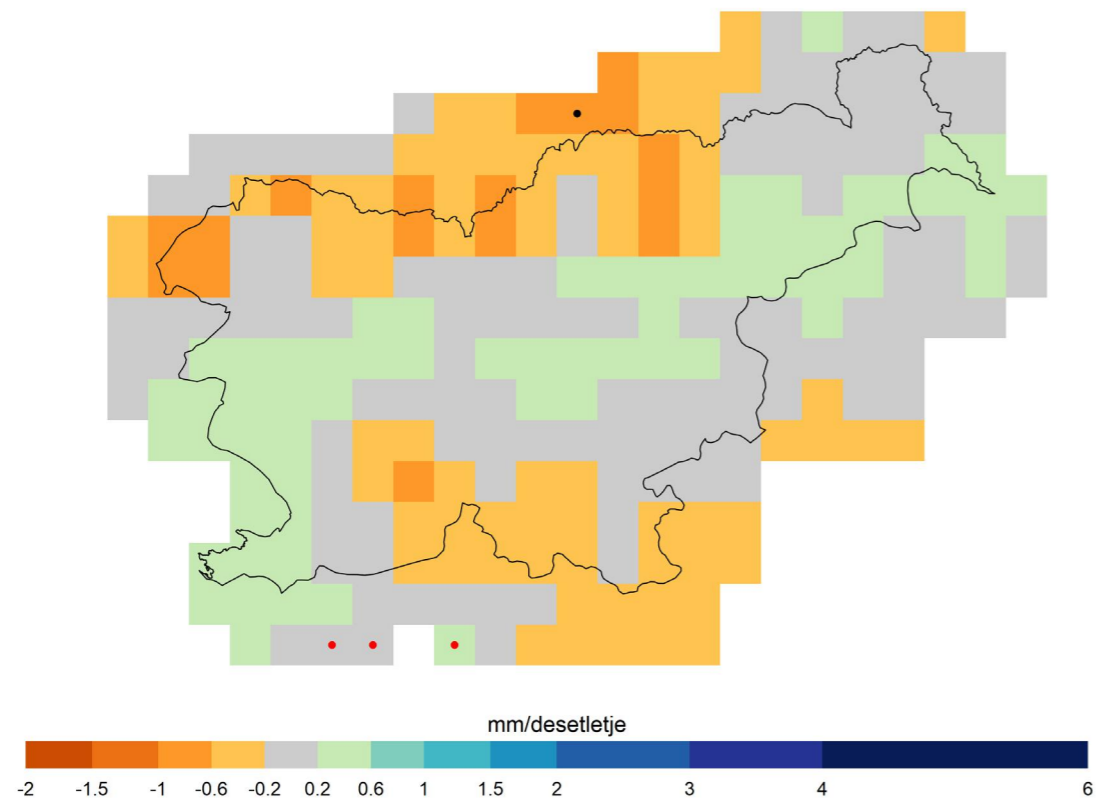
Trend največje tridnevne višine padavin, RCP2.6, pomlad



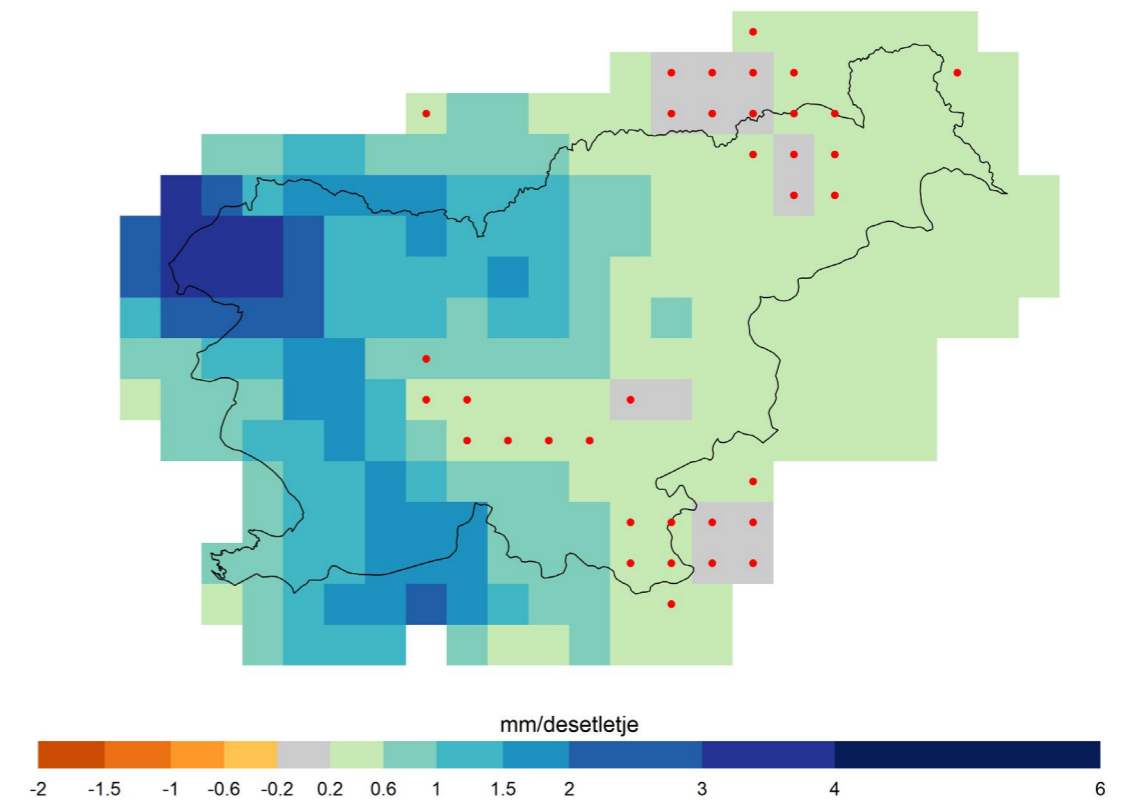
Trend največje tridnevne višine padavin, RCP2.6, jesen



Trend največje tridnevne višine padavin, RCP2.6, poletje



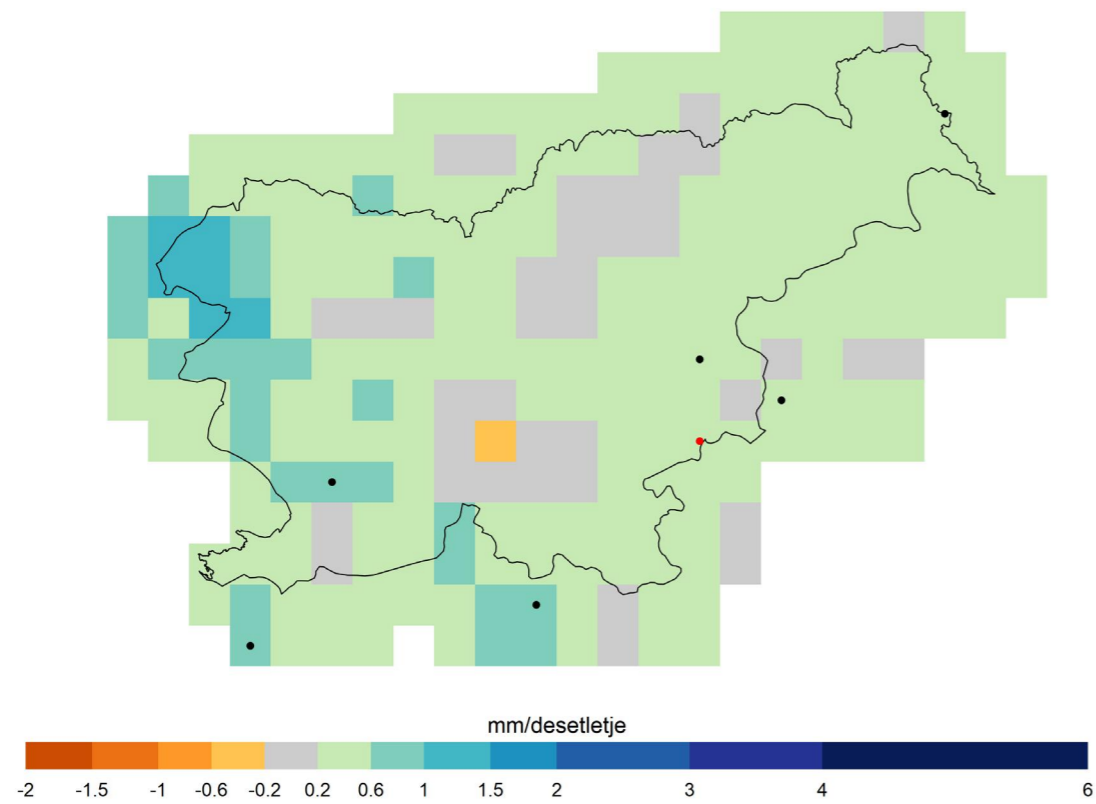
Trend največje tridnevne višine padavin, RCP2.6, zima



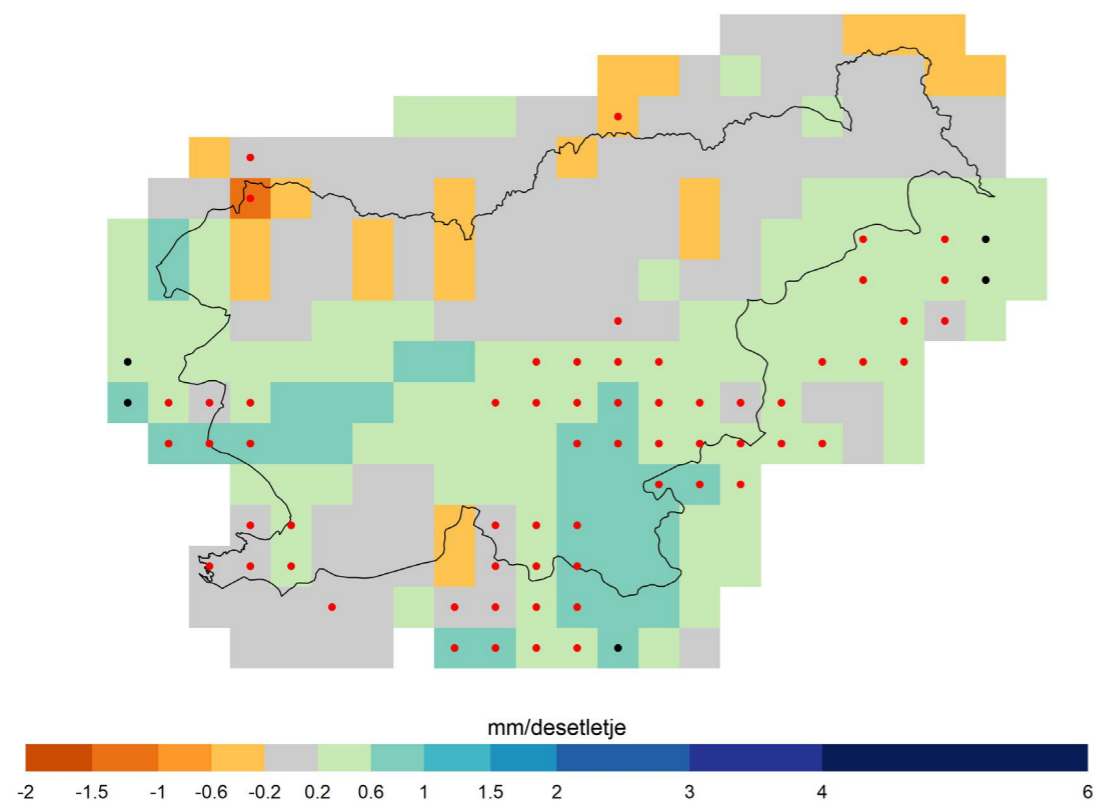
Slika 2.128 | Trendi največje tridnevne višine padavin spomladi (zgoraj) in poleti (spodaj) s pripadajočo zanesljivostjo za scenarij RCP2.6 v obdobju 1981–2100. Črne pike označujejo celice z zanesljivim trendom, rdeče pike celice z nezanesljivim trendom. V ostalih celicah ni izrazitega trenda (zaznane spremembe so manjše od naravne spremenljivosti).

Slika 2.129 | Trendi največje tridnevne višine padavin jeseni (zgoraj) in pozimi (spodaj) s pripadajočo zanesljivostjo za scenarij RCP2.6 v obdobju 1981–2100. Črne pike označujejo celice z zanesljivim trendom, rdeče pike celice z nezanesljivim trendom. V ostalih celicah ni izrazitega trenda (zaznane spremembe so manjše od naravne spremenljivosti).

Trend največje tridnevne višine padavin, RCP4.5, pomlad

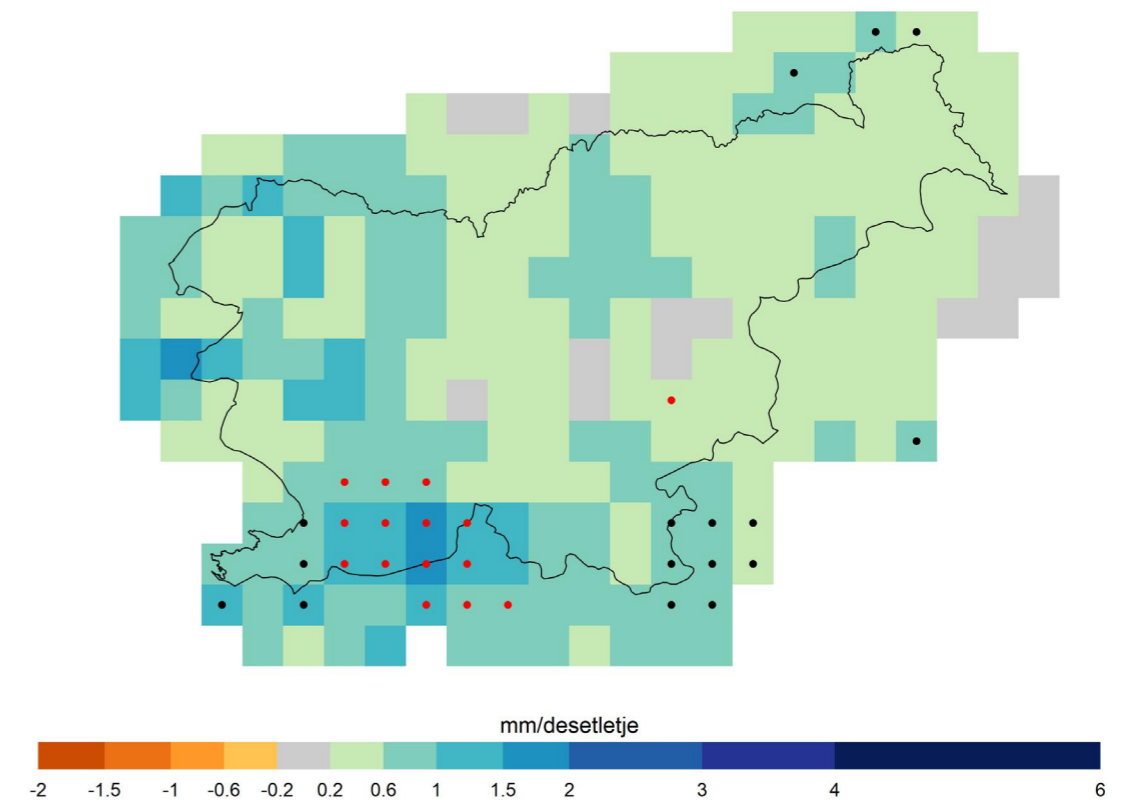


Trend največje tridnevne višine padavin, RCP4.5, poletje

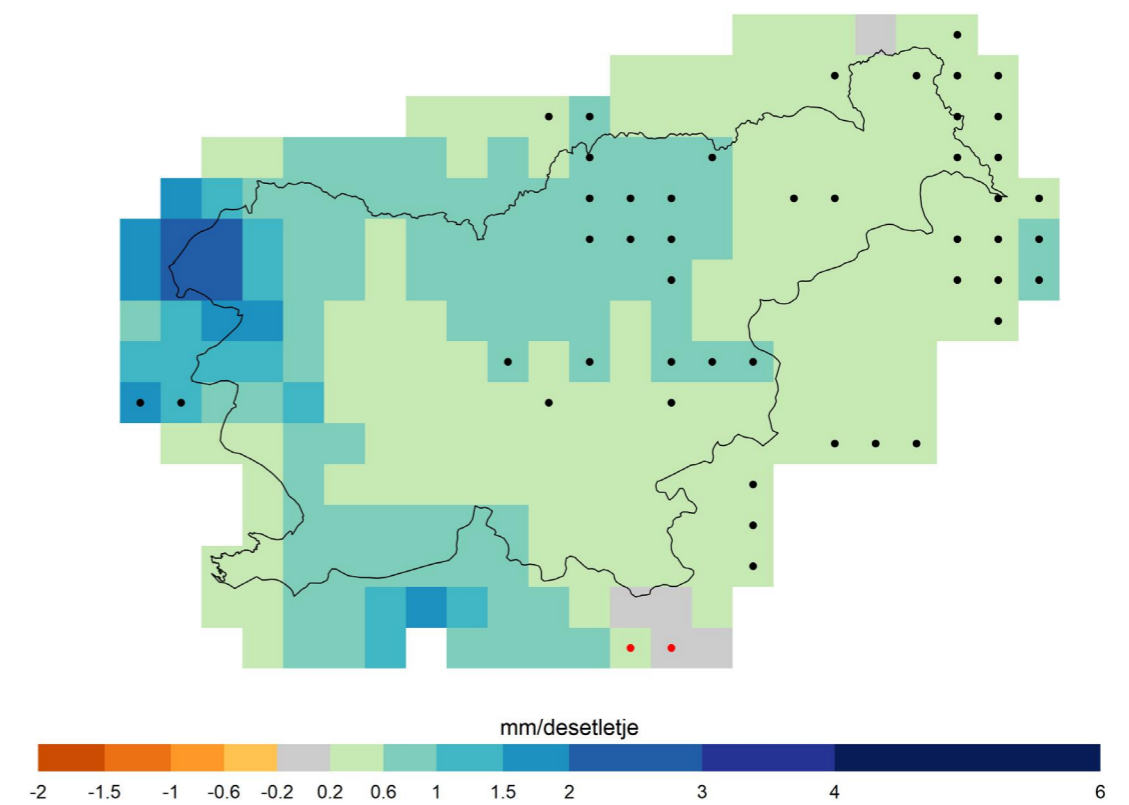


Slika 2.130 | Trendi največje tridnevne višine padavin spomladi (zgoraj) in poleti (spodaj) s pripadajočo zanesljivostjo za scenarij RCP4.5 v obdobju 1981–2100. Črne pike označujejo celice z zanesljivim trendom, rdeče pike celice z nezanesljivim trendom. V ostalih celicah ni izrazitega trenda (zaznane spremembe so manjše od naravne spremenljivosti).

Trend največje tridnevne višine padavin, RCP4.5, jesen

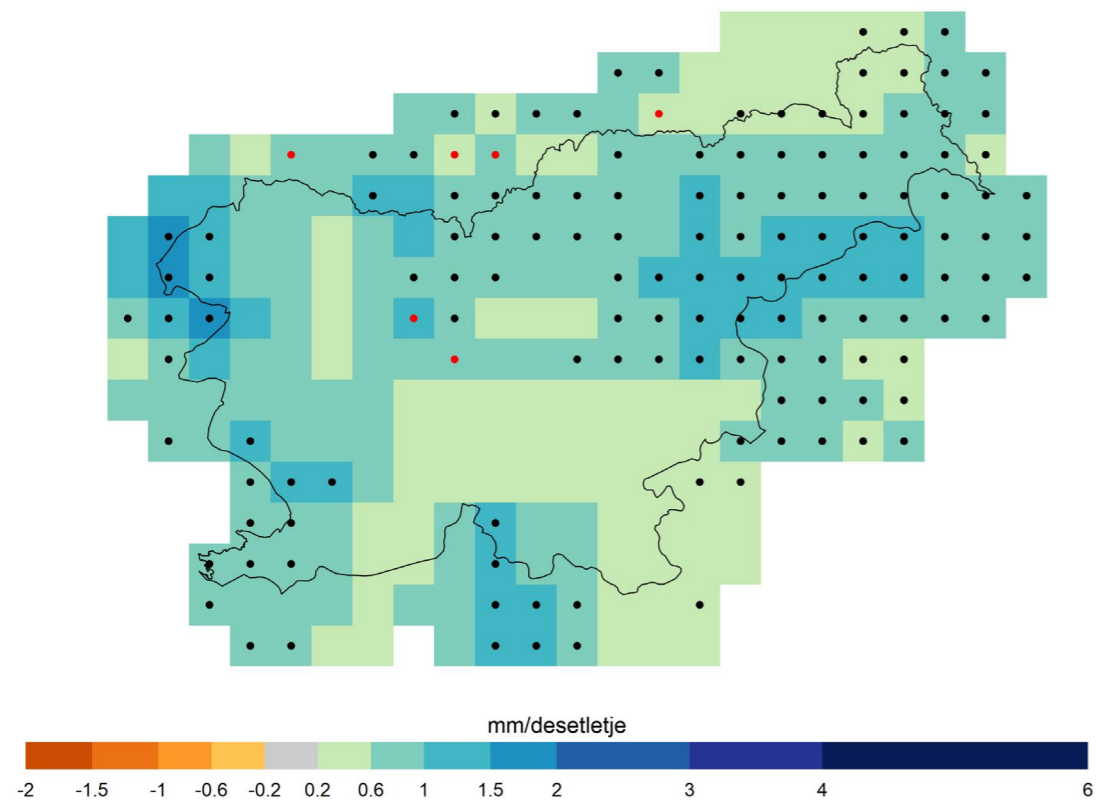


Trend največje tridnevne višine padavin, RCP4.5, zima

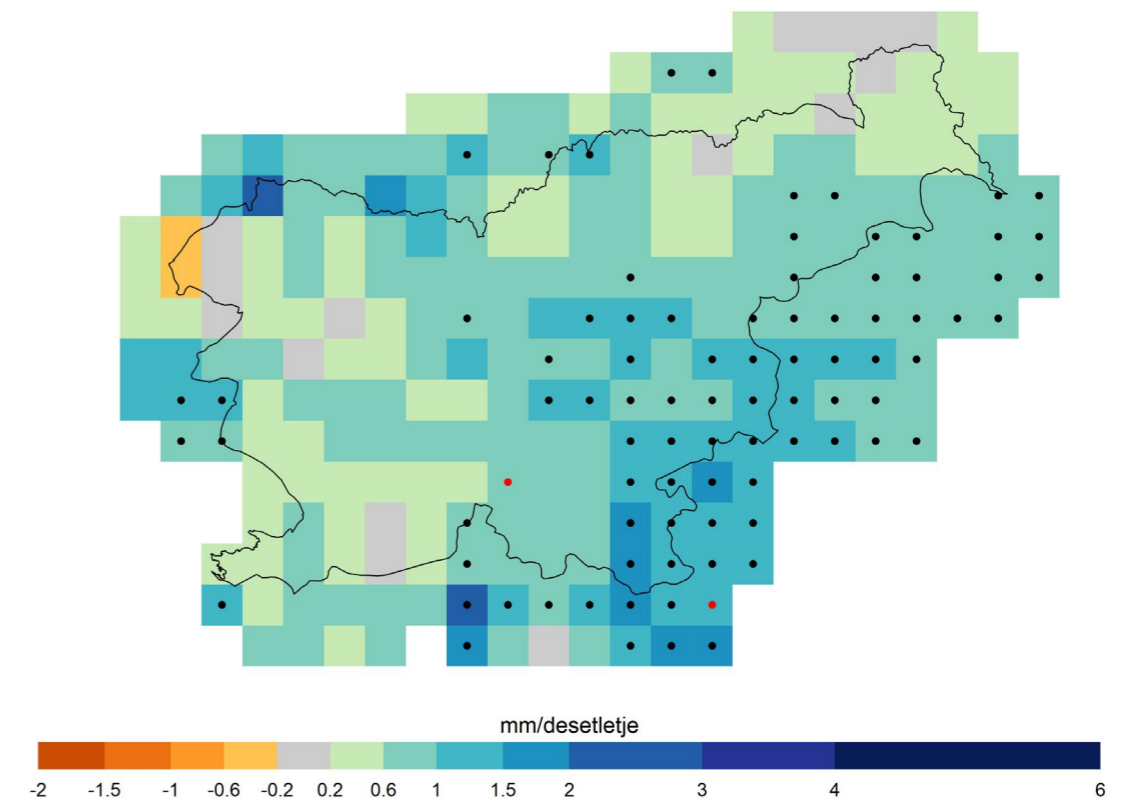


Slika 2.131 | Trendi največje tridnevne višine padavin jeseni (zgoraj) in pozimi (spodaj) s pripadajočo zanesljivostjo za scenarij RCP4.5 v obdobju 1981–2100. Črne pike označujejo celice z zanesljivim trendom, rdeče pike celice z nezanesljivim trendom. V ostalih celicah ni izrazitega trenda (zaznane spremembe so manjše od naravne spremenljivosti).

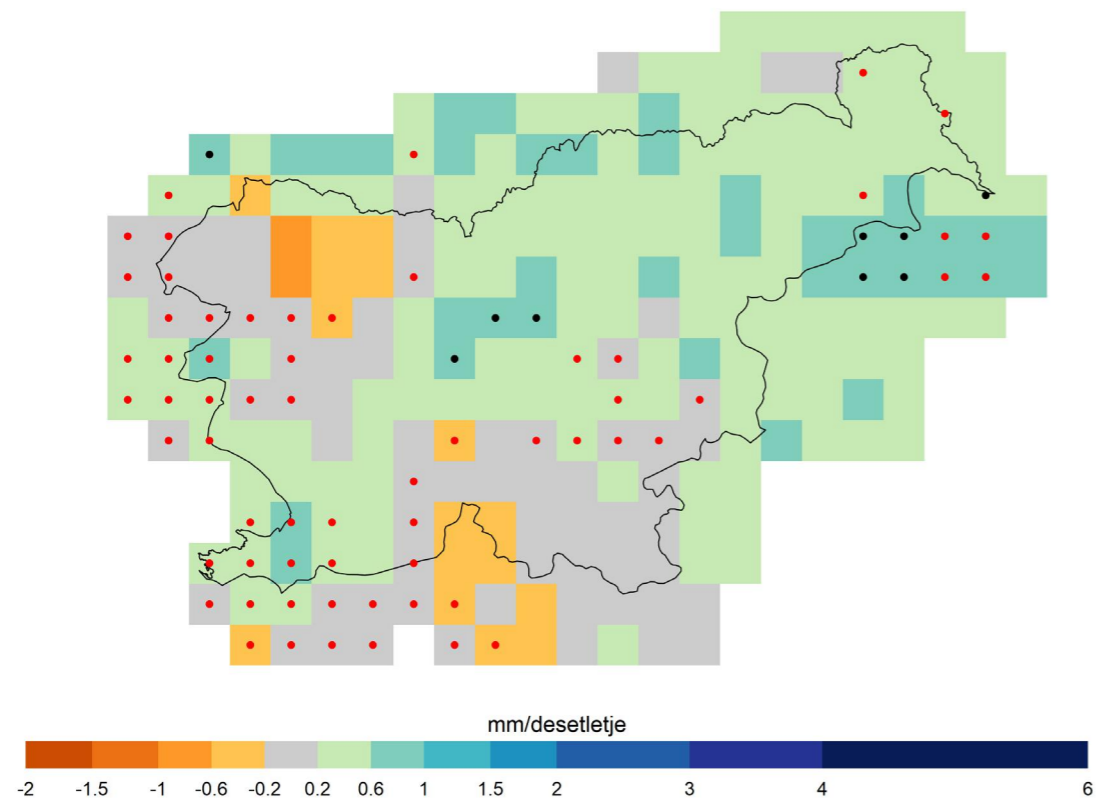
Trend največje tridnevne višine padavin, RCP8.5, pomlad



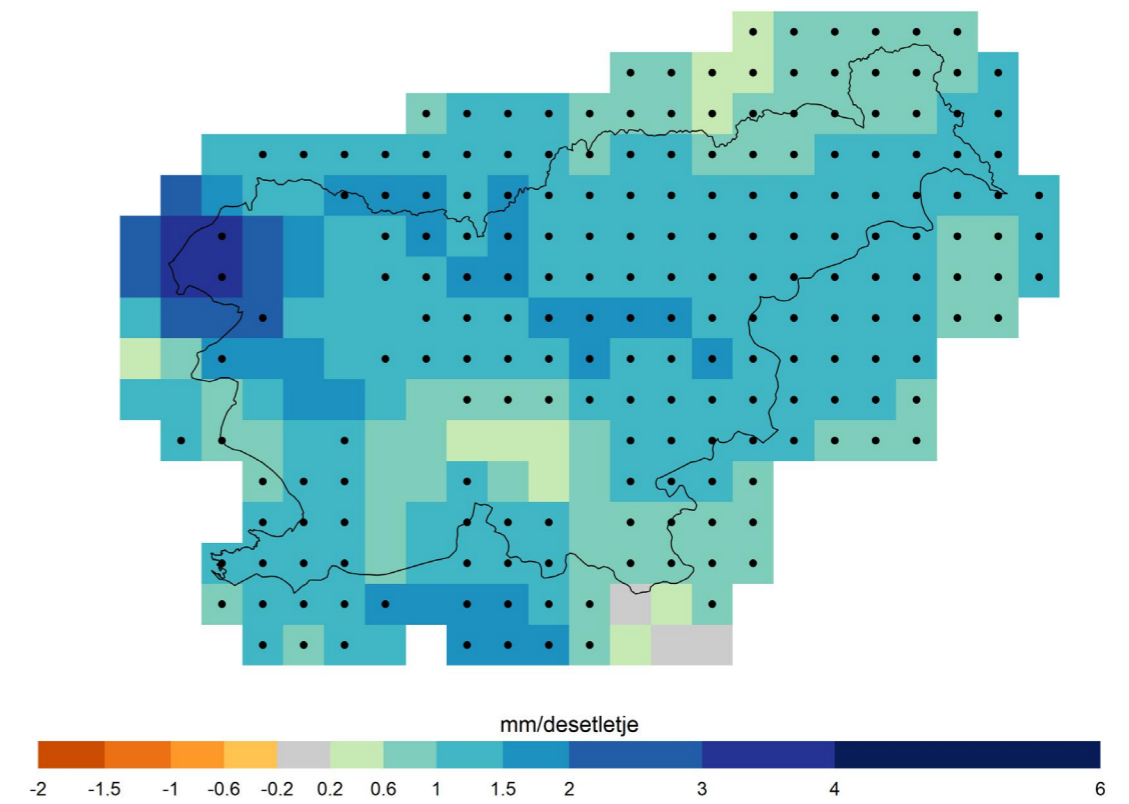
Trend največje tridnevne višine padavin, RCP8.5, jesen



Trend največje tridnevne višine padavin, RCP8.5, poletje



Trend največje tridnevne višine padavin, RCP8.5, zima

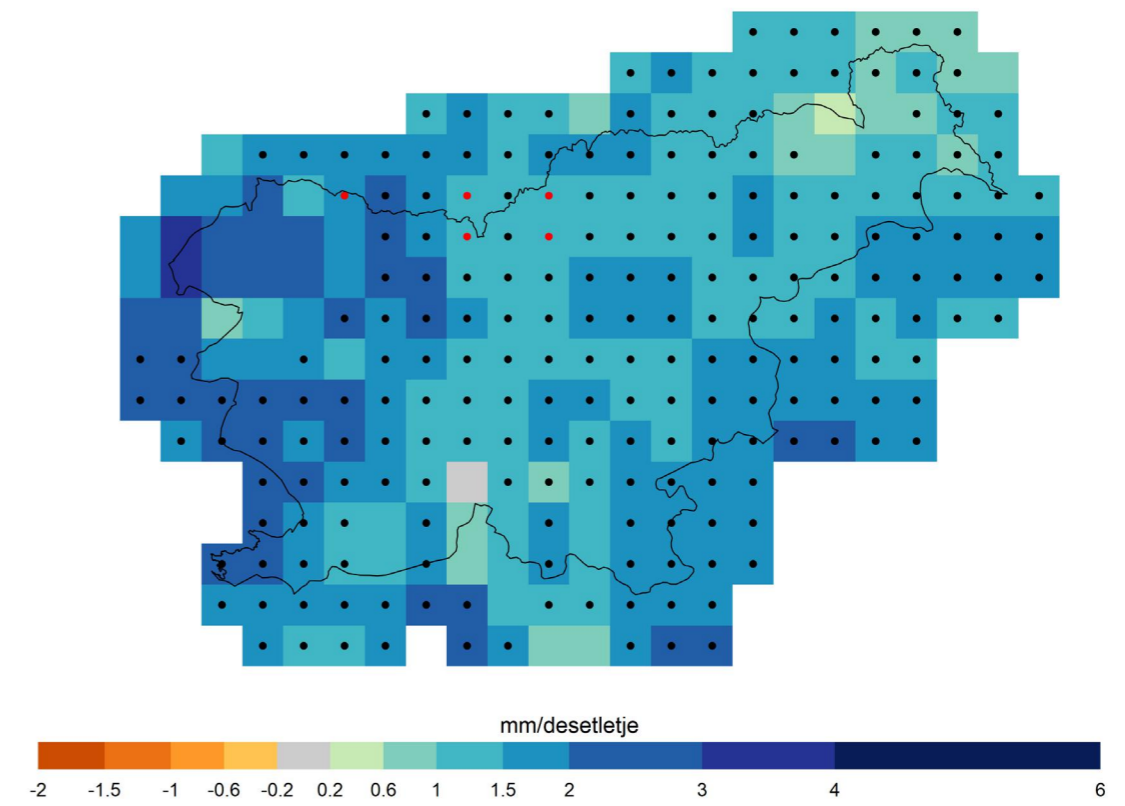
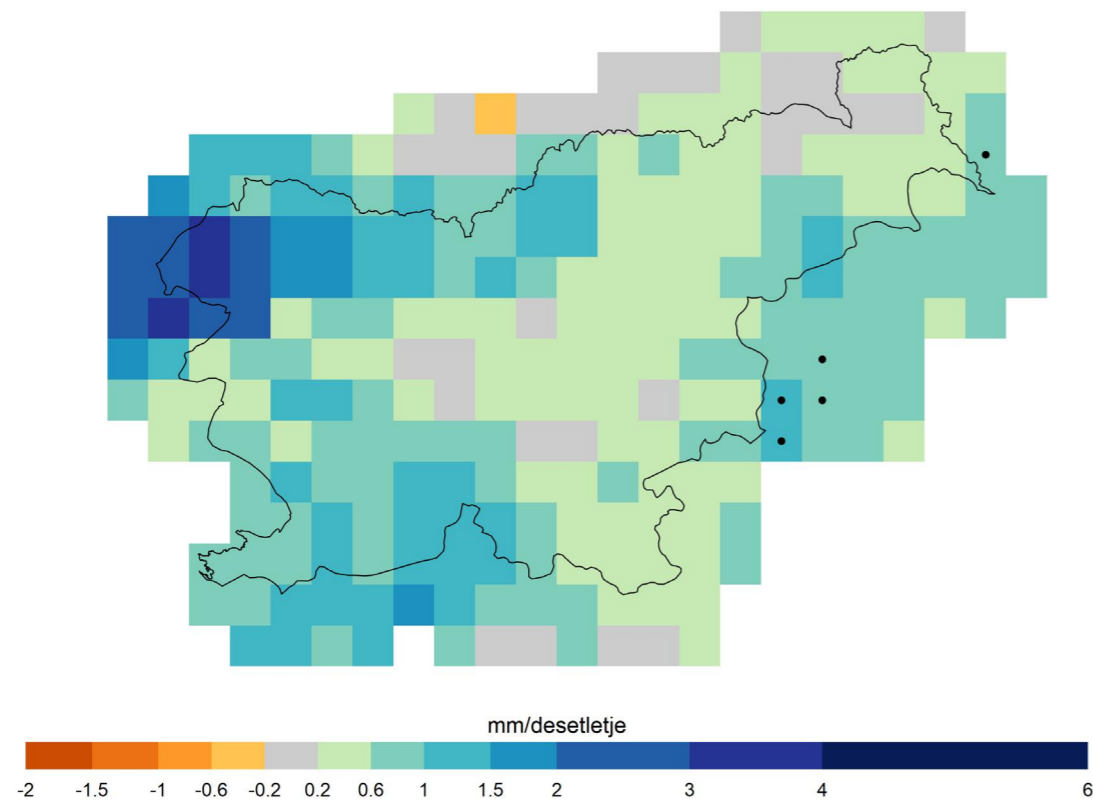


Slika 2.132 | Trendi največje tridnevne višine padavin spomladi (zgoraj) in poleti (spodaj) s pripadajočo zanesljivostjo za scenarij RCP8.5 v obdobju 1981–2100. Črne pike označujejo celice z zanesljivim trendom, rdeče pike celice z nezanesljivim trendom. V ostalih celicah ni izrazitega trenda (zaznane spremembe so manjše od naravne spremenljivosti).

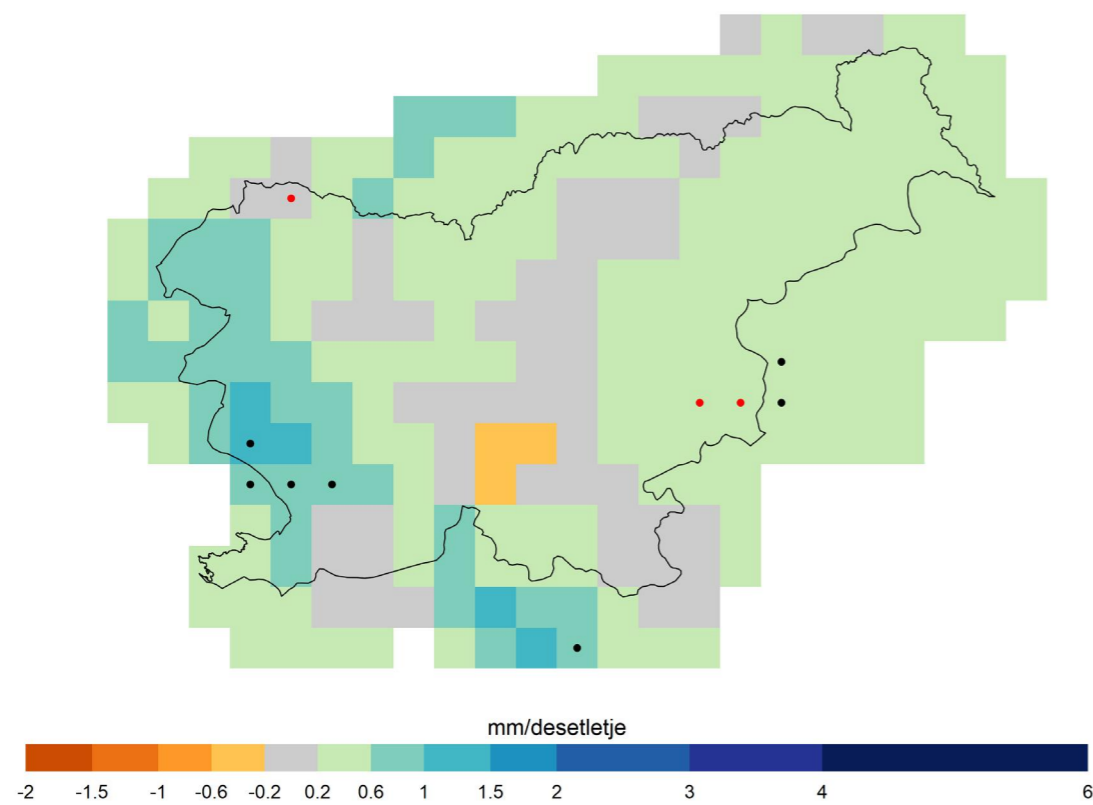
Slika 2.133 | Trendi največje tridnevne višine padavin jeseni (zgoraj) in pozimi (spodaj) s pripadajočo zanesljivostjo za scenarij RCP8.5 v obdobju 1981–2100. Črne pike označujejo celice z zanesljivim trendom, rdeče pike celice z nezanesljivim trendom. V ostalih celicah ni izrazitega trenda (zaznane spremembe so manjše od naravne spremenljivosti).

Trend največje petdnevne višine padavin, RCP2.6, leto

Trend največje petdnevne višine padavin, RCP8.5, leto

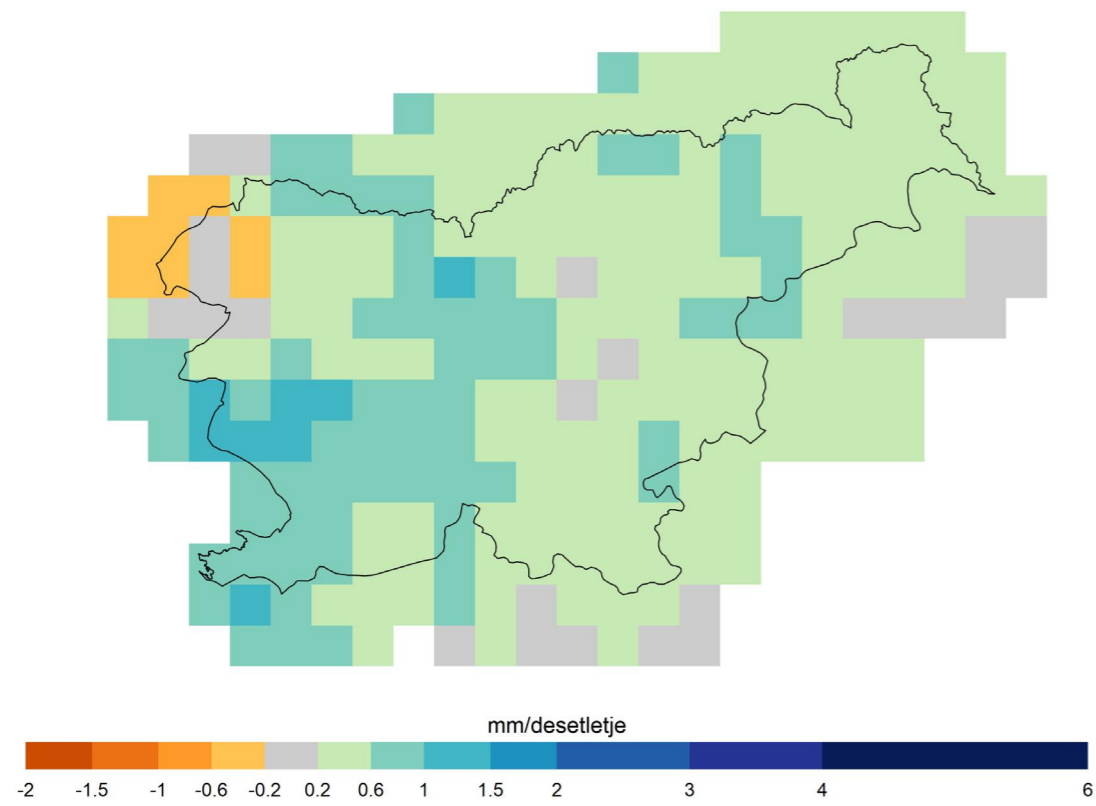


Trend največje petdnevne višine padavin, RCP4.5, pomlad

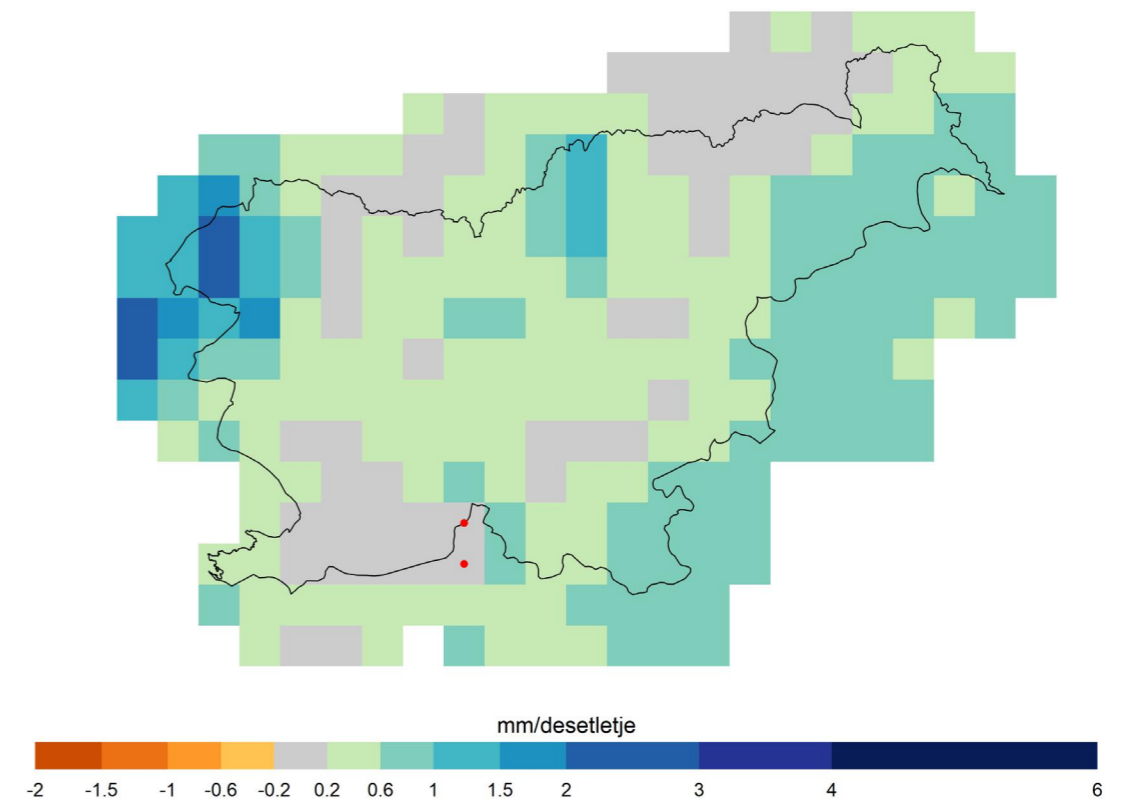


Slika 2.134 | Trendi letnih največje tridnevne višine padavin s pripadajočo zanesljivostjo za scenarij RCP2.6 (zgoraj), RCP4.5 (spodaj) in RCP8.5 (naslednja stran) v obdobju 1981–2100. Črne pike označujejo celice z zanesljivim trendom, rdeče pike celice z nezanesljivim trendom. V ostalih celicah ni izrazitega trenda (zaznane spremembe so manjše od naravne spremenljivosti).

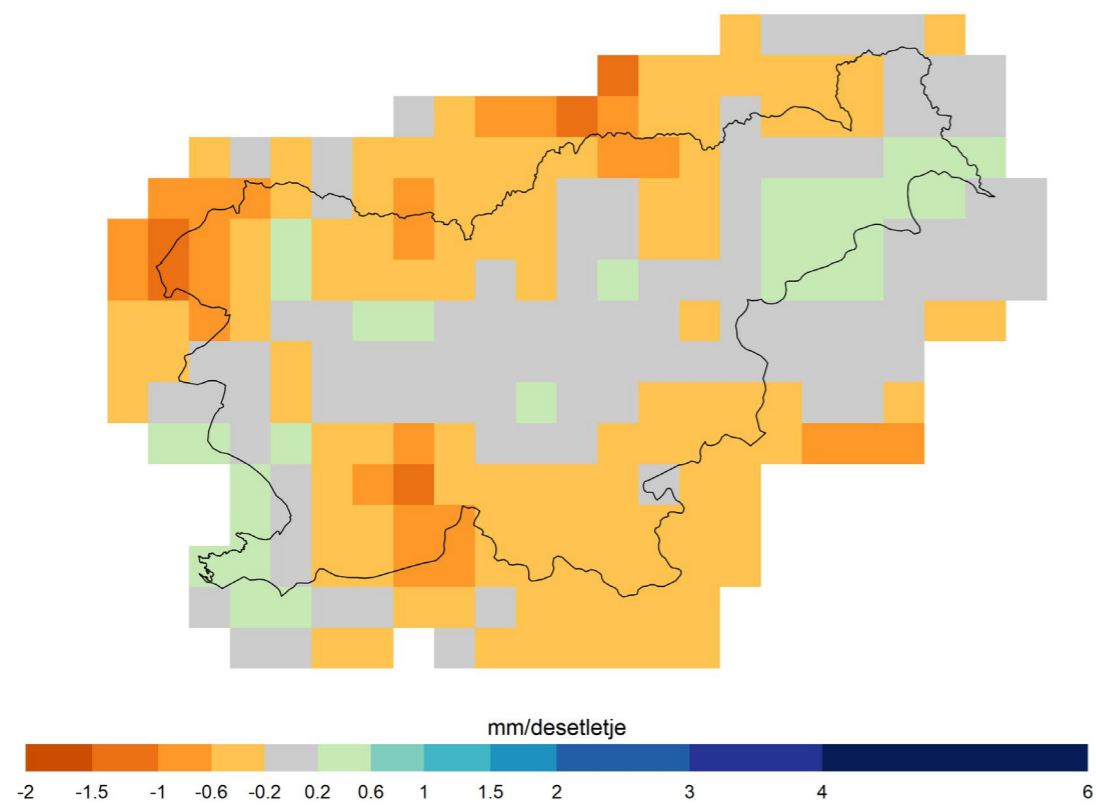
Trend največje petdnevne višine padavin, RCP2.6, pomlad



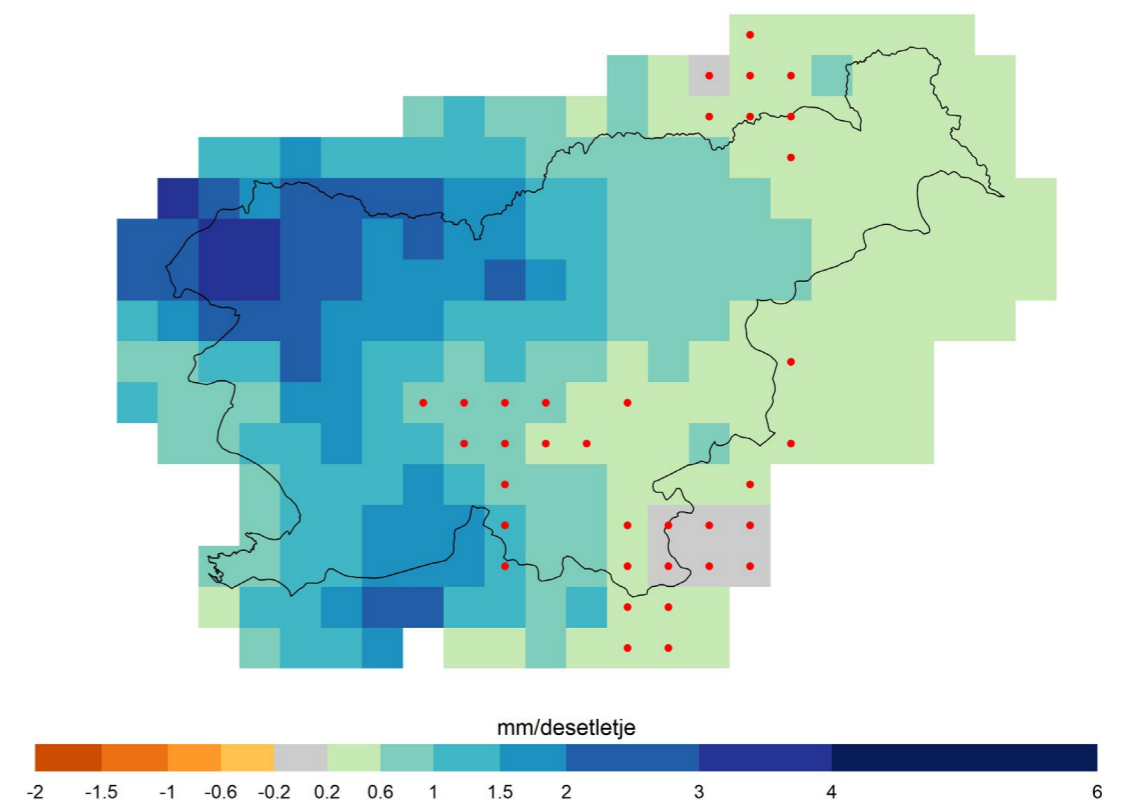
Trend največje petdnevne višine padavin, RCP2.6, jesen



Trend največje petdnevne višine padavin, RCP2.6, poletje



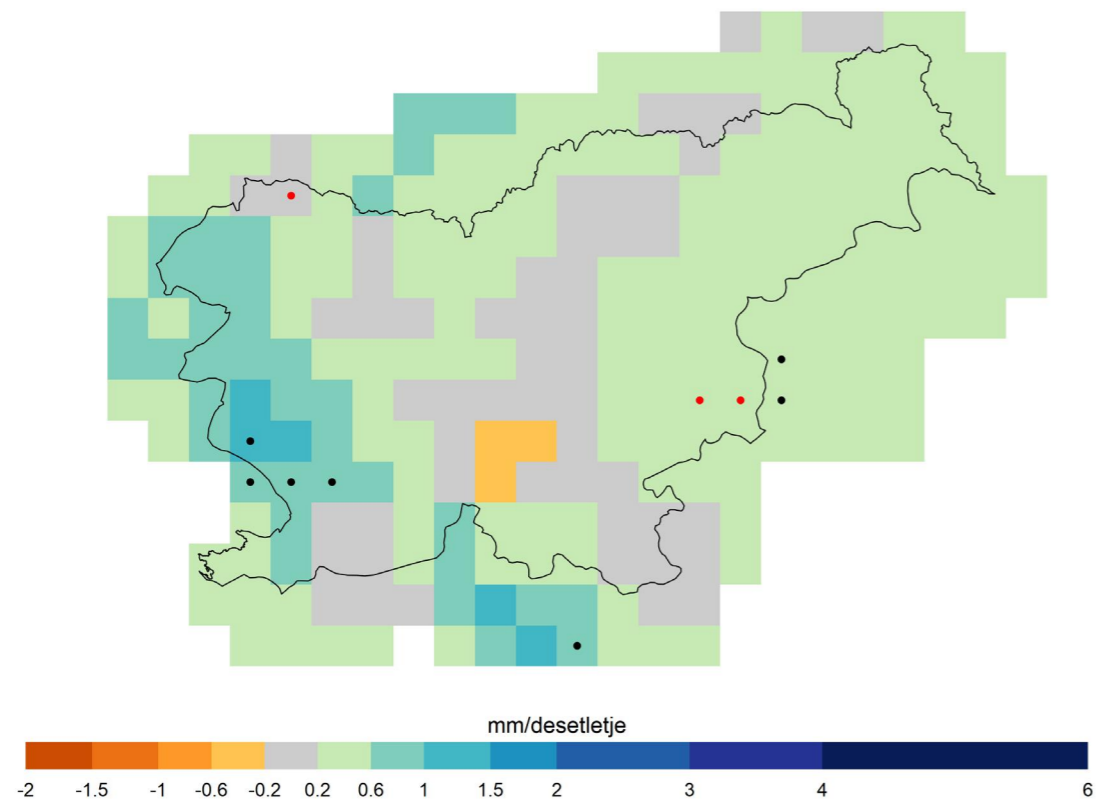
Trend največje petdnevne višine padavin, RCP2.6, zima



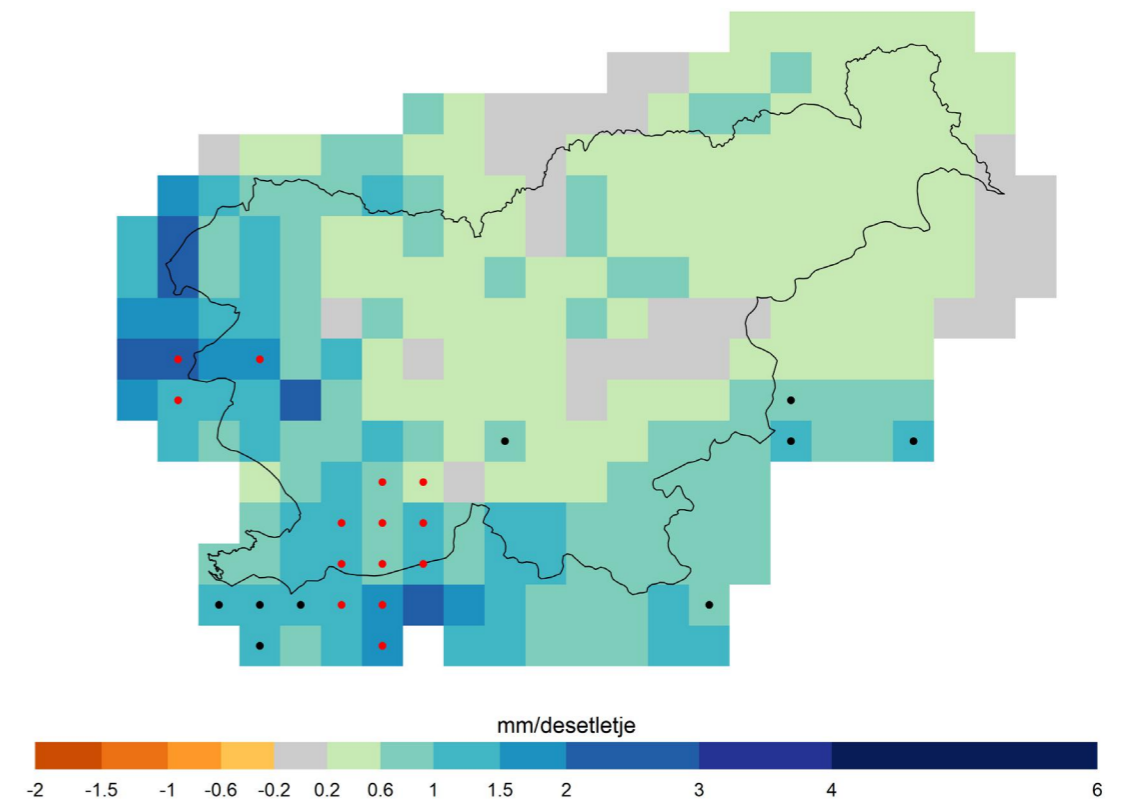
Slika 2.135 | Trendi največje tridnevne višine padavin spomladi (zgoraj) in poleti (spodaj) s pripadajočo zanesljivostjo za scenarij RCP2.6 v obdobju 1981–2100. Črne pike označujejo celice z zanesljivim trendom, rdeče pike celice z nezanesljivim trendom. V ostalih celicah ni izrazitega trenda (zaznane spremembe so manjše od naravne spremenljivosti).

Slika 2.136 | Trendi največje tridnevne višine padavin jeseni (zgoraj) in pozimi (spodaj) s pripadajočo zanesljivostjo za scenarij RCP2.6 v obdobju 1981–2100. Črne pike označujejo celice z zanesljivim trendom, rdeče pike celice z nezanesljivim trendom. V ostalih celicah ni izrazitega trenda (zaznane spremembe so manjše od naravne spremenljivosti).

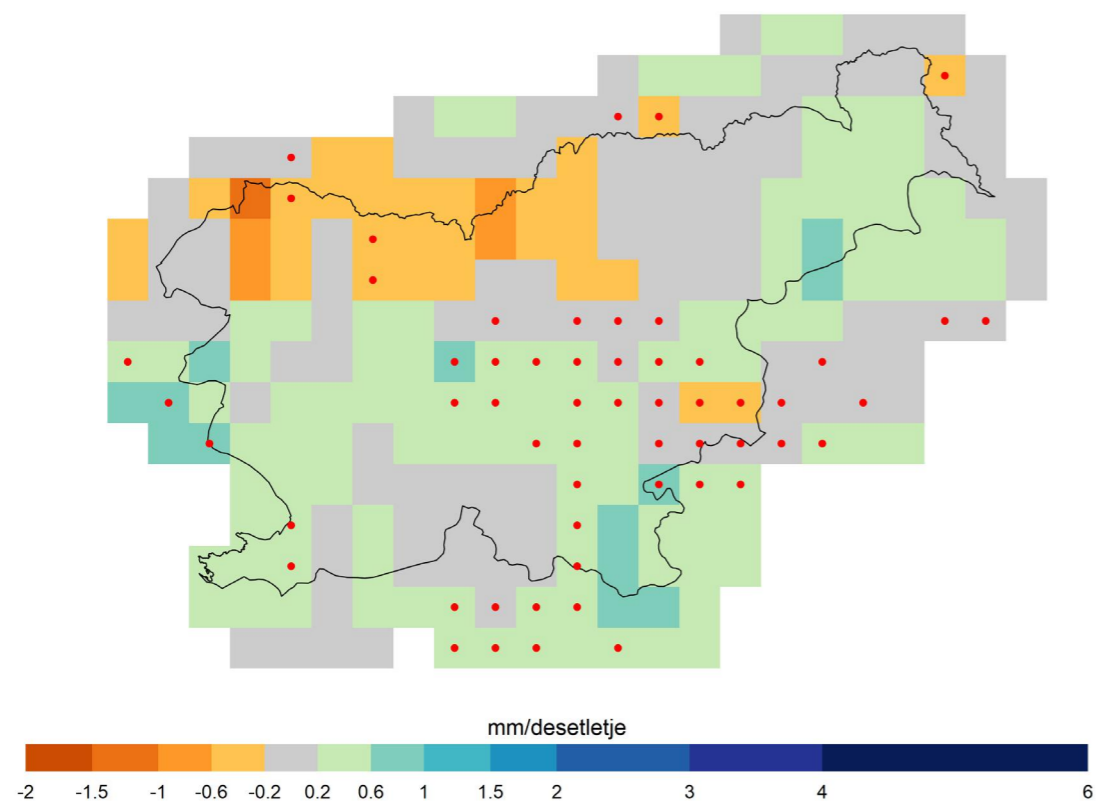
Trend največje petdnevne višine padavin, RCP4.5, pomlad



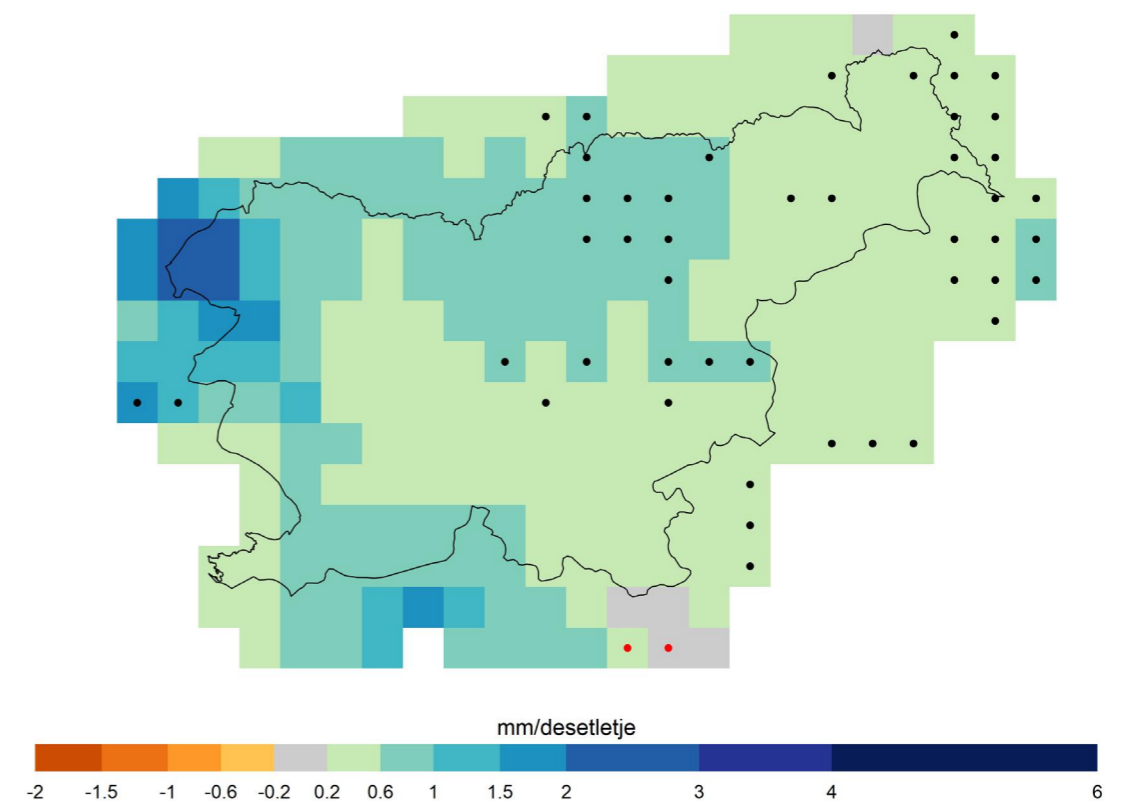
Trend največje petdnevne višine padavin, RCP4.5, jesen



Trend največje petdnevne višine padavin, RCP4.5, poletje



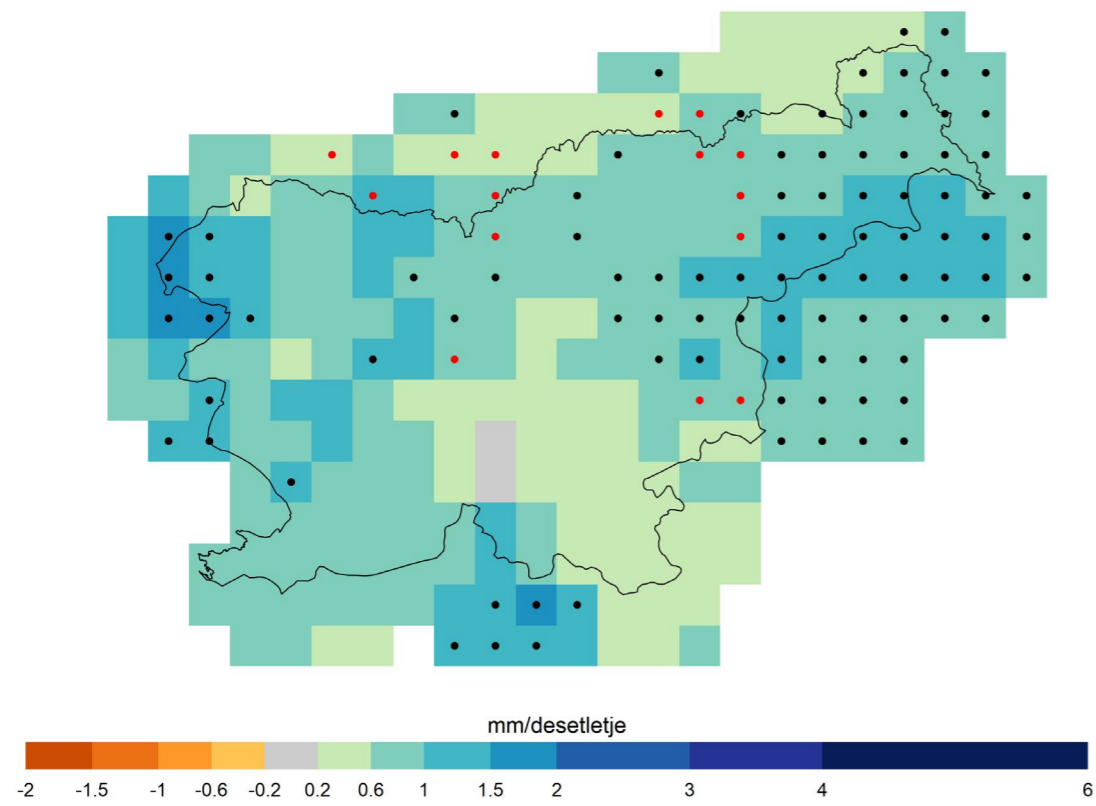
Trend največje tridnevne višine padavin, RCP4.5, zima



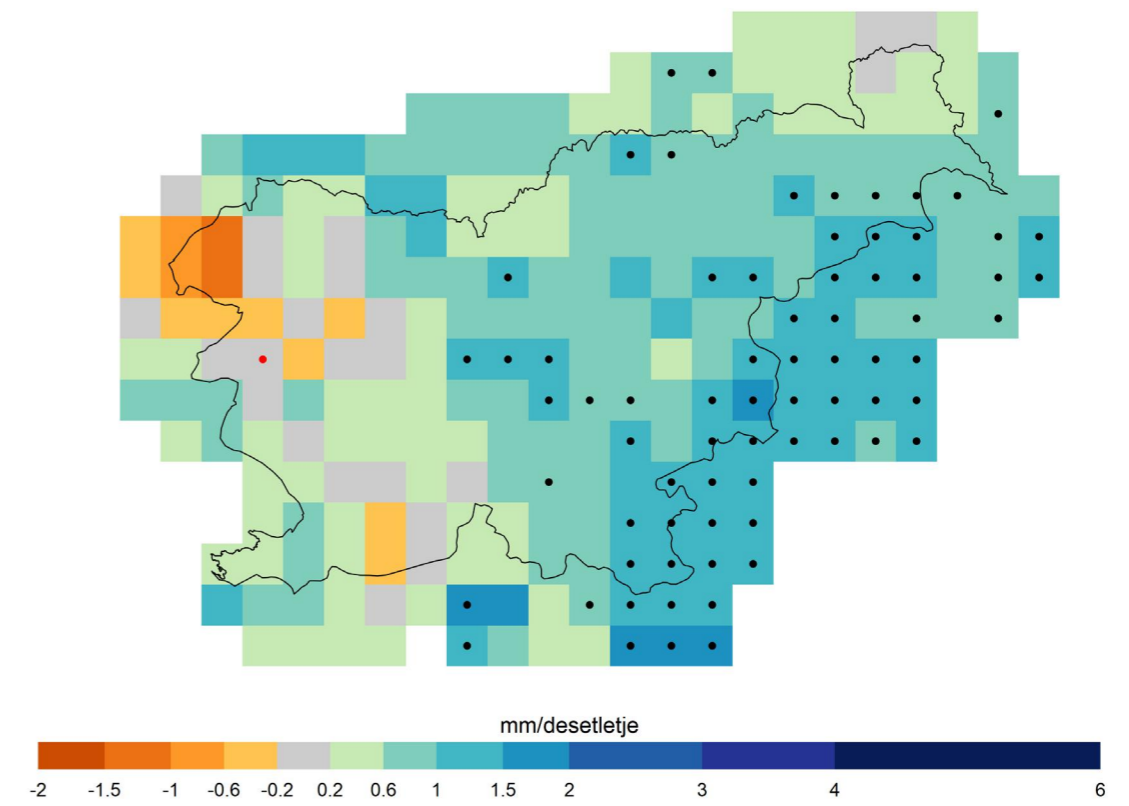
Slika 2.137 | Trendi največje tridnevne višine padavin spomladi (zgoraj) in poleti (spodaj) s pripadajočo zanesljivostjo za scenarij RCP4.5 v obdobju 1981–2100. Črne pike označujejo celice z zanesljivim trendom, rdeče pike celice z nezanesljivim trendom. V ostalih celicah ni izrazitega trenda (zaznane spremembe so manjše od naravne spremenljivosti).

Slika 2.138 | Trendi največje tridnevne višine padavin jeseni (zgoraj) in pozimi (spodaj) s pripadajočo zanesljivostjo za scenarij RCP4.5 v obdobju 1981–2100. Črne pike označujejo celice z zanesljivim trendom, rdeče pike celice z nezanesljivim trendom. V ostalih celicah ni izrazitega trenda (zaznane spremembe so manjše od naravne spremenljivosti).

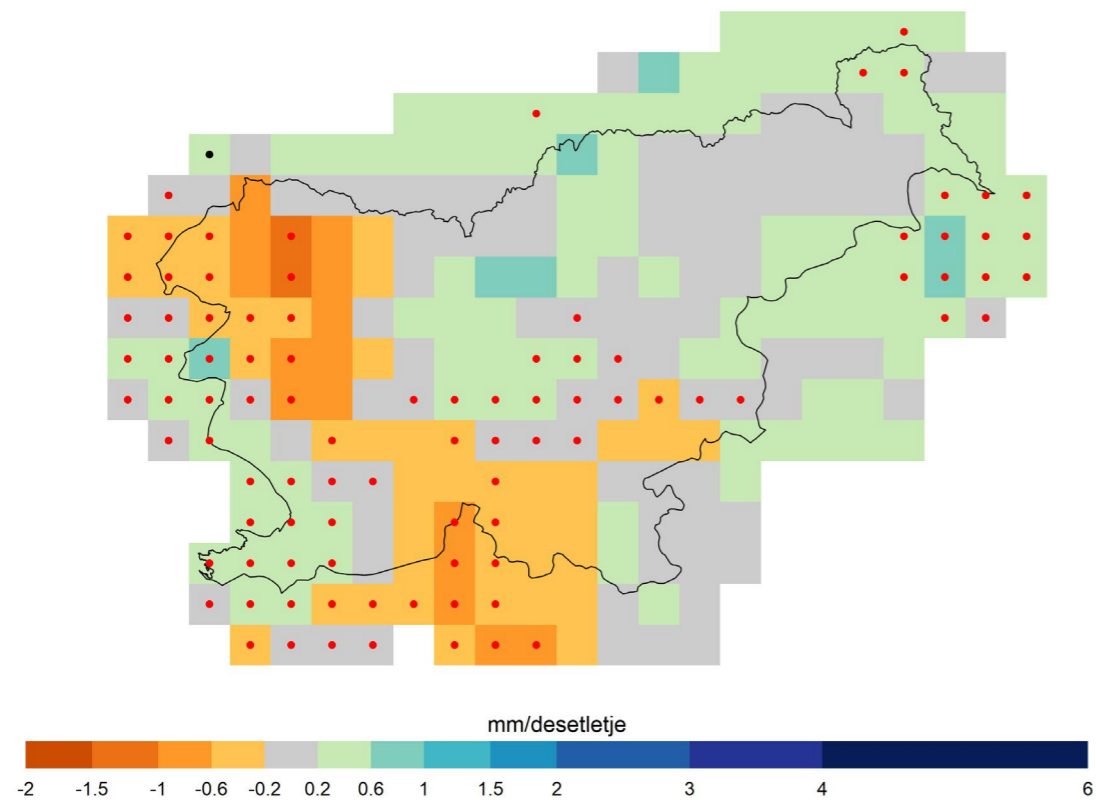
Trend največje petdnevne višine padavin, RCP8.5, pomlad



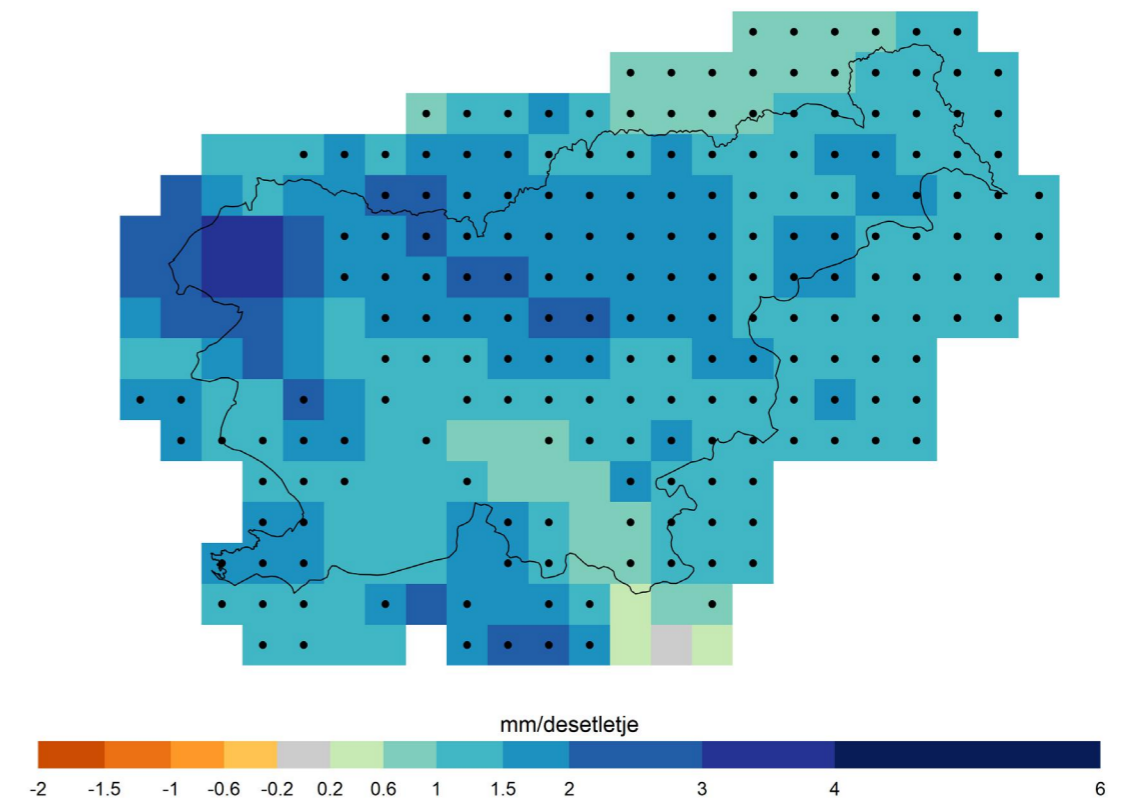
Trend največje petdnevne višine padavin, RCP8.5, jesen



Trend največje petdnevne višine padavin, RCP8.5, poletje



Trend največje petdnevne višine padavin, RCP8.5, zima



Slika 2.139 | Trendi največje tridnevne višine padavin spomladi (zgoraj) in poleti (spodaj) s pripadajočo zanesljivostjo za scenarij RCP8.5 v obdobju 1981–2100. Črne pike označujejo celice z zanesljivim trendom, rdeče pike celice z nezanesljivim trendom. V ostalih celicah ni izrazitega trenda (zaznane spremembe so manjše od naravne spremenljivosti).

Slika 2.140 | Trendi največje tridnevne višine padavin jeseni (zgoraj) in pozimi (spodaj) s pripadajočo zanesljivostjo za scenarij RCP8.5 v obdobju 1981–2100. Črne pike označujejo celice z zanesljivim trendom, rdeče pike celice z nezanesljivim trendom. V ostalih celicah ni izrazitega trenda (zaznane spremembe so manjše od naravne spremenljivosti).

Višina padavin, Posočje

Sezona	Scenarij	2011–2040			2041–2070			2071–2100		
		Najmanj	Mediana	Največ	Najmanj	Mediana	Največ	Najmanj	Mediana	Največ
pomlad	RCP2.6	-3	5	12	-4	9	22	4	14	24
	RCP4.5	-2	8	14	-6	10	21	-1	10	13
	RCP8.5	-7	1	26	-7	13	24	-5	11	32
poletje	RCP2.6	-13	-7	-1	-24	-7	10	-15	-8	-2
	RCP4.5	-10	-4	12	-15	-9	2	-16	2	17
	RCP8.5	-14	0	12	-8	1	13	-28	-17	24
jesen	RCP2.6	-3	5	14	-8	3	14	-3	-2	-1
	RCP4.5	-14	1	8	-10	0	12	-14	4	12
	RCP8.5	-10	-3	16	-9	-1	14	-17	4	33
zima	RCP2.6	3	7	11	-1	22	44	2	24	46
	RCP4.5	-1	10	36	5	13	27	12	22	38
	RCP8.5	3	6	11	5	16	36	12	27	46
leto	RCP2.6	-4	3	9	-9	6	21	-3	6	14
	RCP4.5	-3	2	16	-3	4	10	-1	7	16
	RCP8.5	-5	2	8	3	5	13	-3	6	30

Preglednica 2.1 | Največja vrednost, mediana in najmanjša vrednost modelske relativne spremembe povprečne višine padavin (v %) v regiji Posočje po meteoroloških letnih časih in za celo leto od povprečja v obdobju 1981–2010

Višina padavin, severovzhodna regija

Sezona	Scenarij	2011–2040			2041–2070			2071–2100		
		Najmanj	Mediana	Največ	Najmanj	Mediana	Največ	Najmanj	Mediana	Največ
pomlad	RCP2.6	-2	4	10	4	11	17	7	9	11
	RCP4.5	0	11	18	-2	7	27	-7	16	23
	RCP8.5	-9	-3	26	-2	9	20	-5	9	38
poletje	RCP2.6	-4	-3	-1	-11	1	13	2	4	5
	RCP4.5	-6	0	23	-12	-5	6	-13	12	29
	RCP8.5	-6	1	14	-1	13	43	-17	0	58
jesen	RCP2.6	3	13	23	-1	13	27	10	11	12
	RCP4.5	-6	3	18	-18	12	26	-2	12	18
	RCP8.5	-1	5	15	0	12	27	4	15	50
zima	RCP2.6	1	15	29	1	16	31	-1	19	40
	RCP4.5	3	10	40	8	22	39	1	20	33
	RCP8.5	3	5	23	10	23	35	14	44	59
leto	RCP2.6	-1	6	12	-3	9	21	6	9	12
	RCP4.5	0	5	20	-1	7	14	-1	13	22
	RCP8.5	-4	3	16	9	14	27	7	11	43

Preglednica 2.3 | Največja vrednost, mediana in najmanjša vrednost modelske relativne spremembe povprečne višine padavin (v %) v severovzhodni regiji po meteoroloških letnih časih in za celo leto od povprečja v obdobju 1981–2010

Višina padavin, osrednja regija

Sezona	Scenarij	2011–2040			2041–2070			2071–2100		
		Najmanj	Mediana	Največ	Najmanj	Mediana	Največ	Najmanj	Mediana	Največ
pomlad	RCP2.6	0	6	12	2	11	20	4	10	15
	RCP4.5	-3	6	18	0	5	27	-5	11	23
	RCP8.5	-8	-4	25	-2	5	23	-7	11	35
poletje	RCP2.6	-7	-5	-3	-11	-1	8	-1	-1	-1
	RCP4.5	-7	1	14	-13	-3	7	-13	8	31
	RCP8.5	-8	1	17	-3	6	38	-23	-7	51
jesen	RCP2.6	1	8	14	-2	8	18	1	5	8
	RCP4.5	-8	1	22	-13	8	25	-1	7	12
	RCP8.5	-7	4	14	-3	11	18	0	7	42
zima	RCP2.6	3	12	21	-1	16	33	-3	19	40
	RCP4.5	4	6	31	3	20	26	8	17	31
	RCP8.5	2	6	13	14	19	24	7	36	39
leto	RCP2.6	-1	4	10	-3	7	18	2	6	10
	RCP4.5	-2	4	15	-1	6	11	-1	12	19
	RCP8.5	-4	3	11	6	10	21	4	10	35

Preglednica 2.2 | Največja vrednost, mediana in najmanjša vrednost modelske relativne spremembe povprečne višine padavin (v %) v osrednji regiji po meteoroloških letnih časih in za celo leto od povprečja v obdobju 1981–2010

Višina padavin, jugozahodna regija

Sezona	Scenarij	2011–2040			2041–2070			2071–2100		
		Najmanj	Mediana	Največ	Najmanj	Mediana	Največ	Najmanj	Mediana	Največ
pomlad	RCP2.6	-3	6	15	2	13	24	8	15	23
	RCP4.5	-1	9	15	-4	8	21	1	11	16
	RCP8.5	-5	-1	30	-4	13	24	0	11	39
poletje	RCP2.6	-15	-5	6	-22	-4	15	-13	-2	10
	RCP4.5	-13	-3	17	-16	-7	3	-24	15	23
	RCP8.5	-12	-2	8	-10	7	27	-32	-12	55
jesen	RCP2.6	-4	5	14	-10	5	19	-5	-2	1
	RCP4.5	-5	2	14	-12	2	14	-8	5	18
	RCP8.5	-7	1	21	-5	3	25	-10	6	44
zima	RCP2.6	3	7	12	0	16	32	4	21	37
	RCP4.5	-1	11	26	-1	13	30	10	18	37
	RCP8.5	1	8	20	7	19	26	15	27	47
leto	RCP2.6	-5	4	12	-8	7	22	-2	7	16
	RCP4.5	-2	4	15	-1	5	9	-1	11	20
	RCP8.5	-3	2	10	6	7	20	2	7	41

Preglednica 2.4 | Največja vrednost, mediana in najmanjša vrednost modelske relativne spremembe povprečne višine padavin (v %) v jugozahodni regiji po meteoroloških letnih časih in za celo leto od povprečja v obdobju 1981–2010

Višina padavin, visokogorje

Sezona	Scenarij	2011–2040			2041–2070			2071–2100		
		Najmanj	Mediana	Največ	Najmanj	Mediana	Največ	Najmanj	Mediana	Največ
pomlad	RCP2.6	0	7	15	-1	12	25	3	13	23
	RCP4.5	-7	5	19	-5	8	30	-8	8	15
	RCP8.5	-5	0	28	-3	12	20	-2	7	30
poletje	RCP2.6	-5	-3	-2	-14	-4	5	-3	-3	-2
	RCP4.5	-5	-2	11	-9	-5	2	-13	4	18
	RCP8.5	-8	1	17	-8	5	14	-19	-11	19
jesen	RCP2.6	-10	2	15	-7	3	13	-2	0	2
	RCP4.5	-14	1	14	-8	-1	18	-7	3	8
	RCP8.5	-10	3	15	-3	-1	10	-13	5	27
zima	RCP2.6	5	11	17	-2	24	50	-1	27	56
	RCP4.5	-1	8	40	0	18	24	15	18	35
	RCP8.5	3	5	12	8	15	27	5	31	42
leto	RCP2.6	-4	3	11	-7	7	20	-1	7	15
	RCP4.5	-4	2	17	-4	5	8	-1	7	13
	RCP8.5	-4	2	11	2	7	10	0	7	23

Preglednica 2.5 | Največja vrednost, mediana in najmanjša vrednost modelske relativne spremembe povprečne višine padavin (v %) v regiji visokogorje po meteoroloških letnih časih in za celo leto od povprečja v obdobju 1981–2010

Višina padavin, Slovenija

Sezona	Scenarij	2011–2040			2041–2070			2071–2100		
		Najmanj	Mediana	Največ	Najmanj	Mediana	Največ	Najmanj	Mediana	Največ
pomlad	RCP2.6	0	6	13	2	11	21	5	12	18
	RCP4.5	-2	7	17	-2	7	25	-5	11	19
	RCP8.5	-5	-2	26	0	7	19	-1	10	29
poletje	RCP2.6	-8	-5	-1	-14	-3	9	-4	-2	-1
	RCP4.5	-7	-1	14	-12	-5	5	-13	8	24
	RCP8.5	-9	0	13	-3	5	31	-24	-9	44
jesen	RCP2.6	-2	6	15	-5	6	18	1	2	3
	RCP4.5	-8	1	17	-12	4	20	-4	7	9
	RCP8.5	-7	4	10	-3	8	12	-3	6	37
zima	RCP2.6	3	10	17	-1	18	37	-1	21	43
	RCP4.5	3	7	32	3	17	27	10	18	33
	RCP8.5	3	6	11	14	15	25	7	30	40
leto	RCP2.6	-2	4	10	-5	7	19	1	7	12
	RCP4.5	-1	4	16	-2	5	10	-1	10	18
	RCP8.5	-4	4	10	5	8	17	5	7	32

Preglednica 2.7 | Največja vrednost, mediana in najmanjša vrednost modelske relativne spremembe povprečne višine padavin (v %) v Sloveniji po meteoroloških letnih časih in za celo leto od povprečja v obdobju 1981–2010

Višina padavin, prehodna regija

Sezona	Scenarij	2011–2040			2041–2070			2071–2100		
		Najmanj	Mediana	Največ	Najmanj	Mediana	Največ	Najmanj	Mediana	Največ
pomlad	RCP2.6	2	7	13	3	12	22	5	12	19
	RCP4.5	-4	6	18	-1	7	25	-8	9	19
	RCP8.5	-6	-2	25	-2	7	18	-3	10	28
poletje	RCP2.6	-9	-5	-2	-15	-4	6	-5	-4	-3
	RCP4.5	-7	-2	10	-13	-6	4	-12	7	24
	RCP8.5	-9	0	11	-4	3	29	-25	-12	40
jesen	RCP2.6	-2	5	13	-4	6	17	0	2	3
	RCP4.5	-8	0	17	-11	3	19	-4	6	8
	RCP8.5	-7	4	12	-5	6	10	-4	2	30
zima	RCP2.6	3	9	16	-2	17	36	-2	21	44
	RCP4.5	2	6	30	-1	17	25	8	14	30
	RCP8.5	2	7	11	11	13	23	1	28	37
leto	RCP2.6	-2	4	10	-5	7	19	0	6	12
	RCP4.5	-2	2	15	-3	5	9	-2	9	16
	RCP8.5	-3	3	9	4	7	14	2	6	27

Preglednica 2.6 | Največja vrednost, mediana in najmanjša vrednost modelske relativne spremembe povprečne višine padavin (v %) v prehodni regiji po meteoroloških letnih časih in za celo leto od povprečja v obdobju 1981–2010

Dolžina najdaljšega suhega obdobja v letu (CDD)

Regija	Scenarij	2011–2040			2041–2070			2071–2100		
		Najmanj	Mediana	Največ	Najmanj	Mediana	Največ	Najmanj	Mediana	Največ
Posočje	RCP2.6	-0,9	-0,3	0,3	-0,9	0,1	1,1	-1,4	0,3	2,0
	RCP4.5	-2,5	-0,9	0,4	-2,5	-0,1	2,8	-4,4	0,3	1,9
	RCP8.5	-1,1	1,0	1,5	-0,6	-0,2	1,0	-5,9	-0,7	1,8
osrednja	RCP2.6	-1,2	-1,1	-0,9	-3,8	-1,2	1,4	-2,4	-0,4	1,7
	RCP4.5	-3,1	-0,3	1,2	-1,3	0,3	2,5	-2,4	0,1	1,6
	RCP8.5	-2,2	0,3	1,9	-1,2	-0,5	1,0	-4,9	-0,8	0,7
SV	RCP2.6	-2,2	-1,6	-1,1	-3,7	-1,6	0,5	-3,1	-1,2	0,7
	RCP4.5	-2,2	-1,1	1,0	-2,8	-0,6	0,0	-3,6	-1,1	-0,1
	RCP8.5	-2,8	-0,5	2,2	-2,1		0,0	-7,0	-1,7	1,0
JZ	RCP2.6	0,6	1,0	1,4	-0,8	0,9	2,6	-3,0	-0,3	2,3
	RCP4.5	-2,4	-0,7	0,7	-1,3	0,0	2,7	-3,3	0,6	1,5
	RCP8.5	0,3	1,0	2,5	-1,4	0,1	1,2	-5,4	-0,2	2,9
visoko-gorje	RCP2.6	-1,3	-1,2		-1,5	0,1	1,7	-1,6	0,6	2,9
	RCP4.5	-1,8	-0,7	0,4	-1,5	-0,6	1,9	-4,2	0,4	1,6
	RCP8.5	-1,3	0,5	2,9	-0,9	0,1	1,7	-5,0	0,0	1,0
prehodna	RCP2.6	-1,3	-1,3	-1,2	-2,8	-0,7	1,3	-2,4	-0,3	1,9
	RCP4.5	-2,9	-0,3	1,3		0,5	2,9	-2,9	0,3	1,4
	RCP8.5	-0,6	1,2	2,0	-0,6	0,5	1,7	-3,6	-0,2	1,4
Slovenija	RCP2.6			-0,9	-2,9	-0,8	1,3	-2,4	-0,4	1,7
	RCP4.5	-2,7	-0,5	1,1	-1,2	0,2	2,4	-3,0	-0,1	1,2
	RCP8.5	-1,4	0,8	1,5	-0,8	-0,3	1,0	-5,0	-0,7	1,0

Preglednica 2.8 | Največja vrednost, mediana in najmanjša vrednost modelske spremembe povprečne dolžine najdaljšega suhega obdobja (CDD) (število dni) od povprečja v obdobju 1981–2010

Dolžina najdaljšega mokrega obdobja v letu (CWD)

Regija	Scenarij	2011–2040			2041–2070			2071–2100		
		Najmanj	Mediana	Največ	Najmanj	Mediana	Največ	Najmanj	Mediana	Največ
Posočje	RCP2.6	0,4	0,6	0,8	0,4	0,8	1,1	0,6	1,1	1,5
	RCP4.5	-0,8	-0,2	0,5	-1,4	-0,3	0,9	-1,3	-0,6	0,5
	RCP8.5	-1,2	-0,3	0,8		-0,4	0,6	-1,5		0,7
osrednja	RCP2.6	-0,4	0,0	0,5	-0,1	0,3	0,6	0,2	0,5	0,8
	RCP4.5	-0,5	-0,1	0,4	-0,4	0,0	0,4	-0,6	0,0	0,3
	RCP8.5	-0,5	-0,1	0,5	-0,5	-0,1	0,6		0,0	0,4
SV	RCP2.6	-0,2	0,0	0,3	-0,3	-0,1	0,1	-0,1	0,1	0,4
	RCP4.5	-0,2	-0,1	1,3	-0,5	-0,2	0,7	-0,6	0,0	0,5
	RCP8.5	-0,6	0,0	0,9	0,0	0,1	0,8	-0,8	0,1	0,2
JZ	RCP2.6	-0,1	0,4	0,9	-0,1	0,3	0,8	0,5	0,7	0,9
	RCP4.5	-0,7	-0,1	0,5	-0,8	-0,2	0,5	-1,2	-0,3	0,6
	RCP8.5	-1,2	-0,1	0,3	-0,9	-0,3	0,5	-1,1	-0,3	0,6
visoko-gorje	RCP2.6	0,3	0,5	0,7	0,8	0,8	0,8	0,5	0,8	1,1
	RCP4.5	-0,9	-0,3	0,2	-1,1	-0,2	0,8		-0,2	0,2
	RCP8.5	-0,8	-0,3	0,6	-0,9	-0,3	0,4	-1,4		-0,2
prehodna	RCP2.6	-0,2	0,1	0,4	0,1	0,3	0,5	0,3	0,7	1,2
	RCP4.5	-0,5	-0,2	0,4	-0,5	0,0	0,8		-0,3	0,4
	RCP8.5	-0,7	0,1	0,4	-0,5	-0,4	0,3	-1,5	-0,6	0,5
Slovenija	RCP2.6	-0,2	0,2	0,5	0,0	0,3	0,6	0,2	0,6	0,9
	RCP4.5	-0,5	-0,1	0,4	-0,6	0,0	0,5	-0,8	-0,1	0,3
	RCP8.5	-0,6	0,0	0,5	-0,5	-0,2	0,4	-1,1	-0,3	0,4

Preglednica 2.9 | Največja vrednost, mediana in najmanjša vrednost modelske spremembe povprečne dolžine najdaljšega mokrega obdobja (CWD) v letu (število dni) od povprečja v obdobju 1981–2010

Letna višina padavin iz najbolj mokrih dni (R95pTOT)

Regija	Scenarij	2011–2040			2041–2070			2071–2100		
		Najmanj	Mediana	Največ	Najmanj	Mediana	Največ	Najmanj	Mediana	Največ
Posočje	RCP2.6	5,7	49,8	93,9	-39,3	112,8	265,0	3,4	83,9	164,5
	RCP4.5	-8,3	72,6	228,7	31,2	123,2	247,5	94,2	150,0	319,8
	RCP8.5	-28,2	78,9	171,1	61,7	138,7	303,4	64,3	218,4	587,0
osrednja	RCP2.6	26,0	44,5	63,0	28,5	67,7	106,8	33,8	46,5	59,2
	RCP4.5	4,9	40,1	87,4	31,1	66,2	112,3	51,0	107,2	156,7
	RCP8.5	9,3	55,2	94,9	84,5	109,0	184,5	94,1	135,6	306,9
SV	RCP2.6	7,4	42,9	78,4	11,0	71,6	132,2	31,4	51,3	71,1
	RCP4.5	11,8	35,0	103,4	15,9	54,9	74,8	28,0	65,5	144,6
	RCP8.5	-3,7	37,1	101,7	61,3	84,9	133,5	62,0	93,4	255,1
JZ	RCP2.6	-10,7	21,8	54,3	10,3	77,9	145,5	-1,8	49,2	100,1
	RCP4.5	20,8	46,1	88,6	43,9	54,7	131,1	59,4	117,7	186,2
	RCP8.5	11,1	59,4	129,1	63,3	97,9	194,5	90,5	121,8	407,9
visoko-gorje	RCP2.6	12,9	62,1	111,2	-8,1	104,0	216,1	32,5	110,2	187,9
	RCP4.5	-17,0	45,3	209,6	-21,0	109,7	157,2	112,7	143,2	228,8
	RCP8.5	-8,7	69,5	216,0	86,8	155,1	189,6	117,3	210,2	370,0
prehodna	RCP2.6	29,4	51,7	74,0	26,0	91,0	156,0	28,6	61,6	94,5
	RCP4.5	-4,4	41,3	110,1	10,9	85,3	149,0	71,1	119,0	193,5
	RCP8.5	24,5	64,0	137,8	95,2	128,1	186,7	127,0	143,6	334,2
Slovenija	RCP2.6	18,6	46,3	74,1	15,1	82,2	149,3	25,2	58,0	90,8
	RCP4.5	6,1	37,4	114,7	22,4	73,3	134,4	65,4	117,3	180,7
	RCP8.5	7,8	66,1	100,9	89,7	114,6	185,1	113,7	142,0	347,2

Preglednica 2.10 | Največja vrednost, mediana in najmanjša vrednost modelske relativne spremembe povprečne letne višine padavin iz najbolj mokrih dni – ko dnevna višina padavin presega 95. centil – v % od povprečja v obdobju 1981–2010

Število dni na leto z več kot 10 mm padavin (R10mm)

Regija	Scenarij	2011–2040			2041–2070			2071–2100		
		Najmanj	Mediana	Največ	Najmanj	Mediana	Največ	Najmanj	Mediana	Največ
Posočje	RCP2.6	-2,5	1,0	4,5	-6,1	1,6	9,3	-1,5	2,6	6,7
	RCP4.5	-3,9	1,0	6,5	-3,2	-0,3	3,0	-3,9	2,5	3,9
	RCP8.5	-2,5	-0,8	4,6	0,0	1,2	2,9	-3,5	-2,2	7,3
osrednja	RCP2.6	-1,2	1,2	3,6	-2,5	2,1	6,6	0,6	2,3	3,9
	RCP4.5	-1,3	0,8	6,3	-1,2	1,5	3,4	-1,6	3,5	6,4
	RCP8.5	-2,5	0,2	4,3	2,0	2,6	7,4	0,5	1,8	11,9
SV	RCP2.6	0,0	1,8	3,6	-1,1	1,9	4,9	2,2	2,8	3,4
	RCP4.5	0,4	1,5	6,0	0,1	1,7	4,3	-0,9	4,1	6,1
	RCP8.5	-1,2	0,8	4,6	2,5	4,2	8,1	1,8	3,2	12,1
JZ	RCP2.6	-2,6	1,5	5,5	-5,0	1,5	7,9	-1,6	2,5	6,5
	RCP4.5	-1,5	1,1	6,0	-1,6	0,7	2,0	-1,7	2,9	6,6
	RCP8.5	-2,3	0,0	3,1	0,4	2,0	7,0	-1,5	1,1	12,7
visoko-gorje	RCP2.6	-3,5	0,8	5,0	-4,3	2,5	9,2	-1,1	3,0	7,0
	RCP4.5	-2,3	0,1	7,3	-3,8	0,9	3,1	-3,2	1,7	5,1
	RCP8.5	-3,6	0,2	3,5	-0,5	1,9	4,1	-3,1	-1,4	8,5
prehodna	RCP2.6	-2,2	1,2	4,7	-3,7	2,2	8,1	-0,6	2,6	5,8
	RCP4.5	-2,0	0,0	6,7	-2,1	1,1	2,5	-2,8	2,5	5,4
	RCP8.5	-2,4	-0,2	3,8	0,8	1,9	4,9	-2,3	-0,1	8,9
Slovenija	RCP2.6	-1,6	1,3	4,2	-3,3	2,0	7,3	0,0	2,5	5,0
	RCP4.5		0,6	6,4	-1,7	1,1	2,8	-2,1	3,2	5,8
	RCP8.5	-2,3	0,0	4,1	1,5	2,2	6,2	-0,3	0,7	10,6

Preglednica 2.11 | Največja vrednost, mediana in najmanjša vrednost modelske spremembe povprečnega števila dni na leto z več kot 10 mm padavin, od povprečja v obdobju 1981–2010

Največja dnevna višina padavin na mesec (Rx1day)

Regija	Scenarij	2011–2040			2041–2070			2071–2100		
		Najmanj	Mediana	Največ	Najmanj	Mediana	Največ	Najmanj	Mediana	Največ
Posočje	RCP2.6	-4,4	0,3	5,0	1,0	14,3	27,5	0,1	3,4	6,7
	RCP4.5	-8,4	4,1	19,9	2,9	11,9	33,9	4,4	12,7	22,0
	RCP8.5	0,8	7,4	22,7	4,7	15,2	25,6	8,7	27,3	48,5
osrednja	RCP2.6	3,0	3,0	3,0	4,1	6,9	9,7	4,1	5,9	7,7
	RCP4.5	-0,3	4,8	10,5	1,3	9,3	14,7	5,4	10,3	13,1
	RCP8.5	1,7	4,4	8,9	8,7	12,4	13,7	5,5	16,9	21,8
SV	RCP2.6	-0,1	3,4	6,9	0,0	9,1	18,1	3,3	5,2	7,2
	RCP4.5	0,0	4,7	8,5	4,1	5,1	9,4	3,1	7,2	14,5
	RCP8.5	-0,6	3,4	10,8	6,9	8,3	12,8	6,6	10,9	21,7
JZ	RCP2.6	0,5	2,8	5,1	7,7	11,5	15,2	3,4	4,1	4,9
	RCP4.5	4,9	7,4	14,1	5,7	10,5	14,9	10,8	13,3	18,1
	RCP8.5	2,5	7,8	18,3	8,8	13,1	21,3	10,9	16,3	31,3
visoko-gorje	RCP2.6	-0,3	0,7	1,8	0,1	6,0	11,9	0,9	1,2	1,6
	RCP4.5	2,1	4,3	8,6	4,8	9,6	23,1	3,1	12,3	19,2
	RCP8.5	2,8	5,8	17,1	6,2	10,1	26,8	9,8	23,0	35,5
prehodna	RCP2.6	1,1	1,6	2,1	2,6	7,4	12,2	-0,3	1,4	3,2
	RCP4.5	-0,4	4,0	9,5	3,3	8,3	11,9	5,8	9,2	13,7
	RCP8.5	1,0	4,6	13,6	8,2	11,0	14,2	12,2	13,6	24,3
Slovenija	RCP2.6	1,7	2,5	3,2	2,8	8,5	14,1	3,6	3,9	4,2
	RCP4.5	1,4	6,0	8,3	4,9	8,9	13,0	6,4	9,7	14,1
	RCP8.5	2,6	4,9	10,9	9,0	11,7	14,7	11,4	16,8	26,5

Preglednica 2.12 | Največja vrednost, mediana in najmanjša vrednost modelske relativne spremembe povprečne največje dnevne višine padavin na mesec (v %) od povprečja v obdobju 1981–2010

Največja petdnevna višina padavin na mesec (Rx5day)

Regija	Scenarij	2011–2040			2041–2070			2071–2100		
		Najmanj	Mediana	Največ	Najmanj	Mediana	Največ	Najmanj	Mediana	Največ
Posočje	RCP2.6	9,0	15,9	22,7	3,6	29,9	56,2	8,6	20,0	31,3
	RCP4.5	-11,6	-0,4	50,3	9,1	26,6	51,3	-1,4	21,2	43,1
	RCP8.5	-3,1	10,6	67,5	-2,3	12,7	49,1	8,5	28,9	67,2
osrednja	RCP2.6	3,9	6,6	9,3	4,0	8,6	13,2	3,8	9,1	14,4
	RCP4.5	-4,4	2,3	15,0	2,0	8,1	18,0	2,1	14,2	21,4
	RCP8.5	2,3	7,3	13,4	8,8	13,0	26,2	1,4	19,4	39,4
SV	RCP2.6	6,8	6,9	7,1	-0,4	7,9	16,1	3,7	5,1	6,6
	RCP4.5	-1,5	5,6	9,2	-2,7	6,2	10,0	-2,8	10,9	20,3
	RCP8.5	1,8	6,0	14,7	4,4	11,7	24,6		13,1	41,6
JZ	RCP2.6	6,7	8,4	10,2	5,4	17,9	30,4	2,6	8,6	14,5
	RCP4.5	1,5	8,8	16,9	4,6	12,2	26,5	0,9	18,3	29,9
	RCP8.5	1,3	6,4	32,1	2,2	12,3	27,9	5,9	18,7	53,6
visoko-gorje	RCP2.6	4,9	14,0	23,1	1,8	19,8	37,8	13,6	16,6	19,6
	RCP4.5	-10,1	1,7	24,2	-3,4	14,0	28,1	4,3	20,8	27,6
	RCP8.5	-4,8	13,3	42,8	-3,3	10,3	31,0	11,0	26,6	44,4
prehodna	RCP2.6	7,9	8,7	9,6	5,4	14,9	24,5	8,1	10,5	13,0
	RCP4.5	-3,6	2,2	10,7	5,0	7,9	15,8	6,5	11,4	23,4
	RCP8.5	-0,7	9,1	22,7	7,0	11,6	20,8	10,2	16,7	39,3
Slovenija	RCP2.6	8,1	8,8	9,4	3,3	13,5	23,8	9,5	10,3	11,0
	RCP4.5	-2,1	3,8	12,3	5,9	10,6	17,2	4,7	13,9	24,0
	RCP8.5	0,4	9,0	19,9	6,1	13,0	23,1	9,4	17,8	43,8

Preglednica 2.13 | Največja vrednost, mediana in najmanjša vrednost modelske relativne spremembe povprečne največje petdnevne višine padavin na mesec (v %) od povprečja v obdobju 1981–2010

Največja enodnevna višina padavin

Regija	Sezona	RCP2.6			RCP4.5			RCP8.5		
		Spodnja	Trend	Zgornja	Spodnja	Trend	Zgornja	Spodnja	Trend	Zgornja
Posočje	pomlad	-1,6	0,1	1,6	-0,8	0,7	2,3	-0,8	0,6	3,0
	poletje	-1,6	0,0	1,6	-1,9	0,2	2,2	-2,4	0,0	2,6
	jesen	-1,8	0,4	3,0	-2,2	0,9	3,6	-1,9	1,2	6,9
	zima	-2,5	0,8	5,9	-1,4	0,7	3,6	-0,4	1,7	4,6
	leto	-1,7	0,5	3,5	-1,1	1,3	4,0	-0,7	2,0	6,6
osrednja	pomlad	-0,7	0,1	0,9	-0,5	0,3	1,1	-0,4	0,5	2,0
	poletje	-0,9	0,2	1,4	-1,0	0,2	1,6	-0,9	0,2	2,1
	jesen	-0,6	0,3	1,2	-0,5	0,5	1,7	-0,3	0,8	2,3
	zima	-0,7	0,3	1,4	-0,3	0,4	1,2	0,1	0,9	1,8
	leto	-0,6	0,2	1,3	-0,3	0,6	2,0	-0,2	1,1	2,6
SV	pomlad	-0,4	0,2	0,9	-0,5	0,2	0,9	-0,3	0,4	1,4
	poletje	-0,4	0,2	1,0	-0,9	0,0	1,4	-0,7	0,2	1,7
	jesen	-0,4	0,3	1,1	-0,5	0,3	1,2	-0,4	0,5	1,8
	zima	-0,7	0,1	1,2	-0,2	0,4	1,4	0,1	0,7	1,9
	leto	-0,3	0,5	1,4	-0,3	0,5	1,6	-0,1	0,8	2,0
JZ	pomlad	-1,0	0,1	1,5	-0,5	0,4	1,4	-0,3	0,6	2,2
	poletje	-0,9	0,2	1,3	-1,1	0,2	1,9	-1,2	0,2	2,7
	jesen	-1,2	0,1	1,5	-0,7	0,6	1,8	-0,7	0,6	3,0
	zima	-0,8	0,4	1,7	-0,6	0,4	1,6	-0,1	0,9	2,0
	leto	-1,3	0,1	1,1	-0,5	0,8	2,3	-0,5	1,2	3,3
visoko-gorje	pomlad	-0,9	0,3	1,2	-0,9	0,5	2,1	-0,7	0,7	2,7
	poletje	-1,4	0,0	1,4	-1,9	0,0	1,8	-2,0	0,2	2,2
	jesen	-1,7	0,5	2,3	-1,6	0,8	3,5	-0,9	1,4	5,6
	zima	-2,3	1,2	5,3	-1,3	0,6	2,4	-0,5	1,4	3,3
	leto	-1,5	0,3	2,6	-0,5	1,1	3,7	-0,2	1,6	5,9
prehodna	pomlad	-0,8	0,2	1,2	-0,7	0,3	1,5	-0,6	0,5	2,2
	poletje	-1,1	-0,1	1,1	-1,2	0,2	1,6	-1,3	0,1	2,3
	jesen	-0,9	0,2	1,5	-0,7	0,6	1,9	-0,6	0,8	3,0
	zima	-1,0	0,5	2,6	-0,6	0,4	1,7	-0,1	1,0	2,3
	leto	-0,9	0,2	1,3	-0,4	0,7	2,0	-0,3	1,1	3,0
Slovenija	pomlad	-0,9	0,2	1,2	-0,6	0,3	1,5	-0,5	0,5	2,2
	poletje	-1,1	0,1	1,3	-1,2	0,1	1,7	-1,3	0,2	2,2
	jesen	-1,0	0,3	1,7	-0,8	0,5	2,2	-0,6	0,8	3,5
	zima	-1,1	0,4	3,3	-0,6	0,4	1,9	0,0	0,9	2,7
	leto	-1,0	0,3	1,7	-0,4	0,7	2,6	-0,3	1,1	3,9

Preglednica 2.14 | Spodnja meja, trend in zgornja meja 95-odstotnega intervala zaupanja za trend največje modelske enodnevne višine padavin (v mm/desetletje) po meteoroloških letnih časih in za celo leto v obdobju 1981–2100

Največja tridnevna višina padavin

Regija	Sezona	RCP2.6			RCP4.5			RCP8.5		
		Spodnja	Trend	Zgornja	Spodnja	Trend	Zgornja	Spodnja	Trend	Zgornja
Posočje	pomlad	-1,8	0,5	2,7	-1,3	0,8	3,3	-1,2	1,1	4,8
	poletje	-2,1	0,1	2,1	-2,7	0,2	3,3	-3,5	-0,1	4,9
	jesen	-3,0	0,6	4,8	-4,0	0,8	5,1	-3,9	0,7	6,5
	zima	-2,9	2,0	8,9	-1,9	1,3	5,8	-1,6	1,9	6,4
	leto	-2,9	0,8	5,4	-1,2	2,2	6,6	-1,8	1,9	7,0
osrednja	pomlad	-0,7	0,4	1,4	-0,9	0,3	1,4	-0,8	0,7	2,6
	poletje	-1,3	0,1	1,5	-1,6	0,3	2,6	-1,4	0,4	3,9
	jesen	-1,1	0,4	1,9	-1,0	0,5	2,4	-0,9	0,9	3,4
	zima	-1,4	0,5	2,8	-0,5	0,6	1,8	-0,2	1,2	2,6
	leto	-1,0	0,5	1,9	-0,8	0,8	2,7	-0,7	1,4	3,9
SV	pomlad	-0,4	0,4	1,3	-0,7	0,3	1,2	-0,5	0,7	2,2
	poletje	-1,0	0,1	1,2	-1,4	0,0	1,9	-1,2	0,3	2,9
	jesen	-0,8	0,4	1,7	-0,8	0,5	1,8	-0,7	0,6	2,8
	zima	-1,3	0,2	1,9	-0,4	0,5	1,8	0,0	1,0	2,3
	leto	-0,7	0,6	1,8	-0,8	0,7	2,3	-0,4	1,1	3,2
JZ	pomlad	-1,0	0,6	2,7	-0,8	0,5	1,9	-0,4	0,8	3,0
	poletje	-1,1	0,3	2,0	-1,6	0,2	2,8	-2,2	0,3	5,0
	jesen	-2,2	0,1	2,5	-1,6	0,7	2,7	-1,3	0,7	4,3
	zima	-1,2	1,0	3,7	-0,8	0,6	2,6	-0,5	1,0	2,6
	leto	-1,5	0,6	2,4	-0,6	1,3	3,7	-0,6	1,6	4,7
visoko-gorje	pomlad	-1,4	0,3	2,0	-1,6	0,5	2,9	-1,5	0,9	3,2
	poletje	-2,2	-0,4	1,8	-3,1	-0,3	2,7	-2,9	0,1	3,4
	jesen	-3,7	0,4	4,2	-3,0	0,7	4,7	-2,7	1,1	5,3
	zima	-3,4	2,1	8,5	-1,7	1,0	4,1	-1,2	1,6	4,4
	leto	-2,7	0,8	4,2	-1,4	1,5	5,2	-1,5	1,6	5,6
prehodna	pomlad	-0,9	0,4	1,9	-1,1	0,3	1,9	-1,1	0,6	2,8
	poletje	-1,7	-0,2	1,3	-1,7	0,2	2,8	-2,0	0,2	4,1
	jesen	-2,2	0,2	2,5	-1,6	0,6	2,8	-1,5	0,6	3,9
	zima	-2,0	1,0	4,8	-1,0	0,6	2,6	-0,7	1,1	3,0
	leto	-1,7	0,4	2,6	-1,1	0,9	3,3	-1,2	1,1	4,0
Slovenija	pomlad	-0,9	0,4	2,0	-1,0	0,4	2,0	-0,9	0,7	3,0
	poletje	-1,6	0,0	1,6	-1,8	0,2	2,7	-2,1	0,3	4,0
	jesen	-2,1	0,4	2,7	-1,7	0,5	3,0	-1,6	0,8	4,2
	zima	-1,8	0,7	5,4	-0,9	0,6	3,0	-0,5	1,2	3,5
	leto	-1,6	0,5	2,9	-0,9	0,9	4,1	-0,9	1,3	4,6

Preglednica 2.15 | Spodnja meja, trend in zgornja meja 95-odstotnega intervala zaupanja za trend največje modelske tridnevne višine padavin (v mm/desetletje) po meteoroloških letnih časih in za celo leto v obdobju 1981–2100

Največja petdnevna višina padavin

Regija	Sezona	RCP2.6			RCP4.5			RCP8.5		
		Spodnja	Trend	Zgornja	Spodnja	Trend	Zgornja	Spodnja	Trend	Zgornja
Posočje	pomlad	-2,6	0,4	3,3	-2,0	0,8	4,0	-1,7	1,1	4,9
	poletje	-2,8	-0,4	2,3	-3,2	0,2	3,9	-4,5	-0,6	6,0
	jesen	-3,6	0,9	6,0	-6,6	1,2	6,5	-5,4	0,4	7,4
	zima	-3,9	1,8	10,0	-2,4	1,8	7,5	-1,8	2,2	7,2
	leto	-3,4	1,5	7,4	-3,3	2,2	7,9	-2,5	2,0	7,9
osrednja	pomlad	-0,8	0,5	1,8	-1,3	0,2	1,7	-1,2	0,7	2,9
	poletje	-1,7	-0,1	1,5	-2,1	0,2	3,4	-1,9	0,2	4,6
	jesen	-1,3	0,4	2,2	-1,4	0,5	2,8	-1,0	0,9	4,0
	zima	-1,7	0,7	3,4	-0,6	0,8	2,2	-0,1	1,5	3,4
	leto	-1,3	0,4	2,0	-1,2	1,0	3,4	-0,7	1,5	4,6
SV	pomlad	-0,6	0,5	1,5	-0,9	0,3	1,4	-0,7	0,8	2,7
	poletje	-1,3	0,1	1,4	-1,8	0,1	2,4	-1,5	0,1	3,5
	jesen	-0,9	0,5	1,9	-0,9	0,4	2,0	-0,9	0,7	3,4
	zima	-1,4	0,4	2,3	-0,4	0,7	1,9	0,0	1,4	3,0
	leto	-0,8	0,4	1,7	-0,9	0,8	2,6	-0,6	1,0	4,0
JZ	pomlad	-0,9	0,8	3,1	-1,1	0,6	2,5	-0,7	0,9	3,3
	poletje	-1,6	0,1	2,1	-1,8	0,3	3,3	-2,8	0,1	6,2
	jesen	-2,5	0,3	3,4	-2,3	1,0	3,7	-1,8	0,6	5,2
	zima	-1,8	1,0	4,3	-1,0	0,9	3,4	-0,5	1,4	3,5
	leto	-1,6	1,0	3,3	-1,1	1,5	4,7	-0,9	2,0	5,9
visoko-gorje	pomlad	-1,7	0,6	2,5	-2,2	0,4	3,4	-2,1	0,8	3,6
	poletje	-2,9	-0,5	2,2	-3,2	-0,4	3,5	-3,9	-0,2	3,8
	jesen	-3,8	0,4	4,9	-4,4	0,7	5,9	-3,4	0,9	5,6
	zima	-3,7	2,4	9,4	-2,1	1,3	5,5	-1,4	2,0	5,2
	leto	-2,8	1,3	4,9	-2,2	1,3	6,1	-2,2	1,7	5,8
prehodna	pomlad	-1,1	0,6	2,4	-1,6	0,3	2,5	-1,4	0,7	3,2
	poletje	-2,2	-0,4	1,6	-2,2	0,1	3,5	-2,7	-0,1	4,8
	jesen	-2,2	0,4	3,0	-2,3	0,6	3,4	-2,0	0,6	4,5
	zima	-2,3	1,4	5,7	-1,2	0,8	3,4	-0,8	1,4	3,8
	leto	-1,7	0,8	3,5	-1,6	0,9	4,0	-1,4	1,4	4,6
Slovenija	pomlad	-1,2	0,5	2,4	-1,4	0,3	2,5	-1,3	0,8	3,2
	poletje	-2,1	-0,1	1,7	-2,2	0,1	3,4	-2,8	0,0	4,8
	jesen	-2,2	0,4	3,3	-2,6	0,6	3,8	-2,2	0,8	4,8
	zima	-2,2	0,9	6,2	-1,0	0,8	4,0	-0,6	1,5	4,2
	leto	-1,7	0,6	3,9	-1,5	1,0	4,8	-1,2	1,5	5,3

Preglednica 2.16 | Spodnja meja, trend in zgornja meja 95-odstotnega intervala zaupanja za trend največje modelske petdnevne višine padavin (v mm/desetletje) po meteoroloških letnih časih in za celo leto v obdobju 1981–2100